

22, 37  
7-45

ЎЗБЕКИСТОН РЕСПУБЛИКАСИ ОЛИЙ ВА ЎРТА МАХСУС  
ТАЪЛИМ ВАЗИРЛИГИ

А. ТЕШАБОЕВ, С. ЗАЙНОБИДДИНОВ, Ш. ЭРМАТОВ

# ҚАТТИҚ ЖИСМ ФИЗИКАСИ

*Ўзбекистон Республикаси Олий ва ўрта махсус таълим вазирлиги  
томонидан ўқув қўлланма сифатида тавсия этилган*

ТОШКЕНТ — «МОЛИЯ» — 2001.

БИБЛИОТЕКА  
ТГПИ

352018

УДК 539.2

**А. Тешабоев, С. Зайнобиддинов, Ш. Эрматов.** Қаттиқ жисм физикаси. Тошкент, «Молия» нашриёти, 2001 йил. 324 б.

Ушбу ўкув қўлланмада қаттиқ жисмлар физикасининг асосий бўлимлари ҳақида маълумотлар келтирилган. Қаттиқ жисмларнинг айрим хоссалари бўйича турлари, ҳозирги замон қаттиқ жисм квант физикаси асосий тасаввурлари заминида металлар, ярим ўтказгичлар, дизэлектрикларнинг иссиқдик, механик, электрик, магнитик хоссалари баён қилинган. Бундан ташқари, ҳозир фан ва техникада катта аҳамият каеб этаётган қаттиқ материаллар – керамика, мартенситлар, композитлар хоссалари ва қўлланиши түғрисида ҳам маълумотлар берилган. Ўтилган мавзуларни мустаҳкамлаш максадида ҳар бобнинг охирида назорат учун саволлар, шу бобга тегишли масалалар жойлаштирилган. Қўлланмада келтирилган расмлар, жадваллар, кўшимчалар унинг матнини тўлдиради. Ўкув қўлланма олий ўкув юргарининг тегишли касблар бўйича мутахассислаштган бакалавр, магистр талабалари, тадқиқотчилар, аспирантлар ва ўқитувчилар учун мулжалланган.

**Масъул муҳаррир** *Э. З. Имамов*, физика-математика фанлари доктори, профессор

**Тақризчилар:** *А. Т. Мамадолимов*, физика-математика фанлари доктори, профессор, ЎзР ФА академиги.

*М. С. Баҳодирхонов*, физика-математика фанлари доктори, профессор.

Ўзбекистон Республикаси Давлат Фан Техника қўмитасининг инновация лойиҳаси асосида ҳамда ЎзР ДФТҚ, Олий ва ўрта маҳсус мактаб муаммолари институти, Андижон Давлат университети ҳомийлигида нашр этилди.

© Ўзбекистон Республикаси Банк-молия  
академияси «Молия» нашриёти, 2001 й.

## СҮЗ БОШИ

Маълумки, узбек тилида қаттиқ жисм физикасидан ўкув қўлланма (дарслик) йўқ. Ваҳоланки, университетлар ва техник ўкув юртларида бу фан умумий ва маҳсус фан сифатида ўқитилади. Бинобарин, кўп минглаб талабалар, ўқитувчилар, тадқиқотчи, аспирантларга ана шундай ўкув қўлланма жуда керак. Шу эҳтиёжларни ҳисобга олиб, мазкур фанни ўқитиш тажрибасига таяниб, ушбу «Қаттиқ жисм физикаси» ўкув қўлланмаси ёзилди. Бу китобнинг мундарижасини тузишда Олий ва ўрта маҳсус таълим вазирлиги томонидан тасдиқланган «Қаттиқ жисм физикаси» фани дастурини («Университет таълими учун физика ва астрономия мутахассисликлари бўйича ўкув дастурлари», Тошкент, «Университет», 1996 й., 90-92-бет) асос қилиб олинди. Қўлланма асосан «Бакалавр» ихтинослиги талабалари ҳам фойдаланиши мумкин. Ушбу қўлланмада қаттиқ жисмлар турлари, кристал қаттиқ жисмлар ҳақида маълумот, физик статистика асосларининг қисқача баёни берилди. Кристалл панжараси тебранишлари анча батафсил қараб чиқилди. Кристалл қаттиқ жисмларда иссиқлик ҳодисаларига муносиб урин ажратилди. Қўлланманинг муҳим қисмини идеал кристал қаттиқ жисмларда электронларнинг Энергетик спектри назарияси (зоналар назарияси), ҳақиқий кристаллардаги нуқсонлар физикаси баёни ташкил этади. Суюқ кристаллар ва аморф қаттиқ жисмлар ҳақида қисқача маълумот бериш лозим деб топилди. Кейинги вақтда микроЭлектрониканинг жадал ривожланиши туфайли қаттиқ жисмлар сиртида юз берадиган ҳодисалар, хусусан, сиртнинг ҳолати масалалари муҳим аҳамиятга эга бўлиб бормоқда. Шунинг учун бу масалаларга ҳам муносиб жой ажратилди. Қаттиқ жисмларнинг механик хоссалари ва уларга деформациялар таъсирига ҳам эътибор берилди. Қаттиқ жисмда содир бўладиган ҳажмий узгаришларнинг энг муҳимлари қараб чиқилди. Қаттиқ жисмларнинг асосий турлари булмиш металлар, ярим ўтказгичлар,

диэлектрикларга алоҳида боблар бағишлианди. Тадқиқланиши ва құлланиши тобора кенгая бораётган керамик қаттиқ жисмлар ва композицион моддалар ҳақида маълумотни құлланмага киритишни зарур деб ҳисобладик. Қаттиқ жисмларда юз берадиган кинетик ҳодисалар, моддалар, асбоблар хоссаларини назарий үрганиш ва амалий құлланишда катта аҳамиятли бұлғани учун улар тұғрисида асосий маълумотлар баён қилинди. Ҳар бир боб охирида назорат учун саволлар ва масалалар жойланди. Құлланма охирида зарурий құшымчалар, жадваллар келтирилди, фойдаланилған ва тавсия қилинадиган адабиёт рүйхати берилди. Алоҳида таъкидлаш керакки, узоқ йиллик ҳамкоримиз Москвалик профессор В. И. Фистулнинг икки жилді «Физика и химия твердого тела» (М., «Металлургия», 1995 г.) дарсliгидаги бир қатор керакли маълумотлардан фойдаланды. Үндан күп миннатдормиз. Құлланманинг тегишли жойларида керакли чизмалар, чизмалар, диаграммалар, жадваллар каби матнни яққоллаштирувчи материаллардан фойдаланилди. II-VIII бобларни профессор А. Тешабоев, XI, XII, XIII, XIV бобларни профессор С. Зайнобиддинов, I, IX, X, бобларни фан номзоди Ш. А. Эрматов ёзған.

Құлланмани эътибор билан үқиб чиқиб, үз қимматли фикр мулоҳазаларини айтган тақризчилар: академик А. Т. Мамадолимовга ва профессор М. С. Баҳодирхоновга миннатдорчилимизни билдирамиз.

Құлланмани нашрға тайёрлашда дастурчилар В. В. Ларкин ва Ш. Б. Баҳритдиновларнинг хизматлари ҳам катта бұлғанини мамнунлик билан таъкидлаймиз.

Албатта, үзбек тилида ёзилған ва нашр қилинаётган ушбу үқув құлланмада камчиликлар учраши табиий, улар ҳақида үз фикрларини нашриётта ёзиб юборған үқувчилардан миннатдор бўлардик.

*Муаллифлар*

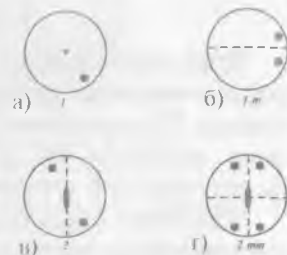
## I БОБ

### ҚАТТИҚ ЖИСМЛАРНИНГ ТУЗИЛИШИ ВА ТУРЛАРИ

Табиатдаги моддалар газ, суюқлик, қаттиқ жисм ва плазма ҳолатларыда булади. Бу ҳолатлар модданинг агрегат ҳолатлари деб аталиб, бир-биридан физик хоссалари билан фарқ қиласылар. Қаттиқ жисмларниң суюқлик ва газлардан фарқи шундаки, улар үз шаклларини сақтайди ва уларда оқувчанлик күзатылмайды. Микроскопик нұқтаи назардан бундай фарқнинг булиши, моддани ташкил этувчи атом ва молекулалар орасидаги үзаро таъсир энергиясининг катта ёки кичикилигі билан түшүнтирилади. Суюқлик ва газларда уларни ташкил қилувчи атом ва молекулалар орасидаги үзаро таъсирлашиш энергияси уларниң иссиқлик ҳаракати энергиясидан кичик булади. Шунинг учун суюқлик ёки газни ташкил этувчи атом ва молекулалар бир нұқтадан иккінчи нұқтага күчіб юриши мүмкін, яғни оқувчанлик хоссасига эга. Қаттиқ жисмларда эса молекула ёки атомлар орасидаги таъсирлашув энергияси уларниң иссиқлик ҳаракати энергиясидан анча катта булади, шуннинг учун улар әркін күчіб юра олмайды ва мувозанат вазиятлари атрофида тебранма ҳаракат қилиб туради. Демак, қаттиқ жисмни бошқа агрегат ҳолатлардан ажратыб турувчи асосий фарқлары: бириңчидан, унинг нормал шароитда үз шаклини сақлаши; иккінчидан, уларни ташкил этувчи атом молекулаларниң тебранма ҳаракатда булишидир.

Қаттиқ жисмлар тузилишига күра аморф, кристалл, шиша-симон ва полимер қаттиқ жисмларга булинади. Бундан ташқары қаттиқ жисмлар уни ташкил қилувчи атом ёки молекулаларниң үзаро бөгленишига күра ҳам фарқланади (1.1-чизма).

бұлған жисмларни халқаро белгилашда 1 рақами билан белгиланади ва шакл биринчи тартибли симметрия үқига әга дейилади. 1.3.б-чизмадаги шакл әса узуқ-узуқ чизиқ билан тасвирланған текислиқка нисбатан симметрик бұлади, бундай шакл симметрияси  $1m$  күринишида ёзилади. 1.3.в-чизмадаги шаклни  $180^\circ$  га маълум бир үқ атрофида бурганимизда устма-уст тушади,  $360^\circ$  га бурганда у икки марта устма-уст тушади, демек, иккінчи тартибли симметрия үқига әга — 2. Охирги шакларның иккінчи тартибли симметрия үқига ва икки симметрия текислигига әга, яғни —  $2mm$ . Кристаллар ҳам симметрияга әга, уларнинг симметрияси кристалл панжарасининг симметриясидан келиб чиқади. Кристаллар элементар катақнинг ташкил этувчиларини, яғни трансляцион векторларнинг узунлигига ва улар орасидаги бурчактарнинг қийматыга қараб 7 та катта гурухға булинадилар. Бу гурухларнинг ұрғызы бири уз номига әга булиб, *кристалл сингониялари* деб аталади (1.1-жадвалға қаранды).



1.3-чизма. Шакллар симметрияси

### 1.1-жадвал

№	Кристалл сингониясі	Элементар катақни тавсифловчы катталиклар (параметрлар)
1	Триклин	$a_1 \neq a_2 \neq a_3$ $\alpha \neq \beta \neq \gamma$
2	Моноклин	$a_1 \neq a_2 \neq a_3$ $\alpha = \beta = 90^\circ \neq \gamma$
3	Ромбик	$a_1 \neq a_2 \neq a_3$ $\alpha = \beta = \gamma = 90^\circ$
4	Тетрагонал	$a_1 = a_2 \neq a_3$ $\alpha = \beta = \gamma = 90^\circ$
5	Кубик	$a_1 = a_2 = a_3$ $\alpha = \beta = \gamma = 90^\circ$
6	Тригонал	$a_1 = a_2 = a_3$ $\alpha = \beta = \gamma \neq 90^\circ < 120^\circ$
7	Гексагонал	$a_1 = a_2 \neq a_3$ $\alpha = \beta = 90^\circ$ , $\gamma = 120^\circ$

Кристалл учун мүмкін бұлған барча симметрия амаллари кристалнинг симметрия гурухини ташкил қылады. Симметрия гурухлари ҳам икки тоифага булинади: *нуқтавий* ва *трансляцион*. Нуқтага нисбатан акслантириш (инверсия), үқ атрофида буриш ва текислиқка нисбатан акслантириш билан боғлиқ бұлған симметрия амаллари *нуқтавий симметрия* гурухини ташкил қылады. Кристалнинг ташқы симметриясини аниқловчы бундай нуқтавий симметрия гурухлари сони 32 та булиб уларнинг кристалл сингониялари бүйича булиниши 1.2- жадвалда көлтирилген.

1.2-жадвал

Кристалл сингониялари	Нүктавий гурухнинг белгиланиси		Нүктавий гурух номи
	Халқаро	Шенфлис бўйича	
1. Триclin	1 1	C <sub>1</sub> C <sub>i</sub>	Моноэдрик Пинакоидал
2. Моноклин	2 m 2/m	C <sub>2</sub> C <sub>s</sub> C <sub>2h</sub>	Үқли диэдрик Үқсиз диэдрик Призматик
3. Ромбик	222 mm mmm	D <sub>2</sub> C <sub>2v</sub> D <sub>2h</sub>	Ромб-тетраэдрик Ромб-пирамидал Ромб-дипирамидал
4. Тетрагонал	4 422 4/m 4/mm 4/mmm  4 4 2m	C <sub>4</sub> D <sub>4</sub> C <sub>4h</sub> C <sub>4v</sub> D <sub>4h</sub>  S <sub>4</sub> D <sub>2d</sub>	Тетрагонал пирамидал Тетрагонал трапециоэдрик Тетрагонал дипирамидал Дитетрагонал пирамидал Дитетрагонал дипирамидал Тетрагонал тетраэдрик Тетрагонал скаленоэдрик
5. Тригонал	3 32  3m 3 3 m	C <sub>3</sub> D <sub>3</sub>  C <sub>3v</sub> C <sub>3i</sub>  D <sub>3d</sub>	Тригонал пирамидал Тригонал трапециоэдрик Дитригонал пирамидал Ромбоэдрик  Дитригонал скаленоэдрик
6. Гексагонал	6 6m2 6  622 6/m 6/mm  6/mmm	C <sub>3h</sub> D <sub>3h</sub> C <sub>6</sub>  D <sub>6</sub> C <sub>6h</sub> C <sub>6v</sub>  D <sub>6h</sub>	Тригонал дипирамидал Дитригонал дипирамидал Гексагонал пирамидал Гексагонал трапециоэдрик Гексагонал дипирамидал Дигексагонал пирамидал Дигексагонал дипирами- дал
7. Кубик	23 m 3 4 3m 432 m 3 m	T T <sub>h</sub> T <sub>d</sub> O O <sub>h</sub>	Тритетраэдрик Дилодексаэдрик Гексатетраэдрик Трионтаэдрик Гексантэдрик

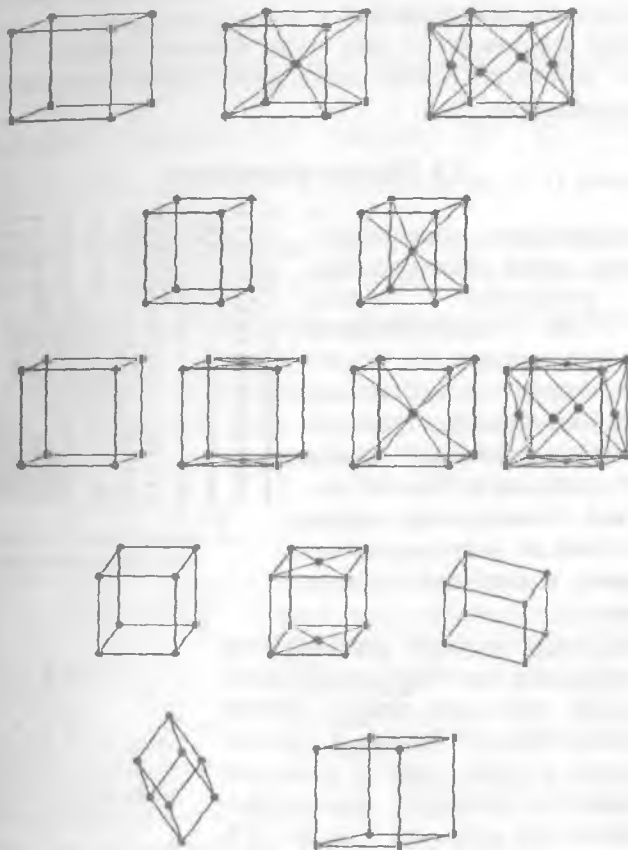
1.2-жадвалда ушбу 32 та нүктавий симметрия гуруұларини халқаро қабул қылинған белгиленишидан ташқари, кристалограф олим Шёнфилис киритган белгилашлар ҳам көлтирилған. Қаттық жисмде кристалл панжарасининг мавжудліги 1,2,3,4, 6-чи тартибли симметрия үқларидан юқори тартибли симметрия үқлари бўлмаслигига олиб келади. 5-чи, 7-чи тартибли симметрия ўқи ҳам бўлиши мумкин эмас, чунки беш ва етти бурчакли шакл ёрдамида фазони қолдиқсиз тўлдириб бўлмайди (баъзи бир биологик кристаллар бундан истисно). Бошқа симметрия үқларини эса юқоридаги симметрия үқларига көлтирилиши мумкин. Ҳар бир симметрия гуруҳи асосий ҳосил қўйувчи симметрия амаллари билан белгиланади. Кристаллар нүктавий симметриядан ташқари трансляцион симметрияга ҳам эгадирлар. Кристалл панжарасининг мумкин бўлган 14 хил трансляцион симметрия амали мавжуд. Ҳар бир трансляцион симметрия амалига битта элементар катақни мос қўйиш мумкин. Натижада 14 хил элементар катақ ҳосил бўлади, бу элементар катақлар *Браве панжаралари* деб аталади. Трансляцион симметрия – бу кристални маълум бир вектор бўйича қўчирганимизда узи билан устма-уст тушишидир. Ҳар бир кристаллар сингониясида фақат маълум бир турдаги Браве панжараси бўлиши мумкин.

Кристалл панжарасининг тулиқ симметриясини фазовий симметрия гуруҳи аниқлайди. Фазовий симметрия гуруҳида кристални нүктавий ва трансляцион симметрия амаллари мужассамлашган бўлади. Ҳаммаси булиб 230 та фазовий гуруұлар мавжуд бўлиб, ҳар қандай кристалл ўз тузилишига кўра ана шу гуруұларнинг бирига мансуб бўлади. Кристалнинг фазовий симметрия гуруҳи маълум бўлса, унинг кристалл тузилишини көлтириб чиқариш жуда осон, шунинг учун кристалнинг симметрия гуруҳини билиш муҳим аҳамиятга эга. Ҳозирги пайтда кристалл симметрияси ренген нурлари ёрдамида аниқланади. Фаннинг ушбу йўналиши *кристалография* деб номланади. 1.3- жадвалдан куриниб турибдики:

1. *Триклин сингония* панжаралари фақат содда Р - шаклдаги панжаралардир. Браве панжарасини ифодаловчи параметрлар сони 6 та: уч қирра ва учта бурчак.

2. *Моноклин сингонияда* иккита Браве панжараси шэкллари бўлиши мумкин. Улардан бирин Р – шаклдаги содда катақка эга бўлиб, иккинчиси эса, марказлашган асосли яъни С – шаклдаги катақка эга. Ушбу панжараларни 6 та параметр аниқлайди ( $a_1, a_2, a_3, \alpha, \beta$ )

1.3-жадвал



3. Ромбик сингонияда түрт хил Браве панжаралари мавжуд булиши мүмкін; Р — содда, С — марказлашған асосли, ұажмий марказлашған — I ва ёқий марказлашған — F турдаги панжаралар. Ушбу шаклдаги панжаралар түрттә параметр билан аниқланади. ( $a_1, a_2, a_3, \alpha$ )

4. Тетрагонал сингония икки хил, яъни Р ва I шаклдаги панжараларға эга булиб учта параметр билан аниқланади. ( $a_1, a_2, \alpha$ )

5. Тригонал сингония иккита параметр билан аниқланади ( $a, \alpha$ )  
бұ сингонияда фақат Р - шаклдаги Браве панжарасы мавжуд.

6. Гексагонал сингонияда битта Браве панжарасы булиб, түрт  
параметр билан аниқланади. Ушбу катаң С — шаклға мансуб

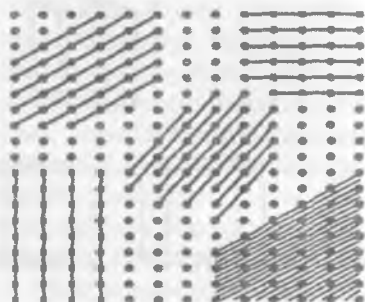
булиб күп ҳолларда уни учта Р — шаклдаги содда катак куринишида ҳам ифодаланади.

7. Кубик сингонияда уч хил катак булиши мумкин: Р, I ва F шаклдаги катаклар. Кубик сингонияни иккى параметр билан аниклаш мумкин ( $a, \alpha$ )

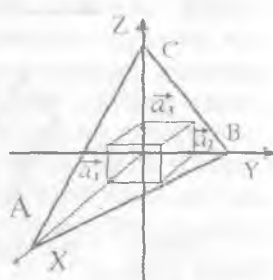
#### 1.4 Миллер индекслари

Кристалларнинг анизотропияси, уларда турли йўналишларда физик хоссаларни турлича булиши, шу йўналишларни фарқлаш учун маълум бир белгилашлар зарур эканлигини курсатади. 1.4-чизмада кристалл панжараси тасвирланган, ундан кўриниб турибдики  $0^{\circ} 0^{\circ}$  ва  $0A$  кесиб утувчи текисликлар турли йўналишга эга ва улар трансляцион векторларга нисбатан турлича жойлашган.

Бундай текисликларни фарқлаш учун **Миллер индекслари** белгиларидан фойдаланамиз. Ушбу индекслар қандай топилишини кўйида курсатиб ўтамиз. Координаталар үқини шундай танлаб оламизки, улар элементар катакнинг трансляцион векторлари билан устма-уст тушсин. (1.5-чизма). Бизга (ABC) текислик индексларини топиш керак бўлсин. Унинг учун дастлаб биз текисликни координата  $\rightarrow$  ўқлари билан кесишган жойларини аниқлаб  $m = \frac{OA}{a_1}, n = \frac{OB}{a_2}, p = \frac{OC}{a_3}$  сонлар-



1.4-чизма. Текисликларнинг  
Миллер индекслари



1.5-чизма. Миллер  
индексларини топишга  
доир

ни топамиз. Координата ўқларини бир узунлик бирлиги ўша ўқда ётувчи трансляцион вектор узунлигига тенг булади. Бундай турли масштабдаги координата ўқларини танлаш, белгилашларни осонлаштиради.  $(m, n, p)$  сонлари топилгандан кейин ўша текислик-

нинг Миллер индексини аниқлаш мумкин. Унинг учун  $(m,n,p)$  сонларининг тескари нисбатлари ёзилади, яъни

$\frac{1}{m} : \frac{1}{n} : \frac{1}{p}$  ва шу нисбатга тенг бўлган энг кичик бутун сонлар ёзилади, масалан  $y$  сонлар  $h; k; \ell$  бўлсин.

Демак,  $h : k : \ell = \frac{1}{m} : \frac{1}{n} : \frac{1}{p}$  У ҳолда  $(h, k, l)$  сонлар ABC

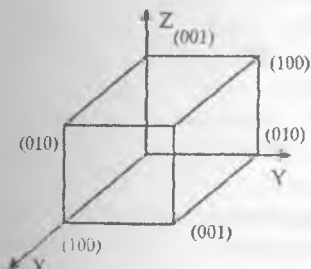
текисликнинг Миллер индекслари деб аталади. Бир мисол кўриб ўтамиш. Бирор текислик учун  $m=1, n=1/2, p=1/3$  бўлсин, у ҳолда

$h:k:l = \frac{1}{1} : \frac{1}{\cancel{2}} : \frac{1}{\cancel{3}}$  яъни ушбу текислик учун Миллер текис-

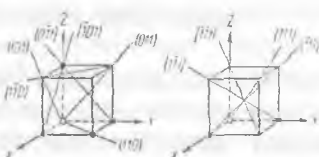
ликлари  $h=1, k=2, l=3$  бўлади ва мазкур текислик (123) кўринишида белгиланади. Агар текислик бирор координата ўқига

параллел бўлса, шу ўқга мос индекс 0 га тенг бўлади. Агар текислик ўқни манфий қисмида кесиб ўтса, ўша ўқга мос индекс манфий бўлади, лекин ишора соннинг олдинга эмас тепасига қўйилади,  $h=-1, k=2, l=2$  бўлса, текислик (122) кўринишида белгиланади. 1.6-чизмада кубнинг ён текисликлари келтирилган. [(100), (010), (001), (100) ва бошқалар]. Бу текисликлар

эквивалент будигани учун уларни бир оиласга мансуб текисликлар деб қаралади ва катта қавс билан белгиланади {100}, қаттиқ жисмнинг ушбу йўналишлар бўйича физик хоссалари бир хилдир. Кристалда текисликлардан ташқари, йўналишларни ҳам белгилаш қабул қилинган. Йўналишни белгиловчи индекслар шундай энг кичик бутун  $u, v, w$ , сонларки, уларнинг нисбати ( $u: v: w$ ) шу йўналишида олинган векторнинг координатага ўқларидаги проекциялари узаро нисбатига тенгдир. Бу ерда ҳам координаталарнинг масштаб бирлиги трансляцион вектори узунлигига тенг деб олинади. Йўналиш индекслари тўртбурчак қавслар ичига ёзилади. Масалан,  $[100], [\bar{1}00]$  X



1.6-чизма. Миллер индексларини топиш мисоли



1.7-чизма. Йўналишларнинг Миллер индекслари

— ўқи бўйича мусбат ва манфий йўналишларни билдиради (1.7- чизма). Эквивалент йўналишлар оиласи синиқ қавс билан белгиланади  $\langle u, v, w \rangle$   $XOY$  ёқнинг диагонали [110] билан белгиланади. [111] - кубнинг фазовий диагонали. Кубик сингонияда агар  $h=u$ ,  $k=v$ ,  $l=w$  бўлса,  $[uvw]$  йўналиш ( $hk1$ ) текисликка перпендикуляр бўлади.

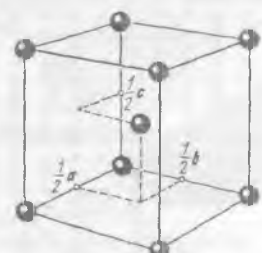
Элементар катакдаги тугун координаталари ҳолатини аниқлаш учун ҳам белгилаш қабул қилинган. Тугунлар трансляцион векторларнинг қанча қисмини ташкил этса, ўша сонлар билан белгиланади.

Масалан, 1.8-чизмада келтирилган элементар ячейка марказидаги тугун координатаси  $\frac{1}{2}, \frac{1}{2}, \frac{1}{2}$  ни ташкил қилади.

Ушбу сонлар қавсиз ёзилади.

Агар тугунлар ён ёқлар марказларида бўлса, (ёқий марказлашган элементар катак) уларнинг координаталари куйидагича ёзилади:  $\frac{1}{2}, \frac{1}{2}, 0; 0, \frac{1}{2}, \frac{1}{2}; \frac{1}{2}, 0, \frac{1}{2}$ .

Кристалл тузилишлар тавсифи келтирилган жадвалларда олдин одатда, элементар катак тури ва ўлчамлари берилади, кейин тугунлар координаталари келтирилади.



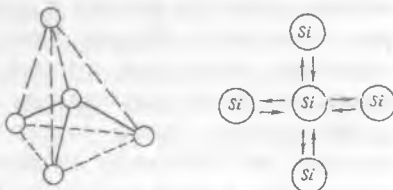
1.8-чизма. Элементар катакдаги тугунлар вазиятини белгилаш

## 1.5. Кристалл атомларининг ва молекулаларининг боғланиш турлари

Кристалл панжараси кристалларни фарқлаш, кристалнинг геометрик тузилиши тўғрисида тасаввур ҳосил қилишга ёрдам беради. Лекин, ушбу билим кристалдаги атом ёки молекулаларни кристалл панжараси тугунларида тутиб турувчи кучларнинг табиати ҳақида маълумот бера олмайди. Шунинг учун кристалларни уларни ташкил қилувчи атомлар ёки молекулалар орасидаги таъсир кучларига қараб ажратиш ва ўрганиш мақсадга мувофиқ бўлади. 1.1-чизмада атомлар молекулаларининг боғланишига кўра беш турдаги боғланишлар мавжуд эканлиги кўрсатилган. Булар молекуляр, водород, ковалент (атом), ион ва металл боғланишларdir.

### 1.5.1. Атом бөгләнишли (ковалент, гомеокутбий) кристаллар

Атом боғланиши кристаллар түгунларида бирор мөддәнинг атомлари жойлашган бўлади. Атом боғланиши икки қўшни атомлар орасида умумий валент электронлари булиши билан тушунтирилади. Газ ҳолатдаги  $H_2$ ,  $N_2$  ва  $O_2$  молекулаларидағи атомлар ҳам ковалент равишида боғлангандир. Бир атомдан биттадан электрон иштирок этади. Бу электронлар бир атомдан иккинчисига ўтиши ҳам мумкин, шунинг учун бундай боғланиш кучларини алмашиш кучлари, боғланиш энергиясини эса алмашиш энергияси деб аталади. Атом боғланишга кремний кристали мисол була олади (1.9-чизма). У олмоссимон кристалл панжарасига эга бўлиб ҳар бир атом атрофидаги 4 та яқин қўшниси бор. Ушбу атомлар тетраэдр үйренишидаги фазовий панжара ҳосил қилиб марказда кремний атоми жойлашган бўлади. Қўшни икки атом орасидаги боғланишни ҳосил қилишда ҳар бир атомдан битта, икки атомдан иккита электрон қатнашади. Ковалент боғларнинг муҳим белгиларидан бири уларнинг тўйинган боғланиш эканлигидир, яъни уларда ҳар бир боғда иккитадан электронлар қатнашади. Иккичи белгиси шундан иборатки, ковалент боғланишлар қўшни атомлар оралиги бўйича йўналган бўлади. Буни боғланишнинг йўналитилганлиги ёки анизотропияси деб аталади. Ковалент боғланиш ҳар хил атомлар орасида ҳам ҳосил булиши мумкин (масалан, SiC кремний карбида, AlN алюминий нитриди ва бошқаларда). Кўп ҳолларда элементлар жадвалининг II, III, IV, V гурӯҳ элементлари ковалент боғ ҳосил қиласидар.



1.9-чизма. Кремний кристалида атомлараро ковалент боғланиш

#### 1.5.2. Ион (гетерокутбий) боғланишлы кристаллар

Бундай кристалларнинг панжараси тугуларида ионлар жойлашган бўлади. Турли ишорали ионлар орасидаги масофа бир хил ишорали ионлар орасидаги масофадан кичик бўлади, шунинг учун турли ишорали ионлар орасидаги тортишиши кучи бир хил ишорали ионлар орасидаги итариш кучидан каттадир. Лекин тор-

тишиш күчлари маълум бир  $r_o$  масофагача таъсир қиласи. Агар ионлар орасидаги масофа  $r_o$  дан кичкина бўлса улар орасида ита-риш кучи пайдо бўлади. Кристалдаги қўшни атомлар орасидаги тортишиш ва итариш күчлари квант механикаси орқали тушунтирилади. Баъзи масалаларни ечишдагина биз ион боғланиши кристаллардаги ўзаро таъсир күчларини электростатик Кулон күчлари деб олишимиз мумкин. Ион кристаллари кўп ҳолларда элементлар даврий системаси I-чи ва VII гурӯҳ элементлари бирикишидан ҳосил бўлади. Ион кристалининг ҳар бир иони атрофида муайян K сондаги бошқа ионлар жойлашади. Ушбу ионлар сонини координацион сон — K деб аталади. Координацион соннинг қиймати панжарарадаги ионларнинг радиуслари нисбати билан аниқланади. Ушбу сонни қандай аниқлаш 1.4- жадвалда келтирилган. Бу ерда  $\frac{r_A}{r_B}$  — ионларнинг радиуслари нисбати.

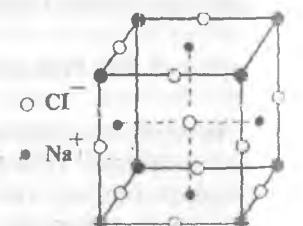
#### 1.4-жадвал

Координацион сон	12	8	6	4	2
$\frac{r_A}{r_B}$ нинг кўйиматлари	$\frac{r_A}{r_B} = 1$	$1 > \frac{r_A}{r_B} > 0,73$	$0,73 > \frac{r_A}{r_B} > 0,41$	$0,41 > \frac{r_A}{r_B} > 0,22$	$\frac{r_A}{r_B} < 0,22$

Мисол тариқасида ош тузи ( $\text{NaCl}$ ) кристали тузилишини кўриб чиқамиз. Na атомининг эффектив радиуси  $r_{\text{Na}}=0,98 \text{ \AA}^o$ , хлор атоминики эса  $r_{\text{Cl}}=1.81 \text{ \AA}^o$ , демак  $\frac{r_A}{r_B}=0,98/1,81=0,54$ .

Юқоридаги жадвалдан ушбу кристал учун координацион сон  $K=6$  эканлигини аниқлаймиз. Бу кристалдаги ҳар бир ионни атрофида 6 та ион ўраб туришини англатади. (1.10-чизма).

Дарҳақиқат, ош тузи кристали содда кубик тузилишга эгадир. Кристал тузилиш кўп жиҳатдан кристалдаги ионларнинг эффектив радиуслари нисбатига боғлиқ.  $\text{NaCl}$  кристалида хлор иони радиуси натрий иони радиусидан деярли икки барабар катта, шунинг учун уларнинг ўргасига яна бир ионни жой-



1.10-чизма. Ион боғланишили  $\text{NaCl}$  кристали

лашиши учун бүш жой қолмайды. Натижада ушбу ионлар содда кубик шаклда жойлашадилар. Ион кристалларыда үзаро боғланиш энергияси асосан электростатик тавсифга эга бўлиб, бу энергияни Маделунг энергияси деб ҳам аталади. Кристалдаги ихтиёрий  $i$  ва  $j$  номерли атомлар орасидаги боғланиш энергиясини  $U_{ij}$  деб атайдик. У ҳолда  $i$  номерли ионнинг бошқа ҳамма атомлар билан таъсирашув энергияси  $U = \sum_j U_{ij}$  га teng булади ( $j \neq i$ ). Ион

боғланиш кристалл учун икки қисмдан иборат деб қараш мумкин:

$$U_{ij} = \lambda \exp\left(-\frac{r_{ij}}{p}\right) \pm \frac{q^2}{r_{ij}} \quad (1.1) \quad (\text{СГС да})$$

Ифоданинг биринчи ҳади ионга таъсири қилаётган итарувчи кучнинг потенциали бўлиб, иккинчи ҳади эса Кулон таъсири потенциалидан иборатdir. Қўшни атомлар орасидаги масофани  $R$  деб оламиз ва бўлгилаш киритамиз  $r_{ij}=P_y R$ . Үзаро итариш кучлари фақат яқин жойлашган атомлар орасидагина мавжуд деб олсан, у ҳолда юқоридаги ифода соддалашади.

$$U_{ij} = \begin{cases} \lambda \exp\left(-\frac{R}{p}\right) - \frac{q^2}{R} & \text{- яқин атомлар учун,} \\ \pm \frac{1}{P_y} \cdot \frac{q^2}{R} & \text{- қолган барча атомлар учун.} \end{cases} \quad (1.2)$$

Кристалдаги мусбат ва манфий ионлар сони  $2N$  га teng булса, кристалнинг тўлиқ энергияси  $U_T = N U_i$  га teng бўлади.  $U_i$  ни  $N$  га кўпайтиришимиз сабаби Ҳар бир таъсирашувчи жуфтни бир марта ҳисобга олинади. Юқоридаги ифодадан  $U_i$  ни топамиз:

$$U_T = Z |\lambda \exp(-R/p) - \frac{q^2}{R}| + \sum_{j=1}^{N-Z} \pm \left( \frac{1}{P_y} \cdot \frac{q^2}{R} \right) \quad (1.3)$$

Ушбу формулада  $Z$  энг яқин қўшни атомлар сони. Ифодани соддалаштириш учун  $Z \frac{q^2}{R}$  ни иккинчи ҳадга қўшиб қўйидагини ҳосил қиласиз:

$$U_T = Z \lambda \exp(-R/p) - \sum_{j=1}^{N-Z} \left( \pm \frac{1}{P_y} \right) \frac{q^2}{R} \quad (1.4)$$

БИБЛЮТЕКА  
ТГПИ

2001817

Бу ифодага ҳам белгилаш киритамиз:

$$\alpha = \sum_j \left( \pm \frac{1}{P_0} \right) \quad (1.5)$$

Ушбу сон *Маделунг доимийсі* деб аталади. Энди юқоридаги ифодамиз содда күринишга келади:

$$U_F = Z \lambda \exp(-R/p) - \alpha \cdot \frac{q^2}{R} \quad (1.6)$$

Ифодадаги охирғи ҳад энг яқин  $Z$  та атомлар ҳиссасини ҳам үз ичига олади. Тұлиқ энергия учун эса:

$$U_T = N(Z \lambda \exp(-R/p) - \alpha \cdot \frac{q^2}{R}) \quad (1.7)$$

ифодани ҳосил қиласыз. Мувозанат ҳолатда тұлиқ энергия  $R$  га боғлиқ әмас, яғни  $\frac{dU_T}{dR} = 0$ , шунинг учун

$$N \frac{\partial U_T}{\partial R} = - \frac{NZ\lambda}{\rho} \exp(-\frac{R}{\rho}) + \frac{Na\alpha^2}{R^2} = 0 \quad \text{ёки}$$

$$R^2 \exp(-\frac{R}{\rho}) = \frac{\rho a q^2}{Z\lambda} \quad (1.8)$$

(1.7) ва (1.8) ифодалардан

$$U_T = - \frac{Naq^2}{R} \left( 1 - \frac{\rho}{R} \right) \quad (1.9)$$

келиб чиқади.

Бу ифодадаги  $\rho$  кичик сон бўлиб одатда  $\rho=0.1$  Ro ни ташкил этади. Шунинг учун  $U_T = - \frac{Naq^2}{R}$  деб олишимиз мумкин. Демак,

ион боғланиши кристалларда боғланиш энергиясининг деярли ҳаммасини Кулон энергияси (ёки Маделунг энергияси) ташкил этар экан. Ҳарорат ёки босимнинг үзгариши ион кристалининг элементар катаги үзгаришига олиб келиши мумкин. Ҳарорат ошиши билан мусбат ион (анион)нинг эффектив радиуси ман-фий ион (катион)нинг эффектив радиусига нисбатан тез катталашади. Натижада уларнинг радиуслари нисбати үзгариши ва бу үз навбатида тузилиш үзгаришига олиб келади. Масалан, хлорли це-зий ( $CsCl$ ) ва хлорли рубидий ( $RbCl$ ) кристаллари температура ошиши билан җажмий марказлашган кубдан содда кубга айланыб қолади. Хлорли калий, хлорли бром, хлорли йодларда эса босим

ошиши билан тескари үтиш, яъни содда кубик панжарадан ҳажмий марказлашган панжарага айланиш кузатилади.

Ион кристалларини сувда эритилгандын улар мусбат ва манфий ионларга парчаланадилар. Улар иссиқлик таъсирида эритилганды ҳам ионли суюқликка айланади. Буни уларнинг электрик токни яхши үтказишидан билишимиз мумкин. Ионлар кристаллари паст температураларда электр токини яхши үтказмайди. Ҳарорат ошиши билан үтказувчаник ҳам ортиб боради. Ионлар кристаллари инфрақизил нурларни яхши ютувчи моддалардир.

### 1.5.3. Молекуляр боғланишли кристаллар

Кристалл панжараси туғунларидан молекулалар жойлашган кристалларни молекуляр боғланишли кристаллар деб аталади. Кристалдаги ҳар бир молекула ўзининг хоссаларини сақладайди. Ушбу кристалларга  $H_2$ ,  $N_2$ ,  $Cl_2$ ,  $Br_2$ ,  $I_2$ ,  $CH_4$ ,  $CO_2$ ,  $H_2O$  кристаллари мисол була олади. Молекулаларни кристалл панжарада тутиб турувчи кучлар бошқа турдаги кучларга нисбатан заиф булади. Уларни Ван-Дер-Ваалс кучлари деб аталади. Бу кучлар ўз навбатида молекулалар турига кура уч хил булиши мумкин.

1. Агар кристалдаги молекулалар қутбли, яъни молекуланинг дипол ёки квадрупол моменти нольдан фарқли бўлса, кристалл молекулалари ўзаро ореинтацион кучлар билан таъсирилашадилар. Бундай молекулалар орасидаги тортишиш кучлари молекулалар бир чизикда жойлашганда максимал булади. Бу кучлар молекулаларни маълум бир йўналишга буришга ҳаракат қиласади, шунинг учун ореинтацион қучлар деб аталади. Иссиқлик ҳаракати молекулаларнинг электрик моментлари йўналишларини доим ўзгартириб туришига қарамай, ҳамма йўналишлар буйича ўртачалаштирилган таъсир кучи нолга teng эмас. Ореинтацион таъсирининг потенциал энергияси молекулалар орасидаги масофанинг олинчи даражасига тескари пропорционал, яъни  $U_n(r) \sim P_1 P_2 r^6$ . Бу ерда  $P_1$  ва  $P_2$  лар таъсирилашувчи молекулаларнинг дипол моментлари. Молекулалар орасидаги таъсир кучи  $F \sim \frac{\partial U_n(r)}{\partial r} \sim r^{-7}$ , яъни молекулалар орасидаги масофанинг еттичинчи даражасига тескари пропорционал. Бу кучлар масофа ортиши билан жуда тез камаяди. Ҳарорат ортиши билан молекула-

ларнинг йуналиши бузилади ва натижада ореинтацион таъсир потенциал энергияси камаяди.

2. Кристалл қутбли ва қутбсиз молекулалардан ташкил топган булса, уларнинг молекулалари орасида индукцион (поляризацион) таъсир кучлари пайдо булади. Қутбли молекула  $\text{U}_\text{D}$  атрофида электр майдони ҳосил қиласи. Бу майдон таъсирида қутбсиз молекула қутбланиши ва унда индукцияланган дипол моменти ҳосил булади. Молекулалар орасидаги таъсир энергияси  $U_\text{D} \sim r^{-1} \alpha_1 \alpha_2 r^6$  қутбли молекуланинг дипол моменти  $P_1$  га, қутбсиз молекуланинг қутбланиш коэффициенти  $\alpha_2$  га тўғри пропорционал ва масофанинг олтинчи даражасига тескари пропорционал. Бу энергия температура ортиши билан ўзгармайди.

3. Учинчи турдаги Ван-дер-Ваалс кучларини дисперсион кучлар деб номланади. Бу кучлар қутбсиз молекулалар орасида пайдо бўлиб, уларнинг келиб чиқшини тушунтириш узоқ вақтлар қийинчилик туғдирган. Ушбу муаммо квант механикаси ёрдамида тушунтирилди. Қутбсиз молекулаларнинг дипол моментлари ўртача нолга teng бўлса ҳам, вақтнинг жуда қисқа будакларида молекуладаги электронлар булути симметрияси бузилиб турарди. Натижада бу қисқа вақтда молекула маълум бир дипол моментга эга булади. Бу дипол майдони қушни молекулада индукцион дипол моменти ҳосил қиласи, натижада ўзаро таъсир кучлари пайдо булади. Молекулалар ўзаро таъсири потенциал энергияси ва кучи куйидагича ёзилади:

$$U_\text{D}(r) \sim \alpha_1 \alpha_2 r^{-6}, F_\text{D}(r) = -r^{-7} \quad (1.10)$$

Бу кучларни дисперсион кучлар деб номланишининг сабаби моддаатаги ёруғликнинг дисперсияси ҳам молекулаларнинг юқорида келтирилган хоссаларига боғлиқлигиидир.

Молекуляр боғланишли кристалларда, тортишиш кучларидан ташқари, молекулалар орасида итаришиш кучлари ҳам мавжуд. Бу кучлар молекулалар бир бирига жуда яқинлашганда пайдо булади. Квант механикасидаги Паули қонунидан электронлар қобиқлари бир-бирига киришиб кетиши мумкин эмаслиги келиб чиқади. Демак, молекулаларнинг электронлар қобиқлари бир-бирига яқинлашиши билан итаришиш кучлари пайдо булади. Тажрибалар курсатишича, бундай таъсир энергияси масофанинг ун иккинчи даражасига, таъсир кучи эса ўн учинчи даражасига тескари пропорционалдир.

$$U_{eff}(r) = \frac{1}{r^{12}} - \frac{1}{r^6}, \quad F(r) \sim \frac{1}{r^{11}}. \quad (1.11)$$

Молекулалар орасидаги таъсир энергиясининг улар орасидаги масофага боғланиши ифодасини квант механикаси асосида көлтириб чиқариш жуда муркаб, шунинг учун одатта уни турли тақрибий күринницида танлаб олинади. Күп ҳолларда Лениндр-Джонс ифодасидан фойдаланилади:

$$U(r) = -ar^6 + br^{-12}. \quad (1.12)$$

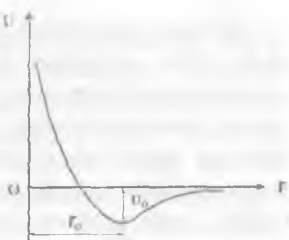
Энергиянинг минимум қийматига  $r_0$ -масофа түбри келади. Ушбу масофада молекулалар орасидаги таъсир күчи нолга тенг булади. Бу масофа сон қийматини  $U(r)$  нинг  $r$  буйича ҳосиласини нолга тенглаб топиш мүмкін.  $r_0$ -масофа кристалдаги молекулалар орасидаги мувозанатий масофага тенгdir.

$$\left( \frac{\partial U(r)}{\partial r} \right)_{r=r_0} = 0$$

Ушбу ва шунга ўхшашиб бошқа ифодаларнинг қамчиликларидан бири — уларнинг молекулалар орасидаги ориентацион үзаро таъсирга құллаб булмаслигидир. Ориентацион үзаро таъсирни ифодалаш учун күп ҳолларда диполларнинг бурилиш бурчагини ҳисобға олувчи купайтувчи киритилади. Ҳозирги пайтда молекулалар орасидаги үзаро таъсирлар квант кимеси усууллари билан ҳисобланмоқда.

#### I.5.4. Металл боғланишли кристаллар

Суюқ ёки қаттық ҳолаттарда металл атомлари бир-бирига жуда яқын келади ва электронн болутлари киришиб кетади. Натижада металл атомининг валент электронлари бир атомдан иккинчи атомга эркін ҳаракат қилиб үта оладилар. Улар бутун металл бүйлаб ҳаракат қилиб юришлари мүмкін. Бу электронлар ҳамма металл атомлари учун умумий бўлиб қоладилар. Улар эркін электронлар (ўтказувчанлик электронлари) ёки металлнинг электрон «гази» деб ҳам аталади. Металлнинг кристалл панжарасидаги атомлари ана шу умумлашган электронлар орқали үзаро таъсирлашадилар ва уларни панжара тугуларида тутиб туради.



1.11-чизма. Молекулалараро таъсир энергияси  $U(r)$ .

Металл атомлари жуда ҳам зич жойлашган булади ( $K=12$ ,  $K=8$ ). Күп металлар үзининг кристалл панжараси тузилишини температура үзгариши билан үзгarterиб туради. Кристалларнинг турли температурада турли турғун кристалл тузилишига эга бўлиши кристалл полиморфизми деб аталади. Металлар кристал панжарасининг  $\alpha$ ,  $\beta$ ,  $\gamma$ ,  $\sigma$  деб номланган турғун турлари мавжуд бўлиб, улар турли температура оралиқларида турғун ҳолатда бўладилар. Металл боғланишли моддалар ковалент ёки ион боғланишли моддаларга нисбатан қаттиқлиги, эгилувчанлиги ва пластиклик хоссаларга эгалиги билан ажралиб туради. Металларда эркин электронлар кўп бўлишилиги эса уларнинг яхши электр ва иссиқлик утказувчанлигини тъмминлайди.

### 1.5.5. Водород боғланишли кристаллар

Водород боғланишли кристалларда водород атоми бир молекула билан кимёвий бое ҳосил қылган ҳолда иккинчи молекула билан ҳам таъсирлашади, кутбланган водород атоми иккинчи молекулада ҳам дипол моменти индукциялади ва натижада етарли даражада кучли боғланиш ҳосил булади. Водород боғланиши мидданинг учала агрегат ҳолатларида ҳам кузатиш мумкин. Водород боғлар электроманфийлиги юқори бўлган атомлар, масалан,  $F_2$ ,  $O_2$  ва  $N_2$  орасида яққол намоён булади. Водород атоми үзининг ягона электронини қўшни атомга бериб мусбат ионга айланади ва иккинчи қўшни атом билан ион боғланиш ҳосил қиласади. Водород боғланиш органик миддайлар молекулалари орасида ҳам кўп учрайди. Сув молекуласининг кўп ажойиб хоссалари водород боғланиш хоссасидан келиб чиқади. Юқорида келтирилган кристаллардаги боғланиш турлари якка ҳолда кузатилмайди. Кристалдаги атом ёки молекула орасида бир пайтда бир неча боғланиш турлари кузатилиши мумкин. Лекин, маълум бир шароитда кристалларда бирор боғланиш тури устивор бўлиши мумкин. Ана шу нуқтаи назардан кристал боғланишлари турларга ажратилади.

### 1.6. Кристалларни ўстириш

Мидданинг кристалл бўлмаган ҳолатидан (суюқлик, газ, аморф) кристал ҳолатига (фазасига) ўтиши жараёни кристалланиши деб аталади. Кристалланиш бошланиши учун ўтиш ҳолатида турған миддада (тўйинган эритма, совутилган

қотишма ва ҳ.к.) термодинамик мувозанат бузилиши зарур. Кристалланиш жараёнида ажраб чиқсан иссиқлик миқдори кристалланишнинг яширин иссиқлиги деб номланади. Модда кристалланиши учун суюлиш температурасидан паст температурагача совутилиши керак. Ҳарорат мъълум бир критик қийматига етганда моддада кристал бўлакчалар пайдо бўла бошлади. Бу критик температура модданинг таркибига, ундағи бегона зарраларнинг зичлигига, модда солинган идишнинг девори ҳолатига ва бошқа бир қатор омилларга боғлиқ. Айрим тоза металларни суюлиш температурасидан икки марта паст температурагача совутилса ҳам кристалланмай қолаверади.

Катта монокристалларни туйинган эритмалардан ўстирилади. Уларга одатда кичкина «қармоқ» кристалчаси туширилади ва аста секинлик билан юқорига кўтарилади. Бу усул кристални тагликка кўйиб ўстиришдан кўра яхши натижалар беради. Ҳозирги пайтда кристалларни ўстиришнинг тигелсиз, Чохралский, эпитаксиал усуллари қўлланилади.

### I.7. Полиморфизм

Қаттиқ жисмлар турли температура ва босимларда турлича кристалл тузилишга эга булиши мумкин. Бу ҳодисани полиморфизм деб аталади. Масалан, углерод (карбон) атомлари олмос куринишида ҳам, графит куринишида ҳам булиши мумкин. Бу иккни кристал тузилиши бир — биридан физик хоссалари жиҳатидан кескин фарқ қиласи. Кубик тузилишга эга бўлган олмос жуда қаттиқ, шаффоғ кристал, гексагонал тузилишли, графит эса мўрт ва ёруғлик ўтказмайди. Ушбу моддалар бир кристалл тузилишдан иккинчисига ўтиши учун мъълум бир шароит (температура ва босим) булиши зарур. Ундан ташқари, ўтиш жараёнида атомлар Энергетик тўсиқни енгиб ўтишлари зарур. Агар энергетик тўсиқ еттарлича катта бўлса, бундай ўтиш ташқи таъсирсиз содир бўлмаслиги ҳам мумкин. Масалан, олмос  $T > 1500^{\circ} K$  ва  $p = 10^8 Pa$  бўлган шароитда барқарор фазада бўлади, лекин, агар биз олмосни атмосфера босими ва хона температурасига ўтказиб қўйсак ҳам, у графитга айланиб қолмайди. Олмос нормал шароитда ҳам узоқ вақт сақланиши мумкин. Полиморф ўзгаришлар натижасида кристалда кимёвий боғланиш тури ўзгариши мумкин. Оддий шароитда ковалент боғланган Si ва Ge ярим ўтказгичлари юқори босимларда металл боғланишли кристал тузилишга ўтиши мумкин.

## I.8. Кристалларда рентген нурлари дифракцияси

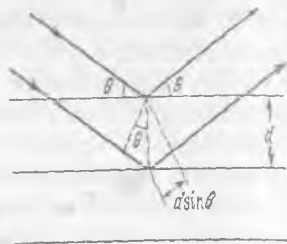
Кристалл панжараси тузилишини бевосита катталаштириб тасвирга тушириш кам ҳолатлардагина мүмкін. Шунинг учун кристалл панжараси тузилишини ўрганишда рентген нурларининг кристал панжарарадаги дифракциясидан фойдаланилади. Тұлқин узунлиги катта бұлған нурлардан ҳам фойдаланиб бұлмайды, чунки дифракцияни күзатиш учун тұлқин узунлиги дифракцион панжара даври чамасида булиши лозим. Кристалл панжарасидаги рентген нурлари дифракциясини эңг содда қилип бириңчи марта У. Брэгг ва Г. А. Вулфлар тушунтириб беришли. Рентген нурлари кристалга тушгач, улар түрли атом текисликтериден қайтадилар ва рентген нурларининг йүл фарқы тұлқин узунлигига карралы бұлғанида дифракцион максимумлар, яғни ёруғ нұқталар пайдо бұлади. Агар кристалдаги иккى текислик орасидаги масофа  $d$  га тенг болса, ва рентген нурлари  $\theta$  бурчак остида түшсө, у ҳолда 1.12- чизмада күрсатылғанидек иккى нурнинг йүл фарқы  $2ds\sin\theta$  га тенг болади. Дифракцион максимум шарты эса,

$$2ds\sin\theta = n\lambda, \quad (1.13)$$

бу ерда  $n$  - бутун сон  $\lambda$  - рентген нурининг тұлқин узунлиги.

Ушбу ифода Брэгг-Вулф қонуны деб ҳам юритилади. Кристалл панжарасидан жуда күп атом текисликтерини ўтказып мүмкін (1.4- чизма). Дифракция максимумлари улар учун ҳам бажарылыш мүмкін. Шунинг учун дифракцияни қайд қылувчи фотоплёнкада бир қанча ёруг нұқталарни күрамиз.

Брэгг-Вулф қонунига асосан рентген нурлари кристалдан қайтиши учун  $\lambda$  ва  $\theta$  ўргасида маълум бир шарт бажарылыш керак. Агар биз монохроматик нурни ихтиёрий бурчак остида уч үлчовли кристал панжарасига туширсак, ҳеч қандай дифракция күзатылмаслиги мүмкін. Дифракцион тасвир ҳосил қилиш учун биз  $\lambda$ -ни ёки  $\theta$ -ни секин аста ўзgartириш, яғни сканерлаш имкониятига эга булишимиз керак. Ҳозирги пайтда кристаллар тузилишини ўрганишнинг асосан уч хил усули құлланилади.



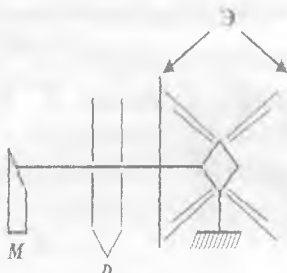
1.12-чизма. Кристалдан рентген нурлар дифракцияси.

### I.8.1. Лауэ усули

Бұ усулда рентген нури  $M$  манбадан (I.13- чизма) чиқып,  $D$ - диафрагмадан утады ва маҳкамланган  $K$  - монокристалга түшади.

Рентген нурланиши монохроматик бүлмайды, унинг таркибіда иложи борича катта диапазондаги түлкін узунликleri ҳосил қилинади.

Ингичка рентген нури кристалга түшгач, Брэгг-Вулф қонунига биноан мос йұналишларда дифракцион максимумлар ҳосил болади. Бұ ёруғ нүкталар кристални олди ва орқасига үрнатылған  $\mathcal{E}$  — экрандағы фотоплён-каларда тасвир ҳосил қиласылады. Ушбу усул кристалл панжара тузилишини, симметриясини аниқлашда яхши самара беради. Кристалга түлкін узунліктері түрлича бүлгін рентген нурлари түшгандылығы учун бұ усулда түлкін узунлігі буйічка сканерланмоқда дейіш мүмкін.



1.13-чизма. Рентген нурлары дифракциясы Ләу усули.

### I.8.2. Кристални айлантириш усули

Бунда үққа маҳкамланган монокристалл шу үқ атрофида айланып турады (бұрчак буйічка сканерлаш). Монокристалга монохроматик рентген нури тушірилады. Кристал Брэгг-Вулф шартини қаноатлантирувчи бұрчакка бурилғанда фотоплёнкада дифракцион максимум ҳосил болади. Бұ усул мұраккаб молекулалар тузилишини аниқлашда кенг құлланилады.

### I.8.3. Құқун (порошок) усули

Бұ усулда монокристалл намуна майдаланып құқун ҳолига келтирилады ва юпқа шиша идишли капилляр нағай солинади. Камерага маҳкамланган идишга монохроматик рентген нурлары тушірилады. Тушаёттан нурлар Брэгг-Вулф шартини бажаурувчи вазиятда ёттан кристал бұлакчаларидан қайтадилар. Ушбу усулнинг қулайлық томони шундаки, йирик монокристалларни ишлатышнинг ҳожати йүк.

Агар кристалл панжарасининг трансляцион векторлари  $\bar{a}_1, \bar{a}_2, \bar{a}_3$  маълум бўлса, у ҳолда  $\vec{k}$  түлқин векторли рентген нури тушганда дифракция ҳосил булиш шартларини қуриб чиқамиз. Фараз қиласайлик,  $\vec{k}'$  йуналишда қайтган рентген нурларида дифракция кузатилди, у ҳолда Брэгг-Вулф шартига асосан  $\Delta\vec{k} = \vec{k}' - \vec{k}$  вектор қўйидаги шартларни қаноатлантириши зарур.

$$\bar{a}_1\Delta k = 2\pi n_1, \quad \bar{a}_2\Delta k = 2\pi n_2, \quad \bar{a}_3\Delta k = 2\pi n_3 \quad (1.14)$$

Бу ифодада  $n_1, n_2, n_3$  лар бутун сонлар. Ушбу ифода Лаэнинг дифракция тенгламалари деб аталади.

### I.9 Тескари панжара

Юқорида келтирилган  $\Delta\vec{k}$  векторини яъни тушаётган ва дифракция шарти бажарилган йуналишда қайтаётган рентген нурларининг түлқин векторлари фарқини биз векторлар йифиндиси қўринишида тасвирлаб олишимиз мумкин:

$$\Delta\vec{k} = n_1\bar{b}_1 + n_2\bar{b}_2 + n_3\bar{b}_3 \quad (1.15)$$

(1.14) ифодадан:  $\bar{a}_1\Delta k = \bar{a}_1n_1\bar{b}_1 + \bar{a}_1n_2\bar{b}_2 + \bar{a}_1n_3\bar{b}_3 = n_1\bar{a}_1\bar{b}_1 = 2\pi n_1$ , яъни  $\bar{a}_1\bar{b}_1 = 2\pi$  эканлиги келиб чиқади. Худди шунингдек  $\bar{a}_2\bar{b}_2 = 2\pi$ ,  $\bar{a}_3\bar{b}_3 = 2\pi$  Демак  $\bar{b}_1$  вектор  $\bar{a}_2$  ва  $\bar{a}_3$  га тик,  $\bar{b}_2$  эса  $\bar{a}_1$  ва  $\bar{a}_3$  га,  $\bar{b}_3$  вектор  $\bar{a}_1$  ва  $\bar{a}_2$  га тик (чунки скаляр қўпайтмалари нолга тенг). Шунинг учун  $\bar{b}_1, \bar{b}_2, \bar{b}_3$  векторларни қўйидагича танлаб оламиз:

$$\bar{b}_1 = 2\pi/\bar{a}_2\bar{a}_3 / V_0, \quad \bar{b}_2 = 2\pi/\bar{a}_3\bar{a}_1 / V_0, \quad \bar{b}_3 = 2\pi/\bar{a}_1\bar{a}_2 / V_0 \quad (1.16)$$

Ушбу  $\bar{b}_1, \bar{b}_2, \bar{b}_3$  векторлари кристаллнинг *тескари панжараси векторлари* деб аталади. (1.16) ифодалар маҳражидаги  $V_0 = \bar{a}_1/\bar{a}_2\bar{a}_3$  - тўғри панжара элементар катагининг ҳажмини билдиради. Тескари панжара абстракт тушунча булиб, кристалдаги айрим ҳодисаларни ифодалашни осонлаштиради. Масалан, кристалда дифракция,

түлқинларнинг тарқалиши, квази зарраларнинг (фонон, солитон, плазмон ва ҳ.к.) энергетик спектрларини таҳлил қилишда фойдаланилади. Тескари панжарадан фойдаланиб, Лаузнинг дифракция тенгламасини бошқа кўринишда ёзишимиз мумкин:

$\bar{b}_n = n_1 \bar{b}_1 + n_2 \bar{b}_2 + n_3 \bar{b}_3$  деб оламиз, у ҳолда (1.15) га асосан,

$$\Delta \bar{k} = \bar{k}' - \bar{k} = \bar{b}_n, \quad (1.17)$$

$|\bar{k}'| = |\bar{k}|$  эканлигидан ва (1.17) дан  $k_2 = k'_2 = (b_n + k)^2$  келиб чиқади

$$k'^2 = b_n^2 + k^2 + 2(\bar{b}_n \bar{k}), \quad k^2 = k'^2, \quad \text{булгани учун}$$

$$\bar{b}_n^2 + 2(\bar{b}_n \bar{k}) = 0 \quad (1.18)$$

ҳосил қиласиз.

Ушбу ифода кристаллдаги рентген нурлари дифракциясини тексари панжара вектори орқали тавсифидир. Тескари панжара векторларининг кўйидаги хоссалари мавжуд.

а) Тескари ва тўғри панжара векторларининг скаляр кўпайтмаси бутун сонга тенг.

$\bar{b}_m = m_1 \bar{b}_1 + m_2 \bar{b}_2 + m_3 \bar{b}_3$  бўлсин.  $\bar{a}_n = n_1 \bar{a}_1 + n_2 \bar{a}_2 + n_3 \bar{a}_3$ . Бу ҳолда  $(\bar{b}_m \bar{a}_n) = m_1 n_1 + m_2 n_2 + m_3 n_3$ , яъни бутун сон бўлади.

б)  $\bar{b}_m$  вектор узунлиги текисликлар орасидаги масофанинг тексарисига каррали  $|\bar{b}_m| = m^{-1/d}$ ,  $m$  - бутун сон,  $d$  - текисликлар орасидаги масофа.

в)  $\bar{b}_m$  вектори ўзининг ташкил этувчилари индекслари билан бир хил Миллер индексли текисликларга тик йўналган.

## 1.10. Бриллюэн зонаси

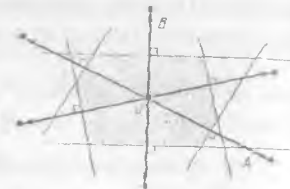
Бриллюэн зоналарини тушунтириш учун икки ўлчовли кристалл панжарасини куриб чиқамиз (1.14-чиизма). Кристалл панжара тугунидаги А атомнинг атрофидаги атомлар билан бирлаштириб чиқамиз. Ҳар бир кўшни атом билан бирлаштирувчи чизикнинг ўргасидан шу чизикқа тик кесма билан тенг иккига бўламиз. Хосил бўлган штрихланган шакл Вигнер-Зейц элементар катаги деб аталади. Ушбу катакни текисликларга трансляция векторлари бўйича кўчирсак, кристалл панжара тузилишини тиклаш мумкин,

яъни Вигнер-Зейш элементар катаги ҳам элементар катак танлашнинг бир усулидир. Энди ушбу кристал панжарага тескари панжарани тузамиз ва бу панжарада ҳам юқоридаги тартибда элементар катак ажратиб оламиз. Тескари панжарарадаги ушбу катак биринчи Бриллюэн зонаси деб аталади. Бриллюэн зонасининг физик мөхияти шундан ибораткий, Бриллюэн зонаси ичиди ётувчи  $k$  түлкүн векторига эга бўлган барча рентген нурлари Брэг - Вулф шартига асосан кристаллдан қайтиши мумкин. Ҳозирги кунда Бриллюэн зоналари кристаллографияда ишлатилмасада, кристалларнинг зоналар назариясида жуда муҳим аҳамиятга эга.

Бриллюэн зонасидаги электронлар ўзининг энергиясини ва импульсини узлуксиз ўзгартира оладилар. Бриллюэн зонасини тарк этиш учун электронларнинг энергияси сакраб ўзгариши керак.

### Саволлар ва масалалар

1. Қаттиқ жисмлар улардаги молекула ва атомларнинг боғланишига қараб қандай турларга бўлинади?
2. Кристалл панжарасининг нуқтавий ва трансляцион симметрияси деганда нимани тушунасиз?
3. Миллер индекслари нима?
4. Браве панжаралари ва кристалл сингониялари фарқини тушунтириб беринг?
5. Ёқий ва ҳажмий марказлашган ҳамда содда кубик кристалл панжарасининг элементар катагида нечта атом жойлашган бўлади?
6. Идеал зич гексагонал панжара учун  $|a_3|/|a_1|=1,633$  эканлигини кўрсатинг.
7. Содда кубик панжарали калий бром кристаллининг зичлигини топинг? ( $a=6,59 \text{ \AA}$ )
8. Гексагонал панжарали кристаллнинг элементар катагининг ҳажмини топинг?  $a_1$  ва  $a_3$  лар берилган деб ҳисобланг.
9. Қадмий кристалли зўч гексагонал кристалл панжарасига эга. Агар  $a_1=2.97 \text{ \AA}$ ,  $a_3=5,61 \text{ \AA}$ , бўлса, қадмий кристаллининг зичлигини аниқданг?
10. Полиморфизм ҳодисасини тушунтиринг?



1.14- чизма. Бриллюэн зонасига доир.

## II БОБ

### КРИСТАЛЛ ПАНЖАРАСИ ТЕБРАНИШЛАРИ

Кристалл панжараси динамикасини таҳлил қилишнинг икки услуби маълум. Улардан бири микроскопик (атомистик) услуб дейилиб, унинг асосини кристалл панжарасида атомлар (ионлар, молекулалар)нинг даврий дискрет жойлашиши ва уларни бирга тутиб турувчи кучлар ҳақидаги тасаввурлар ташкил қиласи. Бу услуб кристалл бўйлаб тарқалаётган тўлқинлар  $\lambda$  узунлиги панжара  $a$  доимийси (икки қўшни атом марказлари орасидаги ўртача ёки муваузанатий масофа)дан бирмунча катта бўлган ҳолда, яъни

$$\lambda > a \quad (2.1)$$

муносабат бажарилган ҳолда маъқул булади. Иккинчи услубни макроскопик ёки континуал услуб дейилади. Бу услубнинг қўлланиши учун

$$\lambda >> a \quad (2.2)$$

шарт бажарилиши зарур. Тажрибадан маълум бўлишича, менталл, ионли ва ковалент кристалларда тарқаладиган ўз товуш тебранишлари тезлиги  $5000\text{м/с}$ , 1 Гц такрорийликка  $\lambda \approx 5\text{мкм}$  тўлқин узунлиги тўғри келади. Бу эса одатдаги панжара доимийси  $a=2,5 \cdot 10^{-10}\text{м}$  дан 2000 марта катта. Бу услубда қаттиқ жисемни туташ муҳит деб қаралади. Ҳар икки услубнинг фазилатлари ва камчиликлари бор. Улар қаттиқ жисем динамикасини урганиша бир бирини тўлдиради.

Энди биз бу услубларни баён қилишга киришамиз.

#### 2.1. Чизигий содда панжара атомларининг тебранишлари

Кристалнинг таркибидаги зарралар (атомлар, ионлар, молекулалар) факат мутлоқ нол температурада панжара тутунларида тинч туради. Температура ошган сайн атомлар (бундан кейин таркибий зарраларни атомлар деб атаймиз, таҳлилдан келиб чиқадиган холосаларни, масалан, ионлардан таркибланган кри-

сталларга табиқлаш мүмкін) тебранма ҳаракати амплитудаси ортиб боради.

Атомлар чексиз бир чизік устида даврий равища (хар иккі құшни бир-биридан  $a$  масофада) жойлашган. Ҳар бир атом эңг яқын иккі ён құшниси билан квази эластик ұзаро таъсирлашади. Бу фарз атомларнинг мувозанат вазиятидан четланиши кичик, яғни  $|u_n| \ll a$  бұлғанида адолатли бўлади. Квази эластик кучлар таъсирида атомлар гармоник тебранишлар бажарадилар.  $u_n, u_{n-1}, u_{n+1}$  — тегишли атомлар силжишлари.

Квази эластик куч таърифи бўйича, силжишнинг биринчи дара-жасига пропорционал, унинг йўналишига қарши йўналган бўлади. Демак,  $n$ - атомга  $n-1$  атомнинг таъсир кучи

$$f_{n,n-1} = -\beta(u_n - u_{n-1}), \quad (2.3)$$

$n+1$  атомнинг таъсир кучи:

$$f_{n,n+1} = -\beta(u_n - u_{n+1}) \quad (2.4)$$

бўлиб,  $n$ - атомга таъсир қилаётган натижавий куч:

$$f_n = -\beta(2u_n - u_{n-1} - u_{n+1}), \quad (2.5)$$

бу ерда  $\beta$  — квази эластик куч коэффициенти.

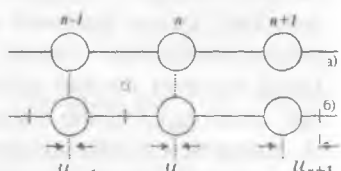
Ньютоннинг иккинчи қонунига асосан  $n$ - атомнинг ҳаракат тенгламаси:

$$\frac{md^2u_n}{dt^2} = -\beta(2u_n - u_{n-1} - u_{n+1}). \quad (2.6)$$

Унинг ечими чопувчи тўлқин куринишида бўлади;

$$u_n = Ae^{-i(\varphi_0 + \omega t)}. \quad (2.7)$$

Бу ифодада  $A$  — амплитуда,  $(\varphi_0 - \omega t)$  — фаза дейилади,  $a$  — координата бошидан  $n$  — атомгача дискрет масофа,  $q = \frac{2\pi}{\lambda}$  — тўлқин сон,  $\omega$  — такрорийлик,  $t$  — вақт,  $\lambda$  — тўлқин узунлиги. (2.6) тенгламага (2.7) ечимни қўйсак,



2.1- чизма. а) чизигий содда панжарада атомларнинг мувозанатли вазияти;  
б) вертикаль чизиқлар силжиган атомлар вазияти.

$$-m\omega^2 = -\beta(2 - e^{-iq_a} - e^{iq_a}) \quad (2.8)$$

$e^{-iq_a} + e^{iq_a} = 2 \cos aq$  бўлганидан

$$\omega^2 = 2 \frac{\beta}{m} (1 - \cos aq) = 4 \frac{\beta}{m} \sin^2 \frac{aq}{2}$$

ёки

$$\omega = 2 \sqrt{\frac{\beta}{m}} \left| \sin \frac{aq}{2} \right| = \omega_m \left| \sin \frac{qa}{2} \right| \quad (2.9)$$

ифодани ҳосил қиласиз, бунда  $\omega_m$  — максимал тақориийлик.

Агар  $\omega$  тақориийлик q тўлқин сон билан (2.9) дисперсион муносабат орқали боғланган бўлса, у ҳолда (2.7) орқали ифодаланган чопувчи тўлқин (2.6) тенгламанинг ечими бўлади. Баъзи хуласалар ҳақида тұхтalamиз.  $\omega = \omega(q)$  функция даврий ўзгаради [(2.9)га қаранг]. q ни (2.7) ифодада  $q' = q + \frac{2\pi}{a}$  га алмаштирасак,  $u'_n = u_n$  бўлиб чиқади, яъни q ва  $q'$  физик жиҳатдан фарқсиз. Бошқача айтганда, q ўзгаришларининг ҳар қандай  $\frac{2\pi}{a}$  кенглиқдаги оралигини қарашиб етарлидир. q нинг асосий ўзгариш оралиги қилиб

$$-\frac{\pi}{a} \leq q \leq \frac{\pi}{a} \quad (2.10)$$

соҳани танлаб олиш мумкин.

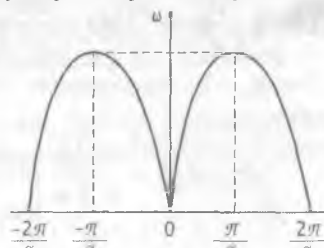
$\omega = \omega(q)$  боғланиш  $\frac{2\pi}{a}$  давр билан ўзгариши 2.2- расмдан кўриниб турибди, бунда

$q=0$  да  $\omega=0$ ,

$$q = \pm \frac{\pi}{a} \text{ да } \omega = \omega_m .$$

$q = \frac{2\pi}{\lambda}$  муносабатга кўра  $q=0$  да  $\lambda_{max} = \infty$ ,  $q = \pm \frac{\pi}{a}$  да  $\lambda_{min} = 2a$ .

Демак, энг кичик тўлқин узунлиги  $2a$  бўлиб, энг каттаси чексиздир.



2.2- чизма.  $\omega(q)$  боғланиш

Максимал тақрорийлік ва минимал түлқін узунлиғи мавжуддиги дискрет атомлар түзими тебранишларында хос хусусияттарынан шығады. Биз күрган қол атомлар чексиз занжирига тегишли эди. Кристалларнинг макроскопик намуналари күп, аммо чекли сондаги атомлардан таркибланган. Атомлар занжирчаси чегаралари таъсирини назарий бартараф қилиш учун  $G$  та атомларни катта радиусли айланна бўйлаб жойлаштирилади деб фараз қилиб,

$$u_{n+G} = u_n \quad (2.11)$$

куринишдаги Борн-Карман айланавий шартини киритиш мумкин, бунда  $n \pm G$  атом  $n$ - атом билан битта. Бу шартдан (2.10) ўрнига

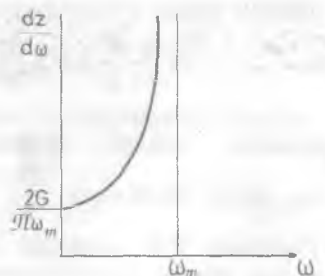
$$-\frac{G}{2} \leq g \leq \frac{G}{2} \quad (2.12)$$

шарт ( $g$ -бутун сон) келиб чиқади. Демак,  $G$  атомдан ташкил топган чизигий занжирчанинг эркинлик даражалари  $G$  та, бинобарин,  $q$  нинг қийматлари шу сонга тенг бўлади. (2.11) шартдан:

$$q = \frac{2\pi}{a} \frac{g}{G}. \quad (2.13)$$

$\omega$  дан  $\omega + d\omega$  бўлган оралиқда қанча сонда тебранишлар бор деган саволга жавоб топайлик. (2.9) ифодадан

$$d\omega = a \sqrt{\frac{\beta}{m}} \left| \cos \frac{aq}{2} \right| dq = \frac{2\pi}{G} \sqrt{\frac{\beta}{m}} \left| \cos \frac{qa}{2} \right| dg.$$



Демак,  $d\omega$  оралиқдаги тебранишлар сони

$$dz = 2dg = \frac{G}{\pi} \sqrt{\frac{\beta}{m}} \frac{d\omega}{\left| \cos \frac{aq}{2} \right|}. \quad (2.14)$$

бўлади. Бундан тебранишлар сони зичлиги:

$$\frac{dz}{d\omega} = \frac{2G}{\pi} \frac{1}{\sqrt{\omega_m^2 - \omega^2}} \quad (2.15)$$

Эластиклик назариясидан маълумки, товуш тезлиги  $v_0$  эластиклик модули ва зичлик орқали ифодаланади.

$$v_o = \sqrt{\frac{E}{\rho}} = a\sqrt{\frac{\beta}{m}} \quad (2.16)$$

Узун түлқинлар учун  $\left( \frac{aq}{2} = \frac{a\pi}{\lambda} \leq 1 \right)$  юқоридаги (2.9) ифодадан  $\omega$  билан  $q$  орасыда пропорционал болганиш булишлігі келиб چықады:

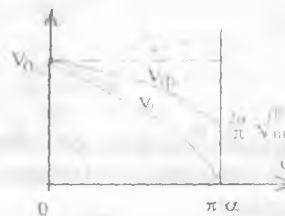
$$\omega = v_o q. \quad (2.17)$$

Аммо умумий ҳолда түлқинлар дисперсияси мавжуд. Бунда фаза тарқалиши тезлиги  $v_\phi$  ни ва түлқинларнинг гурӯхий тезлиги  $v_t$  ни бир-биридан фарқи бор. Ҳақиқатан ҳам (2.9) асосыда олинадиган

$$v_\phi = \frac{\omega}{|q|} = v_o \left| \frac{\sin \frac{aq}{2}}{\frac{aq}{2}} \right| \quad (2.18)$$

$$v_t = \left| \frac{d\omega}{dq} \right| = v_o \left| \cos \frac{aq}{2} \right| \quad (2.19)$$

ифодалар графиклари (2.4-чизма) бу фарқни курсатып турибди. Бунда биз чизигий содда панжара тебранишлари ва түлқинларини гармоник тақрибда таҳсил қылғанимизни таъкидлаймиз.



2.4-чизма. Фазавий ва гурӯхий тезликтарнинг  $q$  га болганиші.

## 2.2. Чизигий мураккаб панжара таңдаудың түлқинлар

Энди биз элементар катагида иккى атом бұлған мураккаб бир үлчамли (чизигий) чексиз панжарада тебранишлар ва түлқинларни қараб чиқайлик.  $\text{NaCl}$ ,  $\text{CsCl}$  каби ионлардан таркибланған,  $\text{Si}$  ва  $\text{Ge}$  каби атомлардан таркибланған кристаллар элементар ячейкасида 2 та атом булади.



2.5-чизма. Чизигий мураккаб панжарада атомлар жойлашыны.

Қаралаёттан чизигий панжарада атомлар дағынның жойлашиши 2.5-чизмада тасвирланған. Биринчи хил атомлар  $n'-1$ ,  $n'$ ,  $n'+1$  равишида, иккінчи хил атомлар  $n''-1$ ,  $n''$ ,  $n''+1$  равишида белгиланған.

Бу ҳолда ҳам гармоник тақрибда иш күрамиз. Ҳар бир атом энг яқын икки құшниси билан үзаро таъсирлашади деб ҳисоблаймиз. Бунда  $n'$  ва  $n''$  атомлар орасидаги квази эластик таъсир қуци коэффициентини  $\beta_1$ , аммо  $n'$  ва  $n''-1$  атомлар орасидаги таъсир қуци коэффициентини  $\beta_2$  деб фараз қиласиз. Биринчи ва иккінчи хил атомлар массалари мос равищда  $m'$  ва  $m''$  бўлсин.

$n$  ва  $n'$  атомларнинг силжишларини  $u_n'$  ва  $u_n''$  деб, бошқалариникини  $u_n' - 1, u_n' + 1, u_n'' - 1, u_n'' + 1$  деб белгилаб қўйидаги ҳаракат тенгламаларини ёза оламиз:

$$m' \frac{d^2 u_n'}{dt^2} = -\beta_1(u_n' - u_n'') - \beta_2(u_n' - u_n''), \quad (2.20)$$

$$m'' \frac{d^2 u_n''}{dt^2} = -\beta_1(u_n'' - u_n') - \beta_2(u_n'' - u_{n+1}'). \quad (2.21)$$

Квази эластик куч таъсирида ҳамма вақт гармоник ҳаракат юзага келишини эътиборга олсак, (2.20) ва (2.21) тенгламаларнинг ечимлари

$$u_n' = A' e^{-i(qan - \omega t)}, \quad u_n'' = A'' e^{-i(qan - \omega t)}. \quad (2.22)$$

Бунда  $a$  панжара доимийси-иккита бир хил құшни атом орасидаги масофа. (2.22) ечимларни (2.20) ва (2.21) га олиб бориб қўйилса, бაъзи амаллардан сўнг  $A'$  ва  $A''$  амплитудалар учун иккита тенглама ҳосил бўлади:

$$\left[ \omega^2 - \frac{\beta_1 + \beta_2}{m'} \right] A' + \left[ \frac{\beta_1 + \beta_2 e^{-aq}}{m'} \right] A'' = 0, \quad (2.23)$$

$$\left[ \frac{\beta_1 + \beta_2 e^{-aq}}{m''} \right] A' + \left[ \omega^2 - \frac{\beta_1 + \beta_2}{m''} \right] A'' = 0. \quad (2.24)$$

Бу икки чизигий бир жинсли тенгламалар системаси бўлиб,  $A'$  ва  $A''$  номаълумлар олдидаги кўпайтувчилардан тузилган аниқловчи (детерминант)

$$\Delta = \begin{vmatrix} \omega^2 - \frac{\beta_1 + \beta_2}{m'} & \frac{\beta_1 + \beta_2 e^{-aq}}{m'} \\ \frac{\beta_1 + \beta_2 e^{-aq}}{m''} & \omega^2 - \frac{\beta_1 + \beta_2}{m''} \end{vmatrix} = 0 \quad (2.25)$$

булгандагина юқоридаги система маңноли өчимларга эга бўлади. (2.25) аниқловчи очиб чиқилса,  $\omega^2$  га нисбатан квадрат тенглама ҳосил бўлиб, унинг өчимлари иккита бўлади:

$$\omega_1^2 = \frac{1}{2} \omega_0^2 \left\{ 1 - \sqrt{1 - \gamma^2 \sin^2 \frac{aq}{2}} \right\}, \quad (2.26)$$

$$\omega_2^2 = \frac{1}{2} \omega_0^2 \left\{ 1 + \sqrt{1 - \gamma^2 \sin^2 \frac{aq}{2}} \right\}. \quad (2.27)$$

Бунда,

$$\omega_0^2 = \frac{(\beta_1 + \beta_2)(m' + m'')}{m'm''}, \gamma^2 = 16 \left[ \frac{\beta_1 \beta_2}{(\beta_1 + \beta_2)^2} \right] \left[ \frac{m'm''}{(m' + m'')^2} \right].$$

Агар  $\omega$  ва  $q$  орасидаги боғланиш (2.26) ва (2.27) кўрининища бўлса, (2.22) өчимлар (2.20) ва (2.21) ҳаракат тенгламаларини қаноатлантиради.

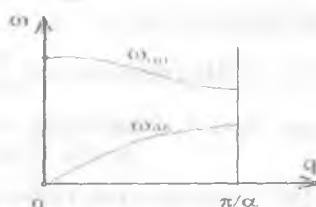
(2.26) ва (2.27) өчимлар асосида қўйидаги муҳим хуносалар келиб чиқади.

1. (2.26) ва (2.27) ифодалар тебранишларнинг икки тармоғини аниқлайди. (2.26) ифода тавсифлайдиган тармоқни акустик тармоқ, (2.27) тармоқни оптик тармоқ дейилади. Мазкур ифодалардан

$$\omega_{on}(0) = \omega_0 \omega_{on}\left(\frac{\pi}{a}\right) \omega_{ak}\left(\frac{\pi}{a}\right) \omega_{ak}(0) = 0 \quad (2.28)$$

муносабатлар акустик тармоқ оптик тармоқдан пастда жойлашган, у нол такрорийликдан бошлангани ҳолда оптик тармоқ анча юқори такрорийликли тебранишларни ўз ичига олади (2.6-чизма).

2. Акустик ва оптик тармоқларда тебранишлар феълини қарайлик. (2.22) — (2.24) ифодалардан



2.6-чизма.  $\omega(q)$  боғланиш тармоқлари.

$$\frac{u'_n}{u''_n} = \frac{A'}{A''} = \frac{\beta_1 + \beta_2 e^{-\alpha q}}{(\beta_1 - \beta_2) - m' \omega^2} \quad (2.29)$$

муносабат олиш мүмкін. Уни чегаравий ҳолларда күрайлик.

А) Чексиз узун тұлқынлар ҳолида

$$\lambda = \infty, q = \left( \frac{2\pi}{\lambda} \right) = 0$$

Бу ҳолда

$$\left( \frac{u'_n}{u''_n} \right)_{ak} = 1, \left( \frac{u'_n}{u''_n} \right)_{an} = -\frac{m'}{m''}, \quad (2.30)$$

Демек, акустик тармоққа тегишли тебранишлар тұлқынлари чексиз узун бұлғаннанда атомлар бир фазада тебранади, яны  $u'_n = u''_n$  бўлади. Оптик тармоқда эса бу ҳолда атомлар бир бирига қарши фазада тебранади, аммо уларнинг оғирлик маркази ҳаракатсиз қолади.

Биринчи тармок **эластик** акустик тұлқынларға мос келади, шундан унинг номи **келиб** чиққан. Иккинчи тармоқ тебранишлари оптик жиҳатдан **фаол**, яъни улар инфрақизил нурланишини ютиш ва чиқаришда қатнаша олади, шундан унинг номи **келиб** чиққан. Ҳақиқатан, агар кристалл элементтар катагида иккита чиққан.

Б) Энг қисқа узунлукдаги тұлқынлар ҳолида

$$\lambda = 2a, q = \frac{2\pi}{\lambda} = \frac{\pi}{a}$$

(2.22), (2.24) ифодалардан  $\frac{u'_n}{u''_n}$  учун муносабат ҳосил қилинади.

Унинг  $\beta_1 = \beta_2$  бұлғандаги таҳлили қуидаги ғатижаларни беради:

$m''(m')$  ҳолда акустик тармоққа  
 $m'(m'')$  ҳолда оптик тармоққа

$$(2.31) \quad \begin{cases} u'_n = 0, u''_n \neq 0, \\ u'_n \neq 0, u''_n = 0. \end{cases}$$

Демак, энг қисқа  $\lambda = 2a$  түлкін ҳолида акустик тармоқда енгил атомлар қарапатсиз, оғирлари тебраниб туради, оптик тармоқда эса аксинча.

В) яна бир ҳолни, яъни  $m' = m''$  ва  $\beta_1 \rangle \beta_2$  ҳолни құрайлил. Юқоридагига үхшаш таҳлил оқибатида бу ҳолда

$$\left( \frac{u'_n}{u''_n} \right)_{ak} = 1 \text{ ва } \left( \frac{u'_n}{u''_n} \right) = -1. \quad (2.32)$$

Энг қисқа акустик түлкінде, бу ҳолда атомлар бир хил фазада тебранади. Оптик түлкінде эса қарши фазаларда тебранади. Биз олдин агар (2.9) дисперсия муносабати бажарылса, (2.7) ифода чо-пувчи түлкін (2.6) тенглама ечими булишлігini күрдик. Аммо (2.7) гармоник түлкінлар бу занжирчадаги атомларнинг энг умумий қарапатини тавсифламайды. Бунинг учун (2.7) күринищдеги мумкин бұлған барча түлкінларнинг чизирий үйіндеси олиниши керак. Энг умумий ҳолда атомнинг силжиши

$$u_n = \sum_q \left\{ A_q e^{i(qan-\omega t)} + A_q^* e^{-i(qan-\omega t)} \right\} \quad (2.33)$$

күринища ифодаланиши керак. Агар  $G$  атомдан ташкил топған занжирчада қаралса, у ҳолда:

$$u_n = \frac{1}{G} \sum_q \left\{ a_q e^{i(qan-\omega t)} + a_q^* e^{-i(qan-\omega t)} \right\} \quad (2.34)$$

Бунда  $a_q = \sqrt{G} e^{-i\omega t}$ .

Атомлар занжирчасининг кинетик энергияси  $E_k = \frac{m}{2} \sum_{n=1}^G u_n^2$ , по-

тенциал энергияси  $E_n = \frac{\beta}{2} \sum_{n=1}^G (u_n - u_{n-1})^2$ . (2.34) ифодадан фойдаланиб занжирчанинг тұла энергиясini

$$E = E_k + E_n = 2m \sum_q \omega_q^2 a_q a_q^*$$

күринишига келтирилади.  $x_q = a_q + a_q^*$ ,  $p_q = \frac{m\omega_q}{i} (a_q - a_q^*)$  белгилашлар киритсак,

$$E = \sum_q \left\{ \frac{1}{2m} p_q^2 + \frac{1}{2} m \omega_q^2 x_q^2 \right\}. \quad (2.35)$$

$x_q$  ва  $p_q = m\dot{x}_q$  катталиклар нормал координаталар ва уларга құшма импуслар вазифасини бажаради. Демек, бир үлчовли кристалдән өткөн үмумий ҳаракати гүлә энергиясы  $E$  нормал тебранишлар энергиялари шартында сифатида ифодаланади.

### 2.3 Уч үлчовли мураккаб кристалл панжараси атомлари тебранишлари

Бир үлчовли (чиригий) кристалл панжараси атомлари тебранишларининг асосий хоссалари фазовий панжара атомлари тебранишларига ҳам тегишилди. Аммо фазовий панжара тебранишларига хос хусусияттар мавжуд. Биз энді уч үлчовли (фазовий) мураккаб кристаллни қарайлык. Унинг элементтар катагыда  $s$  та  $m_k$  ( $k=1,2,\dots,s$ ) түрли массаларға эта бүлгелер бүлсін.  $k$ -атомнинг  $n$ -элементар катакдаги вазияти

$$\vec{r}_n^k = \vec{a}_n + \vec{r}^k \quad (2.36)$$

бүлсін, бунда  $\vec{a}_n = n_1 \vec{a}_1 + n_2 \vec{a}_2 + n_3 \vec{a}_3$  — түгри панжара вектори,  $\vec{r}^k$  —  $k$ -атомнинг элементар катак ичидеги вазиятини аниқловичи радиус-вектор. Шу  $k$ -атомнинг мувозанатий вазиятидан силжишини  $\vec{u}_n^k$ , унинг түгри бурчаклы координата системасидеги ташкил этувчиларини  $\vec{u}_{\alpha n}^k$  ( $\alpha = x, y, z$ ) деб белгилаймиз.

Кристалл ичиде ажратып олинган күн  $G$  сонли зарраларни үз ичине олған соқанынг  $N$  элементар катагыда  $3sN$  та  $u_{n\alpha}^k$  силжишилар булады, силжишилар булмагандан  $u_{n\alpha}^k = 0$ , потенциал энергия  $E$  минимал (энг кичик) булады, яйни  $\left( \frac{\partial E_{\text{пот}}}{\partial u_{n\alpha}^k} \right)_0 = 0$ . Яна

$E_{\text{пот}}(u_{n\alpha}^k = 0) = 0$  деб ҳисоблаймиз. Бу ҳолда силжишилар функциясы бүлмииш  $E_{\text{пот}}(u_{n\alpha}^k)$  потенциал энергияны  $u_{n\alpha}^k$  даражалары буйнича қаторға ёймайды.

$$E_{hom} = \frac{1}{2} \sum_{\alpha \beta \gamma \delta \kappa \ell} C_{\alpha \beta} \binom{\kappa \ell}{n n'} \ell_{\alpha \ell} \ell_{n' \beta} + \frac{1}{6} \sum_{\substack{\alpha \beta \gamma \\ \kappa \ell \kappa' \ell' \\ \alpha \beta \gamma}} C_{\alpha \beta \gamma} \binom{\kappa \ell \kappa' \ell'}{n n' n''} \ell_{\alpha \ell} \ell_{n' \beta} \ell_{n'' \gamma} + \dots \quad (2.37)$$

бунда,

$$C_{\alpha \beta} = \left( \frac{\partial^2 E_{hom}}{\partial u_{n \alpha}^k \partial u_{n' \beta}^{k'}} \right) u_{n \alpha}^k = 0, \\ u_{n' \beta}^{k'} = 0, \\ C_{\alpha \beta \gamma} = \left( \frac{\partial^3 E_{hom}}{\partial u_{n \alpha}^k \partial u_{n' \beta}^{k'} \partial u_{n'' \gamma}^{k''}} \right) u_{n \alpha}^k = 0, \\ u_{n' \beta}^{k'} = 0, \\ u_{n'' \gamma}^{k''} = 0.$$

Гармоник тақрибда, яғни атомлар үзаро таъсир күчлери квази эластик деб ҳисобланған ҳолда (2.37) ёйилмада биринчи йигиндидан бошқа ҳамма ҳадларни ташлаб юбориш керак:

$$E_{hom} = \frac{1}{2} \sum_{n n' \kappa \ell} C_{\alpha \beta} u_{n \alpha}^k u_{n' \beta}^{k'}. \quad (2.37')$$

Мазкур соңа атомлари кинетик энергияси йигиндиши

$$E_{kin} = \frac{1}{2} \sum_{n \kappa} m_k (u_{n \alpha}^k)^2. \quad (2.38)$$

Квадратик (2.37) күрнишда ифодаланған  $E_{hom}$  дан силжині буйиича олинған ҳосиля мөс квази эластик күчни аниклайды:

$$f_{n \alpha}^k = - \frac{\partial E_{hom}}{\partial u_{n \alpha}^k}.$$

Гармоник тақрибда қаралаётган атомларнинг классик ҳаракат тенгламалари, биностарин,

$$m_k \frac{d^2 u_{n \alpha}^k}{dt^2} = - \frac{\partial E_{hom}}{\partial u_{n \alpha}^k} = - \sum C_{\alpha \beta} u_{n' \beta}^{k'}. \quad (2.39)$$

Күрниншида бұлиб ( $n=1, 2, 3, \dots, N; k=1, 2, 3, \dots, s; x, v, z$ ), улар  $3sN$  та номағым  $u_{n \alpha}^k$  үчүн  $3sN$  та дифференциал тенгламалар системаси-ни ташкил қылады. Бұ ҳолда ҳам тенгламалар ечимини

$$u_{n \alpha}^k = \frac{1}{\sqrt{m_k}} A_{\alpha}^k(q) e^{i(p_m \alpha - \omega t)} \quad (2.40)$$

чопуучи түлкінлар күрнишида тасвирлаймиз.

$\frac{1}{\sqrt{m_k}} A_a^k$  — турли атомлар хили учун турли бўлган  $\frac{1}{\sqrt{m_k}} A^k$  — комплекс амплитуда ташкил этувчилари,  $\vec{q} = \frac{2\pi}{\lambda} \vec{n}_o$  — тўлқин вектор ( $\vec{n}_o$  — ясси тулқинга нормалнинг бирлик вектори),  $\omega = \omega(\vec{q}) = \omega_q$  — тақорийлик.

Бу масалани ечишдан келиб чиқадиган асосий натижаларга тұхтalamиз:

А) Бир үлчовли панжара тебранишлари ҳолидагидек,  $\vec{q}$  ва  $\vec{q}' = \vec{q} + \vec{b}_g$  (бунда тескари панжара вектори  $\vec{b}_g = g_1 \vec{b}_1 + g_2 \vec{b}_2 + g_3 \vec{b}_3$ ) векторлар тавсифлайдиган тўлқинлар бир бири билан айнандир, яъни

$$u_{n\alpha}^k(\vec{q}') = u_{n\alpha}^k(\vec{q}). \quad (2.41)$$

Буни  $\vec{a}_n$  ва  $\vec{b}_g$  векторлар ташкил этувчилари орасидаги боғланишлар асосида исботлаш осон. Демак,  $\vec{q}$  га боғлик бўлган барча катталиклар даврий ўзгаради, бунда  $\vec{a}_n = \vec{a}_i$  ва  $\vec{b}_g = \vec{b}_i$  кичик қийматларни қабул қиласак,  $\vec{q}' \vec{a}_i = \vec{q} \vec{a}_i + 2\pi$  тенглик келиб чиқади. Демак, фазовий панжара тебранишларини таҳлил қылганда  $\vec{q}' \vec{a}_i$  нинг қийматларини

$$-\pi \leq \vec{q}' \vec{a}_i \leq +\pi, \quad (i = 1, 2, 3) \quad (2.42)$$

оралиқда қаралса бўлади. Бу учта тенгсизликлар  $q$  — фазодаги бирор ҳажмни ифодалайди. Уни биринчи Бриллюэн зонаси дейилади.

Кубик кристалл учун ( $a_1 = a_2 = a_3$ ;  $\vec{a}_1 \perp \vec{a}_2, \vec{a}_2 \perp \vec{a}_3, \vec{a}_1 \perp \vec{a}_3$ ) (2.42) тенгсизликлар учта

$$-\frac{\pi}{a} \leq q_i \leq +\frac{\pi}{a} \quad (2.43)$$

шаклни олади. Бу ҳолда биринчи Бриллюэн зонаси ҳажми  $V_B = \left(\frac{2\pi}{a}\right)^3$  бўлади, бунда  $V_o = a^3$  элементар катақ ҳажми. Бошқа кристалл панжара учун қилинган ҳисоб ҳам худди шундай, яъни

$V_B = \frac{(2\pi)^3}{V_0}$  ифодани беради (албатта,  $V_0$  — элементар катақ ҳажми турли панжаралар учун ҳар хил).

Б) (2.40) ечимларни (2.39) тенгламаларга қўйсак, номаълум  $A_a^k$  амплитудалар учун  $3sN$  та бир жинсли чизигий тенгламалар системаси ҳосил бўлади. Унинг маънили ечимлари мавжуд бўлиши учун номаълумлар олдидағи кўпайтувчилардан тузилган аниқловчи (детерминант) нолга тенг бўлиши зарур. Уни ечишдан  $\omega^2$  га нисбатан  $3s$  даражали тенглама ҳосил бўлади. Бу тенгламанинг  $3s$  ечимида мос равишда фазовий панжара атомлари тебранишларининг  $3s$  тармоғи мавжуд бўлади.

Бу тармоқларнинг фақат 3 таси акустик,  $3s-3$  таси оптик тармоқлар бўлади.

Агар кристаллнинг элементар катагида 1 атом бўлса, фақат учта акустик тармоқ мавжуд бўлади, агар элементар катақда 2 атом ( $s=2$ ) бўлса, 3 та акустик ва 3 та оптик тармоқ бўлади ва ҳокозо.

Ҳар бир тармоқдаги тўлқинларнинг бири бўйлама ( $I$  ёки  $L$  ҳарфи билан белгиланади), иккитаси кундаланг ( $t$  ёки  $T$  ҳарфи билан белгиланади) бўлади.

В)  $\vec{q}$  нинг функцияси бўлмиш  $\omega_j$  ҳам даврий ўзгаради:

$$\omega_j(\vec{q} + \vec{b}_g) = \omega_j(\vec{q}) \quad (2.44)$$

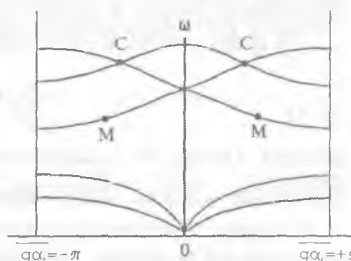
Бунда  $\lambda j$  — ихтиёрий тармоқ белгиси.

Г)  $\omega$  такрорийлик  $\vec{q}$  нинг жуфт функцияси

$$\omega_j(-\vec{q}) = \omega_j(\vec{q}) \quad (2.45)$$

Бу  $\omega_j$  ифодаларига  $\vec{q}$  нинг фақат жуфт даражалари киради демакдир.

Д) Бриллюэн зонасидаги ҳар бир тебранишлар тармоғи учун  $\omega_j(\vec{q}) = \text{const}$  сиртлар ясашиб мумкин. Бу бир хил такрорийликни ёки бир хил энергияли  $\hbar\omega_j(q) = E(q)$  сиртларнинг тузилиши кристалл тугри панжараси симметриясига муҳим даражада боғлиқ.



2.7-чизма. Уч ўлчовли панжара тебранишлари тармоқлари.

Е) 2.7- чизмадан куринишича,  $O$ ,  $A$ ,  $C$  ва  $C'$  нүқталарда айниш мавжуд, яъни бу нүқталарда бир неча тармоқлар кесишади. Яна шуни айтиш керакки,  $\omega_i(\vec{q})$  нинг экстремумлари Бриллюэн зонаси маркази ва чегараларида ҳам, унинг баъзи ички нүқталарида (2.7- чизмада  $M$  ва  $M'$  нүқталарда) ҳам ўринли бўлиши мумкин.

Ж) Бу ҳолда ҳам кристалл асосий соҳаси сиртидаги чегаравий шартларни Борн- Карман шартлари билан алмаштирилади.

3)  $q$ -фазонинг кичик ҳажмига тўғри келган тебранишлар сони

$$dz = \frac{V}{(2\pi)^3} dV_q \quad (2.46)$$

булади, бунда  $V$  — кристалл соҳаси ҳажми,  $dV_q = dq_x dq_y dq_z$ , эса  $q$ -фазодаги кичик ҳажм. Бир тармоқдаги тебранишлар тула сони  $z=N$ , барча тармоқлардаги тебранишлар тула сони  $z=3sN$ , яъни асосий соҳа атомлари эркинлик даражалари сонига тенг ( $N$  — соҳадаги элементар ячайкалар сони, бир атомнинг эркинлик даражаси 3 та деб ҳисобланади).

## 2.4. Изотрон континум тақрибида кристалларда тебранишлар ва тўлқинлар

Мазкур бобнинг муқаддимасида айтилганидек, кристалл панжара динамикасини тадқиқлашда иккинчи услуб — бу континум тақриб бўлиб, унинг асосида қаттиқ жисем бир бутун эластик тулаш мухитдан иборат деган фароз ётади. Бу тақриб кристалл панжараси доимийсиздан анча катта булаган, яъни кристаллнинг атомлардан узилишини тузилишини ҳисобга олмаса буладиган узунликдаги тўлқинлар ҳолида энг яхши натижалар беради.

Биз қўйида ионлар кристаллида узун акустик ва узун оптик тўлқинлар ҳолларини куриб чиқамиз:

А) Узун акустик тўлқинлар ҳолида континуал тақриб эластиклик назариясини кўдлашга баробардир. Агар мухитнинг  $r$  нүқтасида  $t$  вақтда сиёжишини  $u(r,t)$  деб белгиласак, бир жине, изотрон, эластик континум учун ҳажмий кучлар йўқлигидаги ҳаракат тенгламаси

$$\rho \frac{\partial^2 \bar{u}}{\partial t^2} = (M + \Lambda) graddiv \bar{u} + M V^2 \bar{u}, \quad (2.47)$$

бунда,  $M$  ва  $\Lambda - \Lambda$  амэ доимий коэффициентлари,  $\rho$  — бир жинсли континуумнинг доимий зичлиги (бу тенглама ҳажм бирлиги учун ёзилган, унини ўнг томони эластиклик кучларини ифолайди). Эластиклик назариясидан маълумки,  $\operatorname{div} \bar{u} = \theta$  — ҳажмнинг  $\bar{r}$

нуқтада  $\Delta V/V$  нисбий ўзгариши (қисилиши),  $\frac{1}{2} \operatorname{rot} \bar{u} = \bar{\varphi}$  эса ўша

нуқтада ҳажм элементининг бир бутун сифатида бурилиш бурчаги. (2.47) тенгламанинг ҳар икки томонида дивергенция ( $\operatorname{div}$ ) амалини бажарсак,  $\theta$  қисилиш учун

$$\frac{\partial^2 \bar{\theta}}{\partial t^2} = V_i^2 \nabla^2 \theta \quad (2.48)$$

тўлқин тенглама оламиз, бунда  $V_i = \sqrt{(2M + \Lambda)/\rho}$  қисилиш тўлқинлари тезлиги.

(2.47) тенгламанинг ҳар икки томонида ротор (rot) амалини бажарсак, буралиш бурчаги  $\varphi$  учун

$$\frac{\partial^2 \bar{\varphi}}{\partial t^2} = V_i^2 \nabla^2 \bar{\varphi} \quad (2.49)$$

тўлқин тенглама ҳосил қиласиз, бунда  $V_i = \sqrt{\frac{M}{\rho}}$  буралиш

тўлқинлари тезлиги.  $V_i V_i$  эканлиги равшан, чунки биринчи ҳолда иккинчи ҳолга нисбатан эластиклик қаршилиги каттадир.

Шу ерда таъкидлаш керакки, Юнг модули ёки бўйлама эластиклик модули  $E$  билан  $M$  ва  $\Lambda$  орасида (изотроп моддада) қўйидаги боғланиш бор:  $E = \frac{M(3\Lambda + 2M)}{M + \Lambda}$ . Бошқа эластиклик модуллари ҳам ўзаро боғлиқ, моддада мустақил эластиклик модуллари иккита ( $M$  ва  $\Lambda$  ёки  $E$  ва  $v$ , кейинги модулни Пуассон коэффиценти дейилади:  $v = \frac{\Lambda}{2(M + \Lambda)}$ ). У намуна кўндаланг ўлчамининг нисбий ўзгаришини бўйлама ўлчами нисбий ўзгаришига нисбатини билдиради.).

$x$  ўқи бўйлаб тарқалтаётган ясси тўлқинни қарайлик.

$$u = A \sin(\omega t - qx). \quad (2.50)$$

Бундан:

$$\theta - \operatorname{div} \bar{u} = -A_x(q) \cos(\omega t - qx). \quad (2.51)$$

$$\text{ва } \vec{\varphi} = \frac{1}{2} \operatorname{rot} \vec{u} = -A_1 \vec{j}_0 \left( \frac{q}{2} \right) \cos(\omega t - qx) + A_2 \vec{k}_0 \left( \frac{q}{2} \right) \cos(\omega t - qx), \quad (2.52)$$

бундаги  $\vec{j}_0$  ва  $\vec{k}_0$ -у ва  $z$  ўқлар бирлик векторлари. (2.51) дан күринишича, қисилиш тұлқынлари күндаланғ тұлқынлардир.

(2.48) тенглама ва (2.49) тенгламаларынг  $\vec{\varphi}$  ташкил этувчилари учун күриниши бир хил, шунинг учун (2.48) тенгламаны қараб чиқиши кифоя.  $\theta$  қисилиш тұлқынларини  $L$  қирралы кубда қараймиз.  $x$ ,  $y$ ,  $z$  координаталар ўқларини кубнинг қирралари бўйлаб йўналтирамиз. Чегаравий шартларни барча 6 та куб ёқида ( $x=y=z=0$ ;  $x=y=z=1$ )  $\theta=0$  бўлсин деб танлаймиз. (2.48) ечимини

$$\theta = A \sin(\omega t) \sin(ax) \sin(by) \sin(cz) \quad (2.53)$$

күринишда қидирамиз. (2.53) ни (2.48) га қўйсак,

$$\omega = v_r \sqrt{a^2 + b^2 + c^2}. \quad (2.54)$$

Чегаравий шартларни қаноатлантириш учун

$$aL = n_1 \pi, \quad bL = n_2 \pi, \quad cL = n_3 \pi \quad (2.55)$$

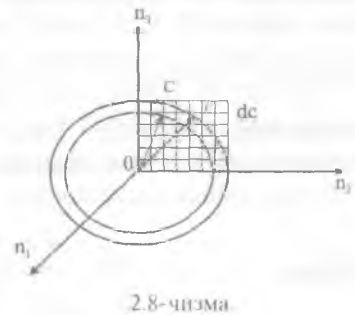
деб олиш керак, бунда  $n_1, n_2, n_3$  – бутун мусбат сонлар ёки нол; (2.55) ни (2.54) ифодага қўймиз:

$$\omega = \frac{\pi v}{L} \sqrt{n_1^2 + n_2^2 + n_3^2}. \quad (2.56)$$

$n_i$  сонларнинг ҳар бир учлигига муайян  $\omega$  такрорийликли битта нормал тебраниш мос келади.

Агар  $n_1, n_2, n_3$  сонлар катта бўлса, тебранишлар тұлқын узунлиги  $L$  дан анча кичик бўлади, бу  $\omega$  такрорийлик  $N$  сонларга худди узлуксиз равишда боғлангандаи бўлади.

$n_1^2 + n_2^2 + n_3^2 = C^2$  белгилаш киритсак,  $\omega = \frac{\pi v}{L} C$ . 2.8-чизмада тасвирланган куб панжара (бунда фақат  $(n_2, n_3)$  текисликдаги тугунлар көлтирилган) тугунларининг ҳар бирига



учта  $n_1, n_2, n_3$  сон түгри келади. Аммо панжаранинг ҳар бир түгүннига битта нормал тебраниш мөс тушади.  $n_i$  сонлар катта бүлгани ҳолда  $\omega, \omega + d\omega$  тақрорийлик оралигига түгри келган тебранишлар сонини аниқтаймиз. Бу сон координат оқтантдаги ( $C, C+dC$ ) сферик қатламлагы түгүнлар сонига тенг. Демак,  $(\omega, \omega + d\omega)$  оралиққа мөс келган бүйлама тебранишлар сони

$$g(\omega)d\omega = \frac{4\pi C^2 dC}{8} = \frac{V}{2\pi^2 v^3} \omega^3 d\omega. \quad (2.57)$$

(2.49) тәнгламада  $\vec{\varphi}$  векторнинг ташкил этувчилариға нисбатан ҳам бу ҳисоб түгри, аммо бунда иккита ташкил этувчи бүлгани учун тебранишлар сони ҳам иккى марта ортиқ;

$$g_r(\omega)d\omega = \frac{2V}{2\pi v_r^3} \omega^3 d\omega. \quad (2.58)$$

Тақрорийликтер тұла тақсимоти функцияси

$$g(\omega) = g_r(\omega) + g_t(\omega) = \frac{3V}{2\pi^2 v_0^3} \omega^2, \quad (2.59)$$

бунда

$$\frac{1}{v_0^3} = \frac{1}{3} \left( \frac{1}{v_r^3} + \frac{2}{v_t^3} \right), \quad (2.60)$$

$v_0$  - Үртача товуш тезлигі.

Б) Энди континуал тақрибда ионлар кубик кристалила узун оптик түлқинлар тарқалиши масаласини қарайлық. Фараз қиламиз: ионлар кубик кристалли ҳар бир ячейкасида  $\pm e^*$  эффектив заряды  $m_+$  ва  $m_-$  массалы иккى түрли именли ионлар бор булсин. Узун оптик тебранишлар соңасидаги ионларнинг барча ячейкаларидагы ҳаракати бирдей, шунинг учун бир ячейкадан ионлар ҳаракатини текшириш кифоя.

$\vec{u}_+$  ва  $\vec{u}_-$  мөс ишоралы ионлар силжиши булса, у ҳолда

$$m_+ \frac{d^2 \vec{u}_+}{dt^2} = -\beta (\vec{u}_+ - \vec{u}_-) + e^* \vec{E}_e, \quad (2.61)$$

$$m_- \frac{d^2 \vec{u}_-}{dt^2} = -\beta (\vec{u}_- - \vec{u}_+) + e^* \vec{E}_e \quad (2.62)$$

Бунда  $\vec{E}_e$  — ионга тапқы майдон ва кристалнинг бошқа ионлари томонидан таъсир этувчи эффектив электрик майдон,  $\beta$ -квази

эластик күч коэффициенти. Юқоридаги икки тенгламани бирбираидан айырсак,

$$m_r \frac{d^2 \vec{s}}{dt^2} = -\beta \vec{s} + e^* \vec{E}_e. \quad (2.63)$$

Бунда,  $\vec{s} = \vec{u}_+ - \vec{u}_-$ ,  $m_r^{-1} = m_+^{-1} + m_-^{-1}$ .

Электродинамикадан маълумки, ионлар кубик кристаллида эффектив майдон

$$\vec{E}_e = \vec{E} + \frac{4\pi}{3} \vec{P}, \quad (2.64)$$

бунда  $\vec{E}$  — диэлектрикдаги ўргача майдон, кутбланиш вектори

$$\vec{P} = N_o [e^* \vec{s} + \alpha \vec{E}_e], \quad (2.65)$$

$N_o$  — кристаллининг бирлик ҳажмидаги ячейкалар сони  $\alpha = \alpha_+ + \alpha_-$  — электрон кутбланувчанлик. (2.64) ифодани (2.65) га қўйсак,

$$\vec{P} = N_o \frac{[e^* \vec{s} + \alpha \vec{E}]}{1 - \frac{4\pi N_o}{3} \alpha} \quad (2.66)$$

Бевосита ўлчаммайдиган  $\alpha$  катталиктин чиқариб ташлаш учун электрик индукция вектори ифодаси  $\vec{D} = \vec{E} + 4\pi \vec{P} = \epsilon \vec{E}$  дан фойдаланамиз, бундан  $\vec{P} = \frac{\epsilon - 1}{4\pi} \vec{E}$ . Юқори такрорийликли майдонда ( $\omega \rightarrow \infty$ ) ионлар унинг кетидан ултуриб боролмайди, шунинг учун  $s \rightarrow 0$  бўлади. Бу ҳолда,

$$\alpha = \frac{\epsilon_\infty - 1}{\frac{4\pi N_o}{3} (\epsilon_\infty + 2)}, \quad (2.67)$$

ва

$$\vec{P} = N_o \frac{e^* (\epsilon_\infty + 2)}{3} \vec{s} + \frac{\epsilon_\infty - 1}{4\pi} \vec{E} \quad (2.68)$$

(2.64) ва (2.68) ифодалардан фойдалансак,

$$m_r \frac{d^2 \vec{s}}{dt^2} = -m_r w_0^2 \vec{s} + \frac{e^* (\epsilon_\infty + 2)}{3} \vec{E}, \quad (2.69)$$

бундаги

$$\omega_0^2 = \left( \frac{\beta}{m_r} \right) - \frac{4\pi N_0 e^{*2} (\varepsilon_\infty + 2)}{9m_r} \quad (2.70)$$

«Нормаланган» четланиш  $\vec{w} = \sqrt{N_0 m_r} \vec{s}$ , статик диэлектрик доимий  $\varepsilon_o(\omega \rightarrow 0)$ , яни  $\varepsilon_o - \varepsilon_\infty = \frac{N_0}{m_r} e^{*2} \frac{4\pi(\varepsilon_\infty + 2)^2}{9\omega_0^2}$  (2.71) киритилса, (2.69) тенглама

$$\frac{d^2 \vec{w}}{dt^2} = -\omega_0^2 \vec{w} + \omega_0 \sqrt{\frac{\varepsilon_0 - \varepsilon_\infty}{4\pi}} \vec{E} \quad (2.72)$$

күринишга келади ва

$$\vec{P} = \omega_0 \sqrt{\frac{\varepsilon_0 - \varepsilon_\infty}{4\pi}} \vec{w} + \frac{\varepsilon_\infty - 1}{4\pi} \vec{E} \quad (2.73)$$

булади.

Ионлар ҳаракатини таҳлил қилиш учун

$$\vec{w} = \vec{w}_r + \vec{w}_l \quad (2.74)$$

ва

$$div \vec{w}_r = 0, rot \vec{w}_r = 0 \quad (2.75)$$

деб оламиз. Бу ҳолда (2.72) ни

$$\frac{d^2}{dt^2} (\vec{w}_r + \vec{w}_l) = -\omega_0^2 \vec{w}_r - \omega_0^2 \frac{\varepsilon_0}{\varepsilon_\infty} \vec{w}_l \quad (2.76)$$

күринишга келтириб, уни иккитага ажратамиз:

$$\frac{d^2 \vec{w}_r}{dt^2} = -\omega_0^2 \vec{w}_r, \quad (2.76')$$

$$\frac{d^2 \vec{w}_l}{dt^2} = \omega_0^2 \frac{\varepsilon_0}{\varepsilon_\infty} \vec{w}_l. \quad (2.76'')$$

Агар  $\vec{w}_r$  ва  $\vec{w}_l$  ни  $\vec{A} \exp[i(\vec{q}\vec{r} - \omega t)]$  ясси түлқин күринишида тасвирласак  $\omega_r = \omega_0$  ва  $\omega_l = \left( \frac{\varepsilon_0}{\varepsilon_\infty} \right)^{1/2}$  келиб чиқади. Иккинчи томондан, (2.75) шартларга күра,

$$\begin{aligned} div \vec{w}_r &\propto \vec{A}_r \vec{q} = 0, \\ rot \vec{w}_l &\propto \left[ \vec{A}_l \vec{q} \right] = 0 \end{aligned} \quad (2.77)$$

Бундан  $A_i \perp q$  (солиноидал  $\vec{w}$ , түлқин күндаланғ),  $A_i \parallel q$  (потенциал түлқин бүйлама) эканлигини күрамиз.

$$\frac{\omega}{\omega_i} = \sqrt{\frac{\epsilon_0}{\epsilon_\infty}} \quad (2.78)$$

нисбатни Линден - Сакс - Теллер мұносабати дейилади.

$\epsilon_0/\epsilon_\infty$  булганидан бүйлама түлқинлар тақрорийлиги  $\omega_i$  күндаланғ түлқинларининг  $\omega_i$  дан катта. Тажрибада  $\omega_i$  ни үлчаш осон, шунинг учун (2.78) ифодадан  $\omega_i$  ни аниклаш учун фойдаланиш мүмкін.

## 2.5. Кристалл панжараси тебранишларининг квантланиши. Фононлар

Кристалл атомлари тебранишларини бошқа усул билан, айнан корпускуляр (зарравий) нүқтән назардан қараб чиқиш ҳам мүмкін. Түлқинларнинг зарравий хоссалари кристалл атомларининг ҳар қандай тақрорийликдаги тебранишлари энергиясининг энг қутилған улуши (квантты) мавжуд булишилгіда намоён булади. Бу хосса кристалл панжарасининг элементар зарралар билан үзаро таъсири жараёнида яқындаған. Бу жараёнларда кристалл панжараси уз тебранишлари энергиясининг бир квантини (баъзан кетма-кет бир неча квантни) беради ва шу квант миқдорicha энергияни олади. Демак, кристалл панжараси тебранишлари энергияси квантланған булади. Ҳудди ёруғлик түлқинини ёруғлик квантлари — фотонлар оқими сифатида тасвирланғаныга үшаш, кристалл панжараси тебранишлари энергияси квантита ва унга мос квази импульсига эга бўлган квази зарра — фонон тушунчаси киритилган. Фонон сўзи товуш зарраси деган маънони англатади. Фононнинг энергияси  $E_q = \hbar\omega_q$  бўлиб, унинг квази импульси  $\vec{p}_q = \hbar\vec{q}$  ва у товуш тезлигига ҳаракат қиласи деб ҳисобланади.  $\vec{p}_q$  векторнинг квази импульс деб айтилишининг боиси шуки, биринчидан, ҳар қандай квази зарралар каби фононлар ҳақиқий зарралардан ташкилланған системалардагина мавжуд булади. Фононлар фақат кристаллардагина мавжуд бўлиб, улар кристаллдан (масалан, бушлиққа) чиқиб кета олмайди. Ҳақиқий зарралар — электронлар, атомлар эса кристаллдан чиқиб кетиб, ундан ташқаридан

мавжуд була олади. Иккинчидан, квази зарралар түқнашганда квази импульс сақланмайды. Фононлар эса ўзаро түқнашиб йўқ булади, бунда түқнашган фононлардан энергияси фарқ қиласидиган, бошқа тақрорийликли янги фонон туғилади.

Эркин зарранинг энергияси зарра импульси йұналишига боғлиқмас, квази зарранинг энергияси эса (кристаллда атомлар даврий жойлашгандылық туфайли) квази импульсга даврий боғланған.

Фононлар спин моментлари булмаган зарралар сифатида Бозе-Эйнштейн статистикасига буйсунади. Бинобарин, фононларнинг  $\omega_q$  тақрорийликли,  $\hbar\omega_q$  квант энергияли ҳолатдаги сони Планк ифодаси билан ифодаланади:

$$N_q = 1 / \left[ \exp \frac{\hbar\omega_q}{kT} - 1 \right]. \quad (2.79)$$

Шу ҳолатдаги барча фононлар энергияси:

$$E_q = \hbar\omega_q N_q = \hbar\omega_q \left[ \exp \frac{\hbar\omega_q}{kT} - 1 \right]. \quad (2.80)$$

Одатда ушбу энергияга яна нол энергия деб аталадиган ҳад күшилади, унда

$$E_q = \frac{\hbar\omega_q}{2} + \left[ \exp \frac{\hbar\omega_q}{kT} - 1 \right]. \quad (2.81)$$

Кристалл атомлари тебранишлари тақрорийліклари оралыгини ёки фононларнинг энергетик спектрини аниқтайтын. Бунда тебранишлар тақрорийлігі  $\omega_q = 0$  дан бошланиб, уларнинг энг катта тақрорийлігі  $\omega_m$  мавжуд, бунда тебраниш тақрорийліклари сони (танланган тармоқ учун)  $N$  атомдан иборат кристаллда  $3N$  га тенг булади. Тақрорийліклар тақсимоти зичлиги учун (2.59) ифодани қабул қиласак, у ҳолда

$$\int_0^{\omega_m} g(\omega) d\omega = 3N. \quad (2.82)$$

Максимал  $\omega_m$  тақориийлик ўрнига тавсифий температура түшүнчөлөн киритилади:

$$\theta = \hbar \omega_m / k . \quad (2.83)$$

Бу  $\theta$  температурани Дебай температураси дейилади. Максимал төбәренишлар тақориийликлари  $\omega_m$  ва бинобарин  $\theta$  түрли қаттиқ жисмлар учун түрличадыр.

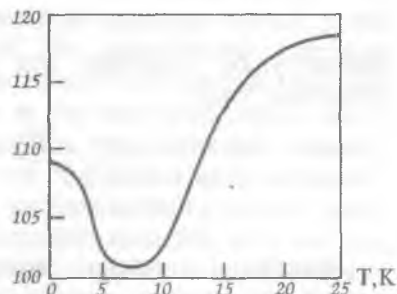
### 2.1 – жадвал

Кристаллар	Түзилиши	$\theta, K$
Мис	ё.м.куб	365
Алюминий	ё.м.куб	438
Натрий	х.м.куб	164
Магний	Гексагон	290
Fe	х.м.куб	478
Ni	ё.м.куб	446
Ge	Олмос	377
Si	Олмос	674

Дебай температураси түшүнчөлөн көрсөткөнде қаттиқ жисм физикасынинг күп масалаларыда фойдаланылады. Тажрибанинг күрсатишича,  $\theta$  Дебай температурасы мутлақ  $T$  температурага боғлиқ равища бир мунча ўзгарады. Күпчилик кристаллар учун бу боғланыш унча сезиларлы эмас, аммо башы ҳолларда у сезиларлы бўлади. Масалан, метал In учун келтирилган 2.9-чизмада паст температурулар соҳасида Дебай температураси  $\theta(T)$  ҳатто минимумга эга бўлади.  $\theta$  эластиклик доимийларига боғлиқ. Кучли атомлараро таъсирили (олмос) кристалларда  $\theta$  нинг қиймати юқори.

$\theta$  нинг ҳар хил усул билан аниқланган қийматлари ҳам бирбиридан фарқ қиласади.

Дебай температураси юқори ( $T > \theta$ ) ва паст ( $T < \theta$ ) температура соҳаларини ажратиб туради. Юқори температуруларда мумкин



2.9-чизма. Дебай  $\theta$  температураси нинг мутлақ  $T$ га боғланishi.

бүлган барча тақрорийликдаги тебранишлар мавжуд бўлади, паст температураларда эса  $T$  га қараб муайян оралиқдаги тебранишларгина уйғонган бўлади,  $T$  пасайиб борган сайин уйғонган тебранишлар оралиги торайиб (кичик тақрорийликлар томон) боради. Бу қаттиқ жисмлар хоссаларини аниқлашда муҳимдир.

### **Масалалар ва саволлар**

1. Кристалл панжараси доимийси  $a = 3 \cdot 10^{-10} \text{ м}$ ,  $\lambda = 10a$  бўлган ҳол учун, чизигий содда панжара учун ω тақрорийликни ҳисобланг.
2.  $a = 3 \cdot 10^{-10} \text{ м}$ ,  $\beta = 3 \text{ м}^2 \cdot \text{кг}/\text{с}^2$ ,  $m = 10^{-26} \text{ кг}$  ҳолда чизигий панжарада товуш тезлиги қандай бўлади?
3.  $q = \pi/2a$  бўлганда фазавий ва гурухий тезликлар нисбатини аниқланг?
4.  $\beta_1 = \beta_2 = \beta$ ,  $m' = m'' = m$  бўлганда икки хил атомли панжара атомлар тебранишлари тақрорийлиги қандай ифодаланади?
5. Атомлар тебранишлари тармоқлари номлари қандай асосда келиб чиқкан?
6. Уч ўлчовли (фазовий) кристалл панжараси ҳолида тебранишларни гармоник тақрибда қараш учун потенциал энергия кўриниши қандай бўлади?
7. Биринчи Бриллюэн зонаси ҳажмини аниқланг. Кубик панжара учун  $a = 3 \cdot 10^{-10} \text{ м}$  деб ҳисобланг?
8. Атомистик ва континуал услублар тафовутини тушунтирганг.
9. Фононларнинг фотонлардан тафовутлари қандай?
10. Дебай температураси нимани ифодалайди? У  $T$  температурага боғлиқми?

### III БОБ

#### ФИЗИК СТАТИСТИКА ҚОНУНЛАРИ

Жуда күп сонли зарралардан (молекулалар, атомлар, электронлар ва ҳоказолардан) таркибланган системалар бўлмиш макроскопик жисмларнинг хоссаларини таркибидаги зарралар хоссалари ва ўзаро таъсири асосида ўрганадиган физика бўлимини *статистик физика* дейилади.

Қаттиқ жисмлар жуда күп микрозарралардан тузилганлиги маълум. Шунинг учун қаттиқ жисм физикасини ўрганиш давомида статистик қонуниятлар муҳим ўрин тутади, бинобарин, улар ҳақида, ҳеч бўлмаганда, асосий маълумот билан танишиш албатта зарур.

Кўп зарралардан таркибланган система зарраларининг ҳар бир вақт моментидаги координата ва тезликларини билиш амалда бажариб бўлмайдиган масала бўлибгина қолмасдан, бундай маълумот макросистема хоссаларини аниқлаш имконини бермайди.

Бундай системаларни тадқиқлашда эҳтимоллик тушунчасига асосланган статистик қонуниятлар билан иш кўрилади. Эҳтимоллик тасодифий ҳодисаларга (воқеаларга) тегишли бўлади. Масалан, идеал газ молекулаларининг тўқнашишлари ва унинг айни пайтда қандай тезликка (импульсга, энергияга) эга бўлишлiği тасодифий воқеадир. Тасодифий воқеалар муйян эҳтимоллик билан юз беради. Бирор катталиктининг бирор сон қийматига эга бўлишлiği тасодифий воқеа бўлади. Бундай катталикларни тасодифий катталиклар дейилади. Молекуланинг тўқнашишини тасодифий воқеа дедик, бунда унинг тезлиги ҳам тасодифан ўзгаради, демак тезлик тасодифий катталиклариди.

Баъзи бир физик катталиклар тасодифий бўлгани ҳолда узлуксиз ёки узилишли қийматлар спектрига эга булиши мумкин.

Статистик назариялар асосан тасодифий воқеаларнинг ўзини эмас, балки уларни тавсифлайдиган тасодифий катталикларни тадқиқ қилади.

Бирор тасодифий воқеа  $N$  та синовда  $n_i$  марта юз берса, математик эҳтимоллик

$$W_i = \lim_{N \rightarrow \infty} \frac{n_i}{N}, \quad (3.1)$$

куринишда ифодаланади.

Физикада тасодифий катталик кўпинча вақт ўтиши билан узгариб боради. У ҳолда системанинг бирор ҳолатда бўлишлик эҳтимоллиги

$$W = \lim_{T \rightarrow \infty} \frac{\Delta t}{T}, \quad (3.2)$$

бунда  $T$  — кузатиш тўла вақти,  $\Delta t$  — системани мазкур ҳолатда бўлиш вақти.

Эҳтимоллик назариясида, статистикада тақсимот функцияси тушунчаси марказий ўрин тутади.

Тасодифий катталик бир-бирига яқин жуда кўп қийматларга (узлуксиз спектрга) эга бўлиши мумкин. Бу ҳолда шу катталиктининг мумкин бўлган қийматларининг қандайдир оралиғидаги қийматларга эга бўлиш эҳтимоллиги ҳақида гапириш мумкин. Масалан,  $x$  катталиктининг (молекула координатасининг)  $x$ ,  $x+\Delta x$  оралиқда бўлиш эҳтимоллиги  $\Delta W(x)$  орқали белгиланади. Агар бу эҳтимоллик чексиз кичик  $dx$  оралиқда қаралса, уни  $dW(x)$  орқали белгиланади.  $dW(x)$  эҳтимоллик  $x$  нинг қиймати функцияси  $f(x)$  бўлади ва  $dx$  оралиқقا пропорционал бўлади:

$$dW(x)=f(x)dx. \quad (3.3)$$

Демак, мазкур тасодифий катталиктининг эҳтимолликларининг барча қийматлари тақсимотини  $f(x)$  функция тавсифлайди, уни тақсимот функцияси ёки эҳтимоллик зичлиги дейилади:

$$f(x)=dW(x)/dx \quad (3.4)$$

Бу тақсимот функциясининг турли ҳоллардаги кўринишини аниқлаш статистик физиканинг асосий вазифасидир.

Тасодифий катталикнинг барча имконий қийматлари эҳтимолликлари йиғиндиси (интегралы) ишончли воқеа эҳтимоллигига, яъни 1 га тенг бўлади:

$$\sum_i w_i(x) = 1 \quad \text{ёки} \quad \int_{-\infty}^{+\infty} f(x) dx = 1 \quad (3.5)$$

Бу ифодани нормалаш (меъёрлаш) шарти дейилади.

Тасодифий катталикнинг ўртача қийматларини аниқлаш жуда муҳим масала, чунки статистика ҳисоблаб чиқадиган ўртача каттаиклар термодинамик (макроскопик) системалар ҳолатини аниқлайдиган каттаикларга тенг бўлади. Шу тарзда статистик физика термодинамик каттаикларнинг физик маъносини тушунтиради.

### 3.1. Тасодифий каттаикларнинг ўртача қийматлари

Тасодифий  $x$  каттаик  $N$  та синовда (кузатишда)  $w_1$  эҳтимолик билан  $n_1$  марта  $x_1$  қийматни,  $w_2$  эҳтимолик билан  $n_2$  марта  $x_2$  қийматни ва ҳоказо, ниҳоят,  $w_k$  эҳтимолик билан  $n_k$  марта  $x_k$  қийматни оладиган бўлсин. У ҳолда  $N$  та синовда  $x$  тасодифий каттаик оладиган қийматлар йиғиндиси

$$x_1 n_1 + x_2 n_2 + \dots + x_k n_k,$$

бир синовга тўғри келадиган ўртача қиймат

$$\bar{x} = \frac{x_1 n_1 + x_2 n_2 + \dots + x_k n_k}{N}. \quad (3.6)$$

$N$  катта бўлса,  $\bar{x}$  бирор тайинли лимитга (чегаравий қийматга) интилади:

$$\lim_{N \rightarrow \infty} \bar{x} = x_1 \lim_{N \rightarrow \infty} \frac{n_1}{N} + x_2 \lim_{N \rightarrow \infty} \frac{n_2}{N} + \dots + x_k. \quad (3.7)$$

Одатда  $N$  жуда катта деб ҳисбланиб, ўртача қиймат

$$\bar{x} = \sum_{i=1}^k x_i w_i \quad (3.7')$$

кўринишида ифодаланади.

Агар тасодифий катталик (масалан, газ молекуласи тезлиги) узлуксиз ўзгарадиган бўлса (3.7<sup>1</sup>)даги йигинди интеграл билан алмаштирилади:

$$\bar{x} = \int_{-\infty}^{+\infty} x dw(x) = \int_{-\infty}^{+\infty} xf(x)dx . \quad (3.8)$$

$x$  тасодифий катталикнинг квадрати ўртачаси қуйидаги ифодалар бўйича топилади:

$$\left( \bar{x^2} \right) = \sum_{i=1}^k x_i^2 w_i \quad \text{ёки} \quad \left( \bar{x^2} \right) = \int_{-\infty}^{+\infty} x^2 f(x)dx . \quad (3.9)$$

Шунингдек,  $x$  нинг  $F(x)$  функцияси ўртачаси ҳам ҳисобланиши мумкин:

$$\begin{aligned} \bar{F} &= \sum_{i=1}^k F(x_i) w_i \quad \text{ёки} \\ \bar{F} &= \int_{-\infty}^{+\infty} F(x) f(x)dx \end{aligned} \quad (3.10)$$

Жуда кўп ҳолларда ўртача қийматдан четланишларни қараш керак бўлади. Аммо, ўртача четланиш ҳамма вақт нол қиймат беради:

$$\overline{(x - \bar{x})} = \int_{-\infty}^{+\infty} (x - \bar{x}) f(x) dx = \int_{-\infty}^{+\infty} x f(x) dx - \bar{x} \int_{-\infty}^{+\infty} f(x) dx = \bar{x} - \bar{x} = 0 . \quad (3.11)$$

Ўртачадан четланиш квадратининг ўртачасини тасодифий катталикнинг дисперсияси дейилади:

$$\overline{\Delta x^2} = \sum_{i=1}^k (x_i - \bar{x})^2 w_i \quad \text{ва} \quad \overline{\Delta x^2} = \int_{-\infty}^{+\infty} (x - \bar{x})^2 f(x) dx . \quad (3.12)$$

Бу ифоданинг иккаласи ҳам

$$\overline{\Delta x^2} = \overline{(x - \bar{x})^2} = \overline{x^2} - \bar{x}^2 \quad (3.12')$$

куринишга келади.

Дисперсиядан олинган квадрат илдизни, физик катталиклар қаралганда, флюктуация дейилади:

$$\sqrt{\Delta x^2} = \sqrt{\sum_{i=1}^k (x_i - \bar{x})^2 w_i} \quad \text{ва} \quad \sqrt{\Delta x^2} = \sqrt{\int_{-\infty}^{+\infty} (x - \bar{x})^2 f(x) dx}. \quad (3.13)$$

### 3.2. Тақсимот функциялари мисоллари

Статистиканинг асосий вазифаларидан бири тасодифий катталиклар тақсимот функцияларини аниқлашдир. Биз бир неча мисоллар билан чегараланимиз.

1. *Пуассон тақсимоти.* Бу тақсимот, масалан, мазкур ҳажымдаги молекулалар сони ёки муайян вақтда буғланиб кетган зарралар миқдорини тасвирлайды. Унинг күриниши:

$$w(x) = (a^x / x!) e^{-a}. \quad (3.14)$$

Бундаги  $a$  тасодифий  $x$  катталиктининг ўртача  $\bar{x}$  қийматларини ифодалайдиган үзгармас сон:  $a = \bar{x}$ .

2. *Экспоненциал тақсимот.* Бундай тақсимот, масалан, радиоактив парчаланиш, релаксацион ҳодисалар, молекулалар сонининг баландлик буйича үзгаришини текширилганды үринли бўлади. Унинг күриниши:

$$f(x) = \text{const } e^{-\alpha x} \quad (0 \leq x < \infty) \quad (3.15)$$

Нормалаш шартидан  $\text{const} = \alpha$ , бинобарин,

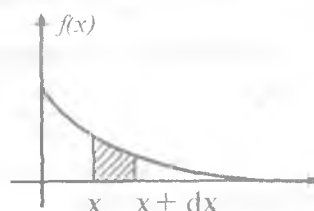
$$f(x) = \begin{cases} \alpha e^{-\alpha x}, & (0 \leq x < \infty \quad \text{да}); \\ 0, & (x < 0 \quad \text{да}), \end{cases} \quad (3.15^1)$$

Бундай тақсимот учун  $\bar{x} = \frac{1}{\alpha}$ , шунинг учун

$$f(x) = \frac{1}{\bar{x}} e^{-\frac{x}{\bar{x}}} \quad (3.15^2)$$

3. *Гаусс тақсимоти.* Бу тақсимот католиклар назариясида, газда тезликлар проекциялари тақсимланишида, броун ҳаракатида учрайди. Унинг күриниши:

$$f(x) = \text{const } e^{-\beta x^2}, \quad (3.16)$$



3.1-чизма. Экспоненциал тақсимот графиги.

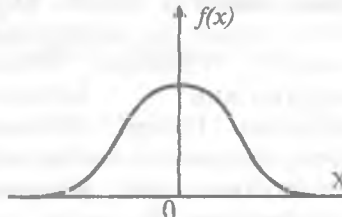
Нормалаш шарти  $\text{const} = \frac{\beta}{\sqrt{\pi}}$  ни, ўртачалаш  $\overline{x^2} = \frac{1}{2} \beta$  қийматларни беради ва узил-кесил Гаусс тақсимоти

$$f(x) = \sqrt{\frac{1}{2\pi x^2}} e^{-\frac{x^2}{x^2}} \quad (3.16)$$

куриниши олади.

4. Делта - функция.  $\delta(x-x_0)$  күринища белгиланадиган бу функция  $x=x_0$  нүктадан бошқа барча нүкталарда нолга teng ва 1 га нормаланган.

$$\int_{-\infty}^{+\infty} \delta(x - x_0) dx = 1, \quad (3.17)$$



• 3.2-чизма. Гаусс тақсимоти графиги.

$$\int_{-\infty}^{+\infty} F(x) \delta(x - x_0) dx = F(x_0). \quad (3.18)$$

Бунда

$$f(x) = \delta(x - x_0). \quad (3.19)$$

Бу күрилганлардан бошқа функциялар ва тақсимот қонунлари математика ва физикада күп учрайди.

### 3.3. Бир неча тасодифий катталиклар учун тақсимот функцияси

Учта  $x, y, z$  мустақил тасодифий катталиктарнинг бир вақтда  $dx, dy, dz$  оралиқларда булиш эҳтимоллиги

$$dW(x, y, z) = dW(x) dW(y) dW(z) = f(x)f(y)f(z) dx dy dz, \quad (3.20)$$

тақсимот функцияси

$$f(x, y, z) = f(x)f(y)f(z) = \frac{dW(x, y, z)}{dx dy dz}, \quad (3.21)$$

$n$  та мустақил тасодифий катталиклар учун тақсимот функцияси  $n$ -ўлчовли

$$f(x, y, \dots, t) = f(x)f(y)\dots f(t) \quad (3.22)$$

бўлади. Бу функциялар учун олдингидек нормалаш шарти ёзилади, ўртача катталикларни топиш қоидалари ўринли бўлади.

### 3.4. Максвелл тақсимоти

Статистик физика тарихида биринчи бўлиб Максвелл идеал газ молекулаларининг тезликлар бўйича тақсимотини келтириб чиқарган. Сўнгра, Болцман бирор потенциал майдондаги идеал газни қараб, Максвелл тақсимотини бу ҳолга тадбиқлаган. Бу тақсимотлардан айрим ҳолларда қаттиқ жисм физикасида ҳам самарали фойдаланилади. Шу сабабдан бу тақсимотлар билан танишиш керак бўлади.

Маълумки идеал газ молекулалари масофада ўзаро таъсирлашмайдиган, тартибсиз ҳаракатдаги эркин зарралар бўлиб, улар тўқнашгандагина эластик ўзаро таъсир юз беради. Газ мувозанатда деб ҳисоблаймиз.

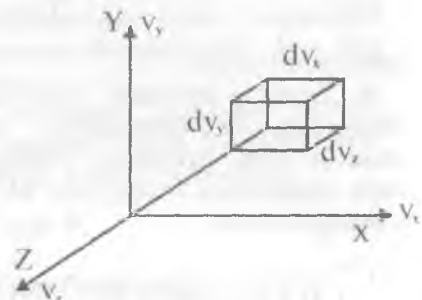
Тезликлар фазосида молекулани тезлиги  $Ox$  ўқ бўйича ташкил этувчисининг  $v_x, v_x + dv_x$  оралиқда бўлиш эҳтимоллиги

$$dW(v_x) = f(v_x^2) dv_x \quad (3.23)$$

бўлади, бунда  $f(v_x^2)$  тақсимот функцияси  $v_x$  нинг катталигига боғлиқ бўлади, холос, шунинг учун у  $v_x^2$  га боғлиқ бўлиши керак. Худди шунингдек молекула тезлиги  $Oy$  ва  $Oz$  ўқ бўйича ташкил этувчиларининг  $v_y, v_y + dv_y, v_z, v_z + dv_z$  оралиқларда бўлишлиги эҳтимолликлари:

$$dW(v_y) = f(v_y^2) dv_y \text{ ва } W(v_z) = f(v_z^2) dv_z. \quad (3.24)$$

Барча йуналишлар тенг хуқуқли бўлганидан  $F(v_x^2), f(v_y^2), f(v_z^2)$  функциялар бир хил кўринишда бўлишлиги керак.



3.3-чизма. Тезликлар бўйича тақсимотга доир.

Молекуланинг тезлиги ташкил этувчилари бир вақтда  $v_x$ ,  $v_x + dv_x$ ,  $v_y$ ,  $v_y + dv_y$ ,  $v_z$ ,  $v_z + dv_z$  оралиқларда бўлиш эҳтимоллиги:

$$dW(v_x, v_y, v_z) = f(v_x^2) f(v_y^2) f(v_z^2) dv_x dv_y dv_z . \quad (3.25)$$

Иккинчи томондан, молекула  $\sqrt{v_x^2 + v_y^2 + v_z^2}$  тезлигининг  $dv_x dv_y dv_z$  тезликлар фазоси ҳажмида бўлиши эҳтимоллиги:

$$dW(v_x, v_y, v_z) = f(v_x^2 + v_y^2 + v_z^2) dv_x dv_y dv_z . \quad (3.26)$$

(3.25) ва (3.26) ифодани соддалаштиурсак,

$$f(v_x^2) f(v_y^2) f(v_z^2) = f(v_x^2 + v_y^2 + v_z^2) = f(v^2) \quad (3.27)$$

Бу тенгламани

$$f(v_x^2) = A^{\frac{1}{3}} e^{\alpha v_x^2}, f(v_y^2) = A^{\frac{1}{3}} e^{\alpha v_y^2}, f(v_z^2) = A^{\frac{1}{3}} e^{\alpha v_z^2}$$

ва

$$f(v_x^2 + v_y^2 + v_z^2) = A e^{-\alpha(v_x^2 + v_y^2 + v_z^2)} = f(v^2)$$

$$dW(v^2) = A e^{-\alpha v^2} dv_x dv_y dv_z$$

функциялар қаноатлантиради. Нормалаш интегрални яқинлашувчи бўлишлиги  $\alpha = -\beta < 0$  талабни қўяди.

Нормалаш шартидан:  $A = \left(\frac{\beta}{\pi}\right)^{\frac{3}{2}}$

Молекуланинг ихтиёрий I йўналишдаги тезлиги ташкилловчиси учун

$$f(v_f^2) = \left(\frac{\beta}{\pi}\right)^{\frac{1}{2}} e^{-\beta v_f^2} \quad (3.28)$$

Тезликнинг мутлоқ қиймати буйича тақсимотни топиш учун сферик координаталарга ўтамиз, бунда

$$dv_x dv_y dv_z = v^2 dV \sin\theta d\theta d\phi$$

ва

$$dW(v, \varphi, \theta) A e^{-\beta v^2} v^2 dv \sin \theta d\theta d\varphi.$$

Молекулалар ҳаракати изотроп бүлгандылыгы учун бурчаклар бүйича интеграллаш бажарсак,

$$dW(v) = 4\pi A e^{-\beta v^2} v^2 dv \quad (3.29)$$

Демак, бу ҳол учун тақсимот функцияси

$$f(v) = 4\pi A v^2 e^{-\beta v^2} \quad (3.30)$$

ёки  $A = \left(\frac{\beta}{\pi}\right)^{\frac{3}{2}}$  эканлыги эътиборга олинса,

$$f(v) = 4 \left(\frac{\beta^3}{\pi}\right)^{\frac{1}{2}} v^2 e^{-\beta v^2}. \quad (3.30')$$

Шу тақсимотни Максвелл тақсимоти дейилади. Бундаги  $\beta$  параметр мутлоқ  $T$  температура билан боғланган. Буни кўрсатиш учун молекулаларнинг идиш деворининг  $1 \text{ см}^2$  га  $1 \text{ с}$  да урилишида берадиган импульси — босими ҳисобланади:

$$p = \frac{mn_0}{2\beta}, \quad (3.31)$$

бунда,  $m$  — молекула массаси,  $n_0 = 1 \text{ см}^3$  даги молекулалар сони,  $p$  — босим. (3.31) ифодани идеал газ ҳолат тенгламаси  $PV - RT$  билан таққосласасак, оқибатда  $\bar{V}$

$$\beta = \frac{m}{2kT} \quad (3.32)$$

муносабат келиб чиқади.

Энди

$$f(v_i^2) = \left( \frac{m}{2\pi kT} \right)^{\frac{1}{2}} \exp \left( -\frac{mv_i^2}{2kT} \right), \quad (3.28')$$

$P = m\vec{v} (mv_x, mv_y, mv_z)$  импулс орқали,  $E = mv^2/2$  кинетик энергия орқали Максвелл тақсимоти қуйидагича ёзиб олинади:

$$f(p) = 4\pi (2\pi mkT)^{-\frac{1}{2}} P^2 \exp \left( -\frac{P^2}{2mkT} \right), \quad (3.33)$$

$$f(E) = \sqrt{\frac{4}{\pi (kT)^3}} \sqrt{E} \exp \left( -\frac{E}{kT} \right). \quad (3.34)$$

Максвелл тақсимоти асосида характеристик тезликларни топиб олинади.

1. Энг эҳтимолли тезлик  $\frac{df(v)}{dv} = 0$  шартидан топилади, у

Максвелл тақсимоти максимумига түгри келади. (3.30'') дан:

$$v_{33} = \sqrt{\frac{2kT}{m}}. \quad (3.35)$$

2. Ўртача тезлик қуйидаги ифодани аниқладайди:

$$\bar{v} = \int_0^\infty v f(v) dv = \sqrt{\frac{8kT}{\pi m}} \quad (3.36)$$

3. Ўртача квадратик тезлик:

$$\bar{v^2} = \int_0^\infty v^2 f(v) dv = \frac{3kT}{m}. \quad (3.37)$$

4. Молекуланинг илгариланма ҳаракати ўртача кинетик энергиясини ҳам аниқлаш мумкин. У ўртача квадратик тезлик орқали ифодаланиши маълум:

$$\bar{E}_k = \frac{mv^2}{2} = \frac{3}{2} kT. \quad (3.38)$$

Демак,  $\bar{E}_k$  молекула табиатига бөглиқ әмас, фақат газнинг мутлоқ Т температурасига пропорционал.

5. Максвелл тақсимоти асосида ўртача нисбий тезликларни ҳам аниқлаш мүмкін:

$$\bar{v}_{nuc} = \sqrt{2}\bar{v} \quad (3.39)$$

### 3.5. Классик статистик физиканинг асосий тасаввурлари

Олдин айтиб үтилганидек, күп сонли зарралар ҳаракатлари ҳақидаги масалани механика еча олмайди, уни статистик усуллар билан ечилади. Статистик физикада бир неча мұхым түшүнчалар киритилган.

Физик системанинг мувозанатий ҳолатларда түрли макроскопик параметрлар үзгартмайды. Масалан, термодинамиқ, кимёвий ёки механик мувозанатлар мавжуд. Мисол учун, мазкур ҳажмдаги газнинг термодинамиқ мувозанатида системанинг температура ва босими үзгартмайды. Газнинг ҳар қандай мувозанатий макроскопик ҳолатига молекулаларнинг жуда күп түрли вазиятлари ва ҳаракатлари түгри келади, чунки молекулалар узлуксиз ҳаракат қилиб туради, түкнашишади, бинобарин, улар уз жойларини ва тезликларини үзгартыриб туради, аммо системанинг макроҳолати үзгартмайды. Демак, битта макроскопик ҳолатта жуда күп микроҳолатлар мос келади, ҳар қандай макроскопик катталиклар микроскопик катталикларнинг функциялари бўлади.

Системанинг бир макроҳолатига түгри келган микроҳолатлар тўплами статистик ансамбл деб аталган.

Мазкур система макроҳолатига мос келган микроҳолатлар сонини термодинамиқ эҳтимоллик дейилади.

Статистик физикада фазалар фазоси деган түшунча бор.

Мисол учун, молекулани нүқтавий зарра деб қарасак, унинг 3 та координатаси ва 3 та импулс ташкил этувчилари бор. Агар координаталар ва импулслар фазоси фаразий түшүнчесини киритилса, бир молекуланинг ҳолати 6 та улчов (6 та фазалар фазоси координаталари) орқали аниқланади. Агар система N та молекуладан (атомдан) иборат бўлса, уларнинг ҳолатларини  $6N$ та катталик аниқлайди, бунда фаразий  $6N$ -

үлчовли ( $x_1, x_2, \dots, x_n$  координатали) фазалар фазоси түшүнчеси киритилди ва бу фазода системанинг бир микрохолати нүкта билан тасвирланади, уни фаза ҳам дейилади. Фазалар фазосида кичик  $dx_1, dx_2, \dots, dx_n$  ҳажмга ажратамиз. Бу ҳолда системанинг шу қисмчада бўлишилиги

$$W(x_1, x_2, \dots, x_{6N}) = w(x_1, x_2, \dots, x_{6N}) \underbrace{dx_1, dx_2, \dots, dx_{6N}}_{6Nmm} \quad (3.40)$$

бўлади. Уни қисқароқ қилиб

$$dW(x) = w(x)(dx)^{6N} \quad (3.40')$$

қўринишда ифодаланади,  $w(x)$ -эҳтимоллик зичлиги ёки тақсимот функциясидир.

Системанинг фазалар фазосининг чекли  $\Gamma$  ҳажмда бўлиш эҳтимоллиги

$$dW(\Gamma) = \int_{\Gamma} dW(x) = \int_{\Gamma} w(x)(dx)^{6N} \quad (3.41)$$

Бу ҳолда нормалаш шарти:

$$\int_{\Gamma \rightarrow \infty} w(x)(dx)^{6N} = 1. \quad (3.42)$$

Фазалар фазосининг бирлик ҳажмидаги нүқталар (микрохолатлар) сони  $\rho$  бўлсин. Статистиканинг муҳим теоремаларидан бири Лиувилл теоремаси тасдиқлайди:

Фазалар траекторияси бўйлаб ҳаракатланганда  $\frac{d\rho}{dt} = 0$

бўлади, яъни фазалар фазосидаги кичик ҳажмча вақт ўтиши билан кўча бориб ўз катталигини сақладайди:

$$(dx)_0^{6N} = (dx)_t^{6N}. \quad (3.43)$$

Лиувилл теоремасидан қўйидаги натижа бевосита келиб чиқади: тақсимот функцияси умумлашган  $q_i$  координаталар ва  $p_i$  импулсларнинг вақт ўтиши билан ўзгармайдиган бирлашмалари орқали ифодаланиши керак. Фақат ҳаракатнинг механик интеграллари шундай хоссага эгадир. Тақсимот функцияси шу

интегралга боғлиқ бўлиши ва бинобарин, ўзи ҳам ҳаракат интеграли бўлиши керак. Демак, мувозанат шароитида тақсимот функциясини ва система ҳолатини энергия аниқлаши керак.

Макроскопик катталиклар фазалар фазоси бўйича ўртачалаштирилган микроскопик катталикка тенг бўлади. Масалан, ҳар қандай микроскопик физик  $F$  катталик  $F(x)$  функцияning ўртачаси сифатида аниқланади:

$$F = \overline{F}^x = \int_{\Gamma} F(x) w(x) dx = \overline{F^t} = \frac{1}{\tau} \int_0^{\tau} F(x, t) dt. \quad (3.44)$$

Вақт бўйича ва ансамбл бўйича ўртача қийматларнинг айнанлиги эргодик фараз дейилади.

### 3.6. Гиббснинг каноник тақсимоти

Термостатда жойланган изотермик система учун  $w(x)$  тақсимот функциясини топайлик. Қараладиган системани янада катта системанинг қандайдир қисми деб ҳисобланади. Бу қисмни иккита  $x'$  ва  $x''$  системачаларга ажратамиз. Бу системачаларда тақсимот функциялари уларнинг тула  $H(x, a)$  энергияларига боғлиқ деб ҳисоблаймиз, яъни

$$w(x') = w(H'(x', a')), \quad (3.45)$$

$$w(x'') = w(H''(x'', a'')). \quad (3.46)$$

Бунда  $x$  — системанинг  $6N$  та (ички) параметри,  $a$  — ташқи параметрлари.

Изотермик системанинг тўла энергияси

$$H(x, a) = H'(x', a') + H''(x'', a'') + V_{12} \quad (3.47)$$

Бундаги  $V_{12}$  — системачалар орасидаги ўзаро таъсир энергияси. Уни  $H'$  ва  $H''$  га нисбатан кичик қилиш учун тизимчалар етарлича катта қилиб олинади. Шундай қилиб,

$$H = H' + H''. \quad (3.48)$$

Мұстақил ички тизимчадан иборат тизим учун тақсимот функциясы

$$w(H'+H'')=w(H')w(H''). \quad (3.49)$$

(3.49) ни логарифмлаб, сунг дифференциаллаймиз:

$$\ln w(H'+H'')=\ln w(H')+\ln w(H''),$$

$$d\ln w(H'+H'')=d\ln w(H')+d\ln w(H'')$$

$$\text{ёки } [\ln w(H'+H'')]'(dH'+dH'')=[\ln w(H')]'dH'+[\ln w(H'')]dH''.$$

$dH'$  ва  $dH''$  дифференциаллар мұстақил нолға айланиши мүмкін деб ҳисоблаб,

$$[\ln w(H'+H'')]'=[\ln w(H')]'=[\ln w(H'')]'=\alpha$$

мұносабатни оламиз, бунда  $\alpha$  — қандайдыр үзгармас катталиқ, чунки түрли аргументли функциялар ҳосиласи фақат улар үзгармас бўлғандагина бир-бираига тенг бўла олади.

Охирги тенгликни интегралласак,

$$\ln w(H)=\alpha H+\beta \quad (3.50)$$

ифода ҳосил бўлади, бундан:

$$w(x)=e^{\alpha H+\beta} \quad (3.51)$$

Бу ифодада  $\alpha<0$  бўлиши нормалаш шартидан келиб чиқиши равшан, шунинг учун қуйидагича белгилаш қиласиз:

$$\alpha=-\frac{1}{\theta}, \quad \beta=\frac{\psi}{\theta} \quad (3.52)$$

Энди (3.51) ифода

$$w(x)=e^{\frac{\psi-H}{\theta}} \quad (3.53)$$

куринишга келади. Бу ифодани Гиббснинг каноник тақсимоти дейилади.  $\theta$  ни каноник тақсимот модули дейилади.  $\psi$  доимийни нормалаш шартидан аниқланади:

$$\int_{\Gamma} w(x) (dx)^{6N} = 1 \quad (3.54)$$

Гиббс каноник тақсимотини келтириб чиқаришда қаралаётган системада ўзаро таъсир кичик ва температура доимий деб ҳисобланади.

Зарралар бир-биридан фарқланмайдиган ҳолда (масалан, электронлар гази қаралганда) фарқланадиган ҳолдагига нисбатан ўрин алмаштиришлар сони  $N!$  марта кам, шунинг учун бу ҳолда

$$w(x) = \frac{1}{N!} e^{\frac{\psi - H}{\theta}}, \quad (3.55)$$

аммо  $1/N!$  кўп ҳолда нормаланадиган доимийга таъсир қилмайди ва уни тушириб қолдириш мумкин.

Энди Гиббс каноник тақсимотининг асосий хоссалари ва натижалари устида тұхталамиз.

1. (3.54) нормалаш шартидан ташқи  $a$  параметр бўйича дифференциал олсак, сунг уни 0 га тенгласак,

$$\left( \frac{\partial \psi}{\partial a_k} \right)_\theta = \left( \frac{\partial \bar{H}}{\partial a_k} \right)_\theta \quad (3.56)$$

муносабат келиб чиқади.  $\left( \frac{\partial \bar{H}}{\partial a_k} \right)_\theta$  ҳосила ўртача (термодинамика) умумлашган А куч ифодасини беради, яъни

$$\left( \frac{\partial \bar{H}}{\partial a_k} \right)_\theta = -\bar{A}_k = \left( \frac{\partial \psi}{\partial a_k} \right)_\theta \quad (3.57)$$

2. Яна нормалаш шартини  $\theta$  бўйича дифференциаллаб, сунг нолга тенгласак,

$$\theta \left[ \frac{\partial \psi}{\partial a_k} \right]_a = \psi - \bar{H} \quad (3.58)$$

муносабат келиб чиқади. Аммо, системанинг ўртача энергияси  $H$  ички термодинамик  $U$  энергияга тенг булғанлиги учун

$$U = \psi - \theta \left( \frac{\partial \psi}{\partial \theta} \right)_a \quad (3.59)$$

3. Оддин күрганимиздек, қандайдир  $F(x, a)$  функцияниңг ўртача қийматы

$$\bar{F} = \int_{\Gamma} F(x, a) e^{\frac{\psi - H}{\theta}} (dx)^{6N} \quad (3.60)$$

ифодадан аниқланади.

4. (3.60) ифода бүйича:

$$\frac{\partial \bar{F}}{\partial \theta} = \frac{1}{\theta^2} (\bar{F} - \bar{F}) (\bar{H} - \bar{H}). \quad (3.61)$$

5. Шунингдек,

$$\left[ \frac{\partial \bar{F}}{\partial a} \right]_0 = \left[ \frac{\partial F}{\partial a} \right]_0 - \frac{1}{\theta} (\bar{F} - \bar{F}) \left[ \frac{\partial H}{\partial a} - \frac{\partial \bar{H}}{\partial a} \right]. \quad (3.62)$$

Каноник тақсимотнинг параметрлари  $\theta$  ва  $\psi$  нинг физик маъносини аниқлайлик.

1. Гиббс тақсимог қонуни, термодинамиканинг биринчи қонуни ва (3.59) ифодадан фойдаланиб,

$\frac{\delta Q}{\theta} = d \left( - \frac{\partial \psi}{\partial \theta} \right)_a$  булишлигини аниқланади,  $\theta$  интегралловчи

кўпайтувчи эканлиги маълум бўлади. Демак, мутлоқ температура  $T$  температуранинг ўхшаши (статистик температура) бўлади. Ҳисобнинг натижасига кўра,

$$\theta = kT \quad (3.63)$$

булишлиги топилади.

2.  $\theta = kT$  ва  $a = V$  деб олинса, (3.59) дан

$$U = \psi - T \left( \frac{\partial \psi}{\partial T} \right)_V \quad (3.64)$$

ифода келиб чиқади. Буни биринчи қонунга қойилса,

$$-\left( \frac{\partial \psi}{\partial T} \right)_V = S, \quad -T \left( \frac{\partial \psi}{\partial T} \right)_V = ST$$

эркин энергиянинг

$$\psi = F - TS \text{ ёки } F = \psi + \bar{H} - TS \quad (3.65)$$

ифодаси келиб чиқади. Демак,  $\psi = F$  термодинамик эркин энергиянинг ўзи экан.

3. Энди (3.53) ни (3.54) нормалаш шартига қойиб,  $\psi$  ни яккаласақ,

$$\psi = -\theta \ln \int_{\Gamma} e^{-\frac{H}{\theta}} (dx)^{6N} = -\theta \ln Z \quad (3.66)$$

ифодани оламиз. Бундаги

$$Z = \int_{\Gamma} e^{-\frac{E_i}{kT}} \quad (3.67)$$

интегрални ҳолатлар интеграли дейилади. Агар энергия қийматлари дискрет бўлса, у ҳолда (3.67) ўрнига

$$Z = \sum_{i=1}^n e^{-\frac{E_i}{kT}} \quad (3.67')$$

статистик йиғинидан фойдаланилади, бунда  $E_i$  дискрет энергия спектрида  $i$  — ҳолат энергияси. Бу ҳолда ҳам (3.66) муносабат ўз қўчини сақладайди.

### Максвелл-Болцман тақсимоти

Гиббс каноник тақсимотидан кинетик энергиядан бошқа потенциал энергияга эга бўлган газ зарралари учун Максвелл-Болцман тақсимотини келтириб чиқариш мумкин. Бир зарранинг энергияси бу ҳолда

$$E = E_{kin} + E_{pot} = \frac{p_x^2 + p_y^2 + p_z^2}{2m} + V(x, y, z) \quad (3.68)$$

Зарранинг (молекуланинг) импулси  $p_x, p_x \leftrightarrow +dp_x$ ;  $p_y, p_y + dp_y; p_z, p_z - dp_z$  оралиқда, координаталари  $x, x+dx; y, y+dy; z, z+dz$  оралиқда бұлған ҳолати әхтимоллиги

$$dw(p_x, p_y, p_z, x, y, z) = \text{const} \cdot \exp \left\{ \frac{\frac{p_x^2 + p_y^2 + p_z^2}{2m} + V(x, y, z)}{kT} \right\} dp_x dp_y dp_z dx dy dz \quad (3.69)$$

бұлади. Бу Максвелл-Болцман тақсимотидир.

### 3.7. Гиббснинг катта каноник тақсимоти

Термодинамикада зарралар сони үзгарувчан бұлған системалар учун  $\mu$  кимёвий потенциал киритилади, у эркин энергиядан зарралар сони буйича олинган ҳосила сифатида ифодаланади:

$$\mu = \left( \frac{\partial \psi}{\partial N} \right)_{V, T} \quad (3.70)$$

Бундан:

$$\psi = \mu N + \Omega(\mu, V, T) \quad (3.71)$$

ифода олинади ( $\Omega$  - термодинамик потенциал).

Бу ҳолда тақсимот қонуни

$$w(N) = \frac{1}{N!} \exp \left( \frac{\Omega + \mu N - H}{\theta} \right) \quad (3.72)$$

күренишда бұлади, уни Гиббснинг катта каноник тақсимоти дейилади.  $\Omega$  термодинамик потенциал нормалаш шартыдан аникланади.

Үртача қыйматлар олдин күрилған қоюда асосида ифодаланади:

$$\bar{N} = \sum_{N=0}^{\infty} \frac{1}{N!} \int_{\Gamma} N \exp \frac{\Omega + \mu N - H}{kT} (dx)^{6N},$$

$$\bar{H} = \sum_{N=0}^{\infty} \frac{1}{N!} \int_{\Gamma} H \exp \frac{\Omega + \mu N - H}{kT} (dx)^{6N}.$$

Бу тақсимот учун ҳолатлар интегралы вазифасини

$$Z = \sum_{N=0}^{\infty} \frac{\exp \left( \frac{\mu N}{kT} \right)}{N!} \int_{\Gamma} e^{-\frac{H}{kT}} (dx)^{6N}$$

ифода бажаради,  $\Omega$  эса

$$\Omega = -kT \ln Z \quad (3.73)$$

муносабат орқали аниқланади. Яна олинган

$$\left( \frac{\partial \Omega}{\partial V} \right)_{T, \mu} = -p, \quad \left( \frac{\partial \Omega}{\partial \mu} \right)_{V, T} = -\bar{N} \quad (3.74)$$

ифодалар  $\Omega$  нинг маъносини ошкор қиласди.

### 3.8. Квант статистика асослари

Микрозарралар дунёсида классик физика қонунлари ишламай қолади. Улар макрохисмлардан фарқли хоссаларга эга: элементар зарралар (электронлар, протонлар, нейтронлар ва ҳоказо) ҳам зарра, ҳам тўлқин табиятга эга бўлади, бир вақтда уларнинг жойи ва импулсини аниқ ўлчаб бўлмайди, бинобарин, микрозарралар ҳолатини бир вақтда координаталар ва импулслар ёрдамида тасвирлаб бўлмайди. Микрозарралар спин моментлари, магнитик моментларга эга, уларнинг энергияси қийматлари узук-узук спектр ташкил қиласди, физик системалар ҳолатини квант механикада Шредингер тенгламаси тасвирлайди. Микрозарраларнинг барчаси бир биридан фарқланмайди. Хуллас, квант системаларда ўзига хос қонуниятлар асосида маҳсус хоссалар мавжуд.

Квант системаларининг статистик қонуниятларини квант статистикаси ўрганади.

Бу ҳолда фазалар фазоси бўйича барча интеграллар ўрнини квант системасининг барча хусусий ҳолатлари бўйича йигиндилар олади:

Статистик йиғинди

$$Z = \sum_{i=1}^n \exp\left(\frac{-E_i}{kT}\right) \quad (3.75)$$

бўлади, аммо  $\Omega = -kT \ln Z$  ифода сақланади.

Энергиялар бўйича тақсимот функцияси

$$W_i(E_i) = \text{const} \exp\left(-\frac{E_i}{kT}\right) \quad (3.76)$$

нормалаш шарти

$$\sum_{i=1}^{\infty} W_i(E_i) = \text{const} \sum_{i=1}^{\infty} \exp\left(\frac{-E_i}{kT}\right) = 1, \quad (3.77)$$

энергиянинг ўртача қиймати

$$\bar{E} = \frac{\sum_{i=1}^{\infty} E_i \exp\left(\frac{-E_i}{kT}\right)}{\sum_{i=1}^{\infty} \exp\left(\frac{-E_i}{kT}\right)} \quad (3.78)$$

кўринишда бўлади.

(3.73) ифодани бошқачароқ қилиб ёзib олайлик.  $i$ -ҳолат энергиясини  $\varepsilon_i$ , ундаги зарралар сонини  $n_i$  деб олсак, бу ҳолатдаги зарралар умумий энергияси  $n_i \varepsilon_i$ , энди  $N=n_i$  бўлади.

Демак, бу ҳолаттаги мос термодинамик потенциал

$$\Omega_i = -kT \ln \sum_{n_i} \left( e^{\frac{\mu - \varepsilon_i}{kT}} \right)^{n_i} \quad (3.79)$$

кўринишда бўлади.

$i$  — ҳолатдаги зарралар ўртача сони

$$-\frac{\partial \Omega}{\partial \mu} = \frac{\sum_{n_i} n_i \left( e^{\frac{\mu - \epsilon_i}{kT}} \right)^{n_i}}{\sum_{n_i} \left( e^{\frac{\mu - \epsilon_i}{kT}} \right)^{n_i}} = \overline{n_i}. \quad (3.80)$$

Паули принципига бўйсунадиган (яримбутун спинли) зарралардан (электронлар учун  $S=1/2$ ) ташкилланган системада бир ҳолатда фақат битта зарра бўлиши ё бўлмаслиги мумкин, яъни  $n_i = 0, 1$  қийматлар олади, холос. Бу ҳолда:

$$\sum_{n_i} \left( e^{\frac{\mu - \epsilon_i}{kT}} \right)^{n_i} = 1 + e^{\frac{\mu - \epsilon_i}{kT}}, \quad \sum_{n_i} \left( e^{\frac{\mu - \epsilon_i}{kT}} \right)^{n_i} n_i = e^{\frac{\mu - \epsilon_i}{kT}}$$

Демак,  $i$  — ҳолатдаги ўртача зарралар сони (тўғрироғи шу ҳолатда зарранинг бўлиш эҳтимоллиги)

$$\overline{n_i} = f(\epsilon_i, T) = \frac{1}{e^{\frac{(\epsilon_i - \mu)}{kT}} + 1}. \quad (3.81)$$

Бу ифода Ферми-Дирак статистикасига бўйсунадиган (Паули принципига бўйсунадиган) идеал газ учун Ферми тақсимот функциясиdir.  $\exp(\epsilon - \mu)/kT \gg 1$  бўлганда у Болцман тақсимотига ўтади, яъни

$$f(\epsilon_i, T) = \exp\left(-\frac{\mu - \epsilon_i}{kT}\right) \quad (3.82)$$

булиб олади.

Синни булмаган ёки спини бутун сон билан белгиланадиган зарралар ҳар қандай ҳолатда ихтиёрий сонда бўлиши мумкин (улар Паули тақиқ принципига бўйсунмайди).

Бу ҳолда

$$\Omega_i = -kT \sum_{n_i=0}^{\infty} \left( e^{\frac{\mu-\varepsilon_i}{kT}} \right)^{n_i} = -kT \left( 1 + e^{\frac{\mu-\varepsilon_i}{kT}} + e^{2\frac{\mu-\varepsilon_i}{kT}} + \dots \right)$$

ифодадаги йиғинди  $\exp \frac{\mu - \varepsilon_i}{kT}$  махражли ва у 1 дан кичик бүлган чексиз геометрик прогрессия бўлади, шунинг учун

$$\Omega_i = kT \ln \left( 1 - e^{\frac{\mu - \varepsilon_i}{kT}} \right). \quad (3.83)$$

Демак, бу ҳолда

$$\overline{n_i} = f(\varepsilon_i, T) = \frac{1}{e^{\frac{\varepsilon_i - \mu}{kT}} - 1}, \quad (3.84)$$

Бу ифода Бозе-Эйнштейн статистикасига бўйсунадиган зарралар идеал гази учун тақсимот функциясиdir.

Ферми-Дирак квант статистикасининг электронлар айнигани газига тадқиқ қиласли.

Электронлар гази умуман айтганда Ферми-Дирак статистикасига бўйсунади. Хусусий ҳолда электронлар зичлиги кам бўлган, яъни  $\exp(\mu - \varepsilon)/kT > 1$  ҳолда, бошқача айтганда, электронлар гази айнимаган ҳолда Максвелл тақсимотидан фойдаланиш мумкин. Агар мазкур тенгизлиқ бажарилмаса, у ҳолда электрон газини айнигандан газ дейилади. Металларда эркин электронлар зичлиги катта, бинобарин, у газ айнигандан бўлади.

Мутлоқ ҳолда электрон газ тўла айнигандан бўлади, Электронлар энг паст энергияли ҳолатдан то қандайдир катта қийматли энергия ҳолатигача барча ҳолатларни тўла банд қиласли. Шу энг юқориги ҳолат мутлоқ нолдаги Ферми энергияси (Ферми сатҳи) дейилади.

$p$  ва  $p+dp$  мутлоқ қийматли импулслар оралиғида зарранинг илгариланма ҳаракат ҳолатлари сони

$$\frac{4\pi p^2 dp dV}{(2\pi\hbar)^3}$$

электронлар ҳолатлари статистик вазни 2. Үнга ушбу ифодани күпайтирасак, квант ҳолатлар сони ( $V$  хажмда)

$$\frac{Vp^2 dp}{2\pi^2 \hbar^3} \quad \text{бұлади.}$$

Электронлар  $p=0$  дан  $p=p_0$  гача ҳолаттарни әгаллаган, уларнинг сони:

$$N = \frac{Vp_0^3}{6\pi^2 \hbar^3}.$$

бундан юқориги импульс

$$p_0 = (3\pi^2)^{\frac{1}{3}} \left( \frac{N}{V} \right)^{\frac{1}{3}} \hbar \quad (3.85)$$

ва юқориги энергия (Ферми сатхы)  $E_F = \frac{p_0^2}{2m} = E_F(T=0)$ :

$$E_F(T=0) = (3\pi^2)^{\frac{2}{3}} \frac{\hbar^2}{2m} \left( \frac{N}{V} \right)^{\frac{2}{3}}. \quad (3.86)$$

Электронлар газининг тұла энергияси:

$$E = \frac{3}{10} (3\pi^2)^{\frac{2}{3}} \frac{\hbar^2}{2m} \left( \frac{N}{V} \right)^{\frac{2}{3}} N. \quad (3.87)$$

Бу келтирилған ифодаларнинг құлланиш шарти

$$T \ll \frac{\hbar^2}{m} \left( \frac{N}{V} \right)^{\frac{2}{3}}. \quad (3.88)$$

$kT_F=E_F$  шартидан аникланадиган  $T_F$  температурани айниш температураси дейилади.

Ферми-Дирак статистикаси ёрдамида айниган электронлар газининг иссиқлик сигими ( $C_V = \beta NT \left( \frac{N}{V} \right)^{\frac{2}{3}}$ ) аниқланиши мумкин.

Айниган Бозе-газининг хоссалари ҳам урганилган. Қандайдир чегаравий  $T_0$  температурадан пастда газнинг энергияси

$$E = 0,770NT^{5/2}/T_0^{3/2} \sim T^{5/2}. \quad (3.89)$$

Демак, унинг иссиқлик сигими

$$C_V = \frac{5E}{2T} \sim T^{3/2}. \quad (3.90)$$

Бозе-газ босими:

$$\rho = 0.851 g \frac{m^{3/2} T^{5/2}}{\hbar^3} \quad (3.91)$$

### 3.9. Қора нурланиш

Қора нурланишни фотонлар гази деб қараш мумкин. Фотонлар бир-бири билан ўзаро таъсирилашмайди, бинобарин, бу газни идеал газ деб ҳисобласа бўлади. Фотонлар спинга эга эмас ва Бозе-Эйнштейн статистикасига бўйсунади. Фотонлар гази учун кимёвий потенциал  $\mu=0$  бўлади.

$\varepsilon_k = \hbar\omega_k$  энергияли ҳолатда бўлган фотонлар сони Планк ифодаси

$$f(\omega_k) = \frac{1}{e^{\frac{\hbar\omega_k}{kT}} - 1} \quad (3.92)$$

орқали тасвирланади. Ҳисобнинг натижасида спектрнинг такорийликлар  $d\omega$  оралиғига тўғри келган қора нурланиш энергияси:

$$dE_{\omega} = \frac{V\hbar}{\pi^2 c^3} \frac{\omega^3 d\omega}{e^{\frac{\hbar\omega}{kT}} - 1} \quad (3.93)$$

Агар тақрорийликлар кичик ( $\hbar\omega < kT$ ) бўлса, Релей-Жинс ифодаси келиб чиқади:

$$dE_w = V \frac{T}{\pi^2 c^3} \omega^2 d\omega . \quad (3.94)$$

Бу ифода тебранма ҳаракат эркинлик даражалари сонини  $kT$  га кўпайтиришдан келиб чиқсан. Бу ифодани катта тақрорийликлар соҳасига асоссиз тадбиқ этилса, у ҳолда нурланиш тўла энергияси

$E = \int_0^\infty dE_w = \infty$  бўлиб чиқади. Бу бемаъниликтин "ултра бинафша ҳалокат" деб номланган.

Аслида  $\hbar\omega \gg kT$  ҳолда

$$dE_w = V \frac{\hbar}{\pi^2 c^3} \omega^3 e^{-\frac{\hbar\omega}{kT}} d\omega \quad (3.95)$$

бўлади (Вин ифодаси) ва тўла энергия  $\infty$  га айланмайди, аксинча чекли қийматга эга бўлади.

### Спектрал энергия зичлиги

$\frac{dE_\omega}{d\omega}$  қандайдир  $\omega = \omega_m$  қийматда максимумга эришади:

$\omega_m = 2.822 T_m / \hbar$ . Агар бунда  $\omega_m = \frac{2\pi c}{\lambda_{min}}$  алмаштириш қилсан,  $\lambda_{min} T_m = \text{const}$  ифода ҳосил бўлади. Бу Виннинг силжиш қонуни бўлиб, у нурланувчи жисм температураси ошганда спектрал зичлик максимуми қисқа тўлқинлар (кичик  $\lambda$  лар) томонга силжиди деб тасдиқлайди. Бозе-Эйнштейн статистикаси Стефан-Болцманнинг ушбу – нурланишнинг тұла энергияси

$$E = AT^4 \quad (3.96)$$

нурланувчи жисм температурасининг туртинчи даражасига пропорционал бўлади деган қонунини ҳам көлтириб чиқаради.

Статистик физиканинг тадқиқот соҳалари жуда кенг. Биз бу бобда унинг асосий тасаввурлари, тушунчалари ва қонунлари билан қисқа танишиб чиқдик, кейинги бобларда бу маълумот бироз тўлдирилиб қўлланишини ҳам назарда тутдик.

## **Саволлар ва масалалар**

1. Тақсимот функциясини таърифланг.
2. Нормалаш шартининг маъносини тушунтиринг.
3. Тасодифий катталикнинг ўртача қиймати нимани билдиради?
4. Қандай тақсимотларни биласиз?
5. Максвелл тақсимоти қандай ҳолда адолатли?
6. Молекуланинг массаси  $10^{-22}$  г ва температура 300 К бўлганда энг эҳтимолли тезлик, ўртача тезлик ва ўртача квадратик тезликларни аниқланг.
7. Гиббснинг каноник тақсимотида қандай параметрлар иштирок этади?
8. Гиббс каноник тақсимотидан Бозе-Эйнштейн тақсимотини келтириб чиқаринг.
9. Гиббс каноник тақсимотидан Ферми-Дирак тақсимотини келтириб чиқаринг.
10. Мутлоқ қора жисм нурланиши қонунларини қайси статистика тушунтириб бера олади. Шу асосда Стефан-Больцман ва Вин силжиш қонунлари қандай кўринишда бўлади?
11. Ферми-Дирак тақсимотини электронларнинг айниган газига тадбиқлаб Ферми сатҳи энергиясини топишга ҳаракат қилинг.

## IV БОБ

### ҚАТТИҚ ЖИСМЛАРДА ИССИҚЛИК ҲОДИСАЛАРИ

Олдинги II бобда анча батафсил қараб чиқылған кристалл панжараси атомлари (ионлари) тебранишлари назариясининг энг мұхим табиқларидан бири кристалл панжараси иссиқлик сиғими назариясидір.

#### 4.1. Иссиқлик сиғимининг классик назарияси

Классик физикада панжара атомлари ҳаракати мұмтоз мемеке қонунларига бүйсунади деб ҳисобланади. Бу қонунлардан бири ўртача энергияның барча әркинлик дара жалары бүйича тенг тақсимот қонуни булиб, унга күра бир әркинлик дара жасыга түгри келдиган ўртача кинетик энергия  $(1/2)kT$  га теңдір (бундагы  $k$ -Больцман доимийсі). Шу асосда қаттиқ жисмнинг иссиқлик сиғими мұмтоз қонуни келиб чиқади. Маълумки, ҳар қандай тебранишни уч ташкил этувчи га ажратиш мүмкін, ҳар ташкил этувчига (тебранма ҳаракат әркинлик дара жасыга) тебранувчи атомнинг  $(1/2) kT$  ўртача кинетик энергияси ва  $(1/2) kT$  ўртача потенциал энергияси түгри келади, демек, ҳар бир тебранма әркинлик дара жасыга

$$\bar{\epsilon} = \epsilon_{kin} + \bar{\epsilon}_{pot} = (1/2)kT + (1/2)kT = kT \quad (4.1)$$

энергия түгри келади, тебранаётган атомнинг ўртача тұла энергияси

$$\bar{\epsilon}_a = 3kT \quad (4.2)$$

бұлади. Агар грамм-атом миқдордаги кристалл олинса үннің атомлари тебранишлари тұла энергияси

$$E_{NA} = N_A \bar{\epsilon}_a = 3N_A kT = RT, \quad (4.3)$$

бу ерда  $N$ -Авогадро сони,  $R$ -газ универсал доимийси.

Таърифга кўра, қаттиқ жисмнинг иссиқлик сифими деб температура бир градус қадар ўзгарганда унинг ички энергиясининг ўзгариши миқдорига айтилади. Бу сифимни  $C = dE/dT$  тарзда аниқланади.  $C$  - сифим айrim термодинамик катталиклар функцияси бўлиб, унинг кўриниши ва қиймати қандай шароитда аниқланишига боғлиқдир.

Агар иссиқликнинг сифими жисм ҳажми ўзгармас сақлангани ҳолда аниқланса,  $C_V = \left( \frac{dE}{dT} \right)_{V=const}$ , босим

ўзгармас сақланса,  $C_p = (dE/dT)p=const$  кўринишида белгиланади. Одатда температура ўзгарганида кристалл қаттиқ жисмларнинг ҳажми кам ўзгарганилиги туфайли уларнинг иссиқлик сигимини  $C_V$  деса бўлади, (хона температурасида  $C_p$ -сифим  $C_V$  - сифим дан 3-5% чамасида ортиқ холос).

Демак, граммолекуляр (моляр) иссиқлик сифим

$$C_\mu = C_V = \frac{dE_{N_A}}{dT} = 3R \approx 6 \text{ кал / мол.град} \quad (4.4)$$

бўлади: бир атомли кристалл қаттиқ жисмнинг моляр иссиқлик сифими 6 кал/мол.град бўлиши керак. Бу қонунни Дьюлонг-Пти қонуни дейилади. Хона температурасида бир қатор моддалар иссиқлик сигимини ўлчашлар Дьюлонг-Пти қонуни яхши бажарилишини кўрсатади, айrim моддалар учун С нинг қиймати Дьюлонг-Пти қонунига мос келмайди.

#### 4.1 - жадвал

Модда	$C_\mu$ , кал/мол.град	Модда	$C_\mu$ , кал/мол.град
Алюминий	6,14	Кумуш	6,13
Темир	6,39	Рух	6,10
Олтин	6,36	Йод	6,6
Мис	5,90	Кремний	4,64
Қалай	6,63	Бор	2,51
Платина	6,29	Карбон(олмос)	1,35

Бу масалага кейинроқ тұхталамиз.

Юқоридаги муроҳазаларни давом эттирең, икки атомли кристаллар учун  $C_\mu$  бир атомли кристалларницидан 2 баробар, яъни  $C_\mu=12$  кал/мол. град, чунки буларнинг бир граммоли

энергияси 2 баробар күп, уч атомли кристаллар учун  $C_{\mu}=18$  кал/мол.град булиши керак. Бир қатор кристаллар устида үлчашлар хона температурасыда мөс қийматларни беради.

#### 4.2 -жадвал

Модда	$C_{\mu}$ , кал/мол.град	Модда	$C_{\mu}$ , кал/мол.град
$\text{CuO}$	11,3	$\text{CaCl}_2$	18,2
$\text{NaCl}$	12,1	$\text{BaCl}_2$	18,6

То паст температуралар олиш усуллари ишлаб чиқилғунча ва бу температураларда иссиқлик сиғимини үлчашлар йўлга кўйилғунча хона температураси ва ундан юқорида бажарилган үлчашлардан Дъюлонг-Пти қонуни ҳамма вақт ўринли бўладиган қонундай туюларди.

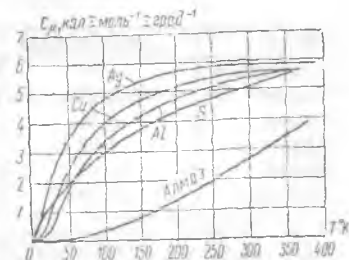
Аммо, паст температуралар соҳасида Дъюлонг-Пти қонунидан четланишлар жуда сезиларли бўлишилиги, аникроғи, температура пасайган сари қаттиқ жисмларнинг иссиқлик сиғими камайиб бориши кузатилди. 4.3-жадвалда мис ва олмос иссиқлик сиғимининг тажрибавий қийматлари келтирилган.

#### 4.3 -жадвал

Мис		олмос	
Температура °C	$C_{\mu}$ , кал/мол.град	Температура °C	$C_{\mu}$ , кал/мол.град
-259	0,04	-183	0,03
-186	3,32	-66	0,64
-39	5,59	+85	2,12
+50	5,90	+985	5,51

Бундай қонуният барча бошқа қаттиқ жисмлар учун ҳам кузатилган.

Биз бу бандда кристалл панжараси атомлари тебранишлари билан боғлиқ бўлган иссиқлик сиғимини кўраётимиз. Юқорида бу иссиқлик сиғимининг Дъюлонг-Пти қонунига олиб келадиган мумтоз назариясини қараб чиқдик.



4.1-чизма. Баъзи қаттиқ жисмлар иссиқлик сиғимининг температурага боғланishi.

## 4.2. Кристалл панжараси иссиқлик сифимининг квант назарияси

Дебай температураси  $\theta$ дан паст температураларда квант қонуниятлари асосий ахамиятга эга. Ҳар бир қаттиқ жисм учун етарлича юқори температураларда бажариладиган Дьюлонг-Пти қонуни (иссиқлик сифими температурага боғлиқмас деб тасдиқловчи қонун) паст температураларда бажарилмаслиги тажрибалардан маълум бўлгандан кейин иссиқлик сифимининг квант назариясини яратиш зарурлиги аён бўлди. Планкнинг мутлоқ қора жисм нурланиши квант назарияси асосида А.Эйнштейн (1907) биринчи булиб, узининг иссиқлик сифими назариясини таклиф қилди. Унингча,  $N$  атомдан ташкилланган кристалл бир хил  $\omega$  тақрорийликли  $3N$  та тебра нишга эга бўла олади.  $\omega$  тақрорийликли тебраниш эҳтимоллигини Планк ифодаси тавсифлайди:

$$f(\hbar\omega) = \frac{1}{e^{\frac{\hbar\omega}{kT}} - 1} \quad (4.5)$$

Ҳар бир тебраниш энергияси кванти  $\hbar\omega$  га teng, ўртача энергияси

$$f(\hbar\omega) \cdot \hbar\omega = \frac{\hbar\omega}{e^{\frac{\hbar\omega}{kT}} - 1} \quad (4.5')$$

бутун кристалл тебранишлари жами энергияси

$$E = \frac{3N\hbar\omega}{e^{\frac{\hbar\omega}{kT}} - 1} \quad (4.6)$$

Ўзгармас ҳажм шароитида кристаллнинг иссиқлик сифими

$$C_V = \left( \frac{\partial E}{\partial T} \right)_V = 3NkF(\omega, T), \quad (4.7)$$

бунда

$$F(\omega, T) = \frac{(\hbar\omega / kT)^2 \exp(-\hbar\omega / kT)}{[\exp(-\hbar\omega / kT) - 1]^2} \quad (4.8)$$

Юқори  $T$  ларда ( $\hbar\omega \ll kT$  бўлганда)  $F(\omega, T)=1$ , бинобарин,  $C_V=3Nk$ , бир граммол учун эса  $C_V=3Nk=3R$  булиб, яъни бу ҳолда Дъюлонг -Пти қонуни адолатлидир.

Паст  $T$  ларда ( $\hbar\omega >kT$  бўлганда)

$$F(\omega_E, T) \approx \left( \frac{\hbar\omega_E}{kT} \right)^2 \exp\left( -\frac{\hbar\omega_E}{kT} \right) = \left( \frac{T_E}{T} \right)^2 \exp\left( -\frac{T_E}{T} \right), \quad (4.9)$$

бундаги  $T_E = \frac{\hbar\omega_E}{k}$  -Эйнштейннинг тавсифий температураси.

Эйнштейн назарияси  $C_V$ -бўйича тажриба натижаларини сифатан тушунтиришга, яъни  $C_V$  нинг  $T$  пасайиши билан камайиб боришини кўрсатишга эришди. (4.9) ифодада температура пасайган сари  $\exp(-T_E/T)$  жуда тез камаяди.  $(T_E/T)^2$  секин ортади, натижада  $F(\omega, T)$  бу ҳолда тез камайиб боради. Аммо, Эйнштейннинг ҳамма атомлар бир хил  $\omega$  тақрорийлик билан тебранади деган фақат ҳамма атомлар мустақил тебрангандагина тўғри бўларди, вахоланки, ҳақиқатда кристалл атомлари бир-бири билан боғланган равишида тебранади. Эйнштейн чиқарган (4.9) ифода кўрсаткичли функция тарзида ўзгаради. Тажриба  $T$  пасайиши билан  $C_V$  нинг даражали қонун бўйича камайишини тасдиқлади.

П. Дебай (1912) таклиф қилган иссиқлик сифими назарияси қўпчилик кристаллар учун паст температураларда ўтказилган тажрибалар натижаларини яхши тушунтира олди.

Дебай ҳам кристалл  $N$  атомдан ташкилланган бўлса, унда  $3N$  та тебраниш бўлиши керак, аммо ҳар бир тебраниш ўзининг тўлқин вектор  $\vec{k}$  га боғлиқ  $\omega$  тақрорийлигига эга, барча  $\omega$  частоталар сони  $3N$  дан иборат эркинлик даражалари сонига teng, бунда тақрорийликлар 0 дан то максимал  $\omega$  тақрорийликгача бўлган  $3N$  та қийматни олади, яъни (3.82) ифода ўринли бўлади. Акустик тебранишлар тармоғи учун аниқланган тақрорийлик тақсимотининг (3.58) ифодасини (3.82) га қўйиб ҳисобласак,

$$\int_0^{\omega_{\max}} g(\omega) d\omega = \frac{3V}{2\pi^2 v_0^3} \int_0^{\omega_{\max}} \omega^2 d\omega = \frac{V \omega_{\max}^3}{2\pi^2 v_0^3} = 3N$$

бундан:

$$\omega_m = v_0 \left( \frac{6\pi^2}{V_0} \right)^{\frac{1}{3}} \quad (4.10)$$

$V_0 = V/N$  - элементлар катаң ҳажми.

3.5 бандда (3.83) ифода күринишида Дебай темпаратурсини максимал  $\omega_m$  тақрорийлик орқали ифодалаган эдик. Энди уни (3.10) ифодадан фойдаланиб тавсифлаймиз

$$\theta_{ok} = \frac{\hbar \omega_m}{k} = \left( \frac{6\pi^2}{V_0} \right)^{\frac{1}{3}} \frac{\hbar}{k} v_0 \quad (4.11)$$

Оптик тармоқлар учун ҳам Дебай темпаратуруларини киритиш мумкин.

$$\theta_j = \hbar \omega_j / k \quad (4.12)$$

Үша 3.5 – бандда баён қилинган фононлар (энергия  $\hbar \omega_q$ , квази импульси  $\hbar \vec{q}$ ) тушунчасидан фойдаланамиз. (3.78)-(3.80) ифодаларни қўллаймиз. Унда кўрганимиздек ҳар бир  $\omega$  тебрашишнинг ( $\omega$  тақрорийлики фононларнинг) энергияси

$$\epsilon_q = \hbar \omega_0 + \frac{\hbar \omega}{e^{\frac{\hbar \omega}{kT}} - 1} \quad (4.13)$$

булиб, у (4.5) Эйнштейн ифодасидан биринчи ҳад билан фарқланади, уни тебрашишнинг нолинчи энергияси дейилади. (4.13) ифодани барча тармоқлар ва тақрорийликлар бўйича жамласак, бутун кристалл панжараси тебрашишлар тўла энергияси ҳосил бўлади:

$$E = E_0 + \sum_{i=1}^3 \sum_q \frac{\hbar \omega_{qi}}{e^{\frac{\hbar \omega_{qi}}{kT}} - 1} + \sum_{j=4}^{3s} \sum_q \frac{\hbar \omega_{qj}}{e^{\frac{\hbar \omega_{qj}}{kT}} - 1} \quad (4.14)$$

Биринчи ҳад тўла нолинчи энергия,  $\sum_{i=1}^3$  йигинди учта

акустик тармоқ бўйича,  $\sum_{j=4}^{3s}$  эса, 3s-3 та оптик тармоқ

бўйича олинади.

(4.14) ифодадаги йиғиндилярни қыйидаги мұлоқазалар ассоцида соддароқ йүл билан ҳисоблаш мүмкін. Акустик тармоқтар бўйича йиғиндини интеграл билан алмаштирса бўлади.

$$E_{ak} = \sum_{i=1}^3 \sum_q \frac{\frac{\hbar\omega_{qi}}{\hbar\omega_{qi}}}{e^{\frac{\hbar\omega_{qi}}{kT}} - 1} = \int_0^{\theta_{ak}} \frac{\frac{\hbar\omega}{\hbar\omega}}{e^{\frac{\hbar\omega}{kT}} - 1} g(\omega) d\omega = \frac{3V\hbar}{2\pi^2 v_0^3} \int_0^{\theta_{ak}} \frac{\frac{\omega^2}{\hbar\omega} d\omega}{e^{\frac{\hbar\omega}{kT}} - 1}. \quad (4.15)$$

Агар ўлчамсиз  $x=\hbar\omega/kT$  катталиқ киритсак,

$$E_{ak}=NkT \cdot 3D(\theta_{ak}/T) \quad (4.15')$$

бўлади, бунда

$$D(\theta_{ak}/T) = \left( \frac{T}{\theta_{ak}} \right)^3 \int_0^{\theta_{ak}/T} \frac{x^3 dx}{e^x - 1}. \quad (4.16)$$

Оптик тармоқларда  $\omega(q)$  тақорийликлар  $q$  нинг функцияси сифатида кам ўзгаради. Шунинг учун ҳар бир оптик тармоқка бир  $\omega(q_i)$  тақорийлик мос келади деб ҳисоблаймиз.

$$E_{on} = \sum_{j=4}^{3s} \sum_q \frac{\frac{\hbar\omega_{qj}}{\hbar\omega_{qj}/kT}}{e^{\frac{\hbar\omega_{qj}}{kT}} - 1} \approx N \sum_{j=4}^{3s} \frac{\frac{\hbar\omega_{qj}}{\hbar\omega_{qj}/kT}}{e^{\frac{\hbar\omega_{qj}}{kT}} - 1}. \quad (4.17)$$

Агар бу ҳолда ўлчамсиз  $\frac{\hbar\omega_{qj}}{kT} = \frac{\theta_j}{T}$  катталиклар киритсак,

$$E_{on} = NkT \sum_{j=4}^{3s} \frac{\frac{\theta_j}{T}}{\frac{\theta_j}{e^T - 1}} \quad (4.17')$$

Энди кристаллнинг тебранишлари тўла энергияси қыйидаги кўринишда бўлади:

$$E = E_0 + E_{ak} + E_{on} = E_0 + NkT \left\{ 3D \left( \frac{\theta_{ak}}{T} \right) + \sum_{j=4}^{3s} \frac{\frac{\theta_j}{T}}{e^{\frac{\theta_j}{T}} - 1} \right\} \quad (4.14')$$

Чегаравий ҳолларда кристалл панжарасининг иссиқлик сифими қандай бўлишлигини кўрайлик.

а) Юқори температуralар ( $T > \theta_{ak},, \theta_i$ ) соҳасида  $x \ll 1$  бўлганлиги туфайли (4.16) интегралда

$$e^{x-1} = 1 + x - 1 = x, \text{ шунинг учун } D\left(\frac{\theta_{akp}}{T}\right) \approx 1, \text{ оптик тармоқ}$$

бўйича йигинди

$$\sum_{j=4}^{3s} \frac{\theta_j/T}{e^{\theta_j/T} - 1} = \sum_{j=4}^{3s} \frac{\theta_j/T}{\theta_j/T} = 3s - 3$$

Шундай қилиб,

$$E = E_0 + 3NkT + (3s - 3)NkT = E_0 + 3sNkT$$

$$\text{Бундан } C_V = \left\{ \frac{\partial E}{\partial T} \right\} = 3sNk \quad \text{ва} \quad C_\mu = 3R \quad \text{бўлишлиги,}$$

яъни юқори температуralар соҳасида Дъюлонг-Пти қонуни тўғри эканлиги келиб чиқади. Бу ҳолда барча акустик ва оптик тармоқлардаги тебранишлар уйғотилган бўлади.

б) Энди паст температуralар ( $T < \theta_{ak},, T < \theta_i$ ) соҳасини кўрайлик. Бу ҳолда оптик тармоқларга тегишли ҳадлар ( $\theta_j/T$ )  $e^{-\theta_j/T}$  тартибида бўлиб, 1 га нисбатан анча кичикдир, бу йигиндиларни (4.14') да ташлаб юбориш мумкин, чунки бу ҳолда юқори такрорийликли оптик тебранишларни уйғотишида  $kT$  чамасидаги иссиқлик ҳаракати энергияси етарли эмас. Бинобарин, паст температуralар соҳасида оптик тебранишлар деярли уйғотилмаган бўлганлиги туфайли бу тармоқлар иссиқлик сифимига сезиларли хисса қуша олмайди. (4.16) интегралда юқори чегарани  $\infty$  деб олинса,

$$\int_0^\infty \frac{x^3 dx}{e^x - 1} = \frac{\pi^4}{15}$$

булади.

Демак, (4.14') ифода қўйидаги кўринишни олади:

$$E = E_0 + \frac{3\pi^4 NkT^4}{5\theta_{ak}^3} = E_0 + \frac{\pi^2 V (kT)^4}{10\hbar^3 v_0^3} \quad (4.14'')$$

Бу ифода асосида аниқланадиган иссиқлик сифими:

$$C_V = \left( \frac{\partial E}{\partial T} \right)_V = \frac{12\pi^4 k}{5} N \left( \frac{T}{\theta_{ak}} \right)^3 \quad (4.18)$$

Агар  $N=N_A$  (Авогадро сони), у ҳолда  $N_A k=R$  бўлади ва (4.18) молляр иссиқлик сифимини ифода лайди. (4.18) ифода паст температуralар соҳасида кристалл панжарасининг иссиқлик сифими  $T^3$  га мутаносиб равишда ўзгарилиб деб тасдиқлайди. Бу қонун тажрибада 20-25 K тартибидаги температуralарда яхши бажарилади. Дебайнинг назарияси эластик тугаш муҳит тақриби (континуал тақриб) қўлланадиган паст температурада уйгонган узун тўлқинлар ҳолида адолатли эканлиги тасдиқланади.

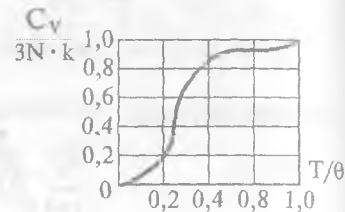
4.1- чизмадан кўринишича, иссиқлик сифимининг унинг Дьюлонг-Пти ифодасига нисбати паст температуralарда  $(T/\theta)^3$  га мутаносиб, юқори температуralарга I га интилади.

Яна шунга эътибор бериш керакки, классик(мумтоз) соҳа квант соҳадан  $T=\theta$  да эмас, балки пастроқ температурада ажралади. Албатта, Дебай назарияси бекаму-куст назария эмас,  $\sim T^3$  қонуннинг бажарилиш соҳаси батафсил таҳлил қилинган тадқиқотлар ҳам маълум.

### 4.3. Кристалл қаттиқ жисмнинг панжаравий иссиқлик ўтказувчанилиги

Қаттиқ жисмларда, газлар ва суюқликлардан фарқли равишида, иссиқлик фақат иссиқлик ўтказувчанилик орқали узатилиади.

Умуман айтганда, кристаллда иссиқлик энергияси фононлар, фотонлар, эркин электронлар (ёки эркин коваклар), электрон-ковак жуфтлари, экситонлар орқали узатилиши мумкин. Биз бу бандда фонон иссиқлик ўтказувчаниликни қараб чиқамиз. Уни баъзан панжаравий иссиқлик ўтказувчанилик ҳам дейилади.



4.2-чиизма. Қаттиқ жисмлар иссиқлик сифимининг Дебай температурасидан пастда ўзгариши.

Агар қаттиқ жисм намунаси учлари турли температураларда тутиб турилса, у ҳолда намунадан иссиқликнинг узлуксиз оқими вужудга келади: иссиқроқ учдаги кристалл панжара тугунлари каттароқ амплитуда билан тебранади, улар узлари бояланган қүшниларига таъсир қилиб, уларнинг тебраниш амплитудасини (бинобарин, энергиясини) орттиради, бу қүшнилар үз навбатида намунанинг совукрок учи томонга бу таъсирни (иссиқлик энергиясини) узатади.

Масалан,  $dT/dx$  температура градиенти мавжуд бўлган (стерженнинг) намунанинг  $ds$  кундаланг кесими орқали  $dt$  вақтда ўтган  $dQ$  иссиқлик оқимини молекуляр физика фанидан маълум

$$dQ = -\lambda \frac{dT}{dx} dS dt \quad (4.19)$$

ифода бўйича ҳисоблаш мумкин, бундаги  $\lambda$  - иссиқлик утказувчаник коэффициенти.

Биз олдинги бобда кристалл панжараси атомлари тебранишларини фононлар деб аталадиган квази зарралар орқали ифодалаш мумкинлигини кўрган эдик. Ана шунга кўра кристалларда иссиқлик энергиясини фононлар орқали узатилади деб айтиш мумкин.

Дебай назарияси бўйича, панжаранинг уйғонган ҳолатини кристалл ҳажмида эркин ҳаракатланувчи фононлар идеал гази кўринишида тасаввур қилинади. Фононлар гази температуруларнинг муайян оралигига идеал газ хоссаларига эга, шунинг учун қаттиқ жисмнинг панжараси (фононлар) иссиқлик утказувчаниги коэффициентини идеал газниридай кўринишида ифодаласа бўлади:

$$\lambda_\phi = \frac{1}{3} C \bar{l}_\phi v_m \quad (4.20)$$

бунда  $C$  — фононлар гази бирлик ҳажмининг иссиқлик сифими,

$\bar{l}_\phi$  — фононнинг эркин югуриш йули ўртача узунлиги,

$v_m$  — мазкур жисмда товуш тезлиги.

Фононларнинг эркин югуриш ўртача  $\bar{l}_\phi$  узунлигини ҳисоблаш анча қийин, аммо назариянинг сифатий таҳлили

Етарлича юқори температура ларда  $\bar{I}_\phi$  — нинг мутлоқ температурага тескари пропорционал эканлигини күрсатади.

Шунинг учун  $\lambda_\phi$  иссиқлик үтказувчанлик коэффиценти ҳам  $T > \theta$  бўлганда мутлақ температурага тескари пропорционал, яъни,  $\lambda_\phi \sim 1/T$ , чунки бу соҳада  $C'$  ва  $v_m$  катталиклар температурага боғлиқ эмас.

Етарлича тоза кристалларда мутлақ нолга яқин температура ларда  $\bar{I}_\phi$  — намунанинг ўлчамларига боғлиқ.

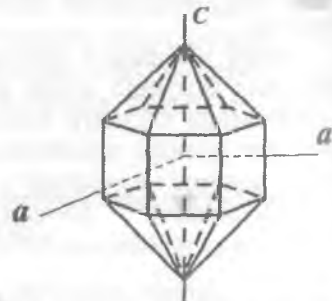
Бунинг сабаби шуки, паст температура ларда фононлар зичлиги [(3.78) ифодага қаранг] жуда кам, бинобарин, фононлараро тўқнашишлар эҳтимоли кичик, бу ҳолда фононлар намунанинг у чегарасидан бу чегарасига деярли тўқнашишсиз ҳаракат қиласди, демак, агар намуна ўлчами  $d$  бўлса,  $\bar{I}_\phi \sim d$  бўлади.

Бу ҳолда,

$$\lambda_\phi = \frac{1}{3} C' v_m d . \quad (4.21)$$

Энди (4.21) ифоданинг ўнг томонида фақат  $C'$  - гина температурага боғлиқ. Дебай қонунига кўра,  $C' \sim T^3$ , бинобарин,  $\lambda_\phi \sim T^3$  бўлиши керак. Бу холосани тажриба тасдиқлайди.

Албатта, кристалларда боғланиш кучлари анизотроплиги иссиқлик үтказувчанлик коэффицентини  $\lambda_\phi$  нинг анизотроп бўлишилигига олиб келади. Кварцнинг тузилишини кўрсагадиган 4.3- чизма ва унинг йўналишга боғлиқ (анизотроп) иссиқлик үтказувчанлигини намойиш қиласдиган жадвал келтирилган.



4.3-чизма. Кварцнинг тузилиш чизмаси.

#### 4.4 -жадвал

$\lambda_\phi \cdot 10^5$ кал.моль/град с	Температура, К			
	373	273	195	83
с уққа параллел йўналишда	7,7	11,7	16,8	42,1
с уққа тик йўналишда	4,8	6,2	8,7	21,1

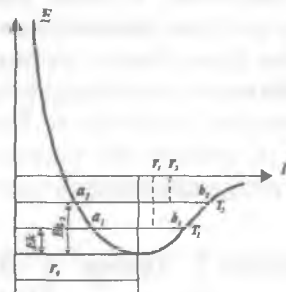
Жадвалдан кварц кристаллининг с ўқи бўйлаб иссиқлик ўтказувчанлиги, у ўқса тик йўналишдагисидан деярли икки марта катталиги кўриниб турибди. Бундан ташқари, Т температура камайган сайнин  $\lambda_{\phi}$  иссиқлик ўтказувчанлик ортиб бораётгани кўринади. Бу квант назариясини тасдиқлайдиган натижадир. [9,175-6] Биз кристалл панжараси тебранишлари (фононлар) билан боғлиқ иссиқлик ўтказувчанликка оид баъзи асосий қонуниятларни қараб чиқдик холос. Бошқа иссиқлик ўтказувчанлик механизмлари ҳақида ўз жойида яна тўхталамиз.

#### 4.4. Қаттиқ жисмларнинг иссиқликдан кенгайиши ва узайиши

Қаттиқ жисмларнинг иссиқликдан кенгайишини тушунтириш учун қаттиқ жисм зарраларнинг ўзаро таъсир энергиясининг улар орасидаги масофага боғлиқлиги чизмага (4.4-чизмага) мурожаат қиласиз. Агар зарралар мутлақ ҳаракатсиз бўлса, бу ҳолда уларнинг кинетик энергиялари нолга teng бўлар, улар орасидаги масофа  $r_0$  га teng бўлиб, потенциал чуқурнинг тубида жойлашган бўлардилар. Бу ҳол мутлақ нол температурада бўлиши мумкин эди.

Аммо, ҳақиқатда зарралар ўз мувозанати вазиятлари атрофларида тебраниб турадилар, яъни муайян кинетик энергияга эга бўладилар. Температура ортиши билан бу кинетик энергия ҳам ортиб боради. Т температурада зарра  $E$  кинетик энергияга эга бўлиб, чапга  $a_1$  нуқтага, ўнгга  $b_1$  нуқтага четлашади. Потенциал эгри чизиқнинг носимметриклиги туфайли тёбра наётган зарранинг ўртacha вазияти энди  $r_0$  га teng бўлмай, ўндан ўнгга силжиб  $r_1$  қийматга эришади.

Температурани  $T_2$  гача оширилса, зарранинг кинетик энергияси  $E_{k2}$  юқори қийматни олади. Бунда зарра чапга  $a_2$  нуқтагача, ўнгга  $b_2$  нуқтагача четлашади, ўртacha вазият эса  $r_2$  қийматга эришади. Шундай қилиб, температура ортиб боргага



4.4-чизма. Қаттиқ жисмларнинг иссиқликдан кенгайишини тушунтирадиган тасвир

нида кристалл панжараси тугунлари оралиғи ортади, яғни иссиқликдан кенгайиш ( $r_2 > r_1 > r_0$ ) юз беради.

Маълум  $l_t = l_0(1 + \alpha t)$  ифода (бунда  $t$  — Целсий даражасидаги температура,  $\alpha$  — ўртача узайиш коэффициенти,  $l_t$ ,  $l_0$  — температуранинг  $t$  ва 0 қийматлардаги стержен узуңликлари) поликристалл, яғни хоссалари деярли йұналишларга боғлиқ бүлмаган (изотроп) моддалар учун түфри булади. Монокристаллар эса анизотроплик хоссаларига әга, уларнинг чизиқиүй узайиши  $\alpha$  коэффициенти умуман айтганда тензор күринишидаги катталиkdir.

Агар монокристаллдан шар ясалса, кейин уни иситилса ёки совутылса, у ҳолда шар үз шаклини йүқотиб, энг умумий ҳолда уч ўқли эллипсоидга айланади, унинг ўқлари кристаллографик ўқлар билан боғлиқдир. Уч кристаллографик ўқ бўйлаб иссиқликдан кенгайиши бош коэффициентлари дейилади ва  $\alpha_1, \alpha_2, \alpha_3$  орқали белгиланади. Жадвалда баъзи кристаллар учун маълумот келтирилган.

#### 4.5 - жадвал

Кристалл	Система	T, К	$\alpha_1 \cdot 10^6$ град <sup>-1</sup>	$\alpha_2 \cdot 10^6$ град <sup>-1</sup>	$\alpha_3 \cdot 10^6$ град <sup>-1</sup>
Гипс	Моноклин	313	1,6	42	29
		60		- 2	55
Рух	Гексагонал	150		8	65
		300		13	64
Калцит	Тригонал	313		-5,6	25

Жадвалдан кўринадики, температура камайган сари  $\alpha_1, \alpha_2, \alpha_3$  лар ҳам камаяди, айрим температураларда баъзида манфий қийматлар олиши ҳам мумкин, бош коэффициентлар айрим кристалларда бир-биридан анча фарқ қиласади.

Кристалларнинг иссиқликдан кенгайиши (узайиши) унинг атомлари орасидаги ўзаро таъсир кучларнинг ангармоник қисми билан боғлиқ булади. Буни қуйидаги ҳисоб тасдиқлайди:

Фараз қиласайлик, икки атом (кристалл панжарасидаги қўшни атомлар)  $r_0$  мувозанатли вазиятидан унча катта бүлмаган  $r - r_0 = x$  четланишлар ҳолида бир-бири билан

$$F = -\frac{dU}{dx} = -\beta x + \gamma x^2 \quad (4.22)$$

күч билан ұзаро таъсирлашын. У ҳолда ұзаро таъсир потенциал әнергияси

$$U = - \int_0^x F dx = \frac{1}{2} \beta x^2 - \frac{1}{3} \gamma x^3, \quad (4.23)$$

бунда  $\beta$  — эластиклик (гармониклик) коэффициенти,  $\gamma x^3$  ни ангармоник ҳад дейилиб,  $\gamma$  — ангармониклик коэффициенти.

Больцман тақсимоти бүйіча атомнинг мувозанатли вазияттан  $x$  масофага четланиш әхтимоллiği

$$f(x) = A \exp \left( -\frac{U}{kT} \right) = Ae^{-\beta x^2 / kT} \left( 1 + \frac{\gamma x^3}{3kT} \right)^{-1}, \quad (4.24)$$

бунда  $\frac{\gamma x^3}{3kT} \ll 1$  деб ҳисоблаб, иккінчи күпаювчи

$$\exp \left( -\frac{\gamma x^3}{3kT} \right) \approx 1 + \frac{\gamma x^3}{3kT} \quad (4.25)$$

қаторға ёйилған.

А доимий нормалаш (меъёрлаш) шартидан топилади:

$$\int_{-\infty}^{+\infty} e^{-\beta x^2 / 2kT} \left( 1 + \frac{\gamma x^3}{3kT} \right) dx = 1, \quad (4.26)$$

Қатнашган иккінчи интеграл нолга teng бўлади, чунки унинг остидаги функция тоқ функциядир. Натижада

$$A = \left( \frac{\beta}{2\pi kT} \right)^{\frac{1}{2}} \quad (4.27)$$

Қийматни ҳосил қиласиз.

Атомнинг мувозанатий вазиятдан ўртача четланиши

$$\bar{x} = \int_{-\infty}^{+\infty} xf(x) dx = \frac{\gamma kT}{\beta^2}, \quad (4.28)$$

бунда, биринчи интеграл үз остидаги функция тоқ бўлганлиги туфайли нолга teng бўлади.

Иккінчи интеграл қиймати маълум Пуассон интегралига келтирилади.

Таърифга кўра, чизиқий иссиқликдан кенгайиш  $\alpha$  коэффициенти бирлик узунлик ва  $10^10$  С га ҳисобланган узайишdir:

$$\alpha = \frac{\bar{x}}{aT} = \frac{\gamma k}{a\beta^2}, \quad (4.29)$$

бундаги  $a=r_0$  — панжара доимийси. (4.29) дан иссиқлиқдан кенгайиш атомларининг ангармоник ҳаракатига боғлиқлиги яққол күриниб турибди.

Мисол тариқасида бир валентли ионлар кристаллини қарайлик. Бу ҳолда ионлар ўзаро таъсир кучини

$$F = -\frac{e^2}{r^2} + \frac{B}{r^{10}} \quad (4.30)$$

деб ҳисобласа бўлади, бу ифодада  $-e^2/r^2$  деформацияланмайдиган турли ишорали қўшни ионлар орасидаги Кулон қонуни бўйича тортишиш кучи,  $B/r^{10}$  — шу ионлар орасидаги итаришиш кучи, у масофа ўзгаришига қараб тез ўзгарамади. Мувозанатда  $F=0 = -\frac{e^2}{a^2} + \frac{B}{a^{10}}$ ,  $a$  — ионларнинг мувозанатли орасилиги. Бундан,  $B=e^2a^8$  эканлиги келиб чиқади.

Аммо,  $r=(a+x)$  бўлганлиги ва  $x$  нинг  $a$  га нисбатан кичкиналигини ҳисобга олсак,

$$F = -\frac{e^2}{(a+x)^2} + \frac{e^2a^8}{(a+x)^{10}} \approx -\frac{8e^2}{a^3}x + \frac{52e^2}{a^4}x^2, \quad (4.31)$$

(4.31) ва (4.22) ифодаларни таққосласак,

$$\beta = 8e^2/a^3, \quad \gamma = 52e^2/a^4. \quad (4.32)$$

Бу натижаларни (4.29) ифодага қўйсан, ионлар кристалл панжараси учун

$$\alpha = 52ak / 64e^2 \quad (4.33)$$

муносабатни ҳосил қиласиз.

$a=3*10^{-8}$  м,  $k=1,38*10^{-23}$ ,  $\text{ЖК}^{-1}$ ,  $e=1,6*10^{-19}$  Кл қийматларни (4.33) ифодага қўйсан,  $\alpha=1,5*10^{-5}$  град $^{-1}$  натижа келиб чиқади, бу — тартиб жиҳатдан тўғридир.

Бу бобнинг якунида шуни айтиш керакки, қаттиқ жисмларнинг иссиқлиқ сифими билан иссиқлиқдан кенгайиши орасида боғланиш бор:

Иссиқликтан көнгайыш коэффициенти  $\alpha$  нинг атомлар (моляр)  $C_v$  иссиқлик сифимига нисбати мазкур модда учун температурага боялиқ бўлмаган доимийликдир (Грюнейзен қонуни):

$$\alpha / C_V = \gamma_G k / 3V . \quad (4.34)$$

Ҳақиқатдан, бу икки ҳодиса температура ортганида атомлараро масофа ортишига бояланган.

### Масалалар ва саволлар

1. 2 ва 3 атомли қаттиқ жисмларнинг моляр иссиқлик сифимини классик (мумтоз) тақрибда аниқланг.
2. Эйнштейннинг қаттиқ жисмнинг иссиқлик сифими назариясининг асосий фаразлари қандай?
3. Дебай температураси қандай аниқланади? У нимани ифодалайди?
4. Шакрорийликли барча фононлар энергиясини ёзинг.
5.  $v$  (товуш тезлиги)= $5 \times 10^3$  м/с, элементар ячейка ҳажми  $V_0=2 \times 10^{-29}$  м<sup>3</sup> бўлганда Дебай температураси нимага teng?
6. Нима учун Дебай температурасидан пастда оптик тебранишлар иссиқлик сифимини аниқлашда эътиборга олинмайди?
7. Иссиқлик ўтказувчанликнинг қандай куринишлари бор? Қаттиқ жисмларда унинг қайси куриниши муҳим?
8. Агар фононларнинг эркин югуриш йўли хона температурасида NaCl кристалл панжараси  $a$  доимийсидан 4 марта катта бўлса, бу кристаллнинг иссиқлик ўтказувчанлигини ҳисобланг.
9. Агар кумушнинг иссиқлик ўтказувчанлик коэффициенти 418 Ват/м.град, унда товуш тезлиги 3700 м/с бўлса, T=300K да фононнинг эркин югуриш ўртacha узунлиги қанча?
10. 30 Кда олмоснинг солиштирма иссиқлик сигими аниқлансан.

## V БОБ

### ИДЕАЛ КРИСТАЛЛДА ЭЛЕКТРОНЛАРНИНГ ЭНЕРГИЯЛАРИ СПЕКТРИ

#### 5.1. Кристалл учун Шредингер тенгламаси. Адиабатик тақриб

Хар қандай қаттиқ жисм жуда күп атомлардан ташкил топған бұлади. Атомларнинг ядролари идеал кристаллда мунтазам панжара ташкил қиласы. Пі бобда күрганимиздек, атомлар кристалл панжарасы түгунларидаги үзининг мувозанатли вазиятлари атрофида тебраниб туради. Нейтрал кристаллда ядроларнинг мусбат заряди барча электронларнинг манфий зарядыга миқдоран тенг бұлади. Демак, кристалл қаттиқ жисм күп зарралы квант тизимдир. Унинг стационар ҳолатларини Шредингер тенгламасини ечиб топилади:

$$\hat{H} \Psi = W\Psi_1, \quad (5.1)$$

бундаги хамилтониан (тұла энергия операторы)

$$H = \frac{-\hbar^2}{2m} \sum_i \nabla_{\eta}^2 - \frac{\hbar^2}{2} \sum_j \frac{1}{M_j} \nabla_{R_j}^2 + V(R, r) \quad (5.2)$$

күринишда булып, унинг биринчи ҳади электронлар кинетик энергиялари операторлари йигиндиси, иккінчи ҳади ядролар кинетик энергиялари операторлари йигиндиси  $V(R, r)$  үзартысынан потенциал энергиясидан иборат. Потенциал энергияни қуидагича ёзиш мумкин:

$$V(R, r) = \sum_{j,k} \frac{z_j z_k e^2}{R_{jk}} + \sum_{i,k} \frac{e^2}{r_{ik}} - \sum_{i,j} \frac{z_j e^2}{r_{ij}}. \quad (5.3)$$

Ушбу ифодаларда  $m$  — электрон массаси,  $M_j$  эса  $j$  — ядроларнинг массаси,  $r_i$  ва  $R_j$  — мос равища,  $i$  — электроннинг ва  $j$  —

ядроларнинг радус векторлари,  $R_{jk}$  — ядролар орасидаги,  $r_{ik}$  — электронлар орасидаги,  $r_{ij}$  — электронлар билан ядролар орасидаги масофалар,  $z_j$ ,  $z_k$  — ядроларнинг атом номерлари. (5.3) ифодада  $R_{jk}$ ,  $r_{ik}$ ,  $r_{ij}$  масофалар ҳисобида индекслар тенг бўлмаслиги керак. (5.1) ифодада  $W$  — кристалнинг тўла хусусий энергияси,  $\Psi$  эса унинг тулқин функцияси бўлиб, у барча зарраларнинг координаталарига боғлиқдир:

$$\Psi = \Psi(r_1, r_2, \dots, R_1, R_2, \dots) \quad (5.4)$$

Аслида (5.1) Шредингер тенгламаси ечилса, кристал қаттиқ жисем хоссаларига тегишли барча саволларга қатъий жавоблар олиниши мумкин бўларди. Аммо, қаттиқ жисмнинг  $1 \text{ m}^3$  ҳажмида  $10^{28}$  дан ортиқ атом (зарраларнинг умумий сони ундан ҳам кўп) бўлади. Бу эса тўлқин функция ўшанча сон чамасидаги ўзгарувчиларга боғлиқ бўлади, демакдир. Бундай тенгламани ва унинг ечимини ҳатто ёзиб чиқиши амалда мумкин эмас. Шундай ёзув усули топилганда ҳам олинган ечим тажрибада кузатилган қонуниятларни тушунтириш учун яратмайди (газ барча молекулаларининг координаталари ва тезликларини билганда ҳам газ ҳолатини аниқлаб бўлмаслигини эслайлик).

Синчиклаб бажарилган тадқиқотлар натижасида Шредингер тенгламасининг умумий аниқ ечимини топишга урунишнинг зарурати йўқлигини, етарлича асосланган тақрибий ҳисоблаш қаттиқ жисмнинг барча муҳим хоссаларини тушунтириши мумкинлигини кўрсатди. Шредингер тенгламасини ечишнинг самарадор тақрибий усулини адиабатик бир электронли яқинлашиш (тақриб) деб номланган. У қаттиқ жисмларда электронларнинг энергиялари спектри назариясига асос бўлган.

**Адиабатик яқинлашиш (тақриб).** Атомлар ядролари массаси электрон массасидан кўп марта катта бўлганлиги учун кристаллдаги атомлар ядролари панжара тугунларида қўзгалмас туради деб ҳисобланса, (5.2) ҳамилтон операторида ядролар кинетик энергиясининг  $(-\hbar^2/2)\sum \frac{1}{M_j} \nabla_{R_j}^2$  операторини ташлаб юборилса, у

ҳолда қўзгалмас ядролар майдонида ҳаракатланаётган электронлар системасининг  $\phi(r, R)$  тўлқин функцияси қўйидаги Шредингер тенгламасига бўйсунади:

$$\left\{ -\frac{\hbar^2}{2m} \sum_i \nabla_{R_i}^2 + V(R, r) \right\} \phi = E\phi, \quad (5.5)$$

бунда  $E$  — электронлар системасининг хусусий энергияси. Энди ядролар ҳаракатини ҳисобга олиш мақсадида бутун кристаллининг түлқин функциясини

$$\Psi(r, R) = \Phi(R) \cdot \phi(r, R) \quad (5.6)$$

күринишда ифодалаймиз.  $\Phi(R)$  — ядролар тизими түлқин функцияси. Агар (5.6) ифодани (5.1) тенгламага қўйилса ва (5.5) эътиборга олинса,

$$\left[ -\frac{\hbar^2}{2} \sum_j \frac{\nabla_{R_j}^2}{M_j} + E(R) \right] \Phi = W\Phi \quad (5.7)$$

тенглама ҳосил бўлади. Бу тенглама ядролар тизимининг улар  $E(R)$  потенциал энергияли электронлар системаси майдонида ҳаракатлангани ҳолида стационар (вақтга боғлиқ бўлмаган) ҳолатларни аниқлаб берадиган Шредингер тенгламасидир. Шундай қилиб, электронлар ва ядролардан ташкил топган тизим ҳолатлари ҳақидаги аниқ квант механик масаласи иккита соддароқ масалаларга.

1). Электронларнинг қўзгалмас ядролар  $I(r, R)$  майдонида ҳаракати ҳақидаги (5.5) масалага;

2). Ядроларнинг электронлар ҳосил қилган  $E(R)$  ўртача майдонда ҳаракати ҳақидаги (5.7) масалага ажралади.

Юқорида баён қилинган тақрибий усулни **адиабатик яқинлашиш** дейилади.

## 5.2. Хартри-Фок усули. Бир электронли яқинлашиш

Адиабатик яқинлашиш (тақриб) кўп заррали квант система ҳолатлари ҳақидаги масалани бироз соддалаштириб, қўзгалмас ядролар майдонида электронлар ҳаракати масаласига келтиради. Бироқ, электронлар тизими учун ёзилган (5.5) тенгламани ҳам ечиш қийинлиги ва уни ечишга уринишнинг но-мақбулиги тўғрисида галирдик. Бу масалани ечишининг тақрибий йўлларини қидирилди. Ана шундай усулларнинг энг самаралиларидан бири Хартри-Фок усули бўлиб, у кўп элек-

тронди масаланы бир электронли масалага айлантиради. Хар-  
ти-Фок усули  $\hat{H}$  хамилтонианда электронларнинг ўзаро  
таъсир энергиясини ҳар бир электрон мустақил ҳаракатланадиган  
даврий бирор ташқи майдондаги  $U_{eff}(\vec{r})$  эффектив потенциал  
энергияси билан алмаштириш тоғисига асосланган.  $U_{eff}(\vec{r})$   
майдон барча бошқа электронларнинг мазкур бир электронга  
уртака таъсирини энг яхши равишда тавсифлайдиган қилиб  
танлаб олиниши керак. Тизимнинг хамилтониани энди факат  
бир электроннинг координаталарга боғлиқ ҳамилтонианлар  
йигиндисидан иборат бўлиб қолади:

$$\hat{H} = \sum_{i=1}^N \hat{H}_i \quad \text{Бунда } \hat{H}_i = -\frac{\hbar^2}{2m} \nabla_i^2 + V(\vec{r}_i) + U_{eff}(\vec{r}). \quad (5.8)$$

Бу ифодада  $V(\vec{r}_i)$  қўшилувчи  $i$  — электроннинг ядролар  
майдонидаги,  $U_{eff}(\vec{r})$  эса шу электрондан бошқа барча элек-  
тронлар майдонидаги потенциал энергиялар.

Энди электронлар тизимининг тўлқин функцияси.

$$\varphi(\vec{r}_1, \vec{r}_2, \dots, \vec{r}_n) = \varphi_1(\vec{r}_1)\varphi_2(\vec{r}_2), \dots, \varphi_n(\vec{r}_n) \text{ бўлади.}$$

Ихтиёрий  $i$  — электрон учун ёзилган Шредингер тенгламаси:

$$\hat{H}_i \varphi_i^{(i)} = E_i \varphi_i(\vec{r}_i). \quad (5.9)$$

$U_{eff}(\vec{r})$  ни энг яхши равишида танлаб олиш қандай?

Бу ишни қандайдир ўз-ӯзидан мослашган амаллар асосида  
бажариш мумкинлигини қўйида кўрамиз.

Олдин 2 та электрондан иборат тизимни қараб, натижаларни  
ихтиёрий  $N$  сондаги электронлар ҳолига умумлаштирамиз.

Икки электрон учун

$$\varphi(\vec{r}_1, \vec{r}_2) = \varphi_1(\vec{r}_1)\varphi_2(\vec{r}_2). \quad (5.10)$$

Электроннинг ҳолати учта  $x, y, z$  ( $\vec{r}$ ) координаталардан  
ташқари яна спиннинг проекцияси қиймати билан ҳам  
аниқланади. Паули қонунига асосан, икки электрондан иборат

тизимда агар электронлар үрнини алмаштирасақ, тұлқин функцияси үз ишорасини ұзгартыриши керак, яғни:

$$\Phi(1,2) = \frac{1}{\sqrt{2}} \{ \varphi_1(1)\varphi_2(2) - \varphi_1(2)\varphi_2(1) \} = \frac{1}{\sqrt{2}} \begin{vmatrix} \varphi_1(1) & \varphi_1(2) \\ \varphi_2(1) & \varphi_2(2) \end{vmatrix}, \quad (5.11)$$

бунда 1 ва 2 ҳолатлар белгиланади. ҳақиқатан,  $\Phi(2,1) = -\Phi(1,2)$ .  $N$  та электронли тизим учун:

$$\Phi(1,2,3,\dots,N) = \frac{1}{\sqrt{N!}} \begin{vmatrix} \varphi_1(1)\varphi_1(2)\dots\varphi_1(N) \\ \varphi_2(1)\varphi_2(2)\dots\varphi_2(N) \\ \dots \\ \varphi_N(1)\varphi_N(2)\dots\varphi_N(N) \end{vmatrix} \quad (5.12)$$

(5.8) ва (5.12)лардан фойдаланиб, тизимнинг  $E$  энергиясini ҳисоблаңыз.

$$E = \int \Phi * \hat{H} \Phi d\tau_1 d\tau_2 \dots d\tau_N \quad (5.13)$$

Мураккаб ҳисобларни көлтиремасдан Хартри-Фок усулининг келгуси амалларини сүз билан айтЫБ үтәмиз.

(5.8) ифодага киргап  $H_1$  ва  $e^2/r_{12}$  спинга боғлиқмас, шунинг учун спин бүйіча йигиши фазовий координаталаридан мүстәқил бажарылади. Бундан кейин  $U_{eff}(\vec{r})$  қуындагы күринишни қабул қылади:

$$U_{eff}(\vec{r}) = \sum_j \int \frac{e^2 |\varphi_{nj}(\vec{r}_2)|^2}{r_{12}} d\vec{r}_2 - \sum_i \frac{\varphi_{nj}(\vec{r}_1)}{\varphi_{ni}(r_1)} \int \frac{e^2 \varphi_{ni}(\vec{r}_2) \varphi_{nj}(\vec{r}_2)}{r_{12}} d\vec{r}_2. \quad (5.14)$$

Бу асосда

$$[\hat{H}_1 + U_{eff}(\vec{r})] \varphi_{ni}(\vec{r}_1) = E_{ni} \varphi_{ni}(\vec{r}_1). \quad (5.15)$$

Еки

$$\left[ -\frac{\hbar^2}{2m} \nabla_{r_1}^2 + V_{r_1} + U_{eff}(\vec{r}_1) \right] \varphi_{ni}(\vec{r}_1) = E_{ni} \varphi_{ni}(\vec{r}_1) \quad (5.16)$$

Бу тенгламаларни Хартри-Фок тенгламалари дейилади.

$U_{eff}(\vec{r})$  ни ҳисоблаб чиқиши учун  $\phi_{pi}$  функцияларни танлаб олиш зарур. Нолинчи яқынлашишда қандайдыр бир электронли  $\phi_{pi}$  функциялар олинади, сунг  $U_{eff}$  ҳисоблаб чиқылади, кейин  $U_{eff}$  ифодасидан  $\phi_{pi}$  функцияларни бириңчи тақрибда аниқланади, бу ишни кераклигича давом эттириш мүмкін. Масалан,  $\phi_{pi}$  функциялар сифатида, үрніга қарал, әркін электрон ёки атомда боғланған электрон түлқін функциялари олинishi мүмкін. Бу масалага биз кейинроқ тұхталамиз.

### 5.3. Даврий электрик майдонда ҳаракатланған электрон масаласи

Кристаллар симметрияси  $U_{eff}(\vec{r})$  потенциал майдоннинг ҳам кристалл даврийлигига эга булишлігінің тақозо қилади. Демек, электроннинг құзғалмас атомлар ядролари ва башқа электронлар майдонидаги потенциали, яғни

$$V(\vec{r}, R) + U_{eff}(\vec{r}) = V(\vec{r})$$

даврий бұлади ва кристаллдеги электрон шу даврий майдонда ҳаракатланади. Бундан кейин бу потенциални  $V(\vec{r})$  белгиси билан құллаймиз.

Энди электроннинг түлқін функциясини танлаймиз. У Блох функциясыдан иборат:

$$\varphi_{\vec{k}}(\vec{r}) = u_{\vec{k}}(\vec{r}) e^{i \vec{k} \cdot \vec{r}}, \quad (5.17)$$

бунда  $\vec{k}$  — электроннинг түлқін функцияси,  $u_{\vec{k}}(\vec{r})$  амплитуда эса даврий:

$$u_{\vec{k}}(\vec{r} + \vec{a}_n) = u_{\vec{k}}(\vec{r}). \quad (5.18)$$

Хақиқатан, агар Блох түлқін функцияларини (5.14) га қойилса,  $U_{eff}(\vec{r})$  нинг кристалл даврийлигига эга булишлігі келиб чиқади, яғни (5.17) ечим үз-үзиге мослашгандыр.

Түлқін вектор  $\vec{k}$  ни қойидаги күрнишда ёзилади ( $\vec{k}$  билан  $\lambda$  түлқін узунлиғи  $\vec{k} = (2\pi/\lambda) \vec{n}$  муносабатда боғланған):

$$\vec{k} = \frac{g_1}{G} \vec{b}_1 + \frac{g_2}{G} \vec{b}_2 + \frac{g_3}{G} \vec{b}_3 \quad (5.19)$$

бунда  $G$  — катта тоқ соң,  $\vec{b}_1, \vec{b}_2, \vec{b}_3$  — тескари панжара векторлари,  $g_1, g_2, g_3$  — бутун соңлар.  $\vec{k}$  вектор  $\mathbf{G}^3$  квазидискрет қиймат олади.

Бу ифодани ҳосил қишлиш учун кристаллнинг асосий соҳаси сифатида  $G\vec{a}_1, G\vec{a}_2, G\vec{a}_3$  қирралари бўлган параллелепипед ажратиб олинади, бу ҳолда  $G\vec{a}_i$  қадар силжиш тўлқин функция қийматини ўзгартирмайди (Борн-Карман даврийлик шарти). Агар (5.17) ифодада  $\vec{r}$  ўрнига  $\vec{r} + \vec{a}_n$  қўйилса,  $\varphi_{\vec{k}}$  ўз қийматини сақлайди. Ҳақиқатан,

$$\varphi_{\vec{k}}(\vec{r} + \vec{a}_n) = U_{\vec{k}}(\vec{r} + \vec{a}_n) e^{i\vec{k}\vec{r}} e^{i\vec{k}\vec{a}_n} = U_{\vec{k}}(\vec{r}) e^{i\vec{k}\vec{r}}$$

чунки  $\exp i\vec{k}\vec{a}_n = 1$ ,  $\vec{k}\vec{a}_n = 2\pi$  бутун соң.  $\vec{a}_n$  нинг энг кичик қийматлари  $\vec{a}_j$  бўлади ва  $\vec{k}\vec{a}_i = 2\pi$  келиб чиқади. Демак, тўлқин вектор шундай давр билан ўзгаради. Унинг физик жиҳатдан турли қийматлари

$$-\pi \leq \vec{k}\vec{a}_i \leq +\pi \quad (i=1,2,3) \quad (5.20)$$

оралиқда ётади. Бу соҳани биринчи Бриллюэн зонаси дейилали. Кристаллнинг тескари ва тўғри панжаралари векторлари кўпайтмаси  $\vec{a}_i \vec{b}_k$  агар  $i=k$  бўлганда  $2\pi$  га,  $i \neq k$  да нолга тенглигиги ни эътиборга олиб, (5.19) ни  $\vec{a}_i$  га кўпайтирасак,  $\vec{k}\vec{a}_i$  нинг қийматлари  $\vec{k}\vec{a}_i = \frac{2\pi g_i}{G}$  бўлади, уларни (5.20) га қўйилса,

$$-\frac{G}{2} \leq g_i \leq +\frac{G}{2} \quad (5.21)$$

кўринишдаги оралиқ биринчи (келтирилган) Бриллюэн зонасини ифодалайди.

Блох функциясини электрон учун ёзилган

$$-\frac{\hbar^2}{2m} \nabla^2 \varphi_{\vec{k}} + V(\vec{r}) \varphi_{\vec{k}} = E_{\vec{k}} \varphi_{\vec{k}} \quad (5.9)$$

Шредингер тенгламасига қойилса,

$$\frac{\hbar^2}{2m} \nabla^2 u_k + V(\vec{r}) u_k - \frac{i\hbar^2}{m} (\vec{k} \nabla u_k) = (E_k - \frac{\hbar^2 k^2}{2m}) u_k \quad (5.22)$$

тенглама ҳосил бўлади.  $k=0$  учун (5.22) тенглама  $\phi_k$  учун ёзилган (5.9) га ухшаш бўлади.

Турли қўринишдаги даврий майдонларда электрон харакатини тақиқлаш электроннинг энергиялари спектри рухсланган ва тақиқланган қийматлар оралиқларига (зоналарига) ажралишигини кўрсатади. Қуида бир неча ҳолларни куриб чиқамиз.

#### 5.4. Кучсиз ва кучли боғланган электронлар тақиблари

$E = E(\vec{k})$  боғланишни умумий ҳолда топиш муҳим масала бўлиб, аммо у шу кунгача ечишмаган. У ёки бу қаттиқ жисмларнинг турли физик хоссаларини ўрганишда бир неча тақибий усувлар кўлланади.

1. Булардан бири кучсиз боғланиш тақибининг нолинчи яқинлашиши сифатида эркин электрон ҳолати олинади, кристаллнинг даврий электрик майдони эса эркин электроннинг кинетик энергиясига нисбатан кичик бўлган потенциал энергия ҳосил қиласидаги кичик таъсир (галаён) деб ҳисобланади. Шредингер тенгламаси асосида кетма-кет бажариладиган биринчи, иккинчи, ... тақибий ҳисоблар оқибатида электронларнинг кристалл қаттиқ жисмдаги энергиялари спектри ифодасига келинади.

Даврий жадвалнинг 1-4 гурӯхларига мансуб металларни назарий ва тажрибавий текширганда уларда ўтказувчанлик электронлари ҳаракатини тавсифлаш учун деярли доимий потенциалдан фойдаланиш мумкинлигини кўрсатди.

Кичик галаён деб қараладиган  $V(\vec{r})$  кучсиз даврий потенциални Фурье қаторига ёймиз:

$$V(\vec{r}) = \sum_{g \neq 0} V_g \exp(i\vec{b}_g \cdot \vec{r}), \quad (5.23)$$

бунда  $\vec{b}_g$  тескари панжара вектори. Яна бунда  $V_0=0$  деб ҳисобладик, ўнг томон ҳақиқий бўлиши учун  $V_g = V_g^*$  шарт ба-

жарилиши керак. Блох функцияси ампилитудасини ҳам Фурье қаторига ёйлади:

$$u_k(\vec{r}) = \sum_h a_h \exp(i(\vec{b}_h \vec{r})). \quad (5.24)$$

(5.23) ва (5.24) ифодаларни (5.22) тенгламага құяды:

$$\begin{aligned} \sum_k \frac{\hbar^2}{2m} \vec{b}_h^2 a_h e^{i(\vec{b}_h \vec{r})} + \sum_{h \neq g} V_g a_h e^{i(\vec{b}_g + \vec{b}_h \cdot \vec{r})} + \sum_h \frac{\hbar^2}{2m} (\vec{b}_h \vec{k}) a_h e^{i(\vec{b}_h \vec{r})} = \\ = \sum_h \left( E_k - \frac{\hbar^2 k^2}{2m} \right) a_h e^{i(\vec{b}_h \vec{r})}. \end{aligned} \quad (5.25)$$

Икки карралы йиғиндида  $h$  ва  $g$  бүйічә йиғнашни  $h-g$  ва  $g$  йиғнашга алмаштирамиз, бу қолда құрсақтичли функцияда  $\vec{b}_g + \vec{b}_h$  ни  $\vec{b}_h$  га алмаштирилса, мазкур йиғинди:

$$\sum_h \sum_g V_g a_{h-g} \exp i(\vec{b}_h \vec{r})$$

қўринишга келади. Барча  $\vec{r}$  лар учун (5.25) тенглик айнан бажарилиши учун ҳамма  $\exp(i(\vec{b}_h \vec{r}))$  лар олдидағи коэффициентлар йиғиндиси нолга тенг бўлиши зарур.

Бу қолда (5.25) дан:

$$\left[ E_k - \frac{\hbar^2}{2m} (\vec{k} + \vec{b}_h)^2 \right] a_h - \sum_{g \neq 0} V_g a_{h-g} = 0. \quad (5.26)$$

$$(h_1, h_2, h_3 = \pm 1, \pm 2, \pm 3, \dots).$$

Эркин электрон учун  $V_g = 0$  ва шунинг учун

$$E_k = \frac{\hbar^2}{2m} (\vec{k} + \vec{b}_h)^2 = \frac{\hbar^2}{2m} k^2, \quad (5.27)$$

чунки,  $E(\vec{k} + \vec{b}_h) = E(\vec{k})$ .

Энди (5.26) ни күчсиз даврий майдон учун ечамиз. Бу ифодада  $a_0 = 1$  деб, йиғиндида битта  $g = h$  ли ҳадни қолдирамиз. У қолда

$$a_h = -\frac{2m}{\hbar^2} \frac{|V_g|}{b_h^2 + 2(\vec{b}_h \cdot \vec{k})}. \quad (5.28)$$

$a_{h \neq 0}$  коэффициентлар электроннинг түлқин функциясига биринчи тақрибдаги тузатмалар бўлади.

Эркин электроннинг  $E_k = \frac{\hbar^2 k^2}{2m}$  энергиясига қўшимча энергия

$$E'_k = -\frac{2m}{\hbar^2} \sum_{g=0} \frac{|V_g|^2}{b_g^2 + 2(\vec{b}_g \cdot \vec{k})} \quad (5.29)$$

бўлишлигини топиш қийин эмас, бунда (5.26) да  $h=0$  тегишли қўшилувчилар билан кифояланиш мумкин. Махражнинг

$$b_g^2 + 2(\vec{b}_g \cdot \vec{k}) \approx 0$$

бўлишлиги интерференцион шартни ифодалайди. Шу шартни қаноатлантирувчи  $\vec{k}$  лар учун

$$E_k = \frac{\hbar^2 k^2}{2m} \pm |V_g| \quad (5.30)$$

бўлади, яъни электрон энергияси  $2|V_g|$  га teng узилишга эга бўлади. Бир ўлчовли ҳол қаралганда рухсатланган зоналар орасидаги тақиқланган зоналар бор. Аммо, икки ўлчовли ва уч ўлчовли ҳолларда бундай бўлмаслиги ва икки зона бир-бирининг устига тушиши мумкин. Бу ҳодиса металларда муҳим ўрин тутади.

**Энди кучли боғланган электронлар тақрибини кўрайлик.** Электроннинг кинетик энергияси унинг  $I(r)$  потенциал энергиясидан анча катта бўлгандан кейингина электрон эркин ҳаракатининг фалалёни деб қараш мумкин. Бу ҳол кристаллни катта энергияли электронлар билан нурлантирилганда рўёбга чиқиши мумкин. Аммо кристаллдаги атомдаги электроннинг кинетик энергияси унинг потенциал энергияси тебранишлари тартибида бўлади, шунинг учун кристалл электронларига кучсиз боғланиш (квази эркин электрон) тақрибини қўллаш мумкин эмас. Агар электроннинг энергиялари спектрини ҳисоблашда нолинчи яқинлашиш сифатида электроннинг якка

атомдаги ҳолати олинса ва кристаллнинг даврий электрик майдони эса ғалаён деб қаралса, у ҳолда квази боғлиқ электрон назарияси яратилади. Ҳақиқатан, айрим атомлар бир-бирига яқинлашиб кристал панжарасини ҳосил қила бошлаганида улардаги электронларнинг дискрет (ажрим) энергиялари сатұллари парчаланыб, энергия зоналарига айланып боради. Содда кубик панжара учун Шредингер тенгламаси мазкур усулда ечилса, электроннинг хусусий энергиялари

$$E(k)=E_a+C+2A(\cos k_x a + \cos k_y a + \cos k_z a) \quad (5.31)$$

ифодага келади. Бунда  $E_a$  — якка атомдаги электрон энергиясы,  $C$  — үзаро таъсир доимийсі,  $A$  — құшни түгунлардаги атомлар электронларининг алмашынушы үзаро таъсириның қисобға олувчи күпайтувчи. Бу ифодадан қуйидеги хүлосалар келиб чиқади.

1) Кристалл панжараси ҳосил бұлғанида атомларнинг үзаро таъсири оқибатида якка атомдаги электроннинг  $E_a$  сатқы  $C$  катталақ қадар силжийди. Силжиш йұналиши  $C$  нинг ишорасыга боғлиқ.

2) Якка атомдаги электроннинг энергетик сатқы үрнігі кристалл панжарада электрон энергиялари зонаси мавжуд бұлади. Электроннинг  $E$  энергиясы  $k$  түлқін вектори  $k_x, k_y, k_z$  ташкил этувчиларига даврий боғлиқ бұлади.

3)  $\cos k_i a = \pm 1$  бұлғанда (5.31) ифоданинг катта ва кичик қийматлари қуйидегида бұлади:

$$E_{\max} = E_a + C + 6A, \quad (5.32)$$

$$E_{\min} = E_a + C - 6A. \quad (5.33)$$

Демек, содда кубик панжара учун электрон энергиялари зонаси көнглиги

$$E_{\max} - E_{\min} = 12A. \quad (5.34)$$

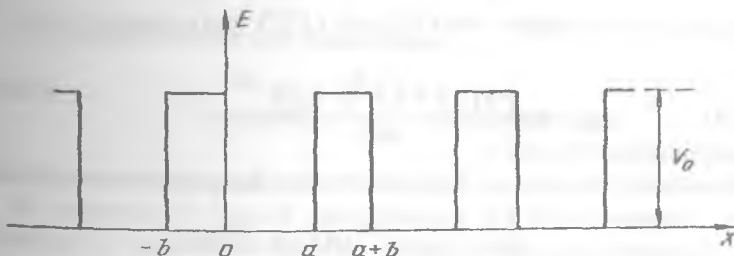
Кучли боғланған электрон тақриби, равшанки, атомларнинг чуқур энергетик сатұлларыда жойлашған электронлар учун үзини оқлади, чунки, бу электронлар панжарарнинг бошқа түгунларда атомлар билан үзаро суст таъсирлашади.

Албатта, күчсиз боғланған электронлар ҳамда кучли боғланған электронлар тақриблари кристаллнинг ўтказувчанлық

зонасидаги электронлар ҳолатини миқдоран тұғри тавсифлай олмайды, улар айрим кристаллардаги электронларнинг энергетик спектрини ва тұлқын функцияларини ҳисоб-китоб қилишга ярамайды. Бирок, мұхими шуки, бу тақриблар электронинг даврий майдонда ҳаракати тұғрисида яққол умумий холосалар үзілештес имконини беради.

### 5.5. Крониг-Пенни модели

Электрон даврий электрик майдонда ҳаракат қилғанда унинг электрик спектри қандай булишligини яққол күрсатадиган содда моделлардан бири Крониг-Пенни моделидир. У атомларнинг бир чизиқ бүйлаб даврий жойлашған ҳолига мөс булиб, бунда масаланы соддалаштириш мақсадида мазкур йұналишда электрон учун навбатлашувчи (даврий) тұғри бурчаклы потенциал тұғри чизиқлар мавжуд деб фараз қилинади. Түсиқнинг кенглигі  $a$ , атомнинг электрон учун ҳосил қылған потенциал чуқурлукнинг кенглигі  $b$  ва түсиқнинг баландлигі  $V_0$  булсан (5.1- чизма). Бу ҳолда кристал панжарасининг доимийсі  $c=a+b$  бўлади.



5.1-чизма. Крониг-Пенни модели.

Электроннинг бундай даврий майдондаги  $E$  энергиясі түсиқнинг баландлигидан кичик деб ҳисобланади. Шуни таъкидлаймизки, квант механикасынан, электрон бу потенциал түсиқлар устидан үтишга энергияси етарли бўлмасада, түсиқлар деворидан туннел үтиш (тирқиш) йўли билан үтиб кета олиши мумкин ва шу йўсинда бу бир ўлчовли кристал оуилаб ҳаракатлана олади.

Бу ҳолда электрон учун Шредингер тенгламаси қуйидаги куринишда бўлади:

$$+\frac{\hbar^2}{2m} \frac{d^2\psi}{dx^2} + (E - V)\psi = 0, \quad (5.35)$$

бундаги  $\Psi_{(x)}$  электроннинг түлқин функцияси.

(5.35) тенглама потенциал чуқур ва потенциал түсиқ соҳалари учун, мос равишда, қўйидаги кўринишда ёзилади:

$$\frac{d^2\psi_1}{dx^2} + k^2\psi_1 = 0, \quad (5.36)$$

$$\frac{d^2\psi_2}{dx^2} - k^2\psi_2 = 0, \quad (5.37)$$

булардаги

$$k^2 = \frac{8\pi^2 m}{h^2} E, \theta^2 = \frac{8\pi^2 m}{h^2} (V_o - E). \quad (5.38)$$

Потенциал чуқур соҳаси  $0 < x < a$  учун (5.36) тенгламанинг ечими

$$\psi_1(x) = Ae^{ikx} + Be^{-ikx}, \quad (5.39)$$

потенциал түсиқ соҳаси  $-b < x < 0$  учун (5.37) тенгламанинг ечими

$$\psi_2(x) = Ce^{\theta x} + De^{-\theta x} \quad (5.40)$$

кўринишларда бўлади.

Кристалл панжараси даврийлигидан Блох функцияси учун

$$\psi(x + c) = e^{ick}\psi(x) = e^{i\varphi}\psi(x) \quad (5.41)$$

муносабат ўринли, бунда  $\varphi = kc$ . Энди (5.40) ечимни (5.41) дан фойдаланиб,  $a < x < c$  түсиқ соҳа учун

$$\psi_2(x) = e^{i\varphi} [Ce^{\theta(x-c)} + De^{-\theta(x-c)}] \quad (5.40)$$

кўринишда ёза оламиз.

Олинган ечимлар соҳалар чегараларида узлуксиз бўлишилиги, яъни бу чегараларда  $\psi_1(x)$  ва  $\psi_2(x)$  түлқин функциялари ҳамда уларнинг ҳосилалари ўзаро тенг бўлишилиги керак.

$x=0$  чегарадаги  $\psi_1(0)=\psi_2(0)$  ва  $d\psi_1+dx|_{x=0}=d\psi_2=dx|_{x=0}$  шартлардан:

$$A+B=C+D, \quad (5.42)$$

$$ik(A-B)=\theta(C-D). \quad (5.43)$$

$x=a$  чегарадаги  $\psi_1(a)=\psi_2(a)$  ва  $d\psi_1/dx|_{x=a}=d\psi_2/dx|_{x=a}$  шартлардан:

$$Ae^{ika} + Be^{-ika} = e^{i\varphi}(Ce^{-\theta b} + De^{\theta b}), \quad (5.44)$$

$$ik(Ae^{ika} - Be^{-ika}) = \theta e^{i\varphi}(Ce^{-\theta b} - De^{\theta b}). \quad (5.45)$$

(5.41) - (5.44) тенгламалар системаси  $A, B, C, D$  доимийларни аниқлаш имконини беради. Бу система бир жиссли тенгламалар системаси бўлиб, унинг маъноли ечимга эга бўлиши учун ушбу тенгламалардаги  $A, B, C, D$  лар олдидағи кўпайтувчилардан тузилган аниқловчи (детерминант) нолга тенг бўлиши керак, яъни

$$\begin{vmatrix} 1 & 1 & -1 & -1 \\ ik & -ik & -\theta & \theta \\ e^{ika} & e^{-ika} & -e^{i\varphi-\theta b} & -e^{i\varphi+\theta b} \\ ike^{ika} & -ike^{-ika} & -\theta e^{i\varphi-\theta b} & \theta e^{i\varphi+\theta b} \end{vmatrix} = 0. \quad (5.46)$$

Бу аниқловчини очиб чиқилганда

$$\cos k a \sinh \theta b + \frac{\theta^2 - k^2}{2\theta k} \sin k a \sinh \theta b = \cos \varphi \quad (5.47)$$

тенглама келиб чиқади.

Бу ифодадаги  $k$  ва  $\theta$  катталиклар [(5.38)га қаранг] электроннинг  $E$  энергияси орқали ифодаланганлиги туфайли  $\varphi$  га турли қийматлар бериб,  $E(\varphi)$  функцияни, яъни электрон энергиялари спектрини аниқлаш мумкин. Аммо (5.47) тенгламани ечиш мураккаб, у тақрибий ҳисоблашни талаб қиласди. Лекин айрим чегаравий ҳолларда жуда яққол натижалар олиш мумкин. Бу ҳолда потенциал түсисиң кенглиги  $b$  ни нолга ( $b \rightarrow 0$ ) ва унинг баландлиги  $V_0$  ни чексизга ( $V_0 \rightarrow \infty$ ) интилтирамиз, аммо  $bV_0$  кўпайтма чекли доимий катталик бўлиб қолади деб ҳисоблаймиз, яъни

$$4\pi^2 m a b V_0 / h^2 = P = \text{const}. \quad (5.48)$$

Энди  $b \rightarrow 0$  ва  $V_0 \rightarrow \infty$  чегаравий ҳолда:

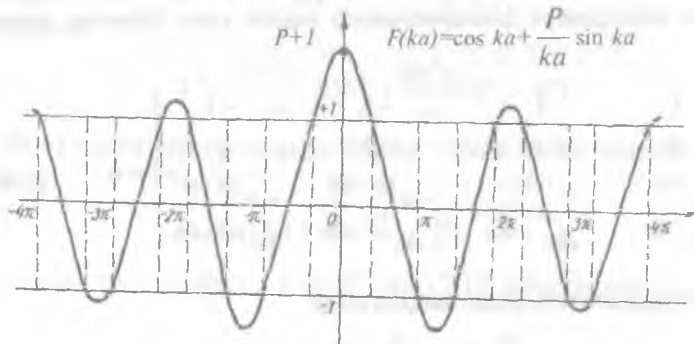
$$ch\theta b \rightarrow 1, sh\theta b \rightarrow 0;$$

$$\lim_{\substack{b \rightarrow 0 \\ V \rightarrow \infty}} \frac{\theta^2 - k^2}{2\theta k} sh\theta b = \lim_{\substack{b \rightarrow 0 \\ V \rightarrow \infty}} \frac{\theta^2 - k^2}{2\theta k} \theta b \frac{sh\theta b}{\theta b} = \lim_{\substack{b \rightarrow 0 \\ V \rightarrow \infty}} \frac{b\theta^2}{2k} = \frac{P}{ka}. \quad (5.49)$$

Бу ҳолда (5.47) тенглама содда күринишга келади:

$$\cos ka + \frac{P}{ka} \sin ka = \cos \varphi. \quad (5.50)$$

5.2- чизмада (5.50) тенглама ечими график усулда тасвирланған.



5.2-чизма. Шредингер тенгламасининг ечими.

Чизмадан күриниб турғанидек,  $\cos \varphi$  нинг қийматлари +1 дан -1 гача оралиқдаги қийматларнегина олиши туфайли, фақат шу оралиқда жойлашған соқалар (5.50) нинг ечимларини ўз ичига олади (чизиқланған соқалар) мазкур оралиқдан ташқаридаги соқаларда (5.50) нинг ечимлари бўлмайди.

Шундай қилиб, к нинг бинобарин Е нинг қийматлари мувайян оралиқда рухсатланған бўлиб, улар орасидаги соқалар тақиқланған бўлар экан. Демак, Крониг-Пенни модели бир ўлчовли (бир йўналиши) даврий потенциал майдонида ҳаракатланётган электроннинг энергиялари рухсатланған ва тақиқланған соқалар (оралиқлар, зоналар)дан иборат булишигини кўрсатади.

Баъзи чегаравий ҳолларда (5.50) қизиқарли натижалар беради.

1)  $P \rightarrow \infty$  яъни потенциал тўсиқ жуда баланд. Бу ҳол элекtronларнинг ўз атомлари билан боғланган ҳолига тўғри келади.  $k=0$  бўлгандা

$$\cos ka = 1, \sin ka / ka = 1, F(ka) = P + 1$$

бўлишилигини аниқлаш қийин эмас. Демак  $P \rightarrow \infty$   $F(ka)$  ҳолда функция к ўққа жуда тик тушади. Бунда элекtronларнинг рухсатланган энергия соҳалари (зоналари) тор (дискрет сатҳларига мос) бўлади, тақиқланган энергия оралиқлари эса кенг бўлади. Бу ҳол якка атом элекtronи ҳолатларига мос келади.

2)  $P \rightarrow 0$  ҳолда элекtronлар ўз атомлари билан кучиз бўғланган, потенциал тўсиқ паст бўлади, унда

$$\cos ka = \cos \varphi$$

ва ҳеч қандай тақиқланган соҳалар бўлмайди. Бу ҳол металлдаги эркин элекtronлар гази ҳолига яқин келади.

3)  $P \geq 1$  ҳолда  $P$  катта, аммо чекли қийматга эга, 5.2-чизмадан кўринишича к нинг ( $E$  энергиянинг) рухсатланган қийматлари  $ka = n\pi$  га чапдан ёндашади. Уларни

$$ka = n\pi + \delta \quad (5.51)$$

кўринишида ёзиш мумкин, бунда  $n$  — соҳа (зона) тартибини белгиловчи бутун сон,  $\delta$  — бирдан кичик сон.

Энди элекtronнинг рухсатланган  $n$  — соҳадаги  $E_n$  энергияси

$$E_n = A_n + (-1)^n B_n \cos \varphi \quad (5.52)$$

Кўринишида ифодаланади, бунда

$$A_n = \frac{\hbar^2 n^2}{8ma^2} \left(1 - \frac{2}{P}\right), \quad B_n = \frac{\hbar^2 n^2}{8ma^2} \frac{2}{P} \quad (5.53)$$

(5.52) ифодани келтириб чиқаришида  $|\delta| \ll 1$  деб ҳисоблаб,  $\cos ka \approx (-1)^n$ ,  $\sin ka \approx (-1)^n$  ларни топамиз. (5.50) дан  $\delta = \frac{n\pi}{P} \left[ (-1)^n \cos \varphi - 1 \right]$  муносабатни аниқлаймиз. Буни (5.51) ифодага кўйиб,  $ka = n\pi \left[ 1 + \frac{1}{P} (-1)^n \cos \varphi - \frac{1}{P} \right]$  тенгликни ҳосил

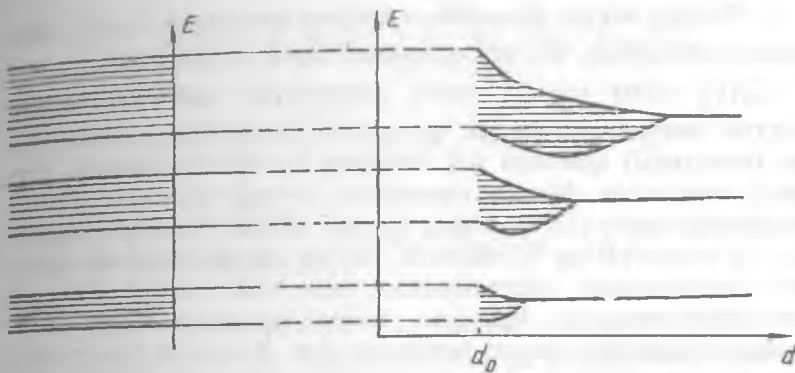
қиласыз. *ka* нинг бу қыйматини (5.8) ифодалардан биринчи-сига құйсак, (5.52) натижа келиб чиқади. (5.52) дан рухсатланган электрон энергиялари соҳасининг кенглиги  $P$  га муҳим даражада боғлиқ булишлiği күриниб турибди.

### 5.5. Идеал кристаллда электрон энергиялари спектри тұғрисида үмумий холосалар

Олдинги бандларда кучсиз, кучли болганиш ҳолларыда бир ўлчовли ҳолда стационар даврий электрик майдонларда (улар кристаллда атомларнинг даврий жойлашишидан вужудга келади) ҳаракатланаётган электрон учун Шредингер тенгламасини адиабатик бир электронли тақрибда ечиб күрдик. Улар мисолида кристалл қаттық жисемда электронларнинг энергетик спектри ҳақида муайян тасаввур ҳосил қылдик. Квант механикаси қонунлари асосида юритиладиган үмумий мулоҳазалар бу натижаларни тасдиқлады. Бу натижаларнинг энг муҳими электронлар энергетик спектрининг зонавий тузилишидир. Шунинг учун ҳам бу назария зоналар назарияси номини олган. Биз қуида унинг асосий холосаларини баён қиласыз:

Даврий электрик майдонда электроннинг энергиялари спектри рухсатланган ва тақиқланган энергия зоналарига аж-ралган бўлади. Бунинг асосий сабаби атомлар маълум масофа-ларгача бир-бирига яқинлашиб қаттық жисм ҳосил қылганларидан бир-бирлари билан кучли таъсиrlашиша киришадилар, бунда якка атомдаги электронларнинг энергия сатҳлари шундай парчаланадики, бунда Паулининг битта энергия сатҳи иккитадан (бир квант ҳолатида биттадан) ортиқ электрон булиши мумкин эмас дейдиган тақиқ қонунига риоя қылган ҳолда, атомдаги бир энергия сатҳи ўрнига (атомлар сонига тенг миқдордаги сатҳларни ўз ичига олган) энергия соҳаси (зонаси) вужудга келади. Рухсатланган зоналар оралиғидаги тақиқланган зоналар кенглиги турли кристалларда турлича, рухсатланган зоналар тузилиши баъзи кристалларда мураккаб, зоналарнинг устма-уст тушиши ҳодисаси ҳам юз беради. 5.3- чизмада атомдаги айрим сатҳлардан зоналар вужудга келиши тасвирланган.  $d_0$  – атомлараро масофа.

5.3 а- чизмада атомдаги 1,2,3 энергия сатҳларидан, атомлар яқинлашиб кристалл ҳосил қылганида, энергия зоналари вужудга келишини кўрамиз, бунда рухсатланган зоналарни бир-биридан тақиқланган зоналар ажратиб турибди, зоналар устма-уст тушмаган.



5.3-чизма. Атомдагы электрон энергиялари сатұларидан кристалдагы электрон энергиялари зоналары ҳосил булиши

5.3, б- чизмада 2,3 сатұлардан ҳосил бүлған зоналар бир бирини қысман қоплаган.

1. Зоналар тартиб номери ортган сари рухсатланған энергия зоналари кенгайиб тақиқланған зоналар торайиб боради.

2. Рухсатланған зона ичіда электроннинг энергиясы узилишсиз үзгәради деб ҳисоблаш мүмкін, чунки ҳар бир зона ичіда энергия сатұлары жуда зич жойлашған (зонадаги сатұлар сони кристалдагы атомлар сони тартибида). Бу ҳол зона ичіда электронлар ҳаракатига боғлиқ ҳодисаларни үрганишда мұмтоз қонунлардан фойдаланиш имконини беради.

3.  $\vec{k}$  ва  $\vec{k}' = \vec{k} + \vec{b}_g$  түлқин вектори тавсифлайдыған ҳолаттар бир бирига үхшашидир (бунда  $\vec{b}_g$  тескари панжара вектори). Бундан ихтиёрий  $n$  – зонадаги электроннинг энергиясы  $\vec{k}$  нинг даврий функцияси булишлігі келиб чиқади:

$$E_n(\vec{k} + \vec{b}_g) = E_n(\vec{k}). \quad (5.54)$$

4. Электрон энергиясы  $\vec{k}$  түлқин векторнинг жуфт функциясы булади:

$$E_n(\vec{k}) = E_n(-\vec{k}), \quad (5.55)$$

яғни  $E_n(\vec{k})$  энергиянинг ифодасы  $\vec{k}$  нинг фақат жуфт дарражалари киради.

5. Түлқин вектор фазосида электрон энергияси  $E_n(\vec{k})$  экстремал (энг кичик, энг катта) қийматларга эга бўлади.

$E_n(\vec{k})$  нинг мутлақ катта (максимум) қиймати мазкур энергия зонасининг юқори чегарасини (шипини), мутлақ кичик (минимум) қиймати эса зонанинг пастки чегарасини (тубини) аниқлади. Мутлақ максимум, мутлақ минимум деб тақидлашимизнинг боиси шуки, мазкур зонада бир неча максимум ва минимумлар бўлишлиги, айрим кристалларнинг энергия зоналаридаги экстремумлар бир неча карра айниган бўлишлиги мумкин. Масалан, галлий арсениди GaAs нинг юқориги зонасида иккита минимум бор. Кремний кристаллининг валент зонасида уч карра айниган максимум мавжуд.

6. Тўлқин вектор  $\vec{k}$  қийматларининг шундай соҳалари борки, бу соҳаларда электронлар энергияси узилишсиз ўзгаради (рухсатланган зоналар), аммо уларнинг чегарасида эса узилиш содир бўлади; бу соҳалар Бриллюэн зоналари дейилади. Биринчи Бриллюэн зонаси  $-\pi \leq \vec{k} \cdot \vec{a}_i \leq +\pi$  тенгсизликлар, иккинчи Бриллюэн зонаси  $-2\pi \leq \vec{k} \cdot \vec{a}_i \leq -\pi$  ва  $+\pi \leq \vec{k} \cdot \vec{a}_i \leq +2\pi$  тенгсизликлар билан ифодаланади. Барча юқори тартибли Бриллюэн зонасини геометрик кўчиришлар ёрдамида биринчи зонага келтириш мумкин. Шунинг учун уни келтирилган Бриллюэн зонаси дейилади. Бриллюэн зоналари шакли кристаллар тузилишини акс эттиради.

## 5.6. Электронларнинг кристалдаги эффектив массаси. Ковак. Электрон энергияси ва импульси

Электронларнинг кристаллдаги рухсатланган энергиялари зоналарида унинг  $E_n(\vec{k})$  энергияси  $\vec{k}$  нинг муайян қийматларида экстремумларга (максимум ва минимумларга) эга бўлишлиги тўғрисида юқорида айтилган эди.  $E_n(\vec{k})$  функцияни экстремумлари яқинида қаторга ёйиш мумкин. Бу айрим қаттиқ жисмлар учун аҳамиятга эга эканлигини кейинроқ кўрамиз. Масалан,  $n = 1$  зонада  $E_n(\vec{k})$  энергия  $\vec{k} = \vec{k}_0$  да экстремал қиймат олади дейлик. Шу  $\vec{k} = \vec{k}_0$  яқинида  $E_n(\vec{k})$  ни қаторга ёйилек:

$$\begin{aligned}\bar{E}_n(\vec{k}) = & \bar{E}_n(\vec{k}_0) + \sum_{\alpha} \left( \frac{\partial E_n}{\partial k_{\alpha}} \right)_{\vec{k}_0} (k_{\alpha} - k_{\alpha 0}) + \\ & + \frac{1}{2} \sum_{\alpha} \sum_{\beta} \left( \frac{\partial^2 E_n}{\partial k_{\alpha} \partial k_{\beta}} \right)_{\vec{k}_0} (k_{\alpha} - k_{\alpha 0})(k_{\beta} - k_{\beta 0}) + \quad (5.56) \\ & + \frac{1}{6} \sum_{\alpha} \sum_{\beta} \sum_{\gamma} \left( \frac{\partial^2 E_n}{\partial k_{\alpha} \partial k_{\beta} \partial k_{\gamma}} \right)_{\vec{k}_0} (k_{\alpha} - k_{\alpha 0})(k_{\beta} - k_{\beta 0})(k_{\gamma} - k_{\gamma 0}) + \dots,\end{aligned}$$

$k_{\alpha}, k_{\beta}, k_{\gamma}$  –  $k$  векторнинг,  $k_{\alpha 0}, k_{\beta 0}, k_{\gamma 0}$  –  $k_0$  векторнинг ташкилловчилари.  $E_n(\vec{k})$  энергия  $\vec{k} = \vec{k}_0$  да экстремал қиймат олгани учун биринчи  $(\partial E_n / \partial k_{\alpha})_{\vec{k}_0}$  ҳосилалар нолга тенг. Иккинчи тартибли ҳосилали ҳадлар 2-даражали тензорни ташкил қиласи. Юқори тартибли ҳосилалар кирган ҳадлар жуда кичиклиги туфайли ҳисобга олинмайди. Энди (5.56) ёйилма яхши такрибда

$$\bar{E}_n(\vec{k}) = \bar{E}_n(\vec{k}_0) + \frac{1}{2} \sum_{\alpha} \sum_{\beta} \left( \frac{\partial^2 E_n}{\partial k_{\alpha} \partial k_{\beta}} \right)_{\vec{k}_0} (k_{\alpha} - k_{\alpha 0})(k_{\beta} - k_{\beta 0}). \quad (5.57)$$

Агар тескари масса ўлчамлигига эга бўлган тескари эфектив масса тензори

$$\frac{1}{m_{\alpha\beta}} = \frac{1}{\hbar^2} \left( \frac{\partial^2 E_n}{\partial k_{\alpha} \partial k_{\beta}} \right)_{\vec{k}_0} \quad (5.58)$$

тушинчаси киритилса, (5.57) анча соддалашади:

$$E_n(\vec{k}) = E_n(\vec{k}_0) + \frac{\hbar^2}{2} \sum_{\alpha} \sum_{\beta} \frac{(k_{\alpha} - k_{\alpha 0})(k_{\beta} - k_{\beta 0})}{m_{\alpha\beta}} \quad (5.59)$$

Тензорни учта бош ўққа келтириш амали бу ифодани яна ҳам соддалаштиради:

$$E(\vec{k}) = E(\vec{k}_0) + \sum_{\alpha} \frac{\hbar^2 (k_{\alpha} - k_{\alpha 0})}{m_{\alpha}}. \quad (5.60)$$

Агар бу ифодани эркин электрон кинетик энергияси учун ёзилган  $E = \hbar^2 k^2 / 2m$  билан солиштирсак  $m_{\alpha}$  масса маъносига эга

Эканлигини пайқаймиз, аммо, умумий ҳолда, кристаллнинг ҳар бир бош ўқига ўзининг  $m_\alpha$  массаси түгри келади:

$$m_\alpha = \frac{1}{\hbar^2} \left( \frac{\partial^2 E}{\partial k_\alpha^2} \right)_{\vec{k}_0} \quad (5.61)$$

Энг содда ҳолда (изотроп кристаллда) учала массалар бирдей бўлади:

$$m_1 = m_2 = m_3 = m^* = \frac{1}{\hbar^2} \left( \frac{\partial^2 E}{\partial k^2} \right)_{\vec{k}_0}. \quad (5.62)$$

Бу ифодадаги  $m^*$  скаляр эффектив масса дейилади. Бу ҳолда электроннинг энергияси, квази импулси ва Ньютоннинг иккинчи қонуни кўриниши кўйидагича бўлади:

$$E_n(\vec{k}) = [\hbar^2 (\vec{k} - \vec{k}_0)^2 / 2m^*] + E_n(\vec{k}_0), \quad (5.63)$$

$$\vec{P} = \hbar(\vec{k} - \vec{k}_0) = m^* \vec{v}, \quad (5.64)$$

$$\vec{F} = m^* (d\vec{v} / dt) = d\vec{p} / dt. \quad (5.65)$$

Энергия зонасининг пастки чегарасида (мутлақ минимума)  $E_n(\vec{k})$  нинг иккинчи ҳосиласи мусбат, яъни  $m^* = \hbar^{-2} (\partial^2 E_n / \partial k^2)_{\vec{k}_0} > 0$ . Бу осон тушунарли натижадир. Зонанинг юқориги чегарасида эса  $(\partial^2 E_n / \partial k^2)_{\vec{k}_0} < 0$  яъни  $m^* < 0$ . Аммо бу ғалати натижани тушуниш қийин эмас. Электрон кристалл ичидаги кучли майдон таъсирида ташқи майдон таъсири йўналишига қарши йўналган тезланишига эга бўлади (бу зонанинг юқориги чегарасида содир бўлади). Агар зона шипида массаси  $m_p = -m^*$  ва заряди  $+e$  бўлган квази зарра (ковак) тушунчаси киритилса, мазкур ғалатилик бартараф бўлади. Бу квази зарранинг ковак деб аталишига сабаб у зонанинг ўша жойида электрондан бўш ҳолатни (ковакни) тавсифлашидир. Коваклар эркин электронлар билан биргаликда ярим ўтказгич кристалларда жуда муҳим ўрин тутади.

Таҳлилни соддалаштириш учун  $E_n(\vec{k}_0) = 0$  ва  $\vec{k}_0 = 0$  деб

фараз қилинади. Эффектив масса тушунчаси  $E_n(\vec{k})$  функцияни экстремумлари яқинида қаторга ёйишдан келиб

чиққанлиги ва бинобарин, бу тушунча фақат зоналар чегаралари яқинидагина қулланиши мүмкінлегини таъкидлаймиз.

Скаляр эффектив масса изотроп кристалларга хос, аммо анизотроп кристалл хоссалари тавсифланганда эффектив масса тензори тушунчасидан фойдаланиш керак.

### 5.7. Энергия зоналари. Металлар. Ярим үтгазичлар. Диэлектриклар

Биз юқорида квант физикаси заминида кристалл қаттиқ жисмларда электронларнинг энергия зоналари ҳосил булишигини күрдик. Энди энергия зоналарининг электронлар билан тұлдирилғанлығы масалалари билан танишамиз, чунки юқориги энергия зоналарининг (валент сатхларидан пайдо бўлган зоналарнинг) қай даражада тұлдирилғанлығы ёки тұлдирилмаганлығы кристаллнинг электрик хоссалари буйича қайси гурӯҳга — металларга (яхши үтгазичларга) ярим үтгазичларга ёки диэлектрикларга мансуб булишигини аниқлаб беради. Дарвоқе, қаттиқ жисм квант физикаси (1930 йиллар бошида) яратилғандан кейинги мазкур моддаларнинг күп хоссаларини ва улар орасидаги тафовутни пухта илмий асосда тушуниш мумкин бўлди.

Умуман, энергия зонаси электронлар билан тұла тұлдирилған, чала тұлдирилған ёки бутунлай тұлдирилмаган булиши мумкин.

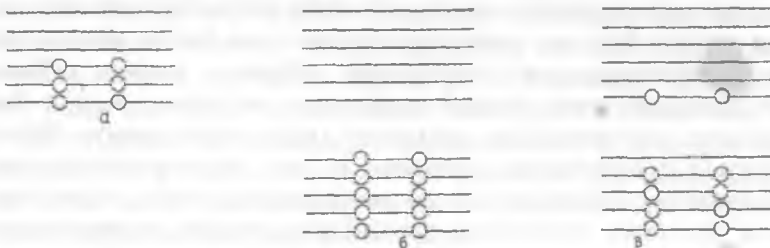
Агар энергия зонасини электронлар тұла тұлдирилған бўлса (богланған электронлар зонаси) бу ҳолда ундағы электронлар электр токда қатнаша олмайды. Сабаби шуки, бу зонанинг ҳар бир сатхада бир хил қийматлы тезликкә эга бўлган иккى электрон қарама-қарши йұналишда ҳаракат қиласади. Токда қатнаштириш учун бундай жуфтларни ажратиш уларни бир қисмини юқорига бўш сатхларга (агар улар мавжуд бўлса) кўтариш (энергиясини ошириш) ва энг муҳими электронлар йұналишини электр майдонга мос равищда буриш, яъни уларнинг йұналған (тартибли) ҳаракатини вужудга келтириш керак. Аммо тұла тұлдирилған зонада бўш сатхлар йўқ, электр майдон таъсир қилганида ҳам электронлар иккитадан ўз сатхларida қарама-қарши ҳаракат қилишда давом этади. Шунинг учун улар токда қатнаша олмайди.

Агар энергия зонаси чала тұлдирилган бұлса, уни үтказувчанлик зонаси дейилади. Бундай зона электронлари токда қатнаша олади. Улар үтказувчанлик электронлари ёки әркін электронлар дейилади. Мазкур зонанинг юқори қисміда бүш сатхлар бор, паст сатхларида жуфт-жуфт жойлашған электронлар электр майдон таъсирида тезлашиб юқориги бүш сатхларға күтарилади, тезликлари йұналишлари электр майдонға мос бурилади. Натижада зонадаги электронларнинг йұналған ҳаракати, янын электр үтказувчанлик вужуда келади (бунда занжир ёпік бұлишилгіни назарда тутилади).

Тұлдирилган зона юқорисида пастки зонадан тақиқланған зона билан ажратылған бүш зона булади. Агар қандайdir ташқи таъсир (температура, күчли электр майдон, ёруғлик таъсири) оқибатида бу зонага тұлдирилған зонадан электронлар үтса бу иккі зона ҳам чала тұлдирилған бўлиб қолади ва электр майдон ҳосил қилғанда токка үз ҳиссаларини құшади.

Иккі мұхим ҳолни күриб чиқайлик.

1. Чала тұлдирилған валент зона ҳоли. Натрий Na кристаллини олайлик. Натрий элементлар даврий жадвалида 11-үринде туралы, унинг атомида 11 та электрон бор. Уларнинг 10 таси, Паули қонуниңа асосан 2 тадан 5 та сатхни тұла эгаллаган, 11-электрон жойлашған валент сатх чала (яримиси) тұлдирилған. Натрий 1 валентлик элемент. Тұла тұлдириған 5 та ички сатхлардан натрий кристаллида ҳосил бўлған энергия зоналари ҳам тұла тұлдирилған, аммо валент сатхдан пайдо бўлған зонанинг ярми тұлдирилған бўлади (5.4- а чизма).



5.4-чизма. Энергия зоналарининг электронлар билан тұлдирилиш ҳоллари.

Ҳар қандай температурада тұла тұлдирилған зонадаги электронлар электр токини үтказышда қатнаша олмайды, аммо ярми тұлдирилған зонанинг (үтказувчанлик зонасининг) элект-

тронлари токда қатнаша олади, чунки уларни электр майдон тезлантириб юқориги бүш сатҳларга (тезлик йұналишини ҳам узгартырган ҳолда) ўтказиши мүмкін. Бу зонадаги электронларнинг тартибли ҳаракати вужудға кела олади. Натрий кристаллі металл булиб, токни яхши ўтказадиган моддадир. Демак, юқориги энергетик зонаси электронлар билан ярмиси (чала) тұлдирилған моддалар металл хоссаларига эга булади. Бундай зонадаги әркін электронлар сони кристаллни ташкил қылған атомлар сони тартибида (бир  $\text{см}^3$  да тақминан  $10^{22}$  та чамасида) булади. Металлар яхши ўтказгичлар.

Яна шуни айтиш зарур: атомда тұла тұлдирилған валент сатҳдан ва ундан юқориги бүш сатҳдан кристаллда пайдо буладиган иккі зона қысман бир бири устига тушганда ҳам (5.3, б- чизмани қ.) ушбу зоналарнинг юқориги қысміда бүш сатҳлар оралиғи мавжұд булади. Бу ҳолда ҳам электр майдон таъсирида электронларни тезлаштириб, юқорига бүш сатҳларға ўтказиш уларни токда қатнаштириш мүмкін. Бундай моддалар ҳам металлар булади.

2. Тұла тұлдирилған валент зона ҳоли. Кремний кристалини олайлик. Кремний Si элементлар даврий жадвалида 14-үринде туради. Бинобарин, унинг якка атомида 14 та электрон булиб, 10 таси мустаҳкам ички қобиқда 5 та сатҳни тұлдирилған, қолған 4 таси 2 та валент сатҳни тұла тұлдирилған. Кремний әнд қатта валентлиги 4 га тенг бұлған элемент, чунки унинг шу 4 та электрони кимёвий бирикішларда қатнашиши мүмкін.

Валент сатҳлардан кремний кристаллда пайдо бүлған валент зоналар мұтлақ нол температурада тұлдирилған булади (5.4, б-чизма). Демак,  $T=0\text{ K}$  да бу зоналардаги электронлар электр токини ўтказышда қатнаша олмайды, яғни кремний бу ҳолда үзини диэлектрик (изолятор) каби тутади. Валент зонадан юқоридаги зона (у валент сатҳдан юқориги үйғониш сатҳидан пайдо бүләди) бүм-бүш булади. Бу зона ўтказувчанлық зонаси дейилади. Бу номнинг келиб чиқишини ҳозир билиб оламиз. Биз бундан кейин иккі валент зонасидан фақат битта юқоригиси билан иш қыламиз, чунки пастки валент зона аксарий ҳолда кремнийда содир буладиган ҳодисаларда ҳеч қандай ҳиссага эга әмас.

Температура мұтлақ нолдан ( $OK$  дан) юқори бүлғанды зоналар тұлдирилғанлығы қанақа булади?

Бу ҳолда ( $T > OK$ ) валент зона электронларидан бир қисми, иссиқлик ҳаракати энергияси ҳисобига тақиқланган зона кенглиги деб аталған  $E_g$  энергетик түсікни енгіб, юқориги зонага яғни үтказувчанлық зонасига утиб олған бұлади (5.4, в-чизма). Бу ҳодисани яққол тасаввур қилиш учун уни суюқлик молекулаларини бүг молекулаларига айланишига үхшатиши мүмкін. Энди валент зона ҳам, үтказувчанлық зонаси ҳам чала тұлдирілған зоналар бұлади. Улардаги электронлар электрик майдон таъсирида банд бұлмаган юқориги сатұларға үтиши (энергияны ва тезлик йұналишини узгартыриши) яғни ток үтказишда қатнашиши мүмкін. Қисман тұлдирілған үтказувчанлық зонасидаги электронлар олдин айттылғаныдек, әркін электронлар ёки үтказувчанлық электронлари дейилади. Улар мувозанат ҳолатыда зонанинг тубида жойлашади.

*Валент зонадаги коваклар.* Үтказувчанлық зонасига утиб кетған электронлар валент зонанинг юқориги чегараси яқинидаги сатұларини бүш қолдирағы. Албатта, электр майдон таъсирида пастроқ сатұлардаги электронлар бу бүш сатұларға үтиб олиши мүмкін. 5.6-бандда күрганимиздек зонанинг юқориги чегараси яқинида электроннинг ташқи ва ички электр майдон таъсиридаги ҳаракатини  $m_p^* > 0$  массали ва +е зарядли квази зарра – ковакнинг ҳаракати орқали тавсифлаш мүмкін. Хұллас, валент зонанинг юқориги чегараси яқинида электрон бушатиб кетған ҳолатни ковак банд қылған деб ҳисобланади. Электрон зарядига тескари зарядли ковак электрик майдон таъсирида электронлар ҳаракати йұналишига қарама қарши йұналишда ҳаракатланади, токда қатнаша олади. Коваклар энергияси юқоридан пастта томон ошиб боради!

Демак,  $T > O_K$  да кремний кристалли электр үтказувчанликка эга бұлади, уни үтказувчанлық зонасидаги әркін электронлар, валент зонадиги коваклар амалға оширади. Әркін электронлар ва ҳаракатчан коваклар миқдори (үтказувчанлық ҳам) тақиқланған зонанинг  $E_g$  кенглиги (энергетик түсік баланддигига) бөглиқ бұлади. Ҳар хил кристаллар учун  $E_g$  нин гүймати турлича бұлади. Шартли равишида ярим үтказгичларда  $E_g \leq 2$  эВ, диэлектрикларда  $E_g > 2$  эВ бұлади.

Бироқ, ярим үтказгичларда токда қатнаша оладиган заряд ташувчилар зичлиги металлдагидан анча кам, мос равишида электрик үтказувчанлық анча кічине бұлади.  $E_g$  си катта

бұлған диэлектриклар үтказувчанлиги, заряд ташувчилар жуда ҳам кам (баъзан, ҳисобға олмаслик даражада) бұлғанлиги туфайли, жуда ҳам кичкина бўлади, куп ҳолларда уни йўқ деб ҳисобланади.

Температура ошиб борганида металларнинг үтказувчанлиги камаяди (қаршилиги ортади), чунки металлардаги эркин электронлар зичлиги катта ва температурага боғлиқ эмас, лекин температура ошган сари электронлар ҳаракатчанлиги камаяди.

Ярим үтказгичларда температура ошганида электр үтказувчанлик тез ортиб боради, чунки валент зонадан электронларнинг үтказувчанлик зонасига ўтишлари тез қўпаяди, бинобарин, токда қатнашувчи эркин электронлар ва ҳаракатчан коваклар зичлиги тез ортади, ҳаракатчанликлари эса нисбатан суст ўзгаради. Ярим үтказгичлар, металлардан кўра, температурадан ташқари яна ёритишга, деформацияларга, турли нурланишларга нисбатан жуда сезгир моддалардир.

Яна бир муҳим фикрни айтиб ўтиш зарур. Ярим үтказгичларда энергия зоналаридаги сатҳларга нисбатан эркин заряд ташувчилар зичлиги анча (баъзан миллионларча) кам, шунинг учун улар зоналар чегараларидаги кичик оралиқдаги сатҳларда жойлашган булади: утакзувчанлик зонасидаги электронлар зонанинг туби ( $E_n(k)$  энергия минимуми) яқинида, валент зонадаги коваклар эса зонанинг шиши ( $E_n(\bar{k})$  энергия максимуми) яқинида жойлашган булади. Демак, 5.6-бандда  $E_n(\bar{k})$  энергиянинг экстремумлар яқинидаги ёйилмасидан келтириб чиқарилган эффектив масса тушунчаси мазкур электронлар ва ковакларга жуда катта аниқликда қўлланиши мумкин.

Металлар, ярим үтказгичлар, диэлектрикларга бағишлиланган бобларда зоналар назариясининг маҳсус тушунчаларига тұхталинади.

Шундай қилиб, қаттиқ жисимлар квант физикаси энергия зоналари назарияси заминида металл, ярим үтказгич ва диэлектрик моддаларнинг электрик ва бошқа хоссаларини равшан тушинтириб беради.

## Саволлар ва масалалар

1. Кристалл қаттық жисм учун Шредингер тенгламаси қандай ёзилади?
2. Адиабатик тақриб нимадан иборат?
3. Бир электронли тақрибнинг мазмуни қандай?
4. Крониг-Пенни модели нима ва у қандай хуносага олиб келади?
5. Блох функциясини тавсифланг.
6. Кремний кристаллида  $m_1=1,55 m_o$ ,  $m_2=m_3=0,082m_o$  (бунда  $m_o$  — эркин электрон массаси).

$$\frac{3}{m'} = \left( \frac{1}{m_1} + \frac{1}{m_2} + \frac{1}{m_3} \right) \text{ ифодадан } m' \text{ массани топинг.}$$

## VI БОБ

### ХАҚИҚИЙ КРИСТАЛЛ ҚАТТИҚ ЖИСМЛАРДАГИ НУҚСОНЛАР

#### 6.1. Кристаллардаги нұқсонлар ҳақида умумий мұлоҳазалар

Олдинги бобларда қаттиқ кристалл жисмни мутлақ тартиб-ланған, яғни атомларнинг қатъий даврий жойлашишида ҳеч қандай бузилиш бұлмаган жисм деб қаралды. Фақат атомлар тебраниши бундан истисно әди.

Лекин, ҳақиқиي кристалларда ҳамма вақт кристалл панжарасининг анча миқдордаги бузилиши (нуқсонлари) мавжуд бұлади. Даставвал макро ва микро нұқсонларни фарқлаш лозим. Макронуқсонлар микроскопда осон қуринаади. Бундай макронуқсонларнинг мисоллари — металл құймалардаги көваклар, дарзлар, ёт моддалар киришмалари уюмлари, поликристаллнинг доначалари — айрим кристаллчаларнинг күрінма чегараларидир. Электронлар микроскопиясининг пайдо бўлиши санаб ўтилган нұқсонларни анча кичик үлчамили бўлганда ҳам кузатиш имконини берди.

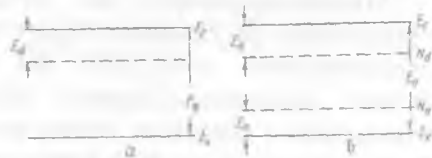
Макронуқсонларга ёки атомлар үлчамида қараладиган нұқсонларга уч үлчамдан ( $x, y, z$ ) ҳеч бұлмаганда бири кристал панжарасининг  $a = 0,2 \div 0,5$  нм даври билан таққосланувчи бўлган нұқсонлар мансуб бўлади. Айрим қуринишдаги нұқсонларни қарашдан олдин ҳақиқиий кристаллни нұқсонсиз (идеал) кристаллдан фарқловчы умумий белгиларни топайлик.

Идеал кристаллда атомлар қатъий даврий жойлашгандығы оқибатида кристалл ичиде даврий электрик майдон шаклланған бўлади. Кристаллнинг даврий ички электр майдонининг ҳар қандай бузилиши нұқсон бўлади. Нұқсонлар мисоли тариқасида ёт атом — киришманинг кристалл атоми ўрнига жойлашиб олиши ва кристалл атомининг жойидан кетиши — вакансия (бўш жой) ҳосил бўлишини келтириш мүмкін.

Агар кристаллдаги нүқсонлар оз бўлса, бу ҳолда улар бир-биридан анча йироқда жойлашган, яъни кристалл панжараси нүқсонлари маҳаллийлашган бўлади. Бунда кристалл ичидағи электр майдон фақат нүқсон атрофидагина бузилади, бошқача айтганда, кристалнинг даврий  $V_0$  потенциалига нүқсон яқинида  $V'$  қўшимча потенциал қўшилади, тўла потенциал  $V = V_0 + V'$  бўлади. Шунинг учун ҳам фақат шу соҳада бўлган электронларнинг энергетик ҳолатлари ўзгаради, бу эса идеал қаттиқ жисм электронлари энергия зоналарига қўшимча маҳаллий энергетик ҳолатларнинг пайдо бўлишига олиб келади. Бундай маҳаллий ҳолатлар сони  $N$  нүқсонлар сонига тенг, ёки агар бир нүқсон бир неча ҳолатда бўла олса, маҳаллий ҳолатлар сони нүқсонлар сонидан катта бўлади.

Маҳаллий энергетик сатҳлар (ҳолатлар)да электронлар боғланган, бу боғланиш турли қаттиқ жисмларда моҳиятнан турличадир. Металларда нүқсонлар пайдо қиласан сатҳлар рухсат қилинган энергиялар зонаси ичидаги жойлашади. Металларда электронлардан бўш нүқсонларнинг ионланган ҳолатда бўлишилиги энг эҳтимоллигидир.

Ярим ўтказгичлар ва дизэлектриклар электронлари тақиқланган энергиялари зонаси бўлган энергетик спектрга эгадир. Албатта, бундай кристалларда маҳаллий энергетик ҳолатлар рухсатланган зоналарга тушиши мумкин. Агар улар ўтказувчанлик зонасида жойлашса, уларни резонанс сатҳлар, агар улар валент зонасида жойлашса, уларни анти резонанс сатҳлар дейилади. Бу ҳолларда нүқсонларга тегишли электронлар улар билан боғланишини йўқотади ва умумлашган зона электронлари жамоасига қушилади. Лекин, аксарий кўп ҳолларда нүқсонлар сатҳларида жойлашган электронлар нүқсонларга боғлиқлигича қолиши мумкин, уларни фақат иссиқлик ҳаракати ёки бошқа энергия манбай ҳисобига ўз нүқсонларидан ажратиб юбориш — активлантириш мумкин. Нүқсонларга боғлиқ электронлар электр ўтказувчанликда қатнаша олмайди, албатта. Бундай нүқсонларнинг электронлар учун сатҳлари ярим ўтказгичнинг (дизэлектрикнинг) тақиқланган зонасида жой-



6.1-чизма. Тақиқланган зонадаги маҳаллий сатҳлар

лашған булади. Бу 6.1- чизмада курсатилған. Қайси бир манбадан олинған энергия әвазига нұқсонлар ионланади? Бир ҳиллари үтказувчанлик зонасига электронлар беріб, үzlари мусбат зарядли нұқсонларға (6.1, а- чизма), бошқа ҳиллари, аксинча, электронларни тутиб олиб, манфий зарядли нұқсонларға (6.1 , б- чизма) айланади.

Үтказувчанлик зонасига электронлар бера оладиган нұқсонларни донорлар дейилади, таркибида донорлар бұлған ярим үтказгичларни эса электрон үтказувчанликли яримүтказгичлар ёки  $n$  – тур ярим үтказгичлар дейилади. Мөсравища ярим үтказгичларнинг үтказувчанлик зонасидаги электронлар күчиши билан боғлиқ электр үтказувчанлиknи электрон әлектр үтказувчанлик ёки  $n$  – тур ярим үтказувчанлик дейилади.

Агар кристаллни қыздирғанда электронлар валент зонадан нұқсонлар сатхларига үта олса, бу ҳолда валент зонада ҳаракаттан мусбат зарядли коваклар пайдо булади, ковак әлектр үтказувчанлик вужудға келади. Электронларни үзиге қабул қыладиган нұқсонларни акцепторлар деб аталған, таркибида акцепторлар бұлған ярим үтказгични эса ёки ковак үтказувчанликли ярим үтказгич ёки  $p$  – тур ярим үтказгич дейилади.

6.1- чизмада донорлар сатхлари үтказувчанлик зонаси туби яқинида, акцепторлар сатхлари эса – валент зона шипи яқинида тасвирланған. Хусусий ионланишга нисбатан нұқсонлар ионланиши анча осон, кичикроқ температураларда юз беради. Сатхларнинг донор ёки акцептор бўлишилиги мазкур сатхларни ҳосил қилувчи нұқсонларнинг табиатига боғлиқ.

Донорлар электронларни фақат үтказувчанлик зонасига эмас, балки акцептор табиатли ҳар қандай нұқсонга бера олади. Акцепторлар электронларни валент зонадан қабул қилиш билан бир вақтда кристаллдаги ҳар қандай донордан ҳам олиши мумкин.

Ниҳоят, амфотерлик хоссалари намоён бұладиган, яъни донор ҳам, акцептор ҳам бұла оладиган табиатли нұқсонлар мавжуд. Нұқсонларни синфларга ажратиш кристалл майдонининг нұқсон томонидан бузилиши ўлчамларига асосланған:

А) нұқтавий (нол ўлчовли) нұқсонлар, уларға ўлчамлар  $x/a, y/a, z/a$  бўлған нұқсонлар мансуб, бунда  $a$  – кристалл панжараси доимијиси;

Б) чизигий (бир улчовли) нүқсонлар, икки йұналишда уларнинг улчамлари кичик ( $< a$ ) ва учинчи йұналишда улчами ҳар қанча бўлиши ( $> a$ ) мумкин;

В) ясси (икки улчовли) нүқсонлар, уларнинг бир йұналишда улчами кичик, холос.

Г) ҳажмий (уч улчовли) нүқсонлар, уларнинг баъзилари макро нүқсонларга тааллуқли бўлади.

Бу улчамлар буйича синфлашга бир неча бир хил ёки ҳар хил содда нүқсонларнинг бирлашмасидан иборат мураккаб нүқсонларни ҳам киритиш мумкин.

У ёки бу нүқсон пайдо булишида үринли буладиган тартибисизланиш авзойига қараб ҳам нүқсонларни бошқача синфларга ажратилади. Аввало улар хусусий тартибисизланиш нүқсонлари бўлиб, уларнинг энг муҳим мисоллари электрон ва атомга оид нүқсонлардир. Улар қаттиқ жисмлардаги диффузия, эритмалар парчаланиши ва бошқа ҳодисалар иштирокчиларидир.

Бу синфга ҳаракат нүқсонлари, йұналғанлик нүқсонлари, экспонторлар, электрон — ковак жуфтлар, фононлар ва поляронлар мансубдир.

Киришма атомлар мавжуд булишига боғлиқ булган тартибисизланиш нүқсонлари бошқа синфни ташкил қиласди.

## 6.2. Нуқтавий нүқсонлар

Нуқтавий нүқсонларнинг қаттиқ жисмда ҳамма вақт мавжуд буладиганлари атомлардан бўшаб қолган тугунлар — вакансиялар ва тугунлар оралигига жойлашиб олган атомлардир.

Вакансияларнинг мувозанат шароитида ҳосил булиши кристалл атомларининг иссиқлик тебранишлари билан бөглиқ. Мұстадил температураларда атомлар тебранишларининг ўртача амплитудаси атомлар аро масофа (панжара доимийсі)нинг бир неча фоизига етиши мумкин. Тугунлар атрофида тебранувчи атомларнинг энергияси жуда кичикдан то анча катта қийматларга эга бўла олади.

Юқори энергияли атомлар ўз мувозанатий вазиятларидан узоклашиб кетиши (тугуни ташлаб кетиши), тугунлар оралигига ўтиши мумкин. Тугунлар оралигига утган атом яна буш тугунга қайтиши — рекомбинацияланиши мумкин. Лекин, мазкур атом вакансияга энг яқин тугунлар оралигидан узокроқдагиларига томон диффузияланиши ҳам мумкин. Шу равишда Френкел нүқсонлари деб аталган вакансия — тугунлараро атом жуфтлари



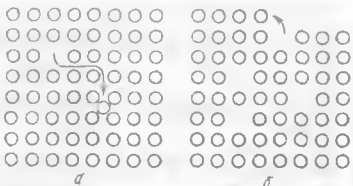
6.2 – чизма. Кристаллнинг тартибсизланиши буйича нүқсонларнинг синфлари.

вужудга келади. Улар кристалл ҳажмида күчиди юради, бу дай-диш жараёни бу икки нүқтавий нүқсон қўшни вазиятларда учрашиб, рекомбинация юз бергунча, ёки улардан бири сиртга чиқиб олмагунча давом этади.

Агар вакансия, кристалл бўйлаб диффузияланиб, сиртга чиқса, бу ҳолда унга ичкариоқдаги қатламдаги атом ўтиб олиши мумкин. Пайдо бўлган вакансияга кейинги қатламдаги атом

угади ва ҳ.к, натижада түгүнлар аро атомларсиз вакансиялар пайдо булади. Бу хил вакансияларни Шотки нүқсонлари дейилади.

Түгүнлараро атом кристалл ҳажмидан сиртта чиқкан атомлар күшимиң қатлам ҳосил қиласы, кристалл ҳажми бир мунча ортади.



6.3-чизма. Френкел(а), Шотки(б) нүқсонлары.

### 6.2.1. Металлар ва метал қотишмаларда вакансиялар

Металл кристалларда, айниқса зич тахланган кристалл панжарали булғанларида, түгүнлар оралиғи үлчамлари кичик ва уларда атом жойланиши ҳамда бу оралиқтар буйлаб диффузияланиши қийин. Шунинг учун металларда Шотки вакансиялари мавжуд булиши әхтимоллиги кattароқ.

Иккала хил вакансиялар зичлиги даставвал температурага боғлиқ, чунки улар атомларнинг иссиқлик ҳаракати туфайли пайдо булади ва бинобарин, температура ошган сари вакансиялар сони ортиб боради.

Вакансиялар зичлигининг температурага миқдорий боғланишини топайлык.

1. Дастлаб Шотки нүқсонлари – вакансиялар зичлигини температурага боғловчи ифодани аниқтаймиз. Күйидаги белгилашларни қабул қиласыз:  $V_{\text{ш}}$  – Шотки нүқсони ҳосил булиши энергиясы,  $n$  – вакант (бүш) түгүнлар вакансиялар зичлиги,  $N$  – түгүнларда турған атомлар зичлиги бұлсın. У қолда бирлік ҳажмдаги вакансияларни ҳосил қилиш энергияси  $E=nV_{\text{ш}}$ .

Статистик физикада исботланишича, системанинг (бизнинг қолда вакансиялар ва түгүнлардаги атомлар системасининг) энтропияяси  $S$  билан унинг қолатлари әхтимоллиги  $W$  орасида күринишдеги боғланиш бор, бундаги  $W$  әхтимоллик ифодаси:

$$S=k \ln W \quad (6.1)$$

$$W = \frac{(N+n)!}{n! N!} \quad (6.2)$$

Стирлинг тақрибига күра,  $x \gg 1$  бўлганда

$$\ln x! \approx x \ln x - x \quad (6.3)$$

Биз қараётган системанинг эркин энергияси

$$F = E - TS = nV_{\text{ш}} - kT \ln \frac{(N+n)!}{n! N!} \quad (6.4)$$

Бу ифодадаги логарифмга Стирлинг тақриби (6.3) ни кулласак,

$$F = E - TS = nV_{\text{ш}} - kT[(N+n) \ln(N+n) - n \ln n - N \ln N]. \quad (6.5)$$

Маълумки, эркин энергиянинг  $n$  бўйича ҳосиласи мувоза-нат ҳолатида нолга тенг, яъни

$$\frac{\partial F}{\partial n} = V_{\text{ш}} - kT \ln \frac{N+n}{n} = 0 \quad (6.6)$$

Металлар учун одатда  $V_{\text{ш}} \approx 1 \text{ эВ}$ , бунга мос қеладиган вакансияларнинг нисбий сони  $n/N \sim 10^{-9}$ , демак, бу ҳолда  $n \ll N$  бўлади, ва  $\ln \frac{N+n}{n}$  ни  $\ln N/n$  деб ҳисоблаш мумкин. У ҳолда

$n$

(6.6) дан вакансияларнинг

$$n_{\text{ш}} = n = N \exp(-V_{\text{ш}}/kT) \quad (6.7)$$

зичлиги ифодаси келиб чиқади. Бунда  $N$  кристалл панжарасидаги барча тугунлар зичлигини билдиради.

(6.7) ифодадан кўринишича, вакансиялар зичлиги  $n$  тугунлар зичлигига пропорционал, вакансия ҳосил бўлиш энергияси ( $V_{\text{ш}}$ ) катта бўлганда  $n$  кичик бўлади, мазкур зичлик температура ортган сари курсаткичли функция сифагида тез ортиб боради. Демак, юқори температураларда вакансиялар миқдори кўпроқ бўлади.

2. Энди Френкел нуқсонлари (вакансиялар ва тугунлараро атомлар жуфтлари) зичлигини аниқлайлик. Шунисини айтиш керакки, Френкел нуқсонлари төнг миқдордаги вакансиялар

ва тугунлараро атомлардан иборат. Масал .н, биз бу ҳолда вакансиялар зичлигини топсак, Френкел нүқсонлари зичлигини топган бўламиз. Бунда биз вакансиялар билан бир қаторда тугунлараро атомларни эътиборга олиб ҳисоблаймиз.

$V_\phi$  — Френкел нүқсонлари ҳосил бўлиши энергияси (атомнинг ўз тугунидан тугунлар орасига утиши энергияси),  $N$  — тугунларнинг умумий сони,  $N'$  — имконий тугунлараро вазиятлар сони,  $E = V_\phi n$  — бу  $n$  та нүқсон ҳосил бўлиш энергияси.

Бу ҳолда эҳтимоллик

$$W = \frac{N!}{n!(N-n)!} \frac{N'!}{n'!(N'-n)!}, \quad (6.8)$$

Эркин энергия

$$F = E - TS = V_\phi n - kT \ln W. \quad (6.9)$$

Стирлинг тақрибини кўлласак,

$$F = E - TS = V_\phi n - kT \{ N \ln N + N' \ln N' - 2n \ln n - (N-n) \ln (N-n) - (N'-n) \ln (N'-n) \}. \quad (6.10)$$

Мувозанат ҳолатида

$$\frac{\partial F}{\partial n} = V_\phi - kT \ln \left[ \frac{(N-n)(N'-n)}{n^2} \right] = 0 \quad (6.11)$$

(6.11) ифодадан

$$n^2 = (N-n)(N'-n) \exp(-V_\phi/kT). \quad (6.12)$$

Олдинги ҳолда кўрганимиздек,  $n \ll N, N'$  бўлганлиги туфайли ўнг томонда  $n$  ларни ташлаб юборамиз, сўнг квадрат илдиз оламиз. Натижада

$$n = N_\phi = \sqrt{NN'} \exp(-V_\phi/2kT) \quad (6.13)$$

қидирилган ифода ҳосил бўлади.

(6.7) ифодада экспонента кўрсаткичидаги  $kT$  туради, (6.13) ифодада эса  $2kT$  туради. Бундан ташқари,  $N$  ва  $N'$  тафовути ва  $V_\phi$  ҳамда  $V_\phi/2$  фарқи ҳисобидан Шотки ва Френкел

нуқсонлари зичликлари бир-биридан анча фарқ қилиши мумкин. Масалан, юқорида айтилганда, металларда Шотки нуқсонлари ҳосил бўлиши эҳтимоли каттароқ бўлиб, уларнинг металлар хоссаларига таъсири ҳам каттароқдир.

Шотки нуқсонлари вакансиялардангина иборат бўлганлиги учун  $N_{\text{ш}} = N_V$  ва  $V_{\text{ш}} = E_V$  деб ёзиш мумкин; у ҳолда Шотки вакансиялари зичлиги:

$$N_V = N \exp(-E_V/kT) \quad (6.7')$$

кўпчилик адабиётда ёзиладиган кўринишни олади. Биз энди шу ифода билан ишлаймиз. Одатда вакансиялар ҳосил бўлиши энергияси  $E$  турли кристаллар учун 1-2 эВ чамасида.

Агар  $E_V = 1\text{эВ}$  ва  $N = 10^{22} \text{ см}^{-3}$  деб қабул қиласак, у ҳолда вакансиялар зичлиги температура сайин жуда тез ошиб боришига (6.7') ифода асосида ишонч ҳосил қиласиз:

T, K	0	100	300	500	700	900	1100
N <sub>V</sub> , см <sup>-3</sup>	0	$2 \cdot 10^{32}$	$6 \cdot 10^4$	$2 \cdot 10^{10}$	$2 \cdot 10^{14}$	$2 \cdot 10^{16}$	$2 \cdot 10^{17}$

Бу маълумотдан хона температурасида вакансияларнинг муов занатий зичлиги жуда кичик кўринади. Бироқ, кристаллни бир мунча вақт юқори температурада тутиб турилса, яъни унда кўп миқдорда вакансиялар ҳосил қилинса, сунгра уни жуда тез совутилса, (буни чиниқтириш дейилади) бор вакансиялар зичлиги ўша юқори температуралагидай қолади. Шу сабабдан бу зичлик термоишливга, яъни кристаллнинг таржима ҳолига ҳам боғлиқ бўлади. Муайян вақт давомида кристаллни қиздириш оқибатида ошиқ миқдордаги вакансияларни йўқ қилиш мумкин. Бу жараённи «куйдириш» дейилади.

Нуқтавий нуқсонларнинг ҳосил бўлиши фақат температурага эмас, балки босимга ҳам боғлиқ. Унча юқори бўлмаган босимлар соҳасида ушбу ифодадан фойдаланиш мумкин:

$$N_{\text{I}} = N \exp[(-E_{\text{I}} + Pv)/kT]. \quad (6.14)$$

Бундаги  $v$  — битта Шотки вакансияси пайдо бўлганида кристалл ҳажмининг ўзгариши.

Келгусида металл қотишмаларда вакансиялар ҳосил бўлиши хусусиятларини қараб чиқамиз.

Ўрин эгаллаш тартибланмаган қотишмалар — эритувчи сифатидаги асосий кристаллнинг бир мунча миқдордаги тугун-

ларини бошқа модда (эрувчи) атомлари эгаллаган қаттиқ эрит-малардир. Эриган атомлар тасодифон бетартиб тақсимлангани ҳолда қотишмани тартибланмаган дейилади.

Бинар (икки моддадан иборат) А-В қотишмалар энг содда қотишмалардир. Бундай қотишмадаги вакансияларнинг мувозанатий зичлигини күрайлик. Шу ҳолда ҳам бу зичлик тоза металлар учун чиқарилган (6.11) ифода кўринишида тасвиrlа-нади:

$$N_V = N \exp(-E_V/kT). \quad (6.11)$$

Аммо, тоза металлда  $E_V$  энергия фақат күшни атомларнинг ўзаро таъсири энергияси билан аниқланган бўлса, тартибланмаган ўрин эгаллаш қотишмалар ҳолида қотишманинг бир исмли ва турли исмли атомлари ўзаро таъсир энергиясига боғлиқ бўлади:

$$E_V = \frac{Z}{2} (C_A^2 E_{AA} + C_B^2 E_{BB} + 2C_A C_B E_{AB}). \quad (6.15)$$

Бундаги  $Z$  — координацион сон. Бошқача катталиклар қўйидагича белгилаб олинган: кристалл панжарасидаги тугуллар сонини  $N$  — орқали, улардаги  $A$  ва  $B$  атомлар сонини  $N_A$  ва  $N_B$  орқали, вакансиялар сонини олдингидек  $N_V$  орқали белгилаб, кейин нисбий зичниклар киритамиз:

$$C_A = N_A/N, \quad C_B = N_B/N, \quad C_V = N_V/N. \quad (6.16)$$

Бу ҳолда

$$N = N_A + N_B + N_V \quad \text{ва} \quad C_A + C_B + C_V = 1. \quad (6.17)$$

$Z$  — координацион сонли панжара учун қотишма энергияси (фақат жуфт таъсирлар ( $A-A$ ,  $B-B$ ,  $A-B$ ) ҳисобга олинган):

$$U = U_0 + \left( \frac{Z}{2N} \right) (C_A^2 E_{AA} + C_B^2 E_{BB} + 2C_A C_B E_{AB}), \quad (6.18)$$

бунда  $E_{AA}$ ,  $E_{BB}$ ,  $E_{AB}$  атомлар жуфтлари аро таъсир энергиялари. (6.18) ни қайта ёзиб олиш мумкин:

$$U = U_0 + \left( \frac{Z}{2N} \right) (N_A^2 E_{AA} + N_B^2 E_{BB} + 2N_A N_B E_{AB}). \quad (6.18')$$

Энди уч тур зарралар —  $A$  ва  $B$  атомлар ҳамда вакансиялар учун имконий ўрин алмаштиришлар сони

$$W = N / (N_A! N_B! N_V!) \quad (6.19)$$

бўлади.

(6.7) ва (6.13) ифодаларни ҳосил қилиш йулидан бориб, (6.15) ифодани ўз ичига олган (6.11) сингари вакансиялар зичлиги муносабатини келтириб чиқарилади.

*Тартибланмаган суқулиши қотишмалари – В* эрувчининг атомлари *A* эритувчининг панжараси тугунлари ораларида жойлашган қотишмалардир. Тоза металлар ўрин эгаллаш қотишмалар учун вакансиялар зичлигини ҳисоблаш усули суқулиши қотишмалари ҳолига ҳам қўлланилади.

Вакансиялар турли сондаги *B* атомлар билан үралган шароитда қотишманинг энергияси:

$$U = U_0 + E_{VA} \sum_k N_{V_k} + E_{AB} \sum_k k N_{V_k}, \quad (6.20)$$

бунда  $E_{VA}$  — тоза металлда — эритувчида вакансиялар ҳосил бўлиши энергияси,  $E_{AB}$  — *A* ва *B* атомлар ўзаро таъсир энергияси,  $k$  — вакансиялар билан қўшни *B* атомлар сони,  $N_{V_k}$  —  $k$  — атомларга қўшни вакансиялар сони.

Бу ҳолда  $W$  — эҳтимоллик каттакон математик ифодага эга бўлади. Биз бу ифодаларни қарамаймиз. Эркин энергия ҳосилаларининг нолга тенглигидан (мувозанат шартларидан) фойдаланиб,

$$N_V = \sum_k \frac{N_{V_k}}{N_A} = f(T) \quad (6.21)$$

ифодани топамиз.

(6.21) ифодани ҳисоблаш

$$N_V = \frac{\exp[-E_{VA}/kT]}{1 - N_B} (1 + N_B \{ \exp[-E_{AB}/kT] - 1 \})^6 \quad (6.22)$$

натижавий муносабатни беради.

### 6.2.2 Ионлар қаттиқ жисмларида вакансиялар

Ионлардан таркибланган қаттиқ жисмларнинг асосий фарқи уларни кристалл панжарасида катионлар ва анионларнинг тенг миқдорда бўлишлигидир. Шунинг учун агар бу тутун ўрнида вакансия ҳосил бўлса, у ҳолда мусбат ва манфий зарядлар мувозанати бузилади.

Аммо, бу мүмкін әмас, чунки кристал бутунича электронейтрал булиши керак. Электронейтралликнинг зарурлиги ва ионлар кристалли панжарасида у ёки бошқа вакансия ҳосил булишидан вужудга келган зарядни мувозанатловчи тескари ишорали заряднинг албатта вужудга келишига олиб келади. Бу шарт турли йўл билан бажарилади. Биринчи йўл тенг миқдорда катион ва анион вакансияларнинг бир вақтда ҳосил булишидир. Бу ҳолат Шотки нуқсонларига мос келишлигини пайқаш осон. Зарядлар тенглигига эришининг иккинчи йўли ионлар вакансияларга уларга тенг миқдорда тугунлар оралифида ўша ишорали ионлар пайдо булишидир. Бу бирикма Френкел ионлар жуфтининг ўзидир. Учинчи йўл — узоқлаштирилган ионлар зарядини ҳосил бўлган зарядли вакансиялар яқинида қўшимча электронлар пайдо булиши ёки уларнинг камайиши орқали мувозанатлашдир. Бу йўл тақиқланган энергия зонаси тор бўлган қаттиқ жисмларда, хусусан, тақиқланган зонаси бўлмаган металларда эҳтимоллироқ булади.

Ион боғланиши ёки ион боғланиш хиссаси анча катта бўлган кўпчилик қаттиқ жисмларнинг (ишқорий-галоид кристаллар, оксидлар, сулфидлар ва бошқаларнинг) тақиқланган зонаси кенглиги анча катта ( $>2.5$ ) бўлади. Шунинг учун уларда Шотки ва Френкел нуқсонлари кўпроқ ҳосил бўлади.

Ниҳоят, кристаллга унинг хусусий панжарасидаги атомлар валентлигидан фарқ қиласидан валентликли ёт киришма атомлари киритиб зарядларни мувозанатлаш талабини бажа-риш мумкин.

Ишқорий металлар галогенилларида қарама-қарши зарядланган вакансиялар тенг миқдорда булишлиги аниқланган. Вакансиялар зарядини қарама-қарши зарядли тугунлараро хусусий ионлар билан мувозанатлаш, яъни Френкел жуфти ҳосил булиши, масалан, кумуш галогенилларида юз беради.

Олдинги бандда Шотки ва Френкел нуқсонлари зичлиги  $N_\phi N_V$ , учун чиқарилган (6.7') ва (6.13) ифодаларни ионлардан таркибланган кристалларга мослаштириш қийин әмас, Шотки нуқсонлари учун чиқарилган  $N_V$  нинг ифодаси бу ҳолда ҳам (6.7') дек, аммо  $E_V$  нинг қиймати бошқа  $N = N_a = N_k$  бўлади, бунда  $N_a$ ,  $N_k$  — мос равишда, анионлар ва катионлар сони.

Ионлар кристалларида Френкел нуқсонлари учун (6.13) ўрнига

$$N_S N_{ii} = (N_S - N_{VS})(N_i - N_{ii}) \exp[-U_\phi/kT] \quad (6.23)$$

мұнносабат бажарылади, бунда  $N_s$  — панжара түгунлари умумий сони,  $N_i$  — панжара түгунлар оралиги умумий сони,  $N_{VS}$  — бир хил ионлар панжарасидаги вакансиялар сони,  $N_{ii}$  — түгунлараро вазияттарға жойлашган атомлар сони,  $U_\phi$  — вакансия ва түгунлараро атомдан иборат Френкел нүқсони (жуфти) ҳосил бўлиши энергияси.

Қуйида келтирилган маълумот ионлардан таркибланган кристалларда Шотки вакансияси ҳосил бўлиш энергияси катталиклари ( $E_{VS}$ ) ҳақида тасаввур беради:

Кристалл	LiF	LiCl	LiBr	NaCl	NaBr	KCl	KI	CsCl	CsBr
$E_{VS}$ , эВ	2.51	2.2	1.8	2.28	1.72	2.28	1.60	1.86	2.0

Юқорида қарама-қарши ишорали ионлар сони тенг бўлган (стехиометрик) ионларни қарадик. Аммо, бу тенглик бажарилмайдиган (стехиометриядан четланиш мавжуд бўлган) кристаллар ҳам бор.  $A^{III}B^V$  ярим ўтказгичларда стехиометриклиқдан четланиш уларнинг амалий қўлланиши учун муҳим аҳамиятга эгадир, чунки  $B^V$  ташкилловчининг оптикалиги ( $A^{III}$  ташкилловчининг камомати) донорлик хоссасига эга,  $B^V$  нинг камомати ( $A^{III}$  оптикалиги) эса акцепторлик хоссасига эга.

### 6.2.3. Ковалент кристалларда нүқтавий нүқсонлар

Ковалент кристалларнинг энг яхши вакиллари олмос ва олмоссимон ярим ўтказгичлар германий ва кремнийдир. Бу қаттиқ жисмларнинг кристалларида (1.9-чизма) тетраэдр (тўрт ёқли) шаклни ташкил қиласан экан. Масалан, түгунлар оралиги етарлича катта ўлчамли ва бинобарин, атомлар унча зич жойлашмаган. Масалан, түгунлар оралигининг ўлчамлари германийда 0,110 нм ва кремнийда 0,105 нм бўлиб, бу кристаллар түгунларидаги атомларнинг ўз ўлчамларига (мос равишда, 0,122 нм ва 0,117 нм) яқин. Шунинг учун ковалент кристалларда Френкел нүқсонлари кўпроқ бўлишини кутиш мумкин. Түгун атрофида ҳам, түгунлар оралиги атрофида ҳам бирдай миқдорда қўшни атомлар (Ge ва Si да тўртта) бўлишлиги юқоридаги тахминни тасдиқлайди. Бундай кристалларда вакансиялар

ҳамда тугунлар оралиғидаги хусусий атомларнинг ҳосил булиши энергиялари бир-бирига яқин булиши керак.

Олмос тузилишli кристалларда Шотки нүқсонларининг күпроқ булишлiği нүқтаи назари ҳам бор. Мазкур кристалларда нүқсоннинг ҳосил булиши уни қуршаб олган атомларни силжитади. Кристалл панжараси симметрияси сақланиб қоладиган силжишларни панжаранинг **«релаксацияси»** дейилади.

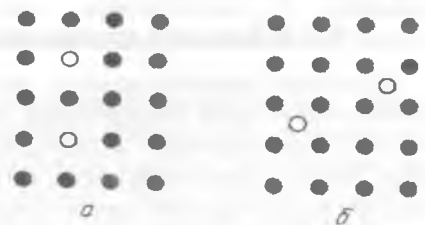
Ковалент кристалларда вакансиялар ҳосил булиши, шунингдек улар зичлигининг ўзгариши электронлар зичлиги ўзгариши билан бирга юз беради, лекин металлардан фарқли равишда, бу ўзгаришлар эркін хусусий электронлар миқдори фавқулодда кам бўлган шароитда содир бўлади. Шунинг учун электронлар зичлигини ва яrim ўтказгичнинг у билан боғлиқ бошқа хоссаларини ўлчашлар хусусий нүқтавий нүқсонлар ҳосил булиши ва шакл ўзгариши ҳодисаларини ўрганишда қулай усулдир.

#### 6.2.4. Киришмавий нүқтавий нүқсонлар

Киришма ёт атомлар асосий кристалл билан, ё урин эгаллаш, ёки сукилиш қаттиқ эритмалари ҳосил қилиш мумкин. Биринчи ҳолда киришма атомлари кристалл панжарасининг тугунларида, иккинчи ҳолда — тугунлар оралиқларида жойлашади (6.4- чизма).

У ё бу турдаги қаттиқ эритманинг ҳосил булиши асосан иккита омилга геометрик ва электрокимёвий омилларга боғлиқ.

$r_k$  радиуси асосий атомлар  $r_a$  радиусидан 15% дан кам фарқ қиласидиган киришма атомларигина урин эгаллаш эритмаларини ҳосил қиласиди (геометрик омил).



6.4-чизма. Кристаллда киришма атомларининг жойлашиши.  
а-урин эгаллаш эритмаси;

## 6.1- жадвал

### Баъзи кимёвий элементларнинг ковалент радиуслари

Z	Элемент	r, Å
5	B	0,84
8	O	0,74
14	Si	1,17
15	P	1,10
26	Fe	1,20
31	Ga	1,25
32	Ge	1,22
33	As	1,22
47	Ag	1,42
49	In	1,43
79	Au	1,46

Электрокимёвий омил шундан иборатки, ўрин эгаллаш эритмалари ҳосил бўлиши учун киришма атомлари ва асосий атомлар электрокимёвий жиҳатдан ўхшаш бўлиши керак, яъни кимёда маълум бўлган кучланишлар қаторида улар бир-биридан узоқда бўлмаслиги керак.

Агар киришма ва асосий кристалл атомлари кучланишлар қаторида бир – биридан узоқда бўлса, улардан бири ортиқча электромусбат, иккинчиси эса электроманфий бўлса, бу ҳолда кимёвий бирикма ҳосил бўлиши эҳтимоли катта.

Электрокимёвий омилнинг миқдорий ҳарактеристикаси киришма ва асосий атомлар электроманфийлигининг фарқидир.

Ўрин эгаллаш эритмаси ҳосил бўлиши учун бу фарқ кичик бўлмоги зарур.

## 6.2.-жадвал

### Баъзи кимевий элементларнинг X электроманфийлиги катталиклари

Z	Элемент	X	Z	Элемент	X	Z	Элемент	X
3	Li	0,95	16	S	2,6	32	Ge	2,0
5	B	2,0	27	Co	1,7	33	As	2,0
8	O	3,5	28	Ni	1,8	47	Ag	1,9
14	Si	1,9	29	Cu (2)	2,0	79	Au	2,3
15	P	2,1	30	Zn	1,6	82	Pb (2)	1,6

Тадқиқотларнинг кўрсатишича, суқиладиган киришма атом  $r_k$  радиусининг асосий атом  $r_a$  — радиусига нисбати 0,59 дан кичик булиши керак.

Шундай қилиб, киришма  $0 < r_k / r_a < 0,59$  бўлганда суқилиш эритмаси,  $0,85 < r_k / r_a < 1,15$  бўлганда ўрин эгалаш эритмаси ҳосил қиласди.  $0,59 < r_k / r_a < 0,85$  соҳа эса умуман қаттиқ эритмалар ҳосил бўлиши учун мақбул эмас.

Ҳақиқий шароитда кристаллга киришма атом ташқи муҳитдан киради. Эрувчаникни миқдоран аниқлагандага кристалл ва ташқи фаза (муҳит) орасидаги термодинамик мувозанатни таҳлил қилиши лозим. Ташқи фаза сифатида ё буг (газ), ёки суюқ фазани қарашиб мумкин, чунки улар қаттиқ жисмларни легирлаш (уларга киришма киритиш) амалиётида кенг қўлланади.

Иккала ҳолда ҳам легирлаш жараёни мувозанатдан кам фарқ қиласиган шароитда олиб борилади.

#### 6.2.5 Нуқтавий нуқсонлар аниқлайдиган хоссалар ва уларнинг ўзаро таъсири

Хусусий ва киришмавий нуқсонлар қаттиқ жисмларнинг амалда барча хоссалари таъсири кўрсатади. Заряд ташувчилик кристалл бўйича ҳаракат қилганида нуқтавий нуқсонлар билан ҳам тўқнашадилар.

Икки кетма-кет тўқнашиш орасида ўтган вақтни релаксация вақти (эркин югуриш вақти) дейилади. Бу вақт киришма ҳосил қилган нуқсоннинг табиати, ҳолати, зичлиги ва температурага боғлиқ бўлади (бу ҳақда ярим ўтказгичлар бобида ба-тағсилроқ тўхталамиз).

Металларда хона температураси ва ундан юқорида заряд ташувчилик ҳаракатчанлигини кристалл панжараси атомлари тебранишлари билан тўқнашишлар аниқлайди, бу эса температура ортиши билан металлнинг электр қаршилиги ортишини тақозо қиласди.

Ярим ўтказгичларда нуқтавий нуқсонларнинг асосий аҳамияти тақиқланган зонада донор ва акцептор сатҳлар ҳосил қилиб, ярим ўтказгичнинг электр, фото электр ва бошқа хоссаларига таъсири қилишdir.

Диэлектрикларнинг хоссаларини асосан уларнинг ҳажмий тузилиш ҳарактеристикалари аниқлайди, уларда нуқсонларнинг аҳамияти нисбатан кичик.

Нүқсонларнинг аҳамияти ҳақидаги масалалар келгуси бир неча бобларда қараб чиқилади.

Амалда барча нүқтавий нүқсонлар кристалларда боғланган ҳолатда бўлади. Масалан, икки вакансия узаро боғланниб, дивакансия ҳосил қилиши мумкин. Иккинчи мисол якка вакансияларнинг киришма атомлари билан ўзаро таъсиридир. Кристалларда нүқсонлараро ўзаро таъсиirlар сони жуда катта. Биз бир нечалигини кўрсатиб ўтамиш.

Икки қарама-қарши ишорали киришма ионлари ионлар жуфтини ҳосил қилиши мумкин.

Жуфтни ташкил қилган ионлар яқин масофаларда тургани туфайли улар орасида электрон ва ковакнинг бевосита таъсири юз бериб, ковак йўқолиши мумкин. Бу жараённи киришмалар аро рекомбинация дейилади.

Кристалларда янада мураккаб нүқсонлар таркибига киришмавий атомлар кириши мумкин.

Бундай мураккаб (бирлашма) нүқсонлар қаттиқ жисмларнинг кўп физик хоссаларига таъсири қиласи. Масалан, улар заряд ташувчилар ҳаракатчанлигига, қаттиқ жисмлар иссиқлик ўтказувчанлигига, уларнинг механик хоссаларига, киришмалар диффузиясига ва б.га муҳим таъсири қиласи.

Ярим ўтказгичларда  $A$  — марказлар яримутказгичда эриган кислород атомининг вакансия билан ўзаро таъсири маҳсулни бўлади, ионлар кристалларидан  $F$  — марказлар электронни тутиб олган анион вакансияларидан иборат.

Улар ишқорий металлар галогенидларида рангини белгилайди.  $F$  — марказлар ютадиган ултрабинафша нурлар, тўлқин узунликлари қўйидагича:

Кристалл	NaCl	NaBr	KCl	KBr	KI
$\lambda$ , нм	465	540	663	630	685

Булардан ташқари, ранглаш марказлари деб аталмиш мураккаб нүқсонлар бирлашмалари ҳам мавжуд. Ундай марказларни  $F$ ,  $M$ ,  $R$  ҳарфлари билан белгиланади.

$F$  — марказ ёруғлик таъсирида иккита  $F$  — марказдан ташкил топади:



буnda  $V_A^-$  — анион вакансияси.

$M$  — марказ ҳар бири биттадан электронни тутиб олган иккى құшни анион вакансиялардан иборат.

$R$  — марказ ҳар бири биттадан электронни тутиб олган учта құшни анион вакансияларидан ташкилланган.

Бу ранглаш марказларидан ташқари, мусбат көвак воситасида bogланган иккى құшни манфий ионлардан (масалан, хлор) таркибланаган  $V_k$  — марказ, хлорнинг көвак воситасида bogланган түгун ва түгунлар оралиғидаги ионларидан иборат  $H$  — марказ мавжуд бўлишилиги аниқланган.

Ионлар кристалли ўтказувчанлик зонасидаги эркин электрон ва панжара қутбланиши бирлашмаси **полярон** дейиладиган нуқсонлар хилини юзага келтиради.

Поляронлар бошқа нуқсонларга нисбатан юқори ҳаракатчанликка эга.

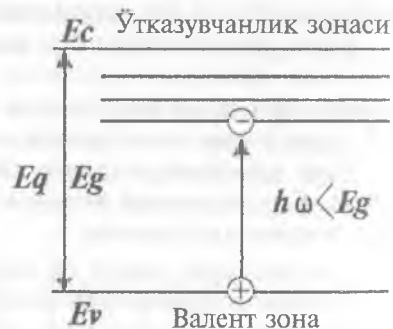
Электронга бериладиган ёруглик ёки иссиқлик энергияси унинг ўтказувчанлик зонасига ўтиб олиши етарли бўлмаганда, у шу зона яқинидаги ҳолатларга ўтиши мумкин, бу ўтишда ҳосил бўлган көвак билан электрон bogланган ҳолатда қолади. Бу электрон ва унга bogланган көвак жуфтини экситон дейилади (6.5- чизма).

Агар электрон ва көвак бир ионда бўлса, бу жуфтни **Френкел экситони** дейилади.

Экситонлар турли атомларга тегишли уйғотилган электрон ва көвакдан ташкилланган бўлса, уни **Ванъе — Мотт экситони** дейилади.

Френкел экситони радиуси кичик, Ванъе — Мотт экситониники катта. Экситон кристалл ичида ҳаракатлана олади, аммо токка ҳисса қўша олмайди, чунки электр жиҳатдан нейтралдир.

Экситон ҳосил қилиш учун, масалан, ёруглик энергияси сарфланади, аммо электр ўтказувчанлик ўзгармайди.



6.5-чизма. Экситоннинг ҳосил бўлиши.

### 6.2.6. Радиацион нүқсонлар

Юқори энергиялы нурланишлар таъсирида қаттиқ жисмларда ҳосил бұладиган нүқсонларни радиацион нүқсонлар дейилади. Бундай нурланишлар — қаттиқ рентген нурланиши,  $\gamma$  — нурланиш, юқори энергиялы электронлар, нейтронлар оқимидир.

Радиацион нүқсонлар назариясіда бирламчи нүқсон Френкел жуфти бұлади деб ҳисобланади, кейинчалик бошқа иккіламчи нүқсонлар юзага келади. Агар атомни тугундан уриб чиқариш учун керак энергия  $E_d$  — бұлса, атомга нурланиш томонидан бериладиган  $E_A$  энергия  $E_d$  дан катта бўлса, атом, албатта тугундан чиқиб кетади, агарда бу атомда  $E_d$  дан ортиқ энергия қолса, у бошқа атомни уриб чиқаради ва ҳ.к.

Бироқ, радиацион нүқсон ҳосил қилишнинг бұсағавийдан пастроқ энергияга тегишли механизмлари бор. Бу механизмларнинг моҳияти шундаки, аввал кристаллнинг электронлари системасынан уйғотилади, энергия кристалл атомларига узатылади ва бирламчи радиацион нүқсонлар ҳосил бұлади. Бу уйғотиш кристаллнинг рентген квантлари, паст энергиялы электронлар ва ҳатто ултрабинафша фотонлар билан нурлаш йўли билан амалга оширилади.

Бұсаға ости нүқсонлар ҳосил бўлиши қўйидаги босқичлардан иборат:

1. Квантнинг ютилиши ва экситон ҳосил бўлиши;
2. Экситоннинг икки ионда (масалан, ишқорий — галоген кристаллда галогенининг икки ионда) жойланиши, яъни квазимолекула ҳосил бўлиши;
3. Кулон итаришиш оқибатида квазимолекуланинг түгнлараро атом ва вакансияга парчаланиши.

Радиацион нүқсонлар ҳосил бўлишининг бошқа йўллари ҳам мавжуд (плазмонлар механизмі, ионизациян механизм ва бошқалар.).

Радиацион нүқсонлар, одатда, катта кинетик энергияга эга, ва шунинг учун улар кристалларда жуда ҳаракатчан булади. Радиацион нүқсонларнинг ўзаро ва бошқа радиацион булмаган нүқсонлар билан учрашуви эҳтимоллиги катта. Бу ҳолларда юз берадиган таъсирилашин оқибатида нүқсонларнинг бирлашмалари ва ҳатто йирик уюмлари ҳосил бўлади.

Кристалл атомларининг ўз түгнларидан  $\gamma$  — квантлар таъсирида жилиб кетиш эҳтимоли кичик. Лекин  $\gamma$  — нурланиш

фотоэффектті, Комптон эффекті, электронлар ва позитронлар жуфтлари туғилиши оқибатида вужудга келади.

Нейтронлар оқими моддага түшгандан унинг бир қисми ютилиб, нүқсонлар пайдо қилади.

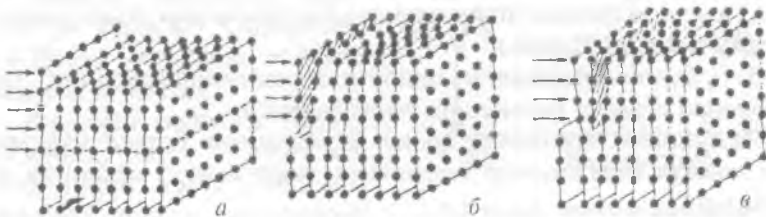
Кристалл атомларнинг ўз түгунларидан  $\gamma$  — квантлар таъсирида жилиб кетиши эҳтимоли кичик. Лекин,  $\gamma$  — нурланыш фотоэффектті, комптон эффекті, электронлар ва позитронлар жуфтлари туғилиши оқибатида вужудга келади.

Кейинги даврда моддашунослик соҳасыда бир вақтда қаттық жисмдә мавжуд болған (киритилған) түрли киришмалар бир-бири билан таъсирлашиши оқибатида модданиң айрим физик хоссалари жиідій үзгариши мүмкінлігі ва бу үзгаришлардан амалда самарали фойдаланиш мүмкінлігі аниқланмоқда.

### 6.3. Қаттық жисмларда чизигий нүқсонлар

Нүқсонларни ўлчамлар жиҳатидан синфларға ажратғанда бир ўлчовли (чизигий) нүқсонлар айтиб үтилған эди, бу нүқсонларнинг ўлчамлари иккі йұналишда жуда кичик ( $a$ ) ва үчинчи йұналишда ҳар қанча узун бўлиши мүмкін. Бундай нүқсонларни дислокациялар дейилади.

Дислокациялар ҳосил бўлишини қарайлик. Кристаллнинг бир қисмiga ташқи куч таъсир қилаётган бўлсин (6.6- чизма).



6.6-чизма. Дислокация ҳосил бўлишининг кетма-кет босқичлары: а) кристалга силжитиш кучи кўйилши; б) атомлар текисликтари букилиши; в) экстратекислик ҳосил бўлиши.

Кучнинг қандай бўлишига қараб кристалл эластик ёки пластик деформацияланади. Иккінчи ҳолда таъсир этувчи кучнинг бирор бўсағавий қийматига — силжиш кучланишига эришилганда сирпаниш вужудга келади. 6.6 а- чизмада узун чизик билан қандайдир фаразий текислик (сирпаниш текисли-

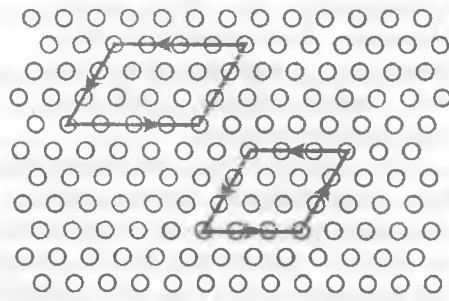
ги) тасвирланган, атомлар текисликлари унинг юқорисида унга силжиди, унинг пастидаги кристалл қисми эса құзғалмайды.

Кристаллографик (атомлар) текислигининг деформацияла-нуvчи қисми (ярим текислик) үнгә бирор масофага силжиди. (6.6 б- чизма) ва кейинги атомлар ярим текислигини деформациялады.

Бириңчи яримтекислик күч таъсири ортганда оқибатда кейинги юқориги ярим текислик устига тушади, пастки ярим-текислигидан узиб құяды (6.6 в- чизма). Узилган яримтекис-лик «ортикча», озгина деформацияланган иккита оддий (атом-лар) текисликлари орасыга «киритилган» (қистирилган) бўлиб қолади.

Янада каттароқ ташқи силжитиш кучланиши мавжуд бўлса, «ортикча» экстратекислик ўз навбатида келгусини жилдириб, унинг үрнини эгаллади, бу жараён токи намунанинг юқориги қисми пастки қисмiga нисбатан  $\vec{v}$  Бюргерс вектори қадар силжимагунча давом этади (6.7- чизма).

Шундай қилиб, дисло-  
кация ёки дислокация чи-  
зиги деб кристаллнинг  
силжиган соҳасини сил-  
жимаган соҳасидан ажра-  
тиб турувчи чизиқни айти-  
лади. Бюргерс вектори  $\vec{v}$   
кристалл панжарасида  
атомларнинг силжиш кат-  
талигини ва йўналишини  
аниқлади.



6.7- чизма. Дислокация контури ва Бюргерс вектори.

Бюргерс вектори қий-  
мати  $|\vec{v}| = v$  дислокация үлчови бўлади.

Ушбу эскартмаларни билиш зарур:

1. Дислокация чизигидан йироқда кристалл идеал кристаллдан фарқ қилмайди.
2. Бу чизиқ яқинида атомлар идеал кристалл түгунларига нисбатан анча силжиган бўлади.
3. Нолга teng бўлмаган Бюргерс вектори мавжуд.
4. Бюргерс вектори дислокация чизигига тик бўлади, бундай дислокацияни чегаравий дислокация дейилади.

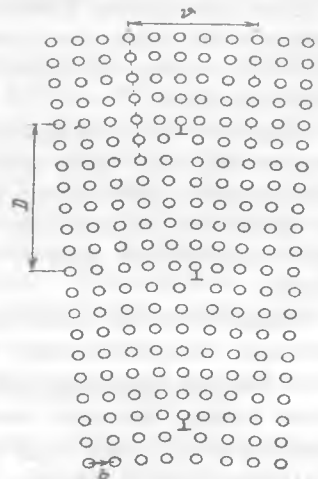
Чегаравий дислокацияядан ташқи винтсимон дислокациялар ҳам мавжуд (6.8- чизма). Дислокация чизиги Бюргерс векторига параллел.

Хақиқий қаттиқ жисмларда дислокациялар зичлиги катталиги  $d$  киритилади ва у  $1 \text{ см}^2$  сиртдаги дислокациялар сонини билдиради. Дислокациялар зичлигини аниқлашнинг энг кўп тарқалган усули кристалл сиртини кимёвий едиришдир. Кристалл сиртига чиқувчи дислокациялар соҳасида едириш чуқурчалари пайдо бўлади. Уларни микроскоп ёрдамида санаш мумкин. Дислокациялар зичлиги  $d$  нолдан то катта сонга қадар қийматларга эга бўла олади. Масалан, дислокациясиз ярим ўтказгич монокристалларда  $d=0$ , металларда у  $10^{12} \text{ см}^{-2}$  гача етиши мумкин.

Биз айтиб ўтган дислокацияларнинг икки туридан бошқа яна мураккаброқ дислокациялар мавжуд бўлиши мумкин. Дислокацияларнинг хусусиятларидан бири – уларнинг ўзаро ва бошқа нуқсонлар билан таъсиралишидир. Дислокацион реакциялар оқибатида янги дислокациялар ҳосил бўлиши ёки дислокациялар бирлашиши мумкин:  $\vec{b}_1$  ли дислокация иккита  $\vec{b}_2$  ва  $\vec{b}_3$  Бюргерс векторли дислокацияга ажралиши ва аксинча реакциялар бўлиши мумкин:



Дислокацион реакцияларнинг маҳсулли нуқсонларнинг бошқа турлари бўлиши эҳтимоллиги мавжуд. Масалан, икки дислокация учрашиб вакансия ҳосил қила олади. Қаттиқ жисмларда дислокацияларнинг ҳосил бўлишини сурʼий тарзда изо-



6.8- чизма. Кристаллда фаза ичидаги чегаранинг ҳосил бўлиши.

мдаги киришмалар билан дислокацияларнинг ўзаро таъсири эластик ва электр йўсинда юз бериши мумкин.

Кристаллда чўзувчи кучланиш ҳосил қиласиган киришма атом дислокация атрофидаги қисилган соҳа томон кучади, қисувчи кучланиш ҳосил қиласиган атом эса, — чўзилган соҳа томон кучади. Бундай ўзаро таъсир чегаравий дислокацияларга хосдир. Дислокацияларнинг электр ўзаро таъсирлашишида унинг энергиясини кулон потенциали аниқлайди ва шунинг учун  $1/r$  га пропорционал.

Металл кристалларда кўп миқдордаги эркин электронлар дислокациялар ёки нуқтавий нуқсон майдонини экранлайди, шунинг учун металларда бу ўзаро таъсир муҳим эмас. Ярим ўтказгичлар ва ионлар кристалларида экстра текислик пастидаги атомларнинг узилган кимёвий боғланишлари электр потенциал ҳосил қиласи, улар акцепторлик (электронни қабул қилиш) хоссасига эга. Шунинг учун  $n = 1$  тур ярим ўтказгичларда бу боғланишлар ўтказувчанлик электронларини тутиб олади ва дислокацияларга манфий заряд беради, у эса мусбат ионларни (ёки ковакларни) тортувчи электр потенциал ҳосил қиласи.

Ҳар қандай механик ишлов ҳам макро кучланишдир ва бинобарин, дислокациялар ҳосил қилишга олиб келади.

Қаттиқ металларда босим остида ишлов — чўзғилаш, болғалаш, сурғалаш — дислокациялар пайдо бўлишига сабаб бўлади. Юқори кучланиш жойларида дислокациялар вужудга келади, кейин улар кўпаяди. Бундай пластик деформациялардан ташқари, дислокациялар кристалларни кесиш, сайқаллаш жараёнлари оқибатида ҳам пайдо бўлади. Кристалланиш жараёнда температура градиентлари мавжуд бўлиши дислокациялар манбай бўлиши мумкин. Кристалларни ўстириш жараёнда пайдо бўлган дислокациялар юқорида тавсифланганларидан фарқ қиласи. Бирламчи ҳамиртурууш кристалл дислокациялари ўстирилган кристаллга мерос бўлиб ўтади (меросий дислокациялар). Кристалл бошқа моддадан ясалган таглик билан контактлашганда номослик дислокациялари намоён бўлади. Бундай дислокациялар  $A^{III}B^V$  — Ge,  $A^{II}B^6$  —  $A^{III}B^1$  ва ҳоказо каби яримутказгич гетеротузилмаларни эпитаксия усулида ўстиришда катта ўрин тутади.

Дислокацияларнинг қаттиқ жисм хоссаларига таъсири қандай?

Дислокациялар асосан қаттиқ жисмларнинг механик хоссаларига, биринчи навбатда уларнинг мустаҳкамлик характеристикаларига таъсир кўрсатади. Ҳақиқий кристалларда дислокациялар маҳкамланиши эффиқти мавжуд. Бунинг бир неча механизмлари бор: ёт зарралар (киришмалар) билан маҳкамланиши; дислокацияларнинг «чирмашиши». Биринчи механизм фақат баъзи холларда муҳим. Бу холларнинг бири Коттрел атмосфераларининг ҳосил бўлишидир, ёт зарралар - асосий кристаллнидан бошқа моддаларнинг микроскопик киришмалари эриган модда томонидан ушланади ва суюлмани совутиб қотиргандага унда қолади. Бу зарралар асосий модда билан биргаликда қотишма ҳосил қиласди.

Дислокацияларнинг чирмашиши равишида ҳам дислокациялар бир-бирини тормозлайди. Энг муҳим масала дислокацияларнинг заряд ташувчилар (электронлар ва коваклар) энергиялари спектрига киритадиган узгаришларидир. Олдин айтганимиздек, дислокация электронларни қабул қилувчи акцептор вазифасини ўтайди. Бундай қараашда дислокациялар таъсири ковалент кристаллга киритилган киришма атомлар таъсирига ўхшайди. Бундай акцептор сатҳлар бир – бирига яқин бўлиб, ўзаро таъсирашиб, дислокацион энергетик зонани вужудга келтиради. Дислокацияли яримутказгичда электронлар зичлигини ҳисоблашда электр нейтраллик шартида дислокациялар зарядини ҳам ҳисобга олиш керак бўлади. Яримутказгичларда дислокациялар ҳаракатчан заряд ташувчиларни сочиб юбориш орқали уларнинг ҳаракатчанлигига таъсир қиласди. Дислокациялар заряд ташувчиларнинг яшаш вақтига муҳим таъсир кўрсатади. Дислокациялар атрофидаги ҳажмий заряд номувозанатий электронларнинг ушланишига ҳалақит беради. Дислокация электронларнинг яхши ёпишиш марказлари бўлади. Барча қаттиқ жисмларда дислокациялар диффузия жараёнига таъсир кўрсатади.

#### 6.4. Қаттиқ жисмларда ясси нуқсонлар

Энг муҳим ясси (икки ўлчовли) нуқсонлар — поликристалл доналарининг чегаралари, эгизаклар ва тахланиш нуқсонларидир.

Доналарнинг (кристаллитларининг) чегараларини курайлик. Умуман уларни фазалароро ва фазалар ичидаги чегаралар гурӯҳларига ажратилиди. Фазолароро чегаралар мисоли кристалл-

Шин ғашқы мұндаған ажратувчи өкілары, усағтаң кристаллнинг суюма билән чегараловчы сүргі метал қотишишмаларда түрли фазалар зарралары орасындағы чегаралар булады.

Фаза ицидаги чегаралар дегендә кристалларнинг бир ва үшінә фазага мансұб үшін кристаллар контакттың бевосита туғаннувчи соҳаларны тушунылады. Чегара дислокацияларнинг а тохыла жойланышы ҳолида ҳосил булады, бунда кристалл қысмлари қандайдір  $\vartheta$  бурчак қадар бурилған булады: чизма текиселігінде тик үкә нисбатан  $\vartheta$  бурчакка бурилған булады. Чегара соҳасындағы дислокациялар оралигини  $D$  дейилса, Бюргерс векторы каттады и в эканнлиги эсланса,

$$b/D = 2 \cdot \sin \frac{\theta}{2} \quad (6.26)$$

муносабатни олиш мүмкін. Агар

$$\frac{\theta}{2} \ll 1 \text{ булса, (6.26) ифода}$$

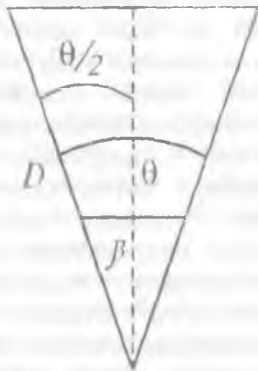
$$\theta = \frac{b}{D} \quad (6.27)$$

куринишини олади. Бу муносабатни қаноатлантирадыган чегараларни кичик бурчаклы, (6.26)ни қаноатлантирувчи чегараларни катта бурчаклы чегаралар дейилади.

(6.27) ифода  $0 < 5^\circ$  бўлганда баражирилди. Доналар чегараларининг дислокацион табиати чегараларнинг қалинлигини аниқлайди, у ( $l+2$ )  $w$  чамасида булади ( $w$ -дислокация кенглигі), яъни чегара қалинлиги бир неча атомларро масофадан ортиқ бўлмайди.

Кичик бурчаклы чегаралар поликристалларнин айрим кристаллитларыда ва монокристалларда булиши мүмкін.  $\theta$  бурчаклар катта булаган ( $\theta > 5^\circ$ ) чегаралар ажратган кристалл қысмларини кристалликлар ёки доналар дейилади. Катта бурчаклы чегараларга эга булаган қаттиқ жисм албатта поликристалл булади.

Эгизаклар — катта бурчаклы чегараларнинг хусусий ҳолидир. Эгизаклик чегарасы кристаллнинг бири иккінчисинин

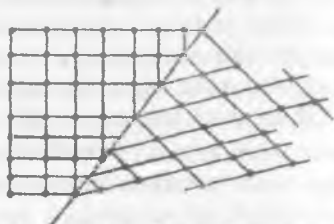


6.9-чизма. (6.26) ифодага доир чизма.

күзгусимон тасвири бўлган икки соҳасини ажратиб турувчи че-  
гарадир (6.10- чизма).

Эгизаклар кристаллар  
усишида, шунингдек механик,  
деформацион таъсир оқибатида  
вужудга келиши мумкин.

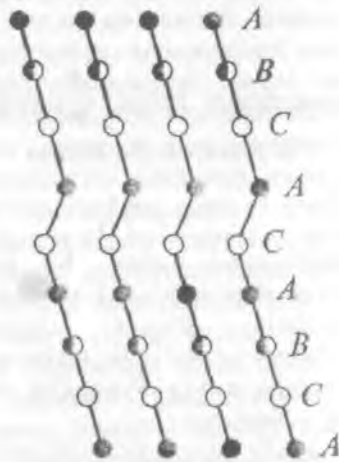
**Тахланиш нуқсонлари** кристалл  
панжарада атомларнинг идеал  
жойлашишининг бузилишидан  
иборат. Бундай нуқсонлар асосан  
металл кристалларда қозатилади.



6.10- чизма. Эгизакларга оид.

### 6.5. Қаттиқ жисмларда ҳажмий (макроскопик) нуқсонлар

Қаттиқ жисмларда ҳажмий нуқсонлар ўлчамлари барча уч фазовий йўналишда панжара даври  $a$  дан катта бўлган нуқсонлардир. Улар моҳияттан қаттиқ жисм тузилишининг макроскопик бузилишларидир. Ҳажмий нуқсонларга ёки жисмнинг бутун ҳажмини, ё унинг айрим қисмларини (уларни макроскопик ҳажмлар ҳисобланади) эгаллаган ва ҳажми  $>>a^3$  бўлган эластик кучланишлар мансуб. Дарзлар ва коваклар, қаттиқ жисм сиртидаги тирналишлар ва ҳажмда тўпланган киришма уюмлари ана шундай нуқсонлардир. нуқсонларнинг бирлашиши натижасида ҳосил булиши равзиан кўриниб турипти. Биз олдин эластик кучланишлар дислокациялар ҳосил булишлиги манбаи эканлигини курдик. Энди бу кучланишларнинг вужудга келиши ва намоён булишига назар ташлайлик. Ҳар хил ишорали кучланишлар – чўзувчи ва қисувчи кучланишлар бўлади. Агар жисм мувозанатда бўлса, турли ишорали кучланишлар ўзаро мувозанатлашган. Қаттиқ жисмнинг бир қисмини узоқлаштириш бу мувозанатни бузади



6.11- чизма. Тахланиш нуқсонлари.

Макронуқсонлар микро-  
нуқсонларнинг бирлашиши натижасида ҳосил булиши равзиан  
курниб турипти. Биз олдин эластик кучланишлар дислокациялар  
ҳосил булишлиги манбаи эканлигини курдик. Энди бу кучланишларнинг вужудга келиши ва намоён булишига назар ташлайлик. Ҳар хил ишорали кучланишлар – чўзувчи ва қисувчи кучланишлар бўлади. Агар жисм мувозанатда бўлса, турли ишорали кучланишлар ўзаро мувозанатлашган. Қаттиқ жисмнинг бир қисмини узоқлаштириш бу мувозанатни бузади

ва жисем янги мувозанат ҳолатига интилади, бунда эластик кучланишлар қайта тақсимланади.

Макрокучланишлар кристалл панжарасининг атомлараро д масофаларнинг узгаришидан вужудга келади. Қаттиқ жисмларни олишида макрокучланишлар вужудга келишига температуранинг жисем ҳажмида бир хил бўлмаслиги катта ҳисса қўшали. Бундай макрокучланишларни термоэластик кучланишлар дейилади. Қаттиқ жисмда уни тайёрлаш ёки унга термоишлов беришдаги температура тақсимотини

$$\frac{\partial T}{\partial t} = \frac{k}{c\rho} \Delta T \quad (6. 28)$$

иссиқлик ўтказувчанлик тенгламасини ечиб топилади, ( $k$ - соилиштирма иссиқлик ўтказувчанлик коэффициенти, с-жисмнинг иссиқлик сигими,  $\rho$ -намуна зичлиги).

Бу тенглама мураккаб, уни ечиш маҳсус адабиётда келтирилган. Биз бу жойда баъзи бир маълумот берамиз.

Температуранинг тұsatдан ўзгариши – иссиқлик зарбаси қаттиқ жисмда кенгайиш – қисилиш эластик түлқинлари пайдо қилади. Агар температура вакт бўйича ўзгариб турса, албатта жисмнинг даврий “исиш-совиши” жараёни юз беради. Бу эса бузилишлар (нуқсонлар) жамғарилишига олиб келади. Бу эффектни **материалнинг чарчаши дейилади**.

Техникада кўп қатлами қаттиқ жисм тузилмалари мұхим үрін тутади. Бу ҳолларда макрокучланишлар манбалари: таглик ва қатлам панжаралари доимийларининг фарқи, иссиқликтан кенгайиш коэффициентларининг тафовути бўлади. Жуда юпқа пардаларда сирт таранглик кучлари кучланишларининг қўшимча манбаи бўлади. Эластик кучланишларнинг бошқа манбалари ҳам уларни кейинги бобларда кўрамиз.

Дарзлар дислокацияларнинг қаттиқ жисм ичидаги қўчиши жараёнида тормозланиши – натижаси сифатида қаралмоқда. Дарзининг кенглиги уни ҳосил қилишда қатнашган дислокациялар миқдорига боғлиқ. Агар ундағы дислокациялар зичлиги  $n$  бўлса, дарзни  $n\vec{v}$  Бюргерс векторли битта катта дислокация деб қараса ҳам бўлади. Дарз ҳосил бўлишининг яна бир Эҳтимолий йўли турли ишорали дислокациялар тўплантган ик-

ки кесишүвчі текнолонгияның узаро таъсириндер. Дарз пайдало булғандан кейин унинг тақдиди қандай булади?

Дарзниң узунлигини  $l$  ҳарфи билан, унинг ён чегарасыдағи критик күчләнешни  $\sigma$  орқали, Юнг модулини  $E$  орқали, бузыш солиширмашының  $\gamma$  орқали белгиласак, анча узун хисоблашлардан

$$\sigma = \sqrt{2E\gamma/\pi^2} \quad (6.29)$$

Гриффитс қонуини көлтириб чиқарылади. Бу ифодадан намунаны (буюмни) бузмайдыган дарзниң  $l$  критик узунлигиги аниқлаш мүмкін. Агар мазкур моддага ундан күра мустаҳкамроқ модданиң макрозарралари киритилса, кеңгаяёттан дарз шу кириптамаға тақалади ва тұхтаб қолади. Шу нұл билан күп миқдорда композицион материаллар олинган.

Энди қаттық жисемдегі коваклар (коваклар) ҳақида тұхталамиз. Коваклар қаттық жисемде атомлар әгаламаган бүш жойлардан иборат. Уларнинг бир томони сиртте чиққан бұлса, бундай ковакларни очиқ коваклар денилади, агар ковак кристалл қажмидә жойлашған ва ташқы мұхит билан туташған бұлмаса, уни **ёпік ковак** дейилади.

Коваклар ҳосил булишининг асосий манбаларини қарайлай.

### 1. Коваклар ҳосил булишининг диффузион механизми.

Ковак күп сонлы вакансиялар йигилиши натижаси сифатыда қаралади. Жисем сиртида әгріланған (қабариқ ёки ботик) жойларда вакансиялар күп тұпланади. Қабариқ жойда сиртнинг катталиғи үзи мувозанатсиз, ортиқча, система уни қамайтиришга интилгани туфағын бүнга ёндош қажманиң күч-райиши орқали әришилади. Үмумий қажм үзгартмасын қолда агар бир қисем вакансияларни атомлар әгалласа қажм мұайян миқдорда камаяді. Шунинг учун қабариқ сирт устида вакансиялар кам булади. Худди шүнідай мұлоқаза ботиқ сирт остида вакансиялар зичлиги ортада деган холосага келтиради. Шундай қилиб, ковакнинг ташқы сиртида вакансиялар кам, ички сиртида эса вакансиялар ортиқча булади. Демек, ковак вакансияларнинг каттакон уймасидір. Вакансиялар ковак ҳосил булаётган жойға **диффузия нұлы** билан күчиб боради. Шунинг учун ковак ҳосил булишининг бу механизмини диффузион механизм деб аталған.

## **2. Термоишлиов жараёнида коваклар ҳосил булиши.**

Тажрибадан маълумки, металл намуналар термоишлиов жа-раёнида деформацияланади ва шишади, уларда коваклар ҳосил бўлади, термоишлиов кўп марта тақрорланса - дарзлар пайдо бўлади. Тадқиқотлар қўйидағи қонуниятларни аниқлайди:

1) Термоишлиов сони ортиши билан коваклар миқдори ва ўлчами ортиб боради.

2) Коваклар намуна кесими бўйича нотекис тақсимланади: уларнинг миқдори марказдан четга томон бир текис камайиб боради.

2-3 мм қалинликдаги цилиндрик намунанинг гардишида коваклар бўлмайди. Бу ходисалар шундай тушунтирилади.

$T_{\text{теп}}$  суюлиш температурасига яқин  $T$  температурада олинган намунада вакансияларнинг қатта зичлиги вужудга келади. Кескин совутганда кристаллда улар «яхлайди». Бу жараённи чиникиш дейилади. Кейинги қиздиришда ортиқча вакансиялар ута тўйинган эритмадан тушиб қолиши керак. Аммо бу тушиб қоладиган вакансиялар етарлича ҳаракатчан ва қайси бир жойда (пайновда) уюшишга улгуради. Бундай пайновлар хизматини доналараро чегаралар, дислокациялар бажаради. Температурани кўп марта ўзгартириш чиникан вакансиялар миқдорини ошириб боради, бу эса коваклар сони ва ўлчамларини ўстиради.

**3. Қаттиқ жисмлар контакти соҳасида коваклар ҳосил булиши.** Турли табиатли A ва B икки қаттиқ жисм контактини қарайлик. Қиздирилганда A атомларнинг B — панжарага, B атомларнинг A — панжарага ўзаро қарама-қарши диффузия вужудга келади. Диффузия коэффициентлари тенг бўлмаганлигидан ( $D_{A \rightarrow B} \neq D_{B \rightarrow A}$ ) контакт чегарасидан ўнг ва чап томонда диффузияланган атомлар миқдори тенг бўлмайди, масалан,  $D_{A \rightarrow B} > D_{B \rightarrow A}$  бўлса, у ҳолда  $N_{A \rightarrow B} > N_{B \rightarrow A}$  бўлади. Оқибатда A кристаллда эгалланмаган вакансиялар, B кристаллда ортиқча атомлар пайдо бўлади. Демак, A кристаллда вакансиялар манбаи, B кристаллда атомлар манбаи ишлаб туради. Аммо улар чексиз ортиб бора олмайди, чунки чегаравий дислокациялар A томонда вакансияларни, B томонда ортиқча атомларни ютиб, қарама-қарши йўналишларда ҳаракат қиласади. A кристаллда улар аста-секин кристаллдан чиқади, B кристаллда эса улар аста-секин пайдо

бұлади. Шундай қилиб контакт соҳасида иккى эффект: бұшлик үсиши (Френкел эффекти) ва атомлар текислигининг күчиб үтиши (**Киркендал эффекти**) юз беради.

#### 4. Учувчан таркибовчили қаттиқ жисмларда ковакдорлик

Күп таркибовчили қаттиқ жисмларда учувчан таркибовчининг бүгланishi ортиқча вакансиялар манбаси бұлади. Ярим үтказгич қаттиқ жисмлардан галлий арсениди GaAs мисол бұлади, чунки ундағы As маргумуш анча учувчандыр. Қаттиқ жисм сиртидан бүгланған атомлар үрнида вакансиялар пайдо бұлади, уларни ичкаридаги атомлар келиб тұлдиради. Улар ҳам яна бүгланади, вакансиялар яна тұлдирілади ва ҳ.к. Натижада намуна ұажми ортиқча миқдордаги вакансиялар билан түйинади. Уларнинг бәзилари сиртга ва дислокацияларға кетади, лекин уларнинг бирор миқдори йигилиб коваклар ҳосил қиласы.

Бошқа ұажмий нұқсонлардан кристаллнинг мозаикалиги ва газ пұфакларини айтиб үтәмиз. Ҳажмий нұқсонлар қаттиқ жисмлар физик хоссаларига мұхим таъсир күрсатади. Буни қисман айрим ұажмий нұқсонлар тұғрисида тұхталғанда гапириб үтдик.

Макронұқсонларға эга бўлган жисмларда диффузияни тадқиқлаганда иккى омилга алоҳида эътибор бериш керак. **Биринчидан**, диффузия коэффиценти анизотроп бұлади, у албатта диффузия оқимини аниқлашда мұхим. **Иккинчидан**, дарзлар тури бўйлаб атомларнинг диффузион ҳаракатчанлиги мұхим даражада ортиқ бұлади.

Коваклар ұажмий диффузия фронтини камайтиради, бу эса диффузион оқимни камайтиради. Лекин, коваклар билан боғлиқ сиртий диффузия қаттиқ жисм орқали диффузияни ортиради.

Макро нұқсонли қаттиқ жисмларнинг механик хоссалари ҳам нұқсонлар табиати, зичлиги ва бошқа характеристикаларига боғлиқ, макронұқсонлар қаттиқ жисмнинг эластиклик модулларига мұхим таъсир күрсатади. Масалан, коваклар нисбий ұажми  $K = V_{\text{ков}} / (V_{\text{ков}} + V_c)$ , бунда  $V_c$  — коваксиз қатлам ұажми,  $V_{\text{ков}}$  — коваклар ұажми. Ковакли ва коваксиз жисмлар силжиш модули ( $G^*$  ва  $G$ ) ва ҳар тарафлама қисилиш модули ( $H^*$  ва  $H$ ) ифодаларига киради:

$$G/G^* = 1 - 5K(3H+4G)/(9H+8G).$$

$$\frac{1}{H} = \frac{1}{H(1-K)} + \frac{3}{4G} \cdot \frac{K}{1-K} \quad (6.30)$$

Бу ифодалар тажрибаларда тасдиқланган.

Көвакли жисемде эластик тұлғыннинг тарқалиши эластик-лик күчланишлари (босим) ва температура тебранишлари вұжудға келини билан бөглиқ. Бундай тұлғын, шунингдек, көвакнинг қаттық фаза билан чегарасида фазавий мувозанат шарттарнинг бузилишидан ҳам пайдо бўлади. Паст товуш такрорийликларда бир ўтиш даврида вакансия панжарадан көвакка ва тескарича ўтишга улгурасида эластиклик модули бир фазали системаникдан кам бўлади, товуш тезлиги  $v_o$  кичик бўлади. Катта такрорийликларда вакансия панжарага ва тескарича ўтишга улгурасида эластиклик модули такрорийликка бөглиқмас, товуш тезлиги  $v_o$  каттароқ бўлади.

## 6.6. Нуқсонлар диффузияси

Диффузия жараёни системанинг атомлар зичлигини тенгләштиришга ўз-ўзидан интилишидан иборат. Атомлар кам булган йұналишда күчади. Системада атомлар күчиши тартибсиз дайдиши оқибатида юзага келади. Шу йўсинда системадан бир вақтда тартибсиз – иссиқлик ҳаракати ва йұналган – дрейф ҳаракати мавжуд бўлади. Кейинги ҳаракат системада қандайдир куч таъсирила содир бўлади. Бу куч вазифасини зичлик, температура, электр потенциал ёки умумий ҳолда кимёвий потенциал градиентлари бажаради.

Тартибсиз иссиқлик ҳаракатининг ўзи диффузион оқим ҳосил қилмайди. Қаттиқ жисемдаги иссиқлик тебранишлари диффузияга олиб келмайди.

Диффузия жараёни миқдоран баҳолаш учун зарур бўлган тенгламаларни шакллантирайлик.

Аввало диффузион оқим зичлиги тушунчаси I ни киритамиз.

Диффузион оқим жисемнинг бирлик сиртидан бирлик вақтда диффузиялаб ўтган модда миқдори бўлиб, у

$$I = dQ / Sdt \quad (6.31)$$

кўринишида ифодаланади, бунда  $dQ$  – жисмнинг  $S$  – сирти орқали  $dt$  - вақтда ўтган модда миқдори кесим юзига, модда зичлиги градиенти  $\frac{\partial c}{\partial x}$  га,  $dt$  вақтга пропорционал қатталик:

$$dQ = -DS(\partial c / \partial x)dt. \quad (6.32)$$

Бундаги D-диффузия коэффициенти. (6.32) ни (6.31) га қўйсак,

$$I = -D(\partial c / \partial x). \quad (6.33)$$

Фик биринчи қонуни ифодаси ҳосил бўлади. Уч ўлчовли ҳолда у

$$\vec{I} = -D\nabla c \quad (6.34)$$

кўринишида бўлади.

Диффузияланувчи модда – диффузантнинг вақт ва фазода ўзгаришини Фик нинг 2-қонуни ифодалайди, уни биринчи қонун ва узлуксизлик тенгламасидан  $\frac{\partial c}{\partial t} + \frac{\partial I}{\partial x} = 0$  келтириб чиқарилади:

$$\frac{\partial c}{\partial t} = D \frac{\partial^2 c}{\partial x^2} \quad (6.35)$$

(6.35) тенгламани ечиб, зичлик  $c(x,t)$  ёки уч ўлчовли ҳолда  $c(x,y,z,t)$  тақсимоти аниқланади.

Кўпчилик ҳолларда бу ечимлар бир ўлчовли ҳолда

$$c \sim t^{-1/2} \exp(-0,25x^2/Dt) \quad (6.36)$$

кўрсаткичли функция кўринишида ёки бошқа

$$c \sim \left| 1 - \operatorname{erf}(0,5x/\sqrt{Dt}) \right| \quad (6.37)$$

функция орқали ифодаланади.

Бу ечимларда

$$L_D = \sqrt{Dt} \quad (6.38)$$

катталик узунлик үлчамига эга, уни диффузион узунлик дейилади. Тадқиқотлар диффузия коэффицентининг температурага боғланиши учун

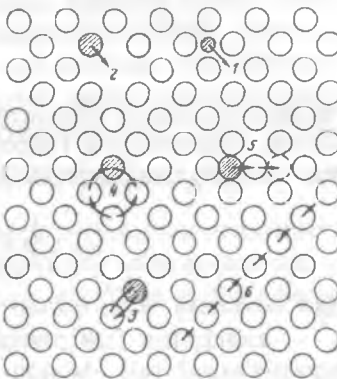
$$D = D_0 \exp(-W/kT) \quad (6.39)$$

ифодани беради.

Бунда  $W$  – диффузион энергетик түсиқ баландлиги.

Биз иккита энг қизиқарли механизм – түгунлараро ва вакансиялар бўйлаб диффузияниш механизмларини куриб чиқамиз. Улар 6.12-чизмада 1 ва 2 сонлари билан белгиланган.

(6.39) ифодага биноан диффузияланувчи зарра бир мувозанатий вазиятдан иккинчисига ўтиш учун энергетик  $W$  түсиқдан ошиб ўтиши керак. Зарраларнинг бу сакрашини газда атомларнинг тўқнашишига ухшатилса ва кинетик назариянинг молекулалар диффузияси учун



6.12-чизма. Кристалл панжарасида киришмалар диффузиясининг имконий механизмлари(киришма атом-чиқланган доира):  
 1. Содда, түгунлараро;  
 2. Вакансион;  
 3. Содда, алмасиниш;  
 4. Циклик алмасиниш;  
 5. Сиқиб чиқариш, түгунлараро;  
 6. Краудион диффузия.

$$D = \bar{\lambda} \cdot \bar{v}/3 \quad (6.40)$$

ифодаси ( $\bar{\lambda}$  – газда зарранинг эркин югуриши ўртача узунлиги,  $\bar{v}$  – ўртача иссиқлик тезлиги) кўлланса бўлади. Агар  $l$  – диффузион узунлик тартибидаги катталик  $\bar{\lambda}$  – ўрнига олинса  $\tau$  – зарранинг мувозанатий ҳолатда бўлиш вақти бўлса, унда диффузион сакраш тезлиги  $v = l/\tau$  бўлади. Энди  $l/3$  кўпайтувчи ўрнига кристалл панжарада атомлар жойлашиши геометриясини ҳисобга олувчи  $\alpha$  – коэффициент олинса, қаттиқ жисм учун (6.40) ўрнига

$$D = \alpha l^2 / \tau \quad (6.41)$$

деб ёзиш мумкин.

Суқилиш қаттық әрітмаларда атомлар диффузияси (Верта Зинер)  $(l/\tau)=v$  диффузион сакрашлар тақориийлиги кири-тилса,

$$D = \alpha l^2 / \tau = \alpha l^2 v \quad (6.42)$$

$v$  күттәликтің үтишлар Рәхимоллиғи орқали

$$v = v_0 g P \quad (6.43)$$

мұносабат ёрдамида ифодалаш мүмкін, бунда  $v_0$  — суқулған атомнинг тебранишлар тақориийлиги,  $g$  — координацион сонга тенг сакрашлар имконий йұналишлари сони

$$v_0 = [\Delta E_m / (2M l^2)]^{1/2} \quad (6.44)$$

ифода назарий йүл билан көлтириб чиқарылған, бундаги  $\Delta E_m$  — диффузия (миграция)ни активлаш энергияси,  $M$  — диффузияланған модда массасы. Бир түгүнлар оралигидан иккінчисига үтиш әхтимоллиғи (доимий босимда) әркін энергиянинг  $\Delta F$  үзгариши орқали

$$W = \exp[-\Delta F/kT] \quad (6.45)$$

ифодаланади, бундаги

$$\Delta F = \Delta E_m - T \Delta S_{mT} \quad (6.46)$$

Юқоридаги ифодалардан суқилиш қаттық әрітмасидаги киришма атомлар диффузия коэффициенти анықланади:

$$D = D_0 \exp[-\Delta E_m / kT], \quad (6.47)$$

бунда

$$D_0 = \alpha g l^2 v_0 \exp(\Delta S_m / k). \quad (6.48)$$

Верт ва Зинер назариясіда

$$\Delta S_m = \Delta E_m \frac{\partial}{\partial T} (G'/G'_0) \quad (6.49)$$

муносабат олинганиким, у диффузия энтропиясини баҳолаш ва  $D_0$  ни аниқлаш имконини беради. Бу ифодадаги  $G$  — сильжиш модули,  $G_0'$  — мутлоқ нөл (0К) даги сильжиш модули. Аммо бунда  $\Delta E_m$  активлаш энергияси ва силжини модулининг температурага боғланиши маълум бўлиши керак.

**Урин эгалланган каттиқ эритмаларда атомлар диффузияси** на-зариясида ҳам  $D=gF^2/kT$  дастробки тенглама бўлиб, лекин диф-фузия параметрлар бошқача физик маънога эга. Дарвоҳе, у тақорорийлик мазкур эритмаларда яна диффузияланадиган атом қўшни вакансия ҳосил бўлиши эҳтимоллигига ҳам боғлиқ:

$$v = g v_0 W_{FV} = g v_0 \exp[\Delta F/kT] \left[ \exp[\Delta F_V/kT] \right] \quad (6.50)$$

Бу ерда  $v_0$  — кристалл панжараси тугунидаги атомнинг теб-ранишлар тақорорийлиги,  $\Delta F$  — ўша (6.46) қўринишга эга.  $v$ ,  $\Delta F$  ва  $\Delta F_V$  ларни (6.42) ифодага қўйсак, (6.47) ва (6.48) ифодаларни ҳосил киласмиш, аммо уларда

$$\Delta E_m = \Delta E'_m + \Delta E_V; \quad \Delta S_m = \Delta S'_m + \Delta S_V. \quad (6.51)$$

Чизиқчали катталиклар сакраб ўтишга тегишилдири. Демак, диффузия жараёни миграция (кучиши)  $\Delta E_m$  — энергияси орқали аниқланади, аммо у тугунлараро диффузия ва тугунлар бўйлаб диффузия ҳолларида фарқли булади. Бу энергия ней-трап атомлар ёки ионлар диффузияланниши ҳолларида ҳар хил булади.

**Макронуқсонли каттиқ жилемларда диффузия.** Бу ҳолда ҳолисани икки хусусиятини ҳисобга олиш зарур. **Биринчидан**, диффузия коэффициенти анизотроп катталик. Шунинг учун поликристаллнинг ихтиёрий ҳар хил йўналган доналарида зич-лик градиенти йўналишидаги диффузион оқимлар турли булади. **Иккинчидан**, дарзларнин ривожланган тури бўйлаб атомлар диффузион ҳаракатчанлиги ортиши муҳим, бунини оқибатида макроскопик диффузион оқим ортади. Макро-нуқсонли каттиқ жилемда  $D^*$  диффузия коэффициенти нуқсонсиз кристаллда  $D$  диффузия коэффициенти билан боғлиқ. Буни аниқлаш учун киришмалар зичлигинини

$$c = \left[ 0.5 c_0 / \sqrt{\pi D t} \right] \exp \left[ -x^2 / 4 D t \right] \quad (6.52)$$

ифодасидан фойдаланамиз. Бунда  $D$  ни  $D^*$  га алмаштириб, сүнг  $c = \bar{c}$  деб олинса, изланаетган  $D^*$  диффузия коэффициенти ифодаси ҳосил бўлади:

$$D^* = \frac{x^2}{4t} \left[ \frac{x^{4/3} D_0^{1/3}}{2(\delta' D_s/3)^{2/3} t^{1/3}} \right] - \ln \left[ \frac{6D_0^{1/6} (\delta' D_s/3)^{2/3} t^{5/6} (\pi\pi^* I)^{1/2}}{Lx^{4/3}} \right] \quad (6.53)$$

Масалан,  $D_0 \approx 10^{-14} \text{ м}^2/\text{с}$ ,  $x \approx 10^{-3} \text{ м}$ ,  $L \approx 10^{-4} \text{ м}$ ,  $\delta' D_s \approx 10^{-17} \text{ м}^3/\text{с}$  бўлса,  $D^*/D_0 \approx 10+10^2$ . Бу  $L \approx 10^{-4} \text{ м}$  бўлганида макронуқсонсиз кристаллда диффузия коэффициенти макронуқсонли кристаллдагидан ўнларча марта ортиқ бўлар экан. Ҳисоблар ва тахлилнинг тасдиқлашича, йирик коваклар диффузияни сусайтиради. Демак, майда ковакларнинг йирик ковакларга бирлашиши қаттиқ жисмдаги диффузияни пасайтиради.

### Саволлар ва масалалар

1. Тугунлар сони  $10^{22} \text{ см}^{-3}$ , Шотки нуқсони ҳосил булиши энергияси 1,5 эВ бўлса, қайси температурада нуқсонлар (вакансиялар) зичлиги  $10^6 \text{ см}^{-3}$  бўлади?
2. Тугунларнинг умумий сони ва тугунлар оралиғи сони тенг,  $T=300\text{K}$ , Френкел нуқсони ҳосил булиши энергияси 2 эВ бўлганда бундай нуқсонлар сони қанча?
3. Бор ва Фосфор элементлари кремнийда қандай қаттиқ эритма ҳосил қиласи? (6.2-жадвалдан фойдаланинг).
4. 141-бетдаги маълумотдан фойдаланиб, ишқорий металлар галогенидларига  $F$ -марказлар қандай ранг беришини аниқланг.
5. Нуқсоннинг таърифи қандай?
6. Нуқсонларга боғлиқ электронлар энергетик ҳолатлари кристаллнинг зоналаридаги ҳолатлардан қанақа фарқ қиласи?
7. Нуқсонларнинг ўлчамлар бўйича синфланиши қанақа?
8. Экситонлар, поляронлар, электрон — ковак жуфтларининг моҳияти нимада?

9. Вакансияларнинг қандай хиларини биласи з, улар орасида қандай фарқлар бор?
10.  $F$  — марказлар нима?
11. Радиацион нүқсонлар қанақа?
12. Бюргерс контури ва вектори нима?
13. Дислокациялар нима? Уларнинг қандай турлари бор?
14. Яримұтқазгичларда электронлар энергетик спектрига дислокациялар қандай үзгаришлар кирилади?
15. Кристалларда қандай ясси нүқсонлар бор ?
16. Қаттиқ жисмларда қандай ұжмий нүқсонлар бор ?
17. Қаттиқ жисмларда макроқұчланишлар вужудға келиши үмумий шартлари қанақа?
18. Күп қатламлы қаттиқ жисм түзілмаларыда макроқұчланишларнинг қандай асосий манбалари мавжуд?
19. Дарзлар пайдо бўлиши сабаблари қандай?
20. Қаттиқ жисмдә көваклар қандай ҳосил бўлади?
21. Макронүқсонлар қаттиқ жисм хоссаларига қандай таъсир курсатади?

## VII БОБ

### АМОРФ ҚАТТИҚ ЖИСЕМЛАР. СУЮҚ КРИСТАЛЛАР

Критик нүктадан йироқдаги қаттиқ жисемлар ва суюқликларни конденсирланган (зичланган) системалар дейилди ва улар газларга нисбатан миллионларча кичик қисилувчанликка эга. Масалан,  $\text{NaCl}$  кристаллининг қисилувчанлиги  $0,3 \cdot 10^{-11} \text{ м}^2/\text{н}$ , суюқ симобиники  $-3,8 \cdot 10^{-11} \text{ м}^2/\text{н}$ , аммо атмосфера босими остидаги ҳавонинг қисилувчанлиги  $10^{-5} \text{ м}^2/\text{н}$ .

Зичланган системаларда зарралар аро масофалар уларнинг диаметри чамасида, газларда эса атмосфера босими остида зарралароро ўртача масофалар уларнинг ўлчамларидан ўнларча ва купроқ марта катта бўлади.

Зичланган системаларда зарраларнинг иссиқлик ҳаракати тебранишлардан иборат, газларда эса зарралар илгариланма ҳаракат қиласди.

Зичланган (конденсирланган) системаларнинг беш хили маълум: суюқликлар, шишалар, суюқ кристаллар, аморф қисилувчанликлари, қаттиқ кристаллар.

*Суюқликлар* — мувозанатли, изотроп, тузилиши тартибланмаган системалар бўлиб, оқувчанлик, яъни ўз шаклини осон ўзгартира олиш қобилятига эгадир.

*Шишалар* — квазимувозанатли, изотроп, тузилиши тартибланмаган системалар бўлиб, қаттиқ жисемларнинг механик хоссаларига эга. Шишалар шаклини эластик равишда ўзгартира олади, уларда буйлама ва кўндаланг эластиклик тўлқинлари тарқала олади.

*Аморф жисемлар* — кучли даражада мувозанатсиз, мизатроп, тузилиши тартибланмаган системалар бўлиб, улар алоҳида шароитда ҳосил бўлади.

*Суюқ кристаллар* — мувозанатли, анизотроп, тузилиши қисман тартибланган системалар бўлиб, катта оқувчанликка эга.

Қаттиқ кристаллар — мувозанагли, анизотроп, гузилишиң қаътий таргиди системалардир.

Бу маълумотни келтиришдан мақсад — зичланган система-лар хиллари орасидаги тафовутларни яна бир марта таъкидлашадир.

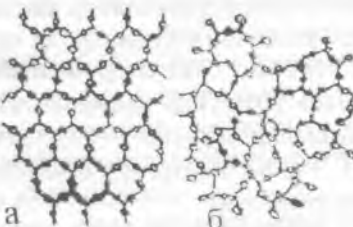
### 7.1. Аморф қаттиқ жисмлар

Юнонча απορρόφησις сўзи бизнингча шаклсиз деган маънони англатади. Табнатда аморф қаттиқ жисмлар кристал ҳолатидаги жисмлардан камроқ тарқалган.

Аморф ҳолат — модданинг изотроп хоссали бўладиган ва суюлиш нуқтаси (тайинли температураси) бўлмаган қаттиқ ҳолати. Температура ошганда аморф модда аста-аста суюқ ҳолатга ўтади. Бу ҳусусиятларнинг сабаби аморф ҳолатдаги моддада аморф жойланишда кристалларга хос қаттий (7.1-чизма, а) даврийлик (тартиб) бўлмаганилиги. Шу билан бир вақтда қўшни зарралар жойлашишида муайян мослашув (яқин тартиб) мавжуд (7.1-чизма, б). Масофа ортиши билан бу мослашув йўқола бошлиайди ва бир неча атомлараро масофада йўқолади.

Яқин тартиб суюқликларга ҳам хос, аммо суюқликда (қовушоқлик ортган сари қийинлашади) қўшни зарраларнинг тез ўрин алмашиниши юз беради. Шунинг аморф ҳолатдаги қаттиқ жисмни жуда юқори қовушоқликка эга бўлган ўта со-вуган суюқлик деб қараса бўлади.

Паст температураларда кристалл ҳолати термодинамик жиҳатдан барқарор бўлади. Бироқ, кристалланиш жараёни мазкур температураларда жуда кўп актга чўзилини мумкин, шунинг учун кристалл ҳолати амалда рўёбга чиқмайди. Суюлмани тез совутганда аморф ҳолат ҳосил бўлали. Масалан, кварцни аввал суюлтирилади, сўнг уни тез совутиб аморф кварц шиша олинади. Дарвоқе, шиша ҳолатдан суюлмага ва суюлмадан шиша ҳолатга ўтиш қайтар жараён бўлиб, у фақат шу турдаги моддаларга хосдир. Шиша ҳосил бўлиши жараёни муййаян температура оралигида юз беради. Модданинг шиша



7.1- чизма. а – кристал; б – аморф қаттиқ жисм тузилиши

ұлатидан кристалл қолатта утиш биринчи жисе фазавий үтиш булади. Күни солда мөдделар ( $S$ ,  $Se$ ,  $As$ ,  $P$ ), оксидлар ( $B_2O_3$ ,  $SiO_2$ ,  $FeO_2$  ва бошқалар), сувли әритмалар ( $H_2SO_4$ ,  $H_3PO_4$ ,  $HCl$ ) баъзи элементлар ( $Ge$ ,  $As$ ,  $P$ ) халкогенидлари, баъзи галогенидлар ва карбонатлар сувли әритмалари шиша ҳолатида булиши мумкин. Шиша ҳолатидаги моддада атомлар ва атомлар гурухлари орасида устун равишида ковалент боғланиши мавжуд. Құшни атомлар жойлашишида тартиб борлигини дифференциал тадқиқот усууллари аниқлад беради.

Шиша ҳолатидаги моддалар изотроп, мурт, ёрилған сиртда чукур ҳосил булади, күп ҳолда шаффофф булади. Бундай моддаларда қушалоқ нур синиши кузатилади, люминесценция амалда күчсиз булади, уларнинг купи аслига диаметрик булиб, сийрак ер элементлари оксидлари құшилғанда улар парамагнитга айланади, электр хоссалари буйича диэлектрик аммо айримлари ярим үтказгич ва металл хоссаларга эта булади.

Металл шишелар металлар суюлмаларини жуда тез совутганда (совутиш тезлиги  $v \leq 10^6$  град/сек) ҳосил булади. Метал шишелар таркиби: ~80% үтма металлар ( $Cr$ ,  $Mn$ ,  $Fe$ ,  $Co$ ,  $Ni$ ,  $Zr$ ,  $Pr$ , ва бошқалар) ёки олий металлар ва ~20% күп валентли металмаслар.

Мисоллар:  $Au_{81}Si_{19}$ ,  $Pd_{81}Si_{19}$ ,  $Fe_{80}B_{20}$  3-5 таркибловчили қотишмалар ҳам мавжуд. Бу моддаларни тадқиқлаш қаттық жиесмларнинг металлик, магнит ва бошқа хоссаларини үрганиш имконини беради. Юқори даражадаги мустаҳкамлик билан бирга катта пластиклик ва занглашта нисбатан юқори чидамлилик моддалар ва буюмларни мустаҳкамлашда мазкур шиша металлардан фойдаланиш имконини яратади. Уларнинг баъзилари ( $Fe_{80}B_{20}$ ) ферромагнит булиб, паст коэрсетив күчга ва юқори магнит сингдирувчанликка эта ва уларни магнит юмшоқ материаллар сифатида құллаш мумкин. Аморф магнит материалларнинг яна бир муҳим синфи – үтма металлар арашынан сийрак ер элементлари қотишмаларидир.

Металл шишеларнинг электр ва акустик хоссаларидан (юқори кattаликли ва температурага суст боғланиши элекстр қаршилил, товушни кам ютиши) фойдаланиш имкониятлари бор.

Юқорида аморф моддаларнинг ярим үтказгич хоссаларига эта булишлиги айтилмаган эди. Бундай моддаларнинг бир неча хил гурухлари бор: ковалент аморф яримүтказгичлар (аморф

холатдаги Ge ва Si, GaAs ва бошқалар), оксид шишалар ( $V_2O_5$  –  $P_2O_5$ ), халкогенид шишалар ( $As_{31}Ge_{30}Se_{21}Te_{18}$ ), диэлектрик пардалар ( $SiO_x$ ,  $Al_2O_3$ ,  $Si_3N_4$  ва бошқалар). Аморф ярим үтказгични күчли даражада компенсиранган ярим үтказгич деб қаралади, бунда үтказувчанлик зонаси “туби” ва валент зонанинг “шипи” флюктуацияланади, улар тақиқланган зона  $E_g$  кенглиги тартибида бұлади (ярим үтказгичда электронлар энергиялари зоналари ҳақида “Ярим үтказгичлар” бобида батағсил тұхталамиз). Үтказувчанлик зонасида электронлар ва валент зонасидеги көваклар юқори түсіктер билан ажралған потенциал чуқурларда жойлашған “томчи”ларға бұлиніб кетади. Паст температураларда аморф яримүтказгичларнинг электр үтказувчанлигы мағаллий ҳолатлар орасыда сакрама тарзда бұлади (сакрама үтказувчанлик). Юқорироқ температураларда аморф яримүтказгичларнинг электр үтказувчанлигини электронларнинг умумлашған ҳолатларига исекілек ҳаракати энергияси әвазига үтказилиши аниқтайды. Аморф яримүтказгичларнинг бир қатор ажойиб хоссаларидан турли амалий мақсадларда фойдаланиш мүмкін. Халкогенид шишалар спектрининг ИК соңасыда шаффоф бұлғанлиғи, юқори электр қаршиликтікка ва фотосезгирилікке әгалігі туфайли телевизион трубкаларнинг электрофотографик пластинкаларини тайёрлашда ва голограммаларни ёзишда құлланилади.

Аморф яримүтказгичларда юқори омли ҳолатдан паст омли ҳолатга ва аксинча қайта уланиш эффекти ёрқын ифодаланған, у ишга тушиш үшін  $\leq 10^{-10} - 10^{-12}$  с бұлған элементлар яратиш имконини беради.

Аморф моддалар ташқи таъсирлар – температура электр, магнит майдонлар, ёруглик, деформация, киришмалар таъсирида үз хоссаларини үзгартыра олишлигі билан бир қаторда уларни олишдеги технология жараёнларнинг қандай бориши ва қандай шароитда үтказилишига бояғып бұлади.

## 7.2. Гидридланған аморф кремний ( $\alpha$ -Si : H)

70-йилларда (XX аср) аморф тузилишли кремнийдан амалий мақсадларда самарали фойдаланиш мүмкінлегін ишботланғандан кейин бу моддани ҳосил қилиш ва унинг физик-техник хоссаларини үрганиш бүйіча жадал тадқиқотлар

утказила бошлади. ҳозир бу йұналишда анчагина назарий ва амалий натижалар бор.

Муайян тағлиқда ўстирилаётган кремний ( $\text{Si}$ ) пардасига (юпқа қатламига) водород ( $\text{H}$ ) киритилса у үсаётган пардадаги узилган кимёвий бөгланишлар сонини камайтириши мүмкін. Бундай кремнийни гидридланган аморф кремний дейилади ва  $\alpha\text{-Si:H}$  шактда белгиланади. Одатда  $\alpha\text{-Si:H}$  бир неча усулда тайёрланади—милтиллама зарядсизланишда газларни парчалаш, ионлар киритиш ва катод пуркаш (чанглатиш) усуллари ишлаб чиқылған.

Милтиллама зарядсизланиш усулини қарайлик. Бу усулда сиylan ( $\text{SiH}_4$ ) газини гелий ( $\text{He}$ ) ёки арсений ( $\text{Ar}$ ) газлари атмосферасида  $\text{H}_2$  гази билан биргалиқда парчалаш орқали  $\alpha\text{-Si:H}$  пардалари ўстирилади. Юқори тақрорийликни милтиллама зарядсизланишда құзғатувчи индуктивлик фалтаги ва зарядсизланиш камераси (бұлмаси) қурилма асоси бұлади. Бундай тақрорийлик оралиғи 0,5-13,5 МГц, босим 0,1-2,0 мм.сим. устуни, газнинг сарфи 0,2-5,0  $\text{cm}^3/\text{мин.}$ , ўстириш тезлиги 100 - 1000 айл/мин бұлади.

Тоза бир жинсли тузилиш ҳосил қилиш учун икки электродли қурилмадан милтиллама зарядсизланиш йүли билан газларни парчаланади, бунда зарядсизланиш бұлмасида иккита параллел электрод жойлашған, у 13,5 МГц тақрорийликқа ишлейді.

Ұзгармас ток зарядсизланишидан ҳам  $\alpha\text{-Si:H}$  олишда фойдаланиш мүмкін. Агар тағлиқ катод вазифасини бажарса, у ҳолда ўстириш тезлигини 0,1 дан 1,0 мкм/мин гача етказиши мүмкін.

$\alpha\text{-Si:H}$  пардаларни анод тағлиқда ҳам ўстириш мүмкін. Бу ҳолда ўстириш тезлиги катод тағлиқ ҳолидагидан кичик бұлади, у билан газининг босимига токнинг катталигига ва тур электродининг қолатига боелиқ.

Тағлиқни қыздырыш чегараси тахминан  $600^\circ \text{C}$  гача мүмкін дейилсада, аммо айрим ҳолларда тағлиқ температураси  $200 - 400^\circ \text{C}$  оралиқда бұлғанда парда нұқсонли булиб қолиши мүмкінligи ҳам қайд қилинған,  $\text{SiH}_4$  нинг босими юқори бұлғанда милтиллама зарядсизланиш қурилмаларыда ўстирилған пардаларда турли радикаллар пайдо бұлади, ёки полимерланиш күзатилади.

Гидридланган аморф кремний намуналари легирланмасдан тайёрланади, аммо ўстириш пайтидаги технологик жараён шартларини ўзгаририш ҳисобига Ферми сатҳи  $E_F$  силжитиши мүмкін. Бу ҳодисаны псевдолегирлаш дейилади. Бунда намуна панжарасининг ўзгаришлари ҳолатлар зичлиги  $g(E)$  ни ўзгариради, бу эса үтказувчанлик электронлари зичлигини ўзгариради, заряд ташувчиларнинг фаолланиш энергияси  $\Delta E = E_C - E_F$  ҳам үтказувчанликни ўзгариради.

Псевдолегирлаш усули билан  $\alpha\text{-Si:H}$  пардаларини (қатламларини) ўстириш учун триодли система қўлланилади. Триод тўри кучланиш танланадики, бунда кучли зарядсизланиш анод — тўр оралиғида бўлади, газлар аралашмасининг парчаланиши анод — тўр оралиғида юз беради.

Шундай қилиб, аморф кремний олиш кристалл кремний олишга нисбатан анча арzon, бинобарин, унинг қўлланиш имкониятини оширади. Аморф моддаларнинг физик, технологик, техник жиҳатдан ўрганиши уларнинг қўлланиши соҳаларини тобора кенгайтирмоқда. Бундай материаллар янги ҳисоблаш машиналарида, ёзув ва алоқа воситаларида, айниқса қўёш энергиясидан фойдаланишда самарали равишда ишлатилмоқда, янги қулланиш жабҳалари очилмоқда.

### 7.3. Суюқ кристаллар

Энди суюқ кристалларнинг тузилиши ва хоссаларига тегишли маълумотларни баён қиласиз.

Суюқ кристаллар қаттиқ жисм ва суюқ жисм орасидаги (мезаморф) фазалардир, улар кристаллга хос анизотропия хосасига эга ва бир вақтда суюқликка хос оқувчанлик хосасига эга. Суюқ кристаллар термодинамиканинг фаза тушунчасини қанотлантиради. Улар муайян температуралар оралиғида мавжуд бўлади, ундан паст температураларда эса изотроп суюқликка айланади. Суюқ кристаллар молекуляр моддалардир ва уларнинг тузилиши кристалларга ва суюқликларга хос тузилишлар оралиғида бўлади. Суюқ кристалларнинг физик хоссаларини бошқариш осон, бу хусусият уларнинг назарий ва амалий аҳамиятини тақозо қиласиз.

Суюқ кристалларнинг молекулалари чўзиқ бўлади ва бу биринчи навбатда, уларнинг тузилиши ҳамда хоссаларини

аниқлаб беради. Молекулалар орасида икки хил боғланиш – ёнлама ва охирлама боғланишлар мавжуд. Ёнланма боғланишлар молекулаларнинг бир-бирига параллел жойлашишига, охирланма боғланишлар занжирчалар күринишда тузилишига олиб келади. Биринчи жойлашиш анизотроплик хоссаларин пайдо қиласы, молекулалараро таъсирнинг заифлиги окувчанлик хоссасини аниқлады.

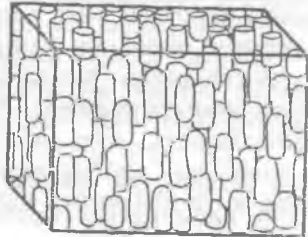
Суюқ кристалларнинг уч хили: нематик, смектик ва холестерик суюқ кристаллар мавжуд.

1. *Нематик суюқ кристалл* (юнонча «нема»-тола). Бундай кристалларда молекулалар ўқлари бир-бирига параллел йұналған, аммо молекулаларнинг ўзи бир бирига нисбатан ихтиёран силжиган (7.2- чизма).

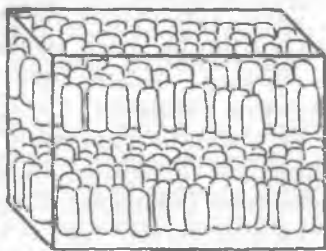
Оқибатда бундай моддада молекулаларнинг чизиқиій йұналғанлығы вужудаға келади. Нематик кристаллар оптик жиҳатдан бир ўқли ва мусбат бұлады. Молекулалар ўқлари йұналиши билан бирдей бұлған оптик ўққа параллел равища да ёруғлик тарқалиши тезлигі мазкур ўққа тик йұналиштаги ёруғлик тезлигидан катта ( $V_{||} > V_{\perp}$ ). Бинобарин, оддий нур ва нооддий нур синиши курсаткичлар ҳам тенг эмас, яны  $n_{||} < n_{\perp}$ , бу эса мусбат кристаллар электр ва магнит майдонлар билан ўзаро таъсирлашади демак-дир.

Неъматик кристалл бұлған параазоксианизолнинг (у бу ҳолатда 116 °-136° С оралиқда бұлады) қовушоқлиги оқим йұналишига тик бұлған күчсиз магнит майдонда күчли даражада үзгаратылады.

2. *Смектик суюқ кристалл* (юнонча смегма-совун). Бундай кристалларда молекулалар бир бирига параллел йұналған бир молекула қалинлигидаги ясси қатламларга тицилған бұлады (7.3- чизма).



7.2- чизма. Нематик суюқ кристалл.



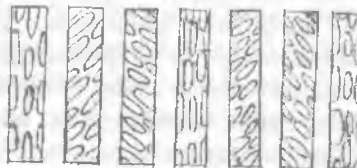
7.3- чизма. Смектик суюқ кристалл.

Смектик суюқ кристалл мисоли совун пуфаги пардасидир (7.4-чизма), унинг ташқи ва ички сиртлари смектик қатламлардир. Сиртий қатламлардаги совун молекулаларининг узаро тортилиши пуфагининг барқарор булиши учун зарур булган сиртий тарангликни вужудга келтиради. Совун пуфагини шиширганда ва унинг ўлчами каттайғанда парданинг совун эритмаси эркин молекулалар қатламларида жой әгаллаб пулакнинг диаметрини ортиради. Пуфак қисилғанда совун молекулалари қатламларидан қисиб чиқаради ва яна эритмага утади.

3. *Холестерик суюқ кристаллар*. Таркибида холестирин булган күп бирималар суюқ кристалл фазаси ҳосил қылганидан бу ном келиб чиққан (холестириининг ўзи бундай фаза ҳосил қилмайди). Холестерик суюқ кристаллар смектик-нематик турдаги аралаш тузилишга эга бұлади.

Уларда молекулалар, смектиклардагига ұхшаш, параллел қатламларда жойлашади (7.4-чизма), лекин ҳар бир қатламда молекулалар үқлари нематик турдаги қатламларга параллел бұлади. Ҳар бир қатлам күшни қатламга нисбатан муайян бурчакка бурилади. Холестерин молекуласи метил  $\text{CH}_3$  гурухлар билан ясси тузилишга эга, метил гурухлар эса молекула текислиги устида ва остида жойлашган. Ҳосил бұладиган учник жойлар ҳар бир қатламда молекулалар үқларининг олдинги қатлам үқларига нисбатан уртача 15' га бурилишига сабаб бұлади. Натижавий бурилиш қатламлар сони ортган сайн ошиб бориб ~ 300 қатламга тенг қадамли спиралсімон тузилиши ҳосил қилади.

Холестеринлар оптик жиҳатдан бир үқли ва манфий ( $n_{\perp} > n_{\parallel}$ ), молекулалари үқлари йұналишлари (нематик ва смектик кристаллардан фарқлы равишда) оптик үққа тик бұлади. Холестериннинг спиралсімон тузилиши оптик активликнинг, яғни ёргулік қутбланиш теэлигининг бурилишига сабаб бұлади. Молекуляр қатламларга тик бұлган оптик үқ бүйлаб утаёттан чизиқий қутбланған ёргулік ўз электр векторининг йұналишини изчил равишида спирал буйича муайян бурчакка үзгартыриб боради, бу бур-



7.4-чизма. Холестерик суюқ кристалл.

чак кристалл қалинлигига пропорционал булади. Масалан, α-кварцдан күтбланган ёруғлик үтганды у 1 мм йүлдө қутбланиш текислигини  $20^\circ$  га буради. Холектеристикларнинг оптик активлигиги анча катта – у  $18000^\circ$  га етади, бу эса қалинликни 1 мм га 50 марта тұла айланышни ташкил қылади.

Энди уч суюқ кристалларни таърифлагач, уларнинг мұхим хосса ва хусусиятлари, құлланишлари ҳақида тұхталамиз.

Суюқ кристаллар маълум бүлганса кимёвий бирикмалар сони бир неча минг чамасида. Улар баъзи қаттық (mezogen) кристалларни қыздирғанда ҳосил бүләди: даставал суюқ кристал ҳолатга фазавий үтиш юз беради, кейин қыздырыш давом эттирилса суюқ кристал оддий изотроп суюқликка айланади. Ҳар бир суюқ кристалл муайян температуралар оралиғида мавжуд бүләди (термометроп суюқ кристаллар). үтиш иссиқлиги жуда кичик. Параазоксианизолнинг нематик сифатида мавжудлық соҳасини юқорида айтдик. Баъзи бирикмалар ва улар аралашмалари -40 дан  $+80^\circ$  С гача оралиқда смектик суюқ кристалл булиши аниқланған. Холестерик суюқ кристаллар мисоллари – холестерик эфиридер. Баъзи органик моддалар смектик фазалар ҳосил қылади, кейингилари нематик суюқ кристалларга үтиши мүмкін. Бир неча смектик мезафазалар ҳосил құлувчи бирикмалар маълум, уларда молекулалар қатламларда үзаро турлича жойлашған. Масалан, бис-фенилендиамин бирикмаси тұртта смектик ва битта нематик модификацияларга әгадир. Яна бошқа ажойиб суюқ кристаллар топилған.

Суюқ кристалларнинг уччала хилида ҳам құшалоқ нурсинни күзатылади. Эслатамиз: құшалоқ нурсиндирадиган модда сиртига тушаёттан қутбланмаган ёруғлик нури моддадан утаётіб чизиқий қутбланаган иккі нурға ажралади (оддий ва нооддий нурлар), уларнинг қутбланиш текисликлари үзаро тик бүләди. Оддий ва нооддий нурларнинг тарқалиши тезликлери ва синиш курсаткичлари ҳар хил. Улар моддадан параллел дасталар тарзидә чиқади. Бу ҳодисаны тадқиқлаш йўли — модданинг суюқ кристаллик ҳолатини аниқлашда энг қулай усул ҳисобланади.

Холестерикларнинг молекуляр тузилиши ички молекуляр кучлар таъсирида жуда нозик равишда мувозанатланған, бу 166

мұвозанат осон бузилиши мүмкін. Молекулалар орасидаги заиф ўзаро таъсирни бузувчи ҳар қандай (оптик, иссиқлик, электр ва ҳоказо) таъсир холестерикнинг энг аввал оптик хоссаларини сезиларлы үзгартыришга олиб келади. Бу ҳодисаларнинг энг яққол мисоли температура озгина үзгарганда холестерик рангнинг үзгаришидір. Масалан уч холестирик аралашмасидан иборат пардада күринадиган ёргулук спектрида фақат 4 с температуралар оралиғида рангни үзгартыриш мүмкін. Бундай пардалардан одамнің касал аъзосини аниқлаш мақсадида одам танаси сиртида температуралар тақсимотини кузатиш учун фойдаланса бұлади. Холестерик паралгонатда температура үзгариши градуснинг улушига қадар бұлғанда ранг үзгәради.

Холестерикларнинг кимёвий бирикмалар бугларига нисбатан фотосезгирилігінде асосан баъзи ҳидларни аниқлайдыған асбоб ясалған.

Холестерикнинг спиралсімон тузилиши күринадиган ёргулук тұлқин узунлиғи тартибіда. Бундай даврий тузилмада ёргулукнинг Вулф-Брэггларнинг  $\lambda=2ds\sin\theta$  ифодаси тавсифлайдыған интерференцияси (ва дифракцияси) кузатылды. Агар  $d=5000$  Å бұлса,  $7000$  Å тұлқин узунлиғи (қызил) ёргулук  $45^\circ$  га бурчак остида танловчан қайтарылади,  $30^\circ$  остида эса  $5000$  Å (күк) ёргулук қайтарылади. Қайтарылыш бурчагининг муайян қыйматыда холестерик пардаси бор рангли булиб күринади. Холестерикларнинг ёй камалак рангни уларнинг спиралсімон тузилиши даври күринадиган ёргулук тұлқин узунлиғи тартибіда эканлиғи билан тушунтирылади. Смектикларда молекуляр қатламлар орасидаги масофа бир неча аңғастрен. Бу ҳолда рентген нурлар танловчан қайтарылади. Баъзи нематикларда қатламлар оралиғи микронлар тартибіда бұлади ва улар инфрақызыл соҳадаги нурланишни танловчан қайтаради.

Суюқ кристаллар амалда кенг құлланилади, айниқса ахборотға ишлов бериш ва тасвирлашда уларнинг электрооптик хоссаларидан фойдаланылади, суюқ кристаллар асосида ЭХМларнинг кейинги авлодлари яратылған. Суюқ кристаллардан электрон соатлар, микрокалькуляторлар, оптоэлектрон

қурилмалар ва бошқаларда құлланилади. Ясси экранлар ишлаб чиқарылмоқда. Холестерик суюқ кристаллардан медицинада (баданнинг юқори температурали жойларини аниқлашда) ва техникада (ИК, УЮТ ва бошқа) нурланишларни құрадиган қилишда, микроэлектрон схемалар сифатини назорат қилишда ва ҳақозолардан фойдаланилади.

### **Саволлар**

1. Аморф қаттиқ жисмларнинг тузилишини тавсифланг.
2. Суюқ кристалларнинг қандай турлари бор?
3. Аморф ва суюқ кристаллар қаерда құлланилади?

## VIII БОБ

### ҚАТТИҚ ЖИСМЛАР СИРТИДАГИ ҲОДИСАЛАР

#### 8.1. Умумий маълумот

Қаттиқ жисм сирти — ҳамма вақт икки фаза (муҳит)ни ажратиб турадиган чегарадир. Бу чегара бир томонда қаттиқ жисм ва иккинчи томондан, газ, суюқлик ёки бошқа қаттиқ жисм орасида бўлади. Шунинг учун ажратиш сирти чегаранинг ҳар икки томонидаги фазалар билан ўзаро таъсирилашади.

Сирт билан боғлиқ масалаларни ечиш ярим ўтказгичли асбобларни ишлаб чиқариш ва қўлланишида муҳим, чунки сирт хоссаларининг бекарорлиги, уларнинг беназорат ўзгаришлари асбобларнинг ишлаш муддатини камайтиради ва ишончли ишлашини пасайтиради.

Металларнинг занглаши ва оқибатда уларнинг бузилиши ҳам сирт хоссаларига боғлиқ бўлади.

Қаттиқ жисм сиртининг баъзи умумий ҳолатлари ҳақида тұхталайлик. Бириңчидан, сиртда кристалл ҳажмидаги атомларнинг даврий жойлашиши бузилади (кесилади), натижада тугалланмаган (узилган) кимёвий боғлар пайдо бўлади. Бошқача айттанды, сирт мавжудлигининг ўзи кристаллдағи ичкі потенциал даврий майдоннинг бузилишидир. Бу даврий-ликнинг ҳар қандай бузилиши маҳаллий энергетик ҳолатларни ёки сиртий ҳолатларни вужудга келтиради. Бундай сиртий ҳолатлар зичлиги  $10^{18} - 10^{19} \text{ м}^{-2}$  тартибида бўлади, уларни **Тамм сатжлари** дейилади. Иккинчидан, ҳақиқий шароитда қаттиқ жисмлар сиртида амалда ҳамма вақт оксид парда ёки ёпишган ёт атомлар ва ионлар бўлади. Шу туфайли сирт соҳаси мураккаб кўп қатламли тузилишга эга бўлади.

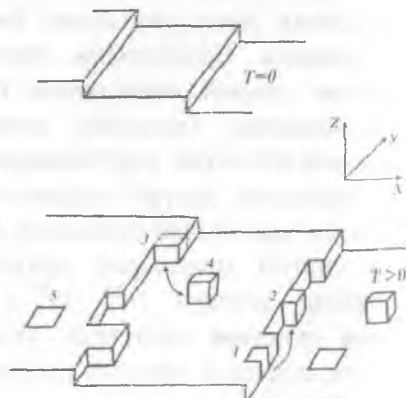
Күп ҳолларда қаттиқ жисмлар сиртини қоплаган қатламларда маҳаллий сатхлар ҳосил қилувчи киришмалар ва нұқсонлар бор. Кристаллнинг үз сиртидаги ички ҳолатлар кучли электр майдони таъсирига тез жавоб беради, уларни **тезкор ҳолатлар** дейилади, қатламлардаги (ташқи) ҳолатлар нисбатан анча секин таъсириланади, уларни **секин ҳолатлари** дейилади.

Сиртнинг миқдорий тавсифнома сиртий σ ёки фазалараро γ энергия бұлади. σ иш сиртий тарағылған дейилади, у сиртни өзегаралған чизиқни бирлик узунликка ва сирт іюзини үнга мос катталиқка қадар (миқдорға) узгартыриш учун керак буладиган күчни билдиради.

## 8.2. Сиртнинг тузилиши. Энергетик ҳолатлар

Хақиқий кристаллнинг сирт тузилиши анча мураккаб. Сирт деганда юпқа, лекин ҳажмий, қатlam тушунилади. Бу қатламлар қалинлиги кристалл панжараси доимийсідан үнларча марта катта булиши мүмкін. Хақиқий кристалл сиртида түрли нұқсонлар күп, ниҳоят, сирт ташқи мұхит билан туташгани учун унинг шаклланишида кислород мұхит үрин тутади. 150—200 нм қалинликли табиий оксид қатламлар амалда ҳамма вакт қаттиқ жисмларнинг сиртида мавжуд булади. Сирт гадур-бұдуру булиб, дүнгилер билан чуқурлықтар навбатлашиб жойлашган.

Хозир сиртнинг манзараси 8.1-чизмадағыдейк булади деб, хисобланади. Сиртда погоналар булади.  $T>0$  бүлганды флюктуациялар туфайли 1,2 бүш жойлар ҳосил булиши мүмкін. Адсорциялашган (сиртта ёпишганды) атом бүш жойни эгаллайдын (3) ёки бүш погонада қолади (4). Погонада сиртий вакансиялар (5) ҳосил булиши мүмкін. Сиртда нұқсонлар борлиги туфайли мазкур атом үзаро



8.1-чизма.  $T=0$  ва  $T>0$  да кристал сиртнинг тузилиши

таъсирлашаётган қүшнилар сони сиртнинг турли жойларида турлича. Шунинг учун атомнинг сирт билан бөгланиш энергияси турли булади.

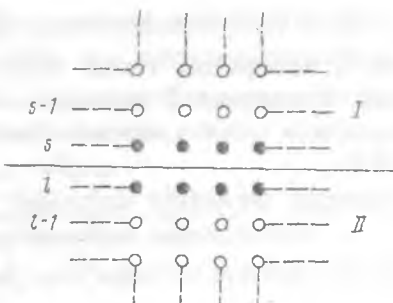
Энди турли кўринишдаги қатиқ жисмларнинг эркин сиртий энергиясини ҳисоблайлик. Бунинг учун кристаллни ёрилиш сиртнинг бир томонидаги,  $s-1$ ,  $s-2$  ва ҳоказо параллел текисликлар, иккинчи томонидаги  $I$ ,  $I-1$ ,  $I-2$  ва ҳоказо параллел текисликлардан иборат деб тасаввур қиласиз (8.2-чизма). Кристалл ёрилганда ҳосил бўлган икки I ва II бўлаклар булади. Бу жараёнда сарфланган иш I ва II соҳасидаги атомларнинг бөгланишини узишга кетади. Агар энг яқин масофада жойлашган атомлар жуфтлари орасидаги ўзаро таъсирни эътиборга олсақ,  $s-$  ва  $I-$  қатламдаги атомлар ўзаро таъсир энергиясини  $V_{sl}$  деб белтиласак сиртни ҳосил қилишга сарфланган тўла энергия

$$E_s = \frac{1}{2} \sum_{l \geq 1} l V_{sl}, \quad (8.1)$$

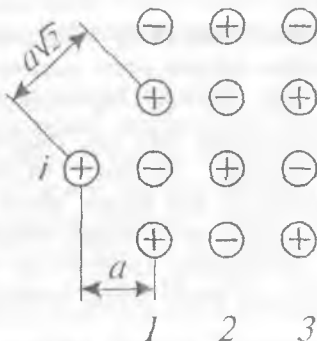
бундаги  $I$  – қўшимча равишда ( $s-2$  ва  $(I-1)$ ,  $(s-2)$  ва  $(I-2)$  ва ҳоказо атомлар орасидаги ўзаро таъсирни ҳисобга оладиган кўпайтиувчи ионлар кристалларидан 1 мусбат ион 2 манфий ион билан тортишади, 3 мусбат ион билан итаришади ва ҳоказо. Бу ионлар занжирида умумий потенциал энергия (8.3- чизмага қаранг)

$$V_1 = -\frac{e^2}{a} + \frac{e^2}{2a} - \frac{e^2}{3a} + \frac{e^2}{4a} + \dots = -\frac{e^2}{a} \left[ 1 - \frac{1}{2} + \frac{1}{3} - \frac{1}{4} + \dots \right] = \varphi_1 e^2 / a, \quad (8.2)$$

бунда  $\varphi_1 = 0,6935$ .



8.2-чизма. Атомларнинг турли сатҳларда жуфт-жуфт ўзаро таъсирни тизмаси.



8.3- чизма. Бир і ониннинг ионлар занжири ўртасидан узилиб чиқини: 1-3-ионлар занжирлари.

Энди ўша чизмадаги икки ўлчовли панжарани қарайлик. 1 ион  $\alpha$  масофадаги ионга тортлади,  $a\sqrt{2}$  иондан итарилади. Агар 1 ионнинг 2 вертикал занжирча ионлари билан ўзаро таъсирини ҳисобга олмасак, умумий потенциал энергия

$$V_2 = -\frac{e^2}{a} + \frac{2e^2}{a\sqrt{2}} - \frac{2e^2}{a\sqrt{5}} + \frac{2e^2}{a\sqrt{10}} - \dots + \frac{e^2}{2a} - \frac{2e^2}{a\sqrt{5}} + \frac{2e^2}{a\sqrt{8}} - \dots = \\ = -0.1144 \frac{e^2}{a} = -\varphi_2 e^2 / a; \quad \varphi_2 = 0.1144. \quad (8.3)$$

Шу йўсинда 1 ион билан кристал сирти орасидаги ўзаро таъсири энергияси олинади:

$$V_3 \approx -0.066 e^2 / a = -\varphi_3 e^2 / a. \quad (8.4)$$

Демак,  $V_1$  - ионнинг занжирча бошидан ажралиш энергияси,  $V_2$  - бутун занжирчадан,  $V_3$  - яssi тўр ўртасидан ажралиш энергияси бўлиб, уларнинг Na атомли панжара бўйича йигиндиси панжара энергиясини беради:

$$U_{pan} = 2N_A (\varphi_1 + \varphi_2 + \varphi_3) e^2 / a. \quad (8.5)$$

2 кўпайтувчи (8.2) - (8.4) ифодалар текисликнинг бир ярмини ҳисобга олгани учун киритилган.

$2(\varphi_1 + \varphi_2 + \varphi_3)$  катталикни  $\alpha_M$  **Маделунг доимийси** орқали белгиланади, бир хил турдаги панжарали қаттиқ жисмлар учун у бирдай бўлади. Мураккаброқ ҳолларни қарамасдан, юқоридаги ҳол билан яъни қарама-қарши бир зарядли ионлар панжараси ҳоли билан чекланамиз.

Молекуляр кристаллар учун (Ван дер Ваалс кучлари устун бўлганда) икки зарра орасидаги ўзаро таъсири энергияси

$$U_{1,2} = \xi_1 / a^m - \xi_a / a^n \quad (8.6)$$

куринишида бўлиб,  $\xi_1$  ва  $\xi_2$  - доимий катталиклар, биринчи ҳад итаришиш, иккинчи ҳад тортишишни ҳисобга олади. Бундай кристаллар учун панжаранинг боғланиши энергияси

$$U_{pan} = (\xi_2 K_n / a_0^n) (1 - n/m) N / 2 \quad (8.7)$$

күрнишда олинган, бунда  $K_n$  - даражасының күрсаткичи нұсқасы,  $n=6$  деб олинса,  $K_6=14.454$ ,  $a_0$  - панжара доимийсіннің мувозанатий қыймати, нұсқа таралғанда аниқланади.

Ковалент кристалларда, масалан олмосда,

$$U_{nan} = (4/2)E_{c-c} = 2E_{c-c}, \quad (8.8)$$

бундагы  $E_{c-c}$  - карбон атомлары орасидаги болганиш энергиясы. Металл кристалларда  $z=1$  (бир валентли металл) учун:

$$U_{nan} = (Na\alpha_m e^2/a_0)(1-1/n) \quad (8.9)$$

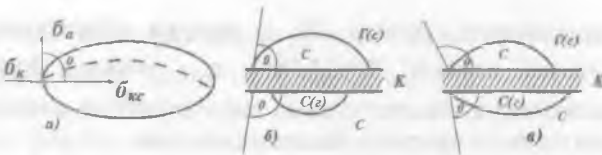
### 8.3. Хұлланиш ва ёйилиб өқиши ҳодисалари

Хұлланиши ҳодисасы суюқликнинг қаттық жисм ёки бошқа суюқлик сирти билан тегишганида юз беради. Бу ҳодиса металл-ярим үтказгыч контакттарини тайёрлаш технологиясида катта ахамиятта эга, чунки бу технологияда металл томчинини кристалл билан қотишириш усулы кенг құлланилади. Бундай томчини қыздырыш вақытта ёйилиб кетиши қотишиш юзини ва шу жараённинг ўзини аниқладайды.

Қаттық жисм сирттінинг яхши хұлланиши, масалан, бу сиртни турли кимёвий моддалар томонидан тозаланиши самардорлигини таъминлайды. Жумладан, рұзгорий юувучи моддалар құлланиши шунға асосланған.

Хұллаш капилляр найдада мениск ҳосил қиласы, қаттық сиртта томчиннинг шаклини ёки суюқликка ботирилған жисм сиртида газ пуфаги шаклини аниқладайды. Хұллаш (хұлланиш) ҳодисасини контакт соҳасыда уч фаза (жисм, мұхит) орасидаги үзаро таъсир өқибати сифатида қаралса бұлади, аммо күп ҳолларда у (масалан, суюқ металлар билан қаттық металлар тегишиб турғанда) кимёвий бирикмалар, қаттық ва суюқ эритмалар ҳосил бұлиши, хұлланувчи жисмнинг сирттің қатламида диффузион жараёнлар юз беріши өқибати бұлади. Хұлланиш ҳодисасыда хұлланиш иссиқлиги дейилувчи иссиқлик ажралиши мүмкін.

Хұлланишнинг үлчови вазифасини одатда чегаравий  $\Theta$  бурчак бажаради, у хұлланувчи сирт ва суюқликнинг периметр бүйічі сирти орасидаги бурчакдир (8.4- чизма).



8.4- чизма. а- томчи қаттиқ сиртда; б- томчи; в - пулакнинг қаттиқ сиртда турли ҳўлланиш шароитида вазияти; г - газ; с - суюқлик; к - қаттиқ жисм;

Статик (мувозанатий) ҳўлланишда  $\theta$  суюқликнинг сирт таранглиги  $\sigma_c$  га, қаттиқ жисмнинг сирт таранглиги  $\sigma_k$  га ва чегарарадаги фазалараро  $\xi_1/a^m$  таранглик  $\sigma_{kc}$  га Юнг тенгламаси  $\cos\theta = (\sigma_k - \sigma_{kc})/\sigma_c$  орқали боғланган.

Агар  $0^\circ < \theta < 90^\circ$  бўлса, суюқлик томчиси қисман ёки  $\theta \rightarrow 0^\circ$  ҳолда сирт бўйича ёйилади (8.4.б,в- чизма). Агар  $\theta > 90^\circ$  бўлса, томчи ёйилмайди (8.4.б,в- чизма). Биринчи ҳолда суюқлик қаттиқ жисмни ҳўллайди, иккинчи ҳолда ҳўлламайди.

#### 8.4. Электронлар эмиссияси ва сиртий ионлаш

**Термоэлектрон эмиссия ҳодисаси** қаттиқ жисмни қиздириганда ундан вакуумга (бушлиқقا) ёки бошқа жисмга электронлар чиқарилишидан иборат. Қаттиқ жисмдан чиқиб кетиш учун электроннинг энергияси жисмдан ташқарида тинч турган электрон энергиясидан катта бўлиши керак. Бу энергияни чиқиш иши дейилади.  $T \sim 300K$  (хона температураси) да термодинамик мувозанат шароитида, Ферми-Дирак тақсимотига асосан, энергияси чиқиш ишидан катта электронлар сони жуда-жуда кам, аммо температура ортиши билан бу сон жуда тез (экспотенциал) ортади. Шунинг учун термоэлектрон ток фақат қиздирилган жисмлардан чиқади. Агар чиққан электронларни олиб кетадиган электрик майдон бўлмаса, бу электронлар уларни чиқарган жисм сирти яқинида манфий ҳажмий электрик заряд ҳосил қилиб, термоэлектрик токни чеклаб қўяди. Эмиттер (электронлар чиқарувчи) ва анод (электронларни йигувчи) орасидаги кучланиш кичик ( $V < V_o$ ) бўлганда ток зичлиги  $J \sim V^{3/2}$  қонун бўйича ифодаланади.  $V \sim V'$  бўлганда ҳажмий заряд сўрилиб кетади ва ток тўйинишга  $I_0$  қийматга эришади, кучланишини янада оширилса, яна секин

уса бошлайди. Түйиниш токи зичлиги (термоэлектрон эмиссия токи зичлиги) Ричардсон — Дэшман ифодасидан ҳисобланиши мумкин:

$$I_0 = AT^2 \exp(-\chi/kT). \quad (8.10)$$

Бундаги  $A$  — доимий,  $\chi$  - электроннинг металлдан чиқиш иши. Агар электронларнинг қаттиқ жисм сиртидан қайтиш коиффициенти  $R$  ҳисобга олинса  $A = A_0(1-R)$  деб ёзилиши кепрек, бунда  $A_0 = emk^2/2\pi^2h^3 = 120,4 \cdot 10^4 \text{ A/m}^2\text{k}^2$ . Ҳақиқий шаритда  $\chi(T)$  эканини ва бошқа омилларни ҳисобга олинса, күпчилик тоза металлар учун  $A = (15 \div 350) \cdot 10^4 \text{ A/m}^2\text{k}^2$  (8.10) ифодани яримұтказгичларга ҳам құлласа бўлади. Термоэлектрон эмиссия ҳодисаси кўп электрон асбобларда қўлланилади.

Термоэлектрон эмиссия билан сиртий ионлашиш ҳодисаси жипс боғланган. Бу ҳодиса қиздирилган (чўғланган) металл сиртига бугнинг атомлари ёки молекулалари урилганда содир бўлади. Атомлар ёки молекулалар қиздирилган металл сиртига ё уни ураб олган буғ атмосферасидан ёки маҳсус манбадан буғлантириладиган молекуляр даста кўринишида келиб тушади. Уларнинг урилишидан ҳосил бўлган ионлар маҳсус коллектор (йигновчи мослама) томонга йўналтирилади ва унинг занжирида ток пайдо қиласи, бу ток кучи ионлар миқдорини баҳолаш имконини беради.

Сиртий ионлашишни сиртнинг  $1\text{cm}^2$  дан  $1\text{s}$  да кетаётган  $n_i$  ионлар қайтаётган  $n_a$  атомлар сонлари нисбати билан аниқланади:

$$n_i/n_a = \alpha, \quad (8.11)$$

$\alpha$  ни ионлашиш даражаси деб аталади. Баъзан бошқа муносабатдан фойдаланилади:

$$n_i/n_0 = \beta, \quad (8.12)$$

бунда  $n_0$  -  $1\text{cm}^2 1\text{s}$  да сиртга тушаётган атомлар сони.  $\beta$  ни сиртий ионлашиш коэффициенти дейилади.

$$n_i + n_a = n_0$$

бўлганлиги учун

$$\beta = \frac{\alpha}{1 + \alpha} \quad (8.13)$$

бұлади.  $\alpha$  кattалик температурага боялған. Бу боялғанишни Саха-Ленгмюр ифодаси беради:

$$\alpha = (g_I/g_a) \exp[-(eV_I - X_I)/(kT)], \quad (8.14)$$

бундаги  $\chi_I$  - металдан ионнинг чиқиши иши,  $V_I$  - қызметтегіндеғіндең түштік атомнинг ионлашиши потенциали,  $g_I$  ва  $g_a$  - металл сиртидан кетаётгандар зарралар ҳолатларининг статистик вазнлари (масалан, ишқорий металл иони учун  $g_I = 1$ , атом учун  $g_a = 2$ ).

Сирттік ионлаш ёрдамида мусбат ионлар ҳам, манфий ионлар ҳам қосыл қилиниши мүмкін. Ортиқча электронни узоқлаштириш учун манфий ионни «ионлашга»  $eU_s$  энергия сарфлаш керак. Шу энергияни электроннинг атомга яқынлиги дейилади, манфий иондаги «ортиқча» электроннинг энергетик сатхини аниқтайдайды. Бу ҳолда Саха-Ленгмюр ифодасыда ионлаш потенциали  $U_I$  ўрнида электроннинг атомга яқынлиги туради:

$$\alpha = n_I / n_a = (g_I / g_a) \exp[-(eU_s - X_I)/(kT)]. \quad (8.15)$$

### 8.5. Қаттық жисмлар сиртида адсорбция ҳодисаси

Газ атмосфераси билан туташкан қаттық жисм сиртини тезда газ атомлари (молекулалари)нинг бир ёки күп қатлами қоплайды. Шу ҳодиса адсорбцияның мөхиятидир. Бунда қаттық жисмни адсорбент (ёпиштириб олувчи), газ фазасини эса адсорбат (ёпишувчи) дейилади. Адсорбцияның икки хилий бор: **физик адсорбция** ва **кимёвий адсорбция** (хемисорбция).

Физик адсорбция ҳолида атомлар (молекулалар)нинг адсорбцион (сиртта ёпишган) қатлами қаттық жисм сирти атомлари билан Вандер-Ваалс заиф күчләри воситасыда бояланған. Физик адсорбцияның мұхым тағовуты – уннинг қайтувчанлығидыр.

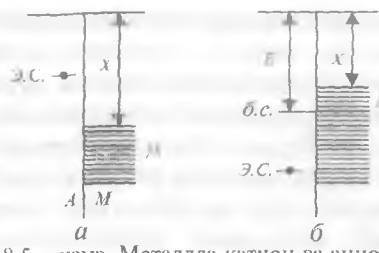
Қандайдыр температуралар оралиғида адсорбцияның ҳар икки хилини бир-биридан кескин ажратып бўлмайды.

Адсорбция ҳамма вақт экзотермик жараёндир, яъни иссиқлик ажраладиган (энталпия  $\Delta H_s$  қадар ўзгарадиган) жараёндир.

Адсорбция иссиқлиги (энталпия) зичликнинг функцияси ва одатда у ортиши билан камаяди. Адсорбция иссиқлигининг бундай ўзгариш жараёнини изчил оқиб бориши туфайли юз беради. Бу жараён сиртнинг максимал энергияли жойларида — чўққилар, кристаллнинг бурчаклари ва қирраларида, дарзлар қирғоқларида, тирнамаларда ва шунга ўхшаш жойларда бошланади. Бу жойлар тўйингац, ясси сиртларда адсорбция бошланади. Уларда камроқ энергия ажралади.

Физик адсорбция эпталпияси анча катта ( $\approx 10$  ккал/мол). Бунда адсорбланган газ қатламини бошқа газ билан алмаштириш мумкин. Бу — алмашинув адсорбцияси ҳодисаси. Бунда уринли қоида: газнинг қайнаш нуқтаси қанча юқори бўлса, у газ осон адсорбланади, яъни у осон суюқликка айланади. Адсорбция жараёни адсорбент ва адсорбат орасида адсорбцион мувозанат ўришганда яқунланади. Мувозанатнинг умумий шарти — иккала фазанинг кимёвий потенциали (ферми сатҳлари) тенглигидир. Бу мувозанатда бирор вақтда сиртга қанча атом (молекула) адсорбланса, шунчаси сиртдан кетади, сиртни газ зарралари билан тўлдириш даражаси  $N_s$  ўзгармас булиб қолади.  $N_s$  температура ва босимга боғлиқ. Агар босим ўзгармас бўлса,  $N_s(T)$  адсорбция изобараси,  $T=const$  бўлса, адсорбция изотермасини ифодалайди. Албатта, температура кўтарилиганда тўлдириш даражаси пасаяди, чунки бунда атомларнинг сиртдан кетиши (десорбция) кўпаяди, бу эса адсорбцияни сусайтиради.

Хемосорбциянинг моҳияти шундаки, кимёвий табиатли кучлар таъсири ҳолатида адсорбланган атомлар ва кристаллнинг сиртидаги атомлар орасида кимёвий реакция юз беради, бирикмалар ҳосил бўлади. Хемосорбцияда адсорбент ва адсорбат орасида электронлар алмашиниши бош ўрин эгаллайди.



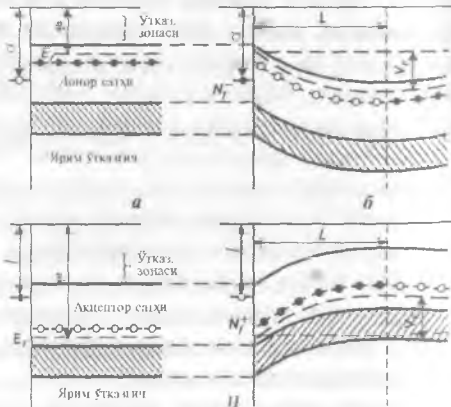
8.5- чизма. Металлда катион ва анион хемосорбция; э.с. ва б.с. -эгалланган ва буш сатҳлар; А-адсорбат, М-металл.

Металларда хемосорбцияни қарайлик. 8.5- чизмада метал газ ва металл – адсорбат чегарасининг икки томонида электрон энергиялари спектри кўрсатилган. Бир ҳолда (8.5,а- чизма) адсорбатнинг эгалланган энг юқори энергия сатҳи металлнинг Ферми сатҳидан юқорида жойлашган. Бу ҳолда электрон атомдан металлга ўтади, унинг ўзи мусбат ионга айланади. Аксинча, агар адсорбентнинг юқориги сатҳи эгалланмаган бўлса ва у металлнинг ферми сатҳидан пастда бўлса, электрон металдан атомга ўтиб уни манфий зарядлайди.

Чегаранинг икки томонида қўш электр қатлам ҳосил бўлади, оқибатда биринчи ҳолда металдан чиқиш иши камайди, иккинчи ҳолда  $\Delta\chi=4\pi e N_s M$  катталиқ қадар ортади, бундаги  $N_s$ - сиртнинг бирлик юзида эгалланган жойлар сони,  $M$ - адсорбланган зарранинг дипол моменти.

Металларда хемосорбция ҳодисасига оид қурилган модел ярим ўтказгичлардаги хемосорбцияяга ҳам тўла қулланилади. Фарқ шундаки, металлга нисбатан ярим ўтказгичларда Ферми сатҳи бошқача жойлашган, ярим ўтказгичда  $n$  ва  $p$  – тур ўтказувчанлик мавжуд бўлади. 8.6- чизманинг юқориги (1) қисмida  $n$  – тур ярим ўтказгич сиртида мавжуд бўлган ҳол тасвиранган.

Ярим ўтказгичдаги муюян қатламдаги ўтказувчанлик электронлари адсорбат атомларига ўтади, уларни манфий зарядлайди. Бу чегарада электронлар учун  $\phi$  потенциал тўсиқ ҳосил бўлади, бунда адсорбатдаги электронларнинг потенциал энергияси ярим ўтказгичдаги билан яъни ферми сатҳи билан тенглашади. Чегаравий қатламда ўтказувчанлик электронлари камайиб кетган, қатламнинг электронлари қаршилиги жуда катталашади. Бундай қатламни ёпувчи (беркитувчи) қатлам дейилади. 8.6- чизманинг пастки (2) қисмida р-тур ярим ўтказгич сиртида катион



8.6- чизма. Адсорбция тизмалари:  
I-п-я.уда анион адсорбция,  
II-р-я.уда катион адсорбция, а ва б- хемосорбциягача ва ундан кейин.

адсорбат мавжуд бўлган золда антиёпувчи (антиберкитувчи) қатлам ҳосил булиши тасвирланган.

Фан ва техниканинг қаттиқ жисмлар билан боғлиқ соҳалари учун суюқ эритмалар билан туташган кристалл сиртидаги адсорбцион эфектлар муҳим бўлади.

Эритмадан кристалл сиртига адсорбцияланган сиртий-актив моддалар (С.А.М) дейилади.

## 8.6. Сиртий диффузия

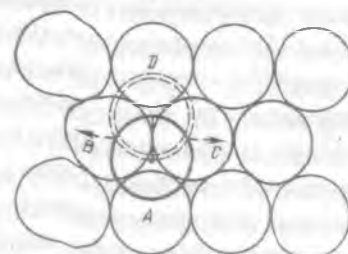
Симоб кристаллари ўсишини кузатиш мақсадида уни юқори вакуумда кучли даражада совутилган қаттиқ жисм сиртига буглантириб ўтқазилган. Ҳосил бўлган кристаллар пластинкасимон шаклга эга бўлган. Бу кристаллар қалинлик бўйича ўсишга нисбатан кенглик бўйича юз метрча тезроқ усган. Ушбу натижани фақат симоб атомларининг пластинкалари текислиги бўйича юқори суръатда диффузияланниши сабаби билан тушинтириши мумкин эди.

Сиртий диффузия  $D_s$  коэффициентини кучаётган нуқсоннинг (вакансиянинг, адсорбланган атомнинг) диффузия  $D_d$  коэффициентининг уларнинг мувазанатий  $N_d$  зичлигига кўпайтмаси кўринишида ифодалаш мумкин:

$$D_s = N_d D_d = \frac{N_o}{2} p v_d \Delta^2 \exp[-(U_d' + U_d'')/(kT)] \quad (8.16)$$

Бу ифодада  $p$  — нуқсоннинг сакрашлар сони,  $\Delta$  — сакрашлар узунлиги,  $v_d$  — нуқсоннинг сиртда тебраниш тақориийлиги,  $U_d'$  ва  $U_d''$  — нуқсоннинг ҳосил булиши ва кўчиши энергиялари.

Мисол тариқасида 8.7- чизмада ёқий марказлашган куб (ё.м.к) панжарали кристаллнинг атомлари шарлар кўринишида тасвирланган, улар орасида адсорбланган атом (адатом) ажратиб кўрсатилган. Адатомнинг ҳар



8.7- чизма. Ёқий марказланган куб панжарали кристалда адатомли (111) текислик

бир құшни билан кимёвий боғланиш энергиясіні  $E$  орқали белгилаймиз. У атомнинг уч яқын құшниси бор. Чизмада улар А, В, С атомлар. Адатом юқорига құчиши билан унинг энг яқын құшнилари иккита – В ва С атомлар бўлиб қолади. Олдинги ҳолатни мувазанатий ҳолат десак, кейинги ҳолатни фаолланиш (активланиш) ҳолати деб айтамиз. Ўз-ўзидан қўринадики, фаолланиш учун  $U_{ad} = 3E - 2E = E$  энергия талаб этилади. Лекин, фаолланиш ҳолатидаги адатомга узоқроқдаги қўшнилар А ва D атомлар ҳам таъсир қиласи. Бу таъсир энергияси  $2E'$  деб белгиланса, энді фаолланиш энергияси

$$U_{ad} = 3E - (2E + 2E') = E - 2E' \quad (8.17)$$

қўринишда ифодаланади. Аниқ ҳисоблар  $U_{ad} \approx E/3 \approx H_s/20$  қийматни беради, бунда  $H_s$ - сублимация (қаттиқ жисм сиртидан буғланиш) иссиқлиги.

Cu, Ni, Ag, Au учун  $H_s$  мос равишда 73.3; 114; 82; 60 ккал/мол унча катта бўлмаган қийматларга эга, бундан қаралаётган ё.м.к панжара сиртида адатомлар жуда ҳаракатчан. Ҳаракатлантирувчи куч, масалан, температура градиенти бўлганда улар сирт бўйлаб шарчалардан думалаб боради.

Бошқа кристаллографик (001) ва (011) текисликларда (сиртларда) адатом билан сирт атомлари орасидаги тўрт ва беш боғланишни узиш зарур. Бу ҳолларда диффузияни фаоллаш энергияси каттароқ ва юқоридаги механизм устун бўлмаслиги мумкин.

Ёт, киришма атомларнинг сирт бўйича диффузияланиши учун адсорбланиш энергияси катта бўлган ҳолда адатомнинг кристалл сиртидаги атомлар билан боғланиши шунаقا каттаки, юқоридаги «шар думалаш» механизми бутунлай мумкин бўлмайди. Бу ҳолда диффузия «ёзилувчи гилам» деб аталадиган механизм бўйича боради. Бунда киришма сирт бўйича қаттиқ фазада ёйилиб боради (бу 8.3 бандда кўрган суюқликнинг ёйилиб оқиши ҳолидагидек бўлади). Оқибат натижасида сирт моноатомли киришмавий қатлам билан қопланиб қолади.

Ҳарорат ортган сайин адсорбланиш энергияси камайиб боради, киришма адатомининг кристалл сиртидаги атомлар билан боғланиш энергияси камаяди ва сиртий диффузиянинг

бош механизми яна ўша «шар думалаш» механизми булиб олиши мүмкін.

Адсорблантан пардалар бириңчи навбатда күчли даражада сирт хоссаларини ўзгартыради, баъзи ҳолларда ҳатто қалинроқ сирт яқинидаги қатламларга ҳам таъсир күрсатади. Адсорблантан пардалар ишқаланиш кучларига таъсир қиласы. Ишқаланишни тавсифлайдыган коэффициент ҳамма вақт ишқаланувчи муайян икки сирт жуфтига ва уларнинг муайян ҳолатигагина тааллуқлы булади. Ишқаланиш коэффициенти ишқаланиш кучининг тик равишдаги юкка нисбатига тенгdir.

Одатда адсорблантан пардалар ишқаланиш коэффициентини камайтиради ва қаттиқ жисмларнинг ўзаро сирпанишига ёрдамлашади. Маълумки, ишқаланишни камайтириш учун турли мойлар ишлатилади. Икки хил мойлар мавжуд: гидродинамик ва чегаравий мойлар. Гидродинамик мойлар қалин суртилиб икки металл сиртларини бир-бирига тегиштирмайди. Чегаравий мойлар, аксинча, жуда юпқа ва мономолекуляр, ҳатто монаатомли қатламлардан иборат булади. Бундай пардалар металл қисмлар орасидаги тутинишни камайтиради ва бу қисмларнинг бевосита тегишишига имкон бермайди.

Адсорбция қаттиқ жисмларнинг мустақкамлик хоссаларига муҳим даражада таъсир қиласы. Масалан, қаттиқ жисмни пармалаганда ҳўллаш бу ишни осонлаштиради. Бундай адсорбция мустақкамликни камайтириши кўриниб турибди. Кристаллар деформацияланишининг сиртий актив моддалар (С.А.М.) адсорбланиши оқибатида осонланиши ҳодисасини Ребиндер эффицити дейилади. Сиртий диффузия туфайли микродарзлар тезда С.А.М. молекулаларидан иборат суюқлик билан тулади. Суюқликсиз фазалараро энергия  $\gamma_X$  кристалл-ҳаво чегарасида аниқланади, суюқлик борлигига  $\gamma_c$  кристалл-суюқлик чегарасида аниқланади. Агар  $\gamma_c < \gamma_X$  бўлса, бу ҳолда кристалл ҳўлланганда янги сиртлар ҳосил бўлишига яъни жисмнинг бузилишига сарфланадиган энергия кам талаб қилинади.

Адсорблантан суюқлик дарз ичига киргандада у жойда  $p_s = \gamma_X - \gamma_c$  катталигидаги сиртий босим вужудга келади. У кристалл ичкарисига йўналган ва дарзни узунлайди.

Баъзи металлар С.А.М. вазифасини бажаради. Масалан, симоб пардаси билан қопланган рух пластинкаси мұрт булиб қолади. Темир сим сиртига үтказилған қалайи пардаси ҳам худди ушандай таъсир күрсатади.

Бу айтилған эффектта қарама-қарши эффект ҳам маълум-турли пардалар билан қопланған қаттиқ жисмларнинг мустаҳкамлиги ортиши ҳам кузатиласы (Роско эффекти). Бунинг сабаби шуки, сиртий парда жисмнинг ҳажмидан дислокацияларнинг унинг сиртига чиқишини тұсады. Шуннинг учун дислокациялар қоплами остида тұпланади ва бу кристалл мустаҳкамлигини оширишга олиб келади.

### **Назорат учун саволлар**

1. Сиртий сатхлар табиатини түшинтириңг.
2. Қандай сиртий ҳолатларни тезкор ва секинкор ҳолатлар дейилади?
3. Сиртий таранглик түшүнчеси таърифини беринг.
4. Сиртий эффектларнинг асосий күринишларини баён қилинг.
5. Электронларнинг чиқиши иши нима?
6. Сиртий ионлашиш нима?
7. Адсорбент ва адсорбат деб қандай моддаларга айтилади?
8. Физик адсорбция нимадан иборат?
9. Хемисорбция нима?
10. Металл суюқ әрітма чегараси яқинидаги құш электрик қатлам пайдо бўлишини түшинтириңг.
11. Сиртий диффузия механизmlарини тавсифланг.
12. Ребиндер эффекти нима?
13. Роско эффекти нима?

### **Масалалар**

1.  $N_A$  Авогадро сони қийматини қўйиб,  $a$  ни  $3 \cdot 10^{-8}$  см деб ҳисоблаб (8.2) - (8.5) инфодалар асосида ионлар панжараси энергияси  $U_{\text{пн}}$  ни аниқланг.

2. Металл кристалли учун (8.9) ифода бўйича ташжара энергиясини топинг.  $\sigma_m = 1.75$ ,  $a_0 = 5 \cdot 10^{-8} \text{ см}$ ,  $n = 3$ .

3.  $A = 120 \cdot 10^4$  ампер/м<sup>2</sup>к<sup>2</sup>,  $T = 1000\text{K}$ ,  $\chi = 5$  эВ бўлганида (8.10) ифода бўйича термоэлектрон тўйиниш токи зичлигини аниқланг.

4. (8.15) ифода бўйича ионлашиш даражасини топинг.

$$eU_s = 9\vartheta B, \quad \chi = 8\vartheta B, \quad g_I/g_a = 1/2$$

5. (8.17) ифодадан  $E^l = \frac{1}{3}E$  ва  $E = 3\vartheta B$  бўлганида аданомининг фаолланиш энргиясини аниқланг.

6. Юнг  $\cos\theta = (\sigma_k - \sigma_{ke})/\sigma_c$  тенгламасидан фойдаланиб, қачон суюқлик қаттиқ жисмни ҳулловчи, қачон ҳўлтамайдиган бўлишини таҳдил қилинг.

## IX БОБ

### ҚАТТИҚ ЖИСМЛАР ДЕФОРМАЦИЯСИ

Ушбу бобда қаттиқ жисмларнинг деформацияланиш қонуниятларини кўриб чиқамиз. Бунда қаттиқ жисмни узлуксиз муҳит деб қараймиз. Қаттиқ жисмни чексиз кичик зарраси деб, атом ёки молекулалар сони етарлича кўп бўлган узлуксиз кичик бўлаги назарда тутилади. Ташқи кучлар йўқлигига қаттиқ жисм зарралари мувозанат вазиятларда туради.

Зарраларнинг ушбу вазиятларини жисм билан маҳкам боғланган саноқ системаси бошидан ўтказилган радиус-вектор  $r$  орқали аниқлаймиз. Ташқи кучлар таъсирида қаттиқ жисмни ташкил қилган зарралар вазиятлари, қаттиқ жисмнинг ҳажми, шакли ўзгаради, яъни қаттиқ жисм деформацияланади. Зарраларнинг мувозанат вазиятларидан силжишини  $\bar{u}$  вектор билан ифодалаймиз. Бу вектор силжиш вектори деб аталади. Деформацияланган жисмдаги зарра вазияти  $\bar{r} + \bar{u}$  вектори билан аниқланади. Силжиш векторининг координата ўқларидаги ташкил этувчиларини мос ҳолда  $u_x, u_y, u_z$  билан белгилаймиз. Ушбу катталиклар умумий ҳолда зарранинг координаталарига ва вақтига боғлиқ бўлади, яъни:

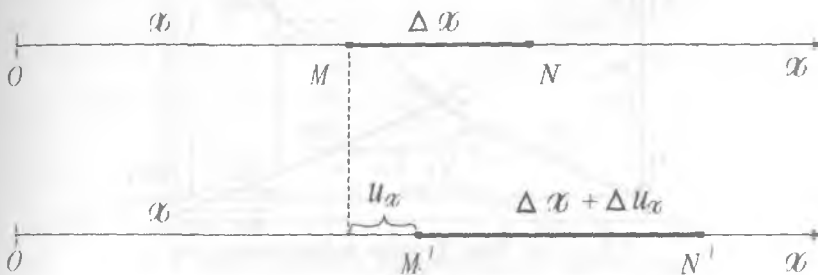
$$u_x = u_x(x, y, z, t), u_y = u_y(x, y, z, t), u_z = u_z(x, y, z, t).$$

Деформацияланган ҳолатни тўлиқ тавсифлаш учун силжиш вектори  $\bar{u}$  ни координаталар  $(x, y, z)$  нинг функцияси кўринишда ифодалаш зарур. Тушуниш осон бўлиши учун биз бу масалани аввал бир ўлчовли, кейин икки ва уч ўлчовли деформациялар билан кўриб чиқамиз.

## 9.1. Бир ўлчовли деформация

Деформация  $x$  йұналишда юз берәётган бұлсин.

Деформацияланған жисмада  $\Delta x$  оралиқни танлаб оламиз, (9.1-чизма).



9.1- чизма. Бир ўлчовли деформацияға оид.

Деформацияланғандан сүнг  $M$  нүкта  $\bar{u}$  масофага силжийди,  $M'$  вазиятта күчади ва унинг координатаси  $x+u_x$  га тенг бўлади. Биз танлаган  $\Delta x$  кесма эса  $\Delta u_x$  қадар узунлашади.  $|MN|$  кесманинг деформацияси деганда биз  $\Delta u_x$  нинг  $\Delta x$  га нисбатини, яъни  $\Delta u_x / \Delta x$  ни тушунамиз.  $M$  нүктадаги деформация эса

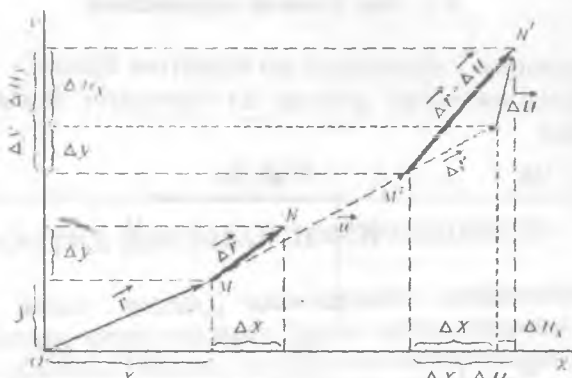
$$\varepsilon = \lim_{\Delta x \rightarrow 0} \frac{\Delta u_x}{\Delta x} = \frac{du_x}{dx} \quad (9.1)$$

ифода ёлан аниқланади. Умумий ҳолда  $\varepsilon$  катталик координата ва вақтга боғлиқ бўлади:  $\varepsilon = \varepsilon(x, t)$ . Агар  $\varepsilon = \text{const}$  бўлса, бундай деформацияни бир жинсли деформация деб атлади.

## 9.2. Икки ўлчовли деформация

Энди  $x$  текисликдаги  $\bar{u}$  кесманинг деформацияланышни кўриб чиқамиз (9.2- чизма).

Координаталари  $(x, y)$  ва радиус-вектори  $\bar{r}$  бўлган  $M$  нүкта деформациядан сүнг  $M'$  нүктага кўчади.  $M'$  нүктанинг радиус вектори  $\bar{r} + \bar{u}$  га тенг бўлади.  $N$  нүкта, мос ҳолда,  $N'$  нүктага кўчади. Биз танлаб олган кесма деформациядан сүнг текисликда маълум бир масофага силжийди ва  $\Delta u$  га чўзилади.



9.2- чизма Икки үлчөвті деформацияға оид.

$\Delta u_x / \Delta x$  ва  $\Delta u_y / \Delta y$  катташылар  $\Delta r$  кесманинг  $x$  ва  $y$  үқшаридаги проекцияларинин чүзилишини белгилайди. Аммо, бу катташылар икки үлчөвли деформацияны тұлғық ифодалай олмайды, чунки чизмадан күриниб турибдикі, кесма чүзилишдан тапшары, яна маълум бир бурчакка бурилади.

Кесманинг бурилишини ифодалаш учун  $\Delta r$  кесмага тенг кателлари  $\Delta x$  ва  $\Delta y$  бүлтән түрги түртбұрчакнинг деформацияларинин күриштегі чиқамиз (9.3- чизма).

Чизмадан күриниб турибдикі,  $M'A'$  кесманинг бурилиш бурчагы тангенсі  $\operatorname{tg} \varphi_{xy} = \frac{\Delta u_y}{\Delta x + \Delta u_x}$ , шунингдек  $M'B'$  кесманинг

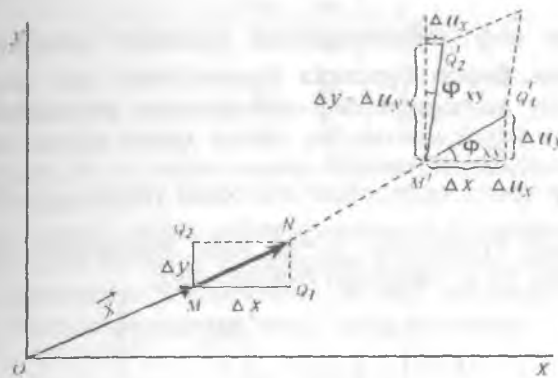
бурилиш бурчагы  $\operatorname{tg} \varphi_{yx} = \frac{\Delta u_x}{\Delta y + \Delta u_y}$  бүләди. Биз кичик деформациялар билан чегараланамыз, шунинг учун  $\Delta u_x / \Delta u_y$  лар  $\Delta x$  ва  $\Delta y$  ларға нисбетан анча кичик бүләди.  $\Delta x$  ва  $\Delta y$  лар нолга интилганды (бунда махражларда  $\Delta u_x = 0$ ,  $\Delta u_y = 0$ )

$$\operatorname{tg} \varphi_{xy} = \varphi_{xy} = \frac{\partial u_y}{\partial x}, \quad \operatorname{tg} \varphi_{yx} = \varphi_{yx} = \frac{\partial u_x}{\partial y} = \varepsilon'_y$$

бүләди.

Үшбу кесманинг чүзилишини эса,

$$\varepsilon_{xx} = \frac{\partial u_x}{\partial x}, \quad \varepsilon_{yy} = \frac{\partial u_y}{\partial y}$$



9.3- чизма. Бурилиш деформациясини ҳисобга олиш.

катталиклар билан ифодаланади. Юқорида келтирилган ифодалардан фойдаланиб,  $\Delta\bar{u}$  нинг ташкил этувчиликни күйидагича ёзб олишимиз мумкин:

$$\left. \begin{aligned} \Delta u_x &= \frac{\partial u_x}{\partial x} \Delta x + \frac{\partial u_x}{\partial y} \Delta y = \varepsilon_{xx} \Delta x + \varepsilon'_{xy} \Delta y \\ \Delta u_y &= \frac{\partial u_y}{\partial x} \Delta x + \frac{\partial u_y}{\partial y} \Delta y = \varepsilon'_{yx} \Delta x + \varepsilon_{yy} \Delta y. \end{aligned} \right\} \quad (9.2)$$

Одатда деформация коэффициентини белгилашда  $x$ ,  $y$ ,  $z$  ўрнига мос ҳолда 1, 2, 3 рақамлари ишлатилади, яъни:  $\varepsilon_{xx} = \varepsilon_{11}$ ,  $\varepsilon_{yy} = \varepsilon_{12}$ ,  $\varepsilon_{xy} = \varepsilon_{21}$ . Шундай қилиб,  $\varepsilon_{ik}$  катталиклар  $\Delta\bar{u}$  вектори билан  $\Delta\vec{r}$  векторини боғловчига иккинчи ранг тензор ҳосил қиласди:

$$\varepsilon'_{ik} = \begin{bmatrix} \varepsilon_{11} & \varepsilon'_{12} \\ \varepsilon'_{21} & \varepsilon_{22} \end{bmatrix} \quad (9.3)$$

Бу ифодадаги  $\varepsilon'_{12} = \varphi_{xy}$ ,  $\varepsilon'_{21} = \varphi_{yx}$  катталиклар жисмнинг силжии деформациюнин аниқлайди. Ундан ташқари, бу катталиклар жисмнинг бурилишини ҳам ўз ичига олади. Агар жисм деформация натижасида ўлчамларини ўзгартирмасдан фақат маълум бир бурчакка бурилса, у ҳолда деформация тензори  $\varepsilon'_{ik} = \begin{bmatrix} 0 & -\varphi \\ \varphi & 0 \end{bmatrix}$  кўрининида бўлади. Демак, умумий ҳолда

$\varepsilon'_k$  тензори соф деформациядан ташқари жисмнинг ҳамма қисмларини бирор бурчакка бурилишини ҳам ҳисобга олар экан. Ушбу тензордан соф деформация тензорини ажратиб олиш учун ундан симметрик тензор ҳосил қилиш зарур. Бундай тензор ҳосил қилишнинг энг содда усули  $\varepsilon_{ik} = \frac{\varepsilon'_{ik} + \varepsilon'_{ki}}{2}$ .

Қуриниб турибдики,  $\varepsilon_{ik} = \varepsilon_{ki}$  шарт юқоридаги ифода учун бажарилади. (9.3) ифодадан фойдаланиб,

$$\varepsilon_{ik} = \begin{bmatrix} \varepsilon_{11} & \frac{1}{2}(\varepsilon'_{12} + \varepsilon'_{21}) \\ \frac{1}{2}(\varepsilon'_{21} + \varepsilon'_{12}) & \varepsilon_{22} \end{bmatrix} \quad (9.4)$$

ҳосил қиласиз. Бу ифодада  $\frac{1}{2}(\varepsilon'_{21} + \varepsilon'_{12}) = \varepsilon_{12} = \varepsilon_{21} = \frac{1}{2}\varphi_{12}$ , яъни тўлиқ силжиш бурчагининг ярмига тенг. Ушбу (9.4) ифода билан аниқланган иккинчи рангли симметрик тензор деформация тензори дейилади.

### 9.3. Уч ўлчовли деформация

Уч ўлчовли жисм учун юқоридаги амалларни тақорорлаб, уч ўлчовли параллелепипед деформациясини кўриб ўтиш мумкин. Унда бизга яна бир ташкилловчи  $\frac{du_z}{dz} = \varepsilon_{33}$  қўшилади ва мос ҳолда силжишларни ифодаловчи ташкилловчи пайдо бўлади. Бу ҳолда деформация тензори

$$\varepsilon_{ik} = \begin{bmatrix} \varepsilon_{11} \varepsilon_{12} \varepsilon_{13} \\ \varepsilon_{21} \varepsilon_{22} \varepsilon_{23} \\ \varepsilon_{31} \varepsilon_{32} \varepsilon_{33} \end{bmatrix} \quad (9.5)$$

кўринишда ёзилади. Бу ерда  $\varepsilon_{11}, \varepsilon_{22}, \varepsilon_{33}$ , мос ҳолда  $x, y, z$  ўқлар бўйича жисмнинг чўзилиши (ёки сиқилиши).

$$\varepsilon_{12} = \varepsilon_{21} = \frac{1}{2} \left( \frac{\partial u_x}{\partial y} + \frac{\partial u_y}{\partial x} \right) = \frac{1}{2} \varphi_{12}.$$

$$\begin{aligned}\varepsilon_{21} = \varepsilon_{32} &= \frac{1}{2} \left( \frac{\partial u_y}{\partial z} + \frac{\partial u_z}{\partial y} \right) = \frac{1}{2} \varphi_{23}, \\ \varepsilon_{13} = \varepsilon_{31} &= \frac{1}{2} \left( \frac{\partial u_x}{\partial z} + \frac{\partial u_z}{\partial x} \right) = \frac{1}{2} \varphi_{13}\end{aligned}\quad (9.6)$$

лар эса  $xz$ ,  $yz$  ва  $xz$  текисликлар бўйича жисмнинг силжиш бурчаклари ярмидир.

Шундай қилиб, кичик деформацияларда координаталари  $x$ ,  $y$ ,  $z$  бўлган бирор  $M$  нуқта атрофидаги жисмнинг деформацияланиши деформация тензорининг олтига мустақил ташкилловчилари билан ифодаланар экан. Ушбу тензорни

$$\varepsilon_{ik} = \frac{1}{2} \left( \frac{\partial u_i}{\partial x_k} + \frac{\partial u_k}{\partial x_i} \right) \quad (9.7)$$

кўринишда ҳам ёзиш мумкин, бунда  $ik$  лар 1, 2, 3 қийматларни олади. Деформация тензорини симметрияга эгалиги уни содда, яъни бир индексли кўринишда ёзишга ҳам имкон беради:

$$(\varepsilon_{ik} \rightarrow E_n, n = 1, 2, \dots, 6)$$

$$\varepsilon'_{ik} = \begin{bmatrix} \varepsilon_{11} \varepsilon_{12} \varepsilon_{13} \\ \cdot \quad \varepsilon_{22} \varepsilon_{23} \\ \cdot \quad \cdot \quad \varepsilon_{33} \end{bmatrix}; \quad \varepsilon_n = \begin{pmatrix} \varepsilon_1 \varepsilon_6 \varepsilon_5 \\ \cdot \quad \varepsilon_2 \varepsilon_4 \\ \cdot \quad \cdot \quad \varepsilon_3 \end{pmatrix}.$$

Кичик бўлмаган ихтиёрий деформациялар учун деформация тензорининг аниқ ифодаси

$$\varepsilon_{ik} = \frac{1}{2} \left( \frac{\partial u_i}{\partial x_k} + \frac{\partial u_k}{\partial x_i} + \frac{\partial u_i}{\partial x_i} \frac{\partial u_k}{\partial x_k} \right) \quad (9.8)$$

куринишда ёзилади. Кичик деформацияларда ушбу ифодани (9.7) ифода билан алмаштириш мумкин.

#### 9.4. Кучланиш тензори

Деформацияланмаган жисмнинг ҳамма қисмлари бир-бири билан механик мувозанат ҳолатида бўлади. Жисм деформацияланганда у мувозанат ҳолатидан чиқади. Натижада унга мувозанат ҳолатига интилувчи кучлар таъсир қиласди. Жисмда бирор деформацияланган бўлакни танлаб оламиз. Бўлакка, ал-

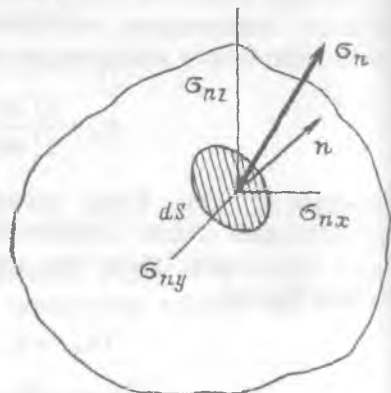
батта, таъсир қилувчи ички күчлар пайдо булади. Бу күчлар танланган бўлакнинг юзаси орқали таъсир қиласди. Ушбу бўлимда фақат юза бўйлаб таъсир қилувчи күчларни кўриб чиқамиз. Ҳажмий күчларни (масалан, оғирлик кучи) ҳисобга олинмайди. Таъсир қилаётган күчнинг шу сирт юзасига нисбати механик күчланиш деб аталади. Деформацияланган жисмнинг ихтиёрий ҳажми сиртида элементар юза ажратиб оламиз (9.4- чизма). Ушбу юзага ташқи бирлик нормал  $\vec{n}$  векторни ўтказамиз. Умумий ҳолда күчланиш вектори нормал вектор билан бир хил йуналмаган бўлиши мумкин. Агар күчланиш вектори  $\vec{n}$  нормал вектор билан ўтқир бурчак ҳосил қиласа (жисмни чўзувчи күчланиш) бундай күчланиш йўналиши мусбат деб қабул қилинган.

Күчланиш вектори  $\vec{\sigma}_n$  ни ўзаро ортогонал учта ташкил этувчи  $\sigma_{11}, \sigma_{22}, \sigma_{33}$ , векторларга ажратиш мумкин. Ўз навбатида ҳар бир ташкил этувчи-ларнинг координаталар ўқида учта проекциялари мавжуд. Натижада тўққизта катталиқ ҳосил бўлади. Бу катталиклар күчланиш тензорини ташкил қиласди:

$$\sigma_n = \begin{bmatrix} \sigma_{11} & \sigma_{12} & \sigma_{13} \\ \sigma_{21} & \sigma_{22} & \sigma_{23} \\ \sigma_{31} & \sigma_{32} & \sigma_{33} \end{bmatrix}. \quad (9.9)$$

Күчланиш тензори ҳам симметрик тензор бўлганлиги туфайли уни олтида мустақил катталикка келтириб олишимиз мумкин:

$$\sigma_n = \begin{bmatrix} \sigma_1\sigma_6\sigma_5 \\ .. \sigma_2\sigma_4 \\ . . . \sigma_3 \end{bmatrix}. \quad (9.10)$$



9.4- чизма. Күчланиш тензорига оид.

Ушбу тензор симметрияси уни диагонал ҳолатга келтиришга ҳам имкон беради. Бу ҳолда барча силжима кучланишлар ийқолиб фақат диагонал ташкилловчилар қолади:

$$\sigma_n = \begin{bmatrix} \sigma_{11} & 0 & 0 \\ 0 & \sigma_{22} & 0 \\ 0 & 0 & \sigma_{33} \end{bmatrix} \quad (9.11)$$

(9.9) ва (9.10) ифодалар бирор нүкта атрофидаги механик кучланишни ифодалайды. Агар бир нүктадан иккинчи нүктага үтганды ва вақт ўтиши билан кучланиш үзгартмаса, бундай кучланиш статик кучланиш деб аталади. Лекин умумий, динамик ҳолда кучланиш вақтнинг ва координаталарнинг функциясидир.

## 9.5. Деформация билан механик кучланиш орасидағи боғланиш. Умумлашган Гук қонуни. Эластиック модуллари

Деформация ва кучланишни биз алоҳида куриб чиқдик, лекин, бу икки катталик бир-бирига доим боғлиқдир. Бирор нүкта атрофида кучланиш ҳосил қилинса, бу ерда жисм албатта, маълум даражада деформацияланади ва деформацияланган жисмда (эластик жисм назарда тутиляпти) кучланиш ҳосил бўлади. Шундай экан, ушбу катталиклар орасида боғланиш мавжуд бўлиб, кичик деформациялар учун бу боғланишни умумлашган Гук қонуни деб аталади ва қуйидагича ёзилади:

$$\left. \begin{array}{l} \sigma_1 = c_{11}\varepsilon_1 + c_{12}\varepsilon_2 + c_{13}\varepsilon_3 + c_{14}\varepsilon_4 + c_{15}\varepsilon_5 + c_{16}\varepsilon_6 \\ \sigma_2 = c_{21}\varepsilon_1 + c_{22}\varepsilon_2 + c_{23}\varepsilon_3 + c_{24}\varepsilon_4 + c_{25}\varepsilon_5 + c_{26}\varepsilon_6 \\ \sigma_3 = c_{31}\varepsilon_1 + c_{32}\varepsilon_2 + c_{33}\varepsilon_3 + c_{34}\varepsilon_4 + c_{35}\varepsilon_5 + c_{36}\varepsilon_6 \\ \sigma_4 = c_{41}\varepsilon_1 + c_{42}\varepsilon_2 + c_{43}\varepsilon_3 + c_{44}\varepsilon_4 + c_{45}\varepsilon_5 + c_{46}\varepsilon_6 \\ \sigma_5 = c_{51}\varepsilon_1 + c_{52}\varepsilon_2 + c_{53}\varepsilon_3 + c_{54}\varepsilon_4 + c_{55}\varepsilon_5 + c_{56}\varepsilon_6 \\ \sigma_6 = c_{61}\varepsilon_1 + c_{62}\varepsilon_2 + c_{63}\varepsilon_3 + c_{64}\varepsilon_4 + c_{65}\varepsilon_5 + c_{66}\varepsilon_6 \end{array} \right\} \quad (9.12)$$

Ушбу ифодани қисқача матрица кўринишда ёзиш ҳам мумкин:

$$\sigma_n = c_{nn}\varepsilon_n, \quad (9.13)$$

бу ерда  $n,m=1,2,3,4,5,6$ . Тензор күринишда ёзиш учун эса иккита индекс сақланиши керак:

$$\sigma_{ik} = c_{ikl} \epsilon_l \quad (9.14)$$

(9.13) ифодадаги  $c_{ikl}$  коэффициентлар чизиқий эластиック модуллари деб аталади. Ушбу тензор ҳам симметрияга эга, шунинг учун унинг 36 та ташкилловчисидан 21 та мустақил компоненттага келтиришимиз мумкин. Эластиック модули матрица күринишда қуидагыча ёзилади:

$$c_{nm} = \begin{vmatrix} c_{11} & c_{21} & c_{31} & c_{41} & c_{51} & c_{61} \\ c_{21} & c_{22} & c_{32} & c_{42} & c_{52} & c_{62} \\ c_{31} & c_{23} & c_{33} & c_{43} & c_{53} & c_{63} \\ c_{41} & c_{24} & c_{34} & c_{44} & c_{54} & c_{64} \\ c_{51} & c_{25} & c_{35} & c_{45} & c_{55} & c_{65} \\ c_{61} & c_{26} & c_{36} & c_{46} & c_{56} & c_{66} \end{vmatrix} \quad (9.15)$$

Бундай күринишда тензор ҳеч қандай симметрияга эга бўлмаган муҳитнинг эластиклигини характерлайди. Кристалларда симметрияning мавжудлиги мустақил модуллар сонини намойишига олиб келади. 9.1-жадвалда турли кристалл гурӯҳлари учун мустақил эластиック модуллари келтирилган. Бунда, албатта, координаталар ўқи кристаллографик ўқларига нисбатан маълум бир танланган йўналишда йўналтирилган деб олинади.

### 9.1-жадвал

No	Кристалл сингонияси	Симметрия гуруҳи	Мустақил модуллар сони	Эластиック модули матрицаси	Кристалл номи (мисол)
I	II	III	IV	V	VI
I	Триклин	C <sub>1</sub> , S <sub>2</sub>	21	$c_{11} c_{12} c_{13} c_{14} c_{15} c_{16}$ $c_{22} c_{23} c_{24} c_{25}$ $c_{26}$ $c_{33}$ $c_{34} c_{35} c_{36}$ $c_{44} c_{45} c_{46}$ $c_{55} c_{56}$ $c_{66}$	Мис купороси

9.1- жадвалнинг давоми

I	II	III	IV	V	VI
2	Моноклин	$C_2, C_{2h}$ $c_6$	13	$c_{11} c_{12} c_{13}$ 0 $c_{16}$ $c_{22}$ $c_{23} 0 0 c_{26}$ $c_{33} 0 0 c_{36}$ $c_{44} c_{45} 0$ $c_{55} 0$	0 Гипс
3	Ромбик	$D_2KV$ $C_{2v}KD_{2h}$	9	$c_{11} c_{12} c_{13}$ 0 0 $c_{22}$ $c_{23} 0 0 0$ $c_{33} 0 0 0$ $c_{44} 0 0$ $c_{55} 0$ $c_{66}$	0 Сегнет тузи
4	Тетрагонал	$C4, C4h$ $C4v$	7	$c_{11} c_{12} c_{13}$ 0 $c_{16}$ $c_{13} 0 0 -c_{16}$ $c_{33} 0 0 0$ $c_{44} 0 0$ $c_{55} 0$ $c_{66}$	0 Шеелит
5	-FF-	$S_4,$ $D_{2d},$ $D_4,$ $D_{4h}$	6	$c_{11} c_{12} c_{13}$ 0 0 0 $c_{11}$ $c_{13} 0 0 0$ $c_{33} 0 0 0$ $c_{44} 0 0$ $c_{55} 0$ $c_{66}$	Аммоний Дигидро- фосфати
6	Тригонал	$c_3, c_{3i}$	7	$c_{11} c_{12} c_{13} c_{14} -c_{25}$ 0 $c_{14} c_{25} 0$ $c_{33} 0 0 0$ $c_{44} 0 -c_{25}$ $c_{44} c_{14}$ $X(c_{11}-c_{12})$	Доломит
7	-FF-	$D_3,$ $D_{3v},$ $D_{3d}$	6	$c_{11} c_{12} c_{13} c_{14} 0$ 0 $c_{11} c_{13} -c_{14}$ 0 0 $c_{33}$ 0 0 0 $c_{44} c_{14}$ $X(c_{11}-c_{12})$	$\alpha$ -кварц, турмалин

9. 1-жадвалнинг давоми

I	II	III	IV	V	VI
8	Гексагонал	C <sub>3h</sub> , D <sub>3h</sub> , C <sub>6</sub> , D <sub>6</sub> , C <sub>6h</sub> , C <sub>6v</sub> , D <sub>6h</sub>	5	c <sub>11</sub> c <sub>12</sub> c <sub>13</sub> 0 0 0 c <sub>11</sub> c <sub>13</sub> 0 0 0 0 0 0 0 c <sub>44</sub> 0 0 c <sub>44</sub> 0 X(c <sub>11</sub> - c <sub>12</sub> )	β-кварц, калийни сульфиди
9	Кубик	T, O, T <sub>h</sub> , T <sub>d</sub> , O <sub>h</sub>	3	c <sub>11</sub> c <sub>12</sub> c <sub>12</sub> 0 0 0 c <sub>11</sub> c <sub>12</sub> 0 0 0 c <sub>11</sub> 0 0 0 c <sub>44</sub> 0 0 c <sub>44</sub> 0 c <sub>44</sub>	Ишқорий галлоид кристаллар

### 9.6. Изотроп қаттиқ жисмнинг эластиклиқ модуллари

Изотроп мұхит үчүн эластиклиқ модуллари координаталар үқига бөглиқ бўлмайди. Бу эса

$$c_{12} = c_{13} = c_{23}, \quad c_{44} = c_{55} = c_{66} = (c_{11} - c_{12})/2, \quad c_{11} = c_{22} = c_{33} \quad (9.16)$$

бўлишини таъминлайди. Демак, изотроп қаттиқ жисмларда фақат иккита мустақил эластиклиқ модуллари мавжуд экан:

$$\lambda = c_{12} = c_{13} = c_{23}, \quad \mu = c_{44} = c_{55} = c_{66} \text{ ва (9.16) га асосан,}$$

$$c_{11} = c_{22} = c_{33} = \lambda + 2\mu$$

Ушбу ифодалардаги  $\lambda$  ва  $\mu$  катталикларни Ламэ доимийлари деб аталади. Изотроп қаттиқ жисм үчүн Гук қонуни қўйидагича ёзилади:

$$\sigma_{ik} = \lambda\theta\delta_{ik} + 2\mu\varepsilon_{ik}. \quad (i,k=1,2,3) \quad (9.17)$$

Бу ерда  $\theta = \epsilon_{11} + \epsilon_{22} + \epsilon_{33}$  — ҳажмий кенгайиш коэффициенти,  $\sigma_{ik}$ - Кронекер символи. Эластиклиқ модуллари  $c_{nm}$  деформацияланиш қандай жараёнда олиб борилганига қараб адіабатик ва изотермик эластиклиқ модулларига ажратилиади. Масалан, товушнинг тарқалиш жараёнидаги деформацияни адіабатик деформация деб қараш мумкин. Секин ўзгарадиган деформацияларни эса изотермик деформациялар деб олишимиз мумкин.

### 9.7. Содда деформация ва уларда турли эластиклик модуллари орасидаги бояланиш

Изотроп мұхитдаги содда деформацияларни қуриб чиқамиз. (9.17) ифодага ассоан, изотроп мұхит учун Гук қонуни

$$\begin{aligned}\sigma_{11} &= (\lambda + 2\mu)\varepsilon_{11} + \lambda\varepsilon_{22} + \lambda\varepsilon_{33} = \lambda\theta + 2\mu\varepsilon_{11} \\ \sigma_{22} &= \lambda\theta + 2\mu\varepsilon_{22} \\ \sigma_{33} &= \lambda\theta + 2\mu\varepsilon_{33} \\ \sigma_{32} &= \sigma_{23} = 2\mu\varepsilon_{32} \\ \sigma_{13} &= \sigma_{31} = 2\mu\varepsilon_{13} \\ \sigma_{12} &= \sigma_{21} = 2\mu\varepsilon_{21}\end{aligned}\quad (9.18)$$

куринишида ёзилиши мүмкін.

Юқоридаги тенгламалардан деформация компонентларини топамиз.

$$\left. \begin{aligned}\varepsilon_{11} &= \frac{2(\lambda + \mu)\sigma_{11} - \lambda\sigma_{22} - \lambda\sigma_{33}}{2\mu(3\lambda + 2\mu)}, \\ \varepsilon_{22} &= \frac{-\lambda\sigma_{11} + 2(\lambda + \mu)\sigma_{22} - \lambda\sigma_{33}}{2\mu(3\lambda + 2\mu)}, \\ \varepsilon_{33} &= \frac{-\lambda\sigma_{11} - \lambda\sigma_{22} + 2(\lambda + \mu)\sigma_{33}}{2\mu(3\lambda + 2\mu)}\end{aligned}\right\} \quad (9.19)$$

Ушбу ифодалар бир қанча содда деформацияларни таҳлил қилиш имконини беради.

а) Стерженинг чүзилишини қуриб чиқайлик. Бунда күчланиш фақат стержен узунаси бүйлаб қойылади:  $\sigma_{11} = \sigma_{ii} = \sigma$ , башқа барча ташқи күчланишлар нолга тең  $i \neq k$  бүлғанданда  $\sigma_{ik} = 0$ .

(9.19) тенгламалардан

$$\varepsilon_{11} = \frac{(\lambda + \mu)\sigma}{\mu(3\lambda + 2\mu)}, \quad \varepsilon_{22} = \varepsilon_{33} = -\frac{\lambda\sigma}{2\mu(3\lambda + 2\mu)} \quad (9.20)$$

Эканилигини топамиз. Юқоридаги ифодалардан куриниб турибдики, агар стержен  $x$  — үқи бүйича чүзилса, у шу үққа

күндаланг йұналишларда ( $yz$ ) ички күчлар таъсирида сиқилар экан ( $\varepsilon_{22}, \varepsilon_{33} < 0$ ).

$\varepsilon_{11}$  билан  $\sigma$  орасыдаги коэффициент стерженнинг эластиклігини билдирувчи катталик булиб, унга тескари катталик Юнг модули деб аталади:

$$E = \frac{(3\lambda + 2\mu)\mu}{\lambda + \mu}, \quad (9.21)$$

у ҳолда

$$\varepsilon_{11} = \frac{\sigma}{E} \quad (9.22)$$

Шундай қилиб, Юнг модули стерженни чузишга нисбатан қаттықлигини билдирувчи коэффициентdir. Соң жиҳатдан Юнг модули деформация бирға тенг бўлғандаги (бунда жисм икки марта узаяди) күчланишга tengdir.

Стреженнинг күндаланг деформациясининг бўйлама деформациясига нисбати Пуассон коэффициенти деб аталади.

$$v_0 = \frac{|\varepsilon_{22}|}{|\varepsilon_{11}|} = \frac{|\varepsilon_{33}|}{|\varepsilon_{11}|} = \bar{\varepsilon}_{22} \cdot \frac{E}{\sigma} = \frac{\lambda}{2(\lambda + \mu)} \quad (9.23)$$

Турли моддалар учун Пуассон коэффициенти  $0.2 \div 0.5$  оралықда бўлади. Юнг модули ва Пуассон коэффициентлари изотроп муҳитларнинг эластиклик хоссаларини тўлиқ ифодаловчи мустақил каттаиклар ҳисобланади. Ламэ константаларини ҳам ушбу каттаиклар орқали ифодалаш мумкин:

$$\left. \begin{aligned} \lambda &= v_0 E [(1 + v_0)(1 - 2v_0)]^{-1}, \\ \mu &= E [2(1 + v_0)]^{-1} \end{aligned} \right\} \quad (9.24)$$

Баъзи бир моддаларнинг изотроп ҳолатлари учун  $E$  Юнг модули,  $v_0$  Пуассон коэффициенти ва  $v_0$  силжиш модуллари  $G$  9.2- жадвалда келтирилган.

б) Бир жинсли чўзилиш.

Энди деформация фақат  $x$  — уқи буйлаб нолдан фарқли бўлган ҳолатни кўриб чиқамиз. Бунда  $yz$

## 9.2-жадвал

№	Модданинг номи	$E \cdot 10^{-10} \text{НФм}^2$	$\nu_0$	$G \cdot 10^{-10} \text{ НФм}^2$
1	Волфрам	36.0	0.27	13.3
2	Пулат – 3	22±24	0.30	8.5±8.8
3	Темир	21	0.28	8.2
4	Мис	12.0	0.35	4.6
5	Жез	9±10	0.35	3.0±3.7
6	Олтин	8.0	0.41	2.9
7	Алюминий	7.0	0.34	2.6
8	Қалай	5.4	0.33	2.0
9	Күргөшин	1.6	0.44	0.6
10	Кварц	7.4	0.18	3.2
11	Крон ойнаси	7.2	0.25	2.9
12	Флинт ойнаси	5.5	0.23	2.4
13	Чинни	6.0	0.23	2.4
14	Муз	1.0	0.33	0.4
15	Плексиглас	0.5	0.35	0.15

текислик бўйича деформация нолга teng бўлсин:  $\epsilon_{11} \neq 0$ ,  $\epsilon_{22} = \epsilon_{33} = 0$ .

Бундай деформацияни чексиз изотроп мұхитда тарқалаётган бўйлама акустик тўлқынлар содир қиласди. Гук қонунига асосан, (9.18) ифодалардан

$$\sigma_{11} = (\lambda + 2\mu)\epsilon_{11}, \quad \epsilon_{22} = \sigma_{33} = \lambda\epsilon_{11} \quad (9.25)$$

Демак, бу ҳолда кўндаланг мусбат кучланиш пайдо бўлади. Эластиックли модули эса

$$c_{11} = \lambda + 2\mu \quad (9.26)$$

ифода билан аниқланади. (9.24) ифодадан фойдаланиб,

$$c_{11} = E[2(1+\nu_0)(1-\nu_0)]^{-1} \quad (9.27)$$

эканлигини топамиз. Охирги ифодадан кўриниб турибдики,  $\nu_0$  нинг ҳар қандай ҳақиқий қийматида  $E < c_{11}$  бўлади. Бунинг физик маъноси шундан иборатки, кўндаланг деформациянинг йўқлиги мұхитнинг x ўқи бўйича чўзилишини қийинлаштиради ва натижада мұхитнинг эффектив қаттиқлиги ошади.

в) Соф силжиш.

Кучланиш тензорини  $x$  текисликда силжима (ёки тангенциал) ташкилловчиси  $\sigma_{12} = \sigma_\tau$  таъсир қилаётган бўлсин. Қолган барча ташкилловчи нолга teng. Бу ҳол силжиш деб

аталади. (9.19) ифодалардан фойдаланиб, қуйидагини ҳосил қиласиз:

$$\varepsilon_{12} = \varepsilon_{21} = \frac{\sigma_r}{2\mu} \quad (9.28)$$

Олдин айтиб үтганимиздек, деформация тензорининг  $\varepsilon_{12}$  компонентаси зу текисликдаги силжиш бурчагининг ярмиға тенг:  $\varepsilon_{12} = \frac{\varphi_{12}}{2}$ . Тұлиқ силжиш бурчаги эса

$$\varphi = \frac{\sigma_r}{\mu} = \frac{\sigma_r}{G} \quad (9.29)$$

Шундай қилиб,  $\mu$  силжиш модули  $G$  га тенг ва у тангенциал күч таъсирида жисмнинг силжиш бурчагига тенг. Бу модулнинг Юңг модули ва Пуассон коэффициенті билан бөгланиши (9.24) ифодада көлтирилган.

Ушбу ифодадан силжиш модули Юңг модулидан  $2.5 \pm 3$  марта кичик бўлиши келиб чиқади.

г) Ҳар томонлама сиқилиш.

Куб шаклидаги кичик ҳажмни танлаб оламиз, унинг ёқлари  $x, y, z$  үқларига параллел йўналган бўлсин. Кубнинг ҳамма ёқларига кубнинг марказига йўналган (яъни манфий) ўзаро тенг кучланиш таъсир қиласин. У ҳолда

$$-\sigma_{11} = -\sigma_{22} = -\sigma_{33} = p \quad (9.30)$$

бўлади. Тангенциал кучларни нолга тенг деб оламиз. (9.18) ифода қуйидаги кўринишга келади:

$$-p = \lambda\theta + 2\mu\varepsilon_{11},$$

$$-p = \lambda\theta + 2\mu\varepsilon_{22}, \quad (9.31)$$

$$-p = \lambda\theta + 2\mu\varepsilon_{33},$$

$$\varepsilon_{12} = \varepsilon_{23} = \varepsilon_{13} = 0.$$

Юқоридаги учала тенгламани қўшиб,

$$p = -(\lambda + \frac{2}{3}\mu)\theta \quad (9.32)$$

ифодани ҳосил қиласиз. Охириги ифода ҳар томонлама сиқилиш учун Гук қонуни деб аталади.

$$K = \lambda + \left(\frac{2}{3}\right)\mu \quad (9.33)$$

кагталикни ҳар томонлама сиқиши коэффициенти деб аталади. (9.24) ифодалардан фойдаланиб, ушбу коэффициентни Юнг модули ва Пуассон коэффициенти орқали ифодалаш мумкин:

$$K = E[3(1 - 2\nu_0)]^{-1} \quad (9.34)$$

Ушбу ифодадан сиқилмайдиган муҳит учун ( $k=\infty$ ) Пуассон коэффициенти  $\nu_0=0,5$  эканлиги келиб чиқади. (9.26) ва (9.33) ифодаларни таққослаб,  $c_{11}$  ва  $K$  лар орасидаги боғланишни то-пиш мумкин:

$$c_{11} = K + \left(\frac{4}{3}\right)\mu. \quad (9.35)$$

Ҳар томонлама сиқилиш натижасида жисм зичлиги  $\Delta\rho$  қадар ўзгарса, унинг нисбий сиқилиш коэффициенти

$$s = \frac{\Delta\rho}{\rho_0} \quad (9.36)$$

ифода билан аниқланади. Гук қонунидан келиб чиқсан ҳолда ушбу кагталикни  $\rho$  ва  $K$  лар орқали ифодалаш мумкин:

$$s = \frac{P}{K}. \quad (9.37)$$

Силжиш модули  $G=0$  бўлган муҳитлар ҳам мавжуд. Бундай муҳитларга идеал оқувчаникка эга бўлган суюқлик ёки газлар киради. Уларнинг эластиклиги фақат битта Ламэ доимийси орқали аниқланади. Бундай муҳитнинг ҳар бир ажратилган юзасига нормал йўналган кучланиш таъсир қиласи.

## 9.8. Кичик деформациялар энергияси

Кичик деформацияларнинг деформация натижасида олган энергиясини топамиз. Деформация натижасида силжиш вектори и кичик  $du$  қўйматга ўзгарсин. Бунда бажарилган элементтар иш ички кучларнинг  $du$  га кўпайтмасига тенг.

Ички кучни  $F_i = \frac{\partial \sigma_{ik}}{\partial x_k}$  га тенглигидан

$$dA = \int_V \left( \frac{\partial \sigma_{ik}}{\partial x_k} \right) (du_i) dV. \quad (9.38)$$

Бұлаклаб интеграллаганимизда (9.38) ифода қуйидаги күрнишга келади:

$$dA = \int_V \sigma_{ik} (du_i) dS - \int_V \sigma_{ik} \frac{\partial}{\partial x_k} (du_i) dV. \quad (9.39)$$

Деформацияланган катта мұхит учун биринчи интеграл нолға тенг болады. Чunksi, мұхит юзасида  $\sigma_{ik}=0$ . Иккінчи интегралда  $\left( \frac{\partial}{\partial x_k} \right) (du_i) = d \left( \frac{\partial u_i}{\partial x_k} \right)$  әканлигини ҳисобга олиб,

$$dA = - \int_V \sigma_{ik} d \left( \frac{\partial u_i}{\partial x_k} \right) dV \quad (9.40)$$

күрнишда ёзиш мүмкін. Интеграл остидаги ифода бирлик ҳажмдаги ички күчлар бажарған ишни ифодалайды:

$$A' = -\sigma_{ik} d \left( \frac{\partial u_i}{\partial x_k} \right) \quad (9.41)$$

Чизиқий деформация учун  $\sigma_{ik}$  тензорнинг симметрик бўлишидан фойдаланиб, қуйидаги

$$\sigma_{ik} d \left( \frac{\partial u_i}{\partial x_k} \right) = \sigma_{ik} d \left[ \frac{1}{2} \left( \frac{\partial u_i}{\partial x_k} + \frac{\partial u_k}{\partial x_i} \right) \right] = \sigma_{ik} d \varepsilon_{ik} \quad (9.42)$$

ифодага келамиз. Үнда ҳажм бирлигидаги элементар иш учун

$$dA' = -\sigma_{ik} d \varepsilon_{ik} \quad (9.43)$$

ифодани ҳосил қиласиз.

Қайтарувчи адиабатик деформацияланыш жараёнлари учун бу иш тескари ифода билан олинган ички энергиянинг ўзгаришига тенг:

$$dU = -dA' = \sigma_{ik} d \varepsilon_{ik} \quad (9.44)$$

Умумлашган Гук қонунидан фойдаланиб, қуйидаги

$$dU = c_{ijkl} \varepsilon_{ik} d \varepsilon_{jl} \quad (9.45)$$

ифодани ҳосил қиласиз. Уни интегралласак, эластик деформацияланган жисмнинг потенциал энергияси учун

$$U = \frac{c_{ijkl} \varepsilon_{ik} \varepsilon_{jl}}{2} \quad (9.46)$$

ифодани ҳосил қиласиз. Изотроп мұхит учун (9.46) ифода бир қанча солда күринишга келади.

$$U = \frac{\lambda \theta^2}{2} + \mu \varepsilon_{ik}^2 \quad (9.47)$$

Охирги ифодани (деформация бүйича) дифференциаллага-нимизда (9.17) ифодани ҳосил қиласиз.

## 9.9 Тензоқаршилик ҳодисаси

Үтказгич электрик қаршилигининг механик деформация таъсирида ўзгаришини тензоқаршилик ҳодисаси деб аталади. Бу ҳодиса айниқса ярим үтказгичларда яққол намоён булади. Деформация натижасида ярим үтказгичларда заряд ташувчиларнинг энергетик спектри, эффектив массаси, тақиқланган зона кенглиги ва бошқа бир қатор катталиклар ўзагаради. Бу эса ярим үтказгичнинг электрик қаршилиги ўзгаришига олиб келади. Бу ҳодисани бағолаш учун маҳсус катталиклар киритилган.

$$Pe = \frac{\rho'' - \rho_0''}{(-p)\rho_0''} \quad (9.48)$$

нисбат билан аниқланадиган катталик – тензоқаршиликтин бүйлама коэффициенти ёки кучланиш бүйича тензосезирлик дейилади. Бунда  $\rho_0''$ , деформация йүқлигидаги солиширма қаршиликті.

Деформация бүйича тензосезирлик коэффициенти дейилган.

$$S = \Pi \cdot E \quad (9.49)$$

катталик киритишимиз ҳам мүмкін, бунда  $E$ - Юнг модули. Ярим үтказгичларнинг тензосезирлиги металларницидан үн – юз марта ортиқ. Масалан,  $\rho_0=0,1$  0м.см солиширма қаршиликли  $p$  - тур кремний учун  $S$  тахминан 125 га тенг ва металл сим тензометрларницидан 60 марта ортиқ.

Хозирги замон фани ва техникасида тензоқаршилик ҳодисаси асосида тайёрланган күргина самарали тензометрлар

жуда кичик деформацияларни үлчашда, силжиш, моментлар, кучлар, босимларнинг сезгир үлчагичлари сифатида, иисбатан катта деформацияларни үлчашда ва бошқа мақсадларда кенг қўлланилмоқда.

### Саволлар ва масалалар

1. Деформация деганда нимани тушунасиз?
2. Деформацияларнинг қандай турлари бор?
3. Кичик деформациялар учун Гук қонуни қандай кўринишида бўлади?
4. Ламэ доимийлари нима?
5. Пуассон ва Ламэ доимийлари қандай боғланган?
6. Изотроп олтин учун Ламэ доимийларини аниқланг.  $E$  ва  $v_0$  қийматлари 9.2 – жадвалда келтирилган.
7. Бир үлчовли деформация учун  $c_{11}$  топилсин ( $\epsilon_{11} \neq 0$ , қолган барча  $\epsilon_{ik}=0$ ),  $v_0=0,35$ ,  $\mu=3,5$ .
8. 9.2-жадвалдан фойдаланиб изотроп алюминий учун ҳар томонлама сиқилиш коэффициенти  $K$  топилсин.

## Х БОБ

### М Е Т А Л Л А Р

Қадимдан металлар инсонлар ҳәётида муҳим ўрин тутган. Фан ва техника ривожланишини металларсиз тасаввур қилиши қийин. Табиатда металлар миқдор жиҳатдан күп бўлмасада, уларнинг турлари куп учрайди. Элементлар даврий жадвалидаги бизга маълум 107 та кимёвий элементдан 83 таси металлар ҳисобланади. Металл сўзи юонча «metallon» сўзидан келиб чиққан бўлиб шахта, *руда*, найза каби маъноларни англатади.

Металлар электр токини ва иссиқликни яхши ўтказади, электромагнит тўлқинларни яхши қайтаради. Уларнинг механик хоссаларида бошқа қаттиқ жисмларга нисбатан бир қанча афзалликлар бор. Металларнинг бу хоссалари, уларнинг молекула (ёки атом) лари орасидаги боғланиш табиатидан, уларнинг кристалл панжараси ва энергетик зоналари тузилишидан келиб чиқади. Кўп ҳолларда металлар ҳажмий ёки марказлашган кубик ва гексагонал тузилишга эга бўлган, молекула (ёки атом)лари зич жойлашган кристалл панжараси ҳосил қиласидилар.

Металларнинг юқорида келтирилган ажойиб хоссалари олимларни ўзига жалб қиласиди. Металларни физик хоссалари ни тушунтириб берувчи назариялар ва моделлар яратиш XIX—аср охирилари XX — аср бошидан бошланган. Ҳозирги кунда мумтоз моделларнинг кўпчилиги талабга жавоб бермаса-да, баъзи моделлардан ҳозирда ҳам фойдаланиб келинмоқда. Шунинг учун ҳам биз даставвал яратилган металлар назарияларини қисқача кўриб ўтамиз.

#### 10.1. Металларнинг электрик хоссалари

Металлар электрик токини яхши ўтказувчи моддалардир. Металл ўтказгичдан утаётган токнинг зичлиги унга қўйилган электр майдон кучланганлигига тўгри пропорционал:

$$I = \sigma E. \quad (10.1)$$

Бу ифода Ом қонуни деб номланади. Пропорционаллик коэффициенти  $\sigma$  солишишима электр ўтказувчанлик, унга тескари

$$\rho = \frac{1}{\sigma} \quad (10.2)$$

катталик эса солишишима электр қаршилик дейилади. Металларнинг солишишима қаршилиги  $10^{-8} \div 10^{-6}$  Ом<sup>-1</sup> м оралигига қийматларга эга. Металларнинг электр ўтказувчанлигини тушунтириб берувчи моделлардан биринчисини Друде ишлаб чиқди.

### 10.1.1 Друде модели

Инглиз физиги Ж. Ж. Томсон 1897 йили электронни кашф этди. Бу кашфиёт моддаларнинг турли хоссаларини тушунтириш учун катта турткы бўлди. Орадан уч йил ўтгач, Друде ўзининг электр ва иссиқлик ўтказишнинг классик(мумтоз) назариясини ишлаб чиқди. Ушбу назарияга асосан металларни эркин электронлар газига ботирилган ионлардан иборат деб тасаввур қилинади. Ундан ташқари, назария яна қуйидаги фарзларга асосланган.

а) Электронлар кристалл бўйлаб эркин кучиб юра олади. Улар ўз ҳаракатлари давомида кристалл панжараси тугунларидаги ионлар билан тўқнашадилар.

Электроннинг бир-бири билан тўқнашувлари ҳисобга олинмайди. Икки тўқнашув орасида электрон Ньютон қонунига асосан тўғри чизиқ бўйлаб ҳаракат қиласи;

б) Электронларнинг металл ионлари билан тўқнашуви оддий зарядсиз шарчалар тўқнашувидек содир бўлади;

в) Электроннинг икки кетма-кет тўқнашувлар орасидаги ҳаракати ўртacha вақти  $\bar{\tau}$  киритилган ва уни электроннинг ўртacha эркин югуриш вақти деб номланади. Электроннинг вақт бирлигидаги тўқнашувлар эҳтимоллиги  $1/\bar{\tau}$  га тенг деб олинган;

г) Электронлар гази тўқнашувлар туфайли термодинамик мувозанатга келади. Уларнинг тўқнашишидан олдинги ва кейинги тезликлари ўзаро боғлиқ эмас.

Металлдаги ҳамма электронлар бир хил ўртача тезликка эга булиб, уларни бир атомли идеал газдек тасаввур қилинган.

Металл утказгич учларига электр кучланиш қўйилмаганда ундаги эркин электронлар тартибсиз иссиқлик ҳаракатида бўлади. Классик(мумтоз) физиканинг энергияни эркинлик дарражалари буйича тенг тақсимот қонунига асосан, ҳар бир электронга тўғри келувчи ўртача кинетик энергия  $3/2 kT$  га тенг. Бундан ўртача тезликни топишимиш мумкин:

$$\frac{m \bar{u}_T^2}{2} = \frac{3}{2} kT \quad (10.3)$$

ва

$$|\bar{u}|_T = \sqrt{\frac{3kT}{m}} \quad (10.4)$$

ҳажм бирлигидаги электронлар сони  $n$  га тенг бўлсин, унда электронларниг ҳажм бирлигидаги кинетик энергияси

$$W_k = \frac{3}{2} n k T \quad (10.5)$$

бўлади. Металлга электр майдон қўйилганда ундаги эркин электронларниг тартибсиз иссиқлик ҳаракатига майдоннинг таъсир кучи йўналишида тартибли ҳаракат қўшилади. Электронлар гуруҳининг бир томонга қараб силжиши кузатилади. Электронларниг ташқи электр майдон таъсиридаги бундай ҳаракати дрейф ҳаракати ва ҳаракат тезлиги дрейф тезлик деб аталади. Ташқи майдон электронга  $-e E$  куч билан таъсир қиласи, бу куч таъсирида электрон

$$a = \frac{-eE}{m} \quad (10.6)$$

тезланиш олади. Электроннинг ионлар билан икки кетма-кет түқнашишлари орасида олган ўртача дрейф тезлиги

$$\bar{v} = a\bar{\tau} = \frac{-eE\bar{\tau}}{m} \quad (10.7)$$

бунда  $-e$  — электроннинг заряди,  $m$  — унинг массаси.

Маълумки, металл ўтказгичдаги ток зичлигини қўйидагича ёзишимиз мумкин:

$$J = -nev \quad (10.8)$$

Бу ерда  $n$  — бирлик ҳажмдаги электронлар сони. У ҳолда (10.7) ва (10.8) муносабатдан фойдаланиб,

$$j = \frac{m}{m} \cdot \bar{\tau} E \quad (10.9)$$

ифодани ҳосил қиласиз. (10.9) ни (10.1) билан таққослаб металнинг

$$\sigma = \frac{ne^2 \bar{\tau}}{m} \quad (10.10)$$

электр ўтказувчанлигини топамиз. Ушбу ифода ёрдамида металнинг солиштирма қаршилиги  $\rho$  ни билган ҳолда  $\bar{\tau}$  ни аниқлашимиз мумкин:

$$\bar{\tau} = \frac{\sigma m}{ne^2} = \frac{m}{n\rho e^2} \quad (10.11)$$

$\rho$  — нинг хона температурасидаги қийматини олиб,  $\bar{\tau}$  ни ҳисоблаганимизда  $\bar{\tau} = 10^{-14} \div 10^{-15} \text{ с}$  бўлади. Электроннинг дрейф тезлиги унинг иссиқлик тезлигидан анча кичиклиги учун  $\bar{\tau}$  ни эркин югуриш масофаси  $\bar{l}$  орқали қўйидагича ёзиб олишимиз мумкин:

$$\bar{\tau} = \bar{l} / \bar{u}_T \quad (10.12)$$

Охирги муносабатдан  $\bar{\tau}$  ни билган ҳолда ва хона температураси учун (10.4) дан  $\bar{u}_T$  ни ҳисоблаб ( $\bar{u}_T \equiv 10^7 \text{ м/с}$  бўлади),

металлдаги эркин электронлар учун  $\bar{l} = (1 \div 10) \overset{\circ}{\text{А}}$  бўлишини аниқлаймиз. Кристалл панжараси ионлари орасидаги масофа ҳам ана шу тартибда бўлишини эътиборга олсан, Друде модели жуда яхши натижага олиб келишига ишонч ҳосил қиласиз. Бироқ паст температураларда назария билан тажриба натижалари бир-биридан узоқлашиб кетади. Тажриба паст температу-

раларда  $\bar{l} \sim 10^3 \overset{\circ}{\text{А}}$  гача ва ҳатто тоза намуналарда  $10^8 \overset{\circ}{\text{А}} = 1 \text{ см}$  бўлишини кўрсатади.

Бу ҳолни Друде назарияси ёрдамида тушунтириш қийин. Энди  $\bar{\tau}$  нинг температурага боғлиқлигини курамиз. (10.4) ва (10.12)лардан

$$\bar{\tau} = \bar{l} \sqrt{\frac{m}{3kT}} \quad (10.13)$$

уни (10.10) га құйсак, қуйидаги нәтижага келамиз:

$$\sigma = ne^{\frac{T}{T_m}} \sqrt{\frac{1}{3kTm}} \quad (10.14)$$

Күриниб турибиди, Друде моделида үтказувчанлик  $\sigma \sim T^{-\frac{1}{2}}$  экан. Тажрибалар эса о нинг  $T^{-\frac{1}{2}}$  га пропорционаллигини күрсатади. Бу ҳам металларнинг ушбу модели қийинчиликларидан биридир.

Друде назариясининг яна бир ютуғи уни Видеман — Франц қонуни учун тұғыр нәтижага олиб келишидир. Тажриба усули билан 1853 йилда аниқланған Видеман-Франц қонунiga күра, металларнинг иссиқлик үтказувчанлик коэффициенти уларнинг электр үтказувчанлығига нисбати маълум бир температурада барча металлар учун бир хил қийматтаға әгадир, яғни

$$k/\sigma = LT. \quad (10.15)$$

Бунда  $L$  ўзгармас сон бўлиб, уни Лоренц сони деб ҳам аталади. Ушбу қонунни текшириб кўриш учун Друде назариясига асоссанланиб Лоренц сонини келтириб чиқарамиз. Бизга  $\sigma$  нинг сўриниши маълум. Демак, металлнинг иссиқлик үтказувчанлыгини топишмиз керак. Таърифга кўра, иссиқлик үтказувчанлик бирор жисмдаги иссиқлик оқими зичлиги билан температура градиенти орасидаги боғланиш коэффициентидир.

$$q = -k \nabla T. \quad (10.16)$$

Бунда  $q$  — иссиқлик оқими зичлиги, яны вақт бирлигидан берилген үтказувчанлик миқдори,

$$\nabla T = \frac{\partial T}{\partial x} \hat{i} + \frac{\partial T}{\partial y} \hat{j} + \frac{\partial T}{\partial z} \hat{k} = grad T \quad (10.17)$$

эса температура градиентидир.

$k$  ни топиш учун учларида доимий температуралар фарқи мавжуд бўлган металл стерженни кўриб чиқайлик.  $X$  — ўқини стержен узунаси ёйлаб йўналтирамиз. Бундай стационар бир ўлчовли ҳол учун (10.16) ифода

$$q = -k \frac{dT}{dx} \quad (10.18)$$

күринишигэ келади. Стерженнинг турли нүқтәларыда температура түрли бүлгани учун электроннинг ўртача иссиқлик энергияси координата ва температурага боғлиқ бүләди  $E=E(x, T)$ . Стержен-нинг бир учидан  $x$  масофада жойлашган кесими орқали ўтаётган иссиқлик оқимини ҳисоблаймиз. Бу иссиқлик оқими вақт бирлигиде кесимнинг чап томонидан ўнг томонига ўтаётган электронлар энергияси билан ўнг томондан чап томонга ўтаётган электронлар энергияси фарқига тенг бүләди. Ток йүқлиги назарда тутилгани учун электронлар сони, албатта тенг бўлиши кепрак. У ҳолда иссиқлик оқими зичлиги учун

$$q = -C_v \Delta T \Delta V / S \Delta t \quad (10.19)$$

ифодани ҳосил қиласиз. Бунда  $C_v$  — ҳажм ўзгармас бүлгандаги металлнинг иссиқлик сиғими,  $\Delta T$  — стерженнинг  $\Delta x$  га тенг бүлган масофадаги икки нүқтаси орасидаги температуралар фарқи ва  $\Delta V$  стерженнинг узунлиги  $\Delta x$  бүлгандаги ҳажми.  $\Delta x$  ни нолга яқинлаштириб ( $\Delta x \rightarrow 0$ ),  $x$  нүқтадаги кесмадан ўтаётган оқимни топамиз:

$$q = C_v \left( -\frac{dT}{dx} \right) \frac{dx}{dt} = -C_v v_x \frac{dT}{dx} dx. \quad (10.20)$$

Эркин югуриш масофаси кичик бүлган ҳолларда  $dx \approx v_x \bar{\tau}$  деб олишимиз мумкин. Унда

$$q = -C_v v_x^2 \bar{\tau} \frac{dT}{dx} \quad (10.21)$$

Бир ўлчовли ҳолдан уч ўлчовлик ҳолга ўтамиш. Бу ҳолда

$$v_x^2 = \frac{1}{3} v^2 \quad (10.22)$$

ва  $dT/dx$  ўрнига  $\nabla T$  ёзилади. Натижада

$$q = -\frac{1}{3} C_v v_T^2 \bar{\tau} \nabla T \quad (10.23)$$

муносабатни ҳосил қиласиз. Уни (10.16) билан таққослаб иссиқлик ўтказувчанлик учун

$$\kappa = \frac{1}{3} C_v v_T^2 \bar{\tau} = \frac{1}{3} C_v v_T \bar{\tau} \quad (10.24)$$

ифодага эга бўламиш. Бу муносабат металлардаги эркин электронларнинг иссиқлик ўтказувчанлик коэффициентидир. Энди Лоренц сонини топишимиз мумкин.

$$\frac{\kappa}{\sigma} = \frac{C_v m v_T^2}{n e^2} \quad (10.25)$$

(10.5) ифодадан  $C_v$  ни толамиз,

$$C_v = \left( \frac{\partial W_k}{\partial T} \right)_v = \frac{3}{2} k n \quad (10.26)$$

ва (10.3) ни ҳисобга олган ҳолда,

$$\frac{\kappa}{\sigma} = \frac{3}{2} \left( \frac{k}{e} \right)^2 T \quad (10.27)$$

ни ҳосил қиласиз. У ҳолда Лоренц сони учун

$$L = \frac{\kappa}{\sigma T} = \frac{3}{2} \left( \frac{k}{e} \right)^2 \quad (10.28)$$

қиймат келиб чиқади. Уни ҳисобласак,  $L = 1.11 \cdot 10^{-8}$  Вт·Ом/Кл<sup>2</sup> бўлади. Бу қиймат тажрибадаги натижадан икки марта кам. Шунга қарамай ушбу натижа Друде модели ютуқларидан ҳисобланади, чунки у Лоренц сони металларнинг турига боғлиқ эмаслигини тасдиқлайди.

### 10.1.2. Металларда Холл ҳодисаси

Металл ўтказгични ундаги оқаётган ток йўналишига кўндаланг йўналган магнит майдонга жойлаштирасак ўтказгичнинг ён томонларида потенциаллар фарқи пайдо бўлади (10.1- чизма). Бу ҳодиса Холл ҳодисаси деб номланади. Маълумки, магнит майдонда ҳаракатланаётган зарядли заррага Лоренц кучи таъсир этади:

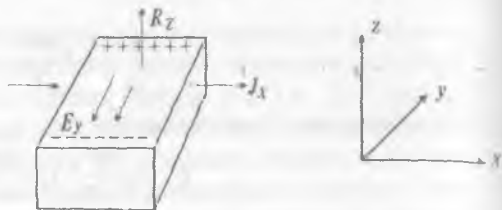
$$\bar{F}_H = \frac{q}{c} [\bar{V} \bar{H}] \quad (10.29)$$

Бунда  $\bar{V}$  — зарра тезлиги,  $\bar{H}$  — магнит майдон қучланганилиги,  $q$  — зарра заряди.

Металл ўтказгичдаги эркин электронларга

$$\bar{F} = -\frac{\mu}{c} [\bar{V} \bar{H}] \quad (10.30)$$

күч таъсир этади ва бу күч 10.1- чизмадаги ҳол учун у - ўқи бўйлаб йўналган. Натижада намунинг у - ўқига қўндаланг ёқларида потенциаллар фарқи вужудга келади. Ҳосил бўлган электр майдон кучланганлиги ўтказгич-даги ток зичлиги ва ташқи магнит майдон кучланганлигига пропорционал бўлади:



10.1-чизма. Ҳолл ҳодисасига оид.

$$\bar{E} = R_H [\bar{j} \bar{H}]. \quad (10.31)$$

Бу ифодадаги  $R_H$  – **Ҳолл коэффициенти** деб аталади. Друде моделига асосланган ҳолда Ҳолл коэффициенти учун

$$R_H = -\frac{1}{en} \quad (10.32)$$

ифода олинган. Бу натижага кўра,  $R_H$  нинг фақат металлардаги заряд ташувчилар зичлигига боғлиқлиги келиб чиқади.

Кўп металлар учун паст температура ва кучли магнит майдонда (10.32) ифода тажриба билан мос келувчи натижалар беради. Аммо, бошқа ҳолларда температура ва магнит майдон кучланганлигига боғлиқ экан. Ҳолл коэффициентини билган ҳолда паст температуралар учун металлардаги заряд ташувчилар зичлигини ҳисоблаб топишимиз мумкин.

### 10.1.3. Металларнинг Лоренц модели

Металларнинг классик моделларидан яна бири 1905 йилда эълон қилинган Г. А. Лоренц моделидир.

Ушбу модел Друде моделидан асосан қўйидагилар билан фарқ қиласи:

а) металлдаги эркин электронлар тезликлари Максвел тақсимотига ( $2 \kappa_e$ ) бўйсунади деб олинади;

б) электронларнинг дрейф ҳаракатини ифодалашда Болцманнинг кинетик тенгламасидан фойдаланилади.

Энди бу моделга асосланиб металларнинг электр хоссаларини куриб чиқамиз. Ташқи энергетик майдон йўқлигига

электронларнинг тезликлар буйича Максвелл тақсимоти функциясини

$$f dV_x dV_y dV_z = n \left( \frac{m}{2\pi k_B T} \right)^{\frac{3}{2}} \exp \left[ -\frac{m(V_x^2 + V_y^2 + V_z^2)}{2k_B T} \right] dV_x dV_y dV_z \quad (10.33)$$

кўринишда ёзib оламиз. Болиман тенгламасини соддалаштириш учун металлни изотроп деб ҳисоблаймиз. Бундай ҳолда электронларнинг тақсимот функцияси  $f_0$  ҳам йўналишга (яъни координаталарга) боғлиқ бўлмайди. Металлга бир жинсли  $\vec{E}$  электр майдон қўямиз. Электронларнинг тартибсиз иссиқлик ҳаракати тезликларига бир томонга йўналган дрейф тезлик қўшилади, натижада  $f$  ҳам ўзгаради. Электр майдон кўйилгандан кейинги тақсимот функцияси  $f$  нинг вақт буйича ҳосиласини оламиз:

$$\frac{\partial f}{\partial t} = \left( \frac{\partial f}{\partial t} \right)_M + \left( \frac{\partial f}{\partial t} \right)_T \quad (10.34)$$

Биринчи қўшилувчи  $f$  нинг электр майдон таъсирида ўзгаришини, иккинчиси эса  $f$  нинг электронларнинг ионлар билан тўқнашиши ҳисобига ўзгаришини билдиради.  $f$  нинг координаталарга боғлиқлигини ҳисобга олмаймиз. Биринчи қўшилувчини бошқачароқ кўринишга келтиришимиз мумкин:

$$\left( \frac{\partial f}{\partial t} \right)_M = \left( \frac{\partial V}{\partial t} \right) \left( \frac{\partial f_0}{\partial V} \right) = \left( \frac{-e\vec{E}}{m} \right) \cdot \left( \frac{\partial f_0}{\partial V} \right) \quad (10.35)$$

чунки  $\vec{V} = \vec{a}t = \frac{-e\vec{E}}{m}t$ ,  $\left( \frac{\partial f}{\partial V} \right)$  ҳосилани  $\frac{\partial f_0}{\partial V}$  билан алмаштирилади. Сабаби:  $f_0 \approx f$ .

Тезликнинг тўқнашишлар ҳисобига ўзгаришини электронларнинг электр майдондаги тезланиши мувозанатлайди. Шунинг учун Лоренц  $\left( \frac{\partial f}{\partial t} \right)_T$  катталикни  $(f - f_0)$  га тўғри пропационал бўлади деб тахмин қиласиди:

$$\left( \frac{\partial f}{\partial t} \right)_T = \frac{f_0 - f}{\tau_r}, \quad (10.36)$$

бунда  $\tau_r$  — **релаксация вақти** деб аталади. Ушбу ифодалардан электр майдонда ҳаракатланытган эркин электронлар учун Болцман кинетик тенгламасини ҳосил қиласиз:

$$\frac{\partial f}{\partial t} + \frac{e\vec{E}}{m} \left( \frac{\partial f_0}{\partial \vec{V}} \right) + \frac{f - f_0}{\tau_r} = 0. \quad (10.37)$$

Электр майдон таъсирида  $f_0$  дрейф тезлиги йұналиши бүйича бир оз силжиди ва умуман олғанда шакли ҳам бир оз үзгаради, яни деформацияланади. Лоренц кичик электр майдонлар учун  $f_0$  нинг силжиши үртача квадрат  $V_{ke}$  тезликка нисбатан анча кичик булишини құрсатади. Шунинг учун  $f_0$  нинг деформациясини ҳам ҳисобга олмаса ҳам бұлади, яни электр майдон таъсирида үзгармайди деб ҳисобланади.

Металлга қойилған доимий электр майдон  $\tau_r$  га нисбатан узоқ вақт таъсир этса стационар ҳолат қарор топади. Мувозанатий ҳолатда тақсимот функцияси вақтта боғлиқ бұлмайди (үзгармайди):

$$\frac{\partial f}{\partial t} = 0. \quad (10.38)$$

У ҳолда (10.37) дан фойдаланиб стационар ҳолат учун

$$f = f_0 + \left( \frac{\tau_r e \vec{E}}{m} \right) \left( \frac{\partial f_0}{\partial \vec{V}} \right) \quad (10.39)$$

ифода оламиз. Энди  $f$  металдан доимий ток оқаётгандаги электронларнинг тезликлар бүйича тақсимотини билдиради. Майдон  $x$  — ўқи бүйича йұналған деб олсак, ток зичлиги учун қуйидагини ёзишимиз мүмкін:

$$J_x = - \int e V_x f dV_x dV_y dV_z \quad (10.40)$$

Бунда  $f$  нинг үрнига (10.39) ни қўйсак,

$$J_x = - \int [e V_x f_0 dV_x dV_y dV_z] - \int e V_x \frac{e E \tau_r}{m} \left( \frac{\partial f_0}{\partial V_x} \right) dV_x dV_y dV_z.$$

Ушбу ифоданинг биринчи құшилувчиси нолга тең. Демак,

$$J_x = - \int \frac{e^2 \tau_r E}{m} V_x \left( \frac{\partial f_0}{\partial V_x} \right) dV_x dV_y dV_z \quad (10.41)$$

(10.1) билан (10.41) ни таққосласақ,

$$\sigma = - \int \frac{e^2 \tau_r V_x}{m} \frac{\partial f_0}{\partial V} dV_x dV_y dV_z . \quad (10.42)$$

Релаксация вақтини эркин югуриш масофаси  $\bar{l}$  ва ўртача квадрат тезлик  $V$  орқали ифодалаймиз:

$$\tau_r = \frac{\bar{l}}{V} .$$

$V_x = \frac{1}{3} V$  эканлигини ҳисобга олсак,

$$\sigma = - \int \frac{e^2 \bar{l}}{3m} \frac{\partial f_0}{\partial V} dV_x dV_y dV_z . \quad (10.43)$$

Бундаги  $dV_x dV_y dV_z$  нинг ўрнига тезликлар фазосидаги  $dV$  қалинликдаги сферик қатлам ҳажмини қўйишимиз мумкин. Сферик қатлам ҳажми  $4\pi V^2 dV$  га teng бўлади. Унда

$$\sigma = \frac{4\pi e^2}{3m} \int_0^\infty \bar{l} V^2 \left( -\frac{\partial f_0}{\partial V} \right) dV . \quad (10.44)$$

Ушбу интегрални ҳисоблаб,

$$\sigma = \frac{4\pi e^2 \bar{l}}{3(2\pi n k T)^{1/2}} \quad (10.45)$$

натижага эришамиз. Бу ифода Друде моделидаги  $\sigma$  дан

$$\sqrt{\frac{3\pi}{8}} = 1,09$$

купайтувчи билан фарқ қиласди. Кўриниб турибдики,

Лоренц модели асосида металларнинг электр ўказувчанилиги учун ҳосил қилинган натижамиз, олдинги Друде назариясиники билан деярли бир хил экан.

Лоренц моделига асосланиб металларнинг иссиқлик ўтказувчанигини ҳисоблаганимизда,

$$N = \frac{1}{9} C_v \bar{l} V_T , \quad (10.46)$$

яъни Друде натижасидан уч марта кичик муносабатга келамиз. Мос ҳолда Лоренц сони ҳам уч марта кичик бўлади. Лоренц моделига асосланиб Холл коэффициентини топсак,

$$R_H = - \left( \frac{3\pi}{8ne} \right) \quad (10.47)$$

Натижалар шуни күрсатадыки, бу юқорида баён қилинган иккى классик(мұмтоз) назариялар металларнинг электр ва иссиқлик үтказувчанликлари, Холл коэффиценти учун деярли бир хил натижаларга олиб келади. Классик(мұмтоз) назариялар асосида Видеман-Франц қонуни, паст температуралардаги үтказувчанлик ва баъзи қонунияттар ва катталиклар учун тұғри ифодалар ҳосил қилинади. Лекин, бу назариялар металларнинг иссиқлик сиғимини, юқори магнитик сингдируұчанлыгини, мусбат Холл коэффициентларини ва бошқа күп ҳодисаларни тушунтира олмас эди. Квант механикаси пайдо булиши билан қаттық жисмлардаги тажрибада күзатыладын жуда күп ҳодисалар үзининг тұғри талқинини топди. Қаттық жисмларнинг квант назариясига асосланған янги моделлари пайдо бўла бошлади.

#### 10.1.4. Металларнинг Зоммерфельд модели

Зоммерфельд моделининг классик(мұмтоз) моделлардан асосан иккита фарқи бор.

Зоммерфельд металлдардаги электронларнинг тезликлари бўйича тақсимотини Ферми-Дирак статистикаси таърифлайди деб олади (II бобга қаранг).

Зоммерфельд металлардаги эркін электронлар учун Паули принципи бажарилишини күрсатади. Паули принципига ассоң ҳар бир энергетик сатҳда энергиялари тенг, лекин спинлари қарама-қарши йўналган иккитадан ортиқ электронлар жойлаша олмайди.

Зоммерфельд назариясида электр үтказувчанлик учун қуйидаги ифода ҳосил қилинади:

$$\sigma = - \frac{4\pi e^2}{3m} \int_0^\infty V^2 \tilde{f} \left( \frac{\partial f_a}{\partial V} \right) dV = - \frac{8\pi e}{3m^2} \int_0^\infty E \tilde{f} \left( \frac{\partial f_a}{\partial E} \right) dE. \quad (10.48)$$

Бунда тақсимот функцияси  $f_0$  ни Ферми-Дирак тақсимоти

$$f_0(\epsilon) = \frac{2(m/h)}{\exp\left(\frac{mV^2 - 2E_F}{2kT}\right) + 1} = 2(m/h)^3 f(E) \quad (10.49)$$

күринишида оламиз. Бундаги  $E_F$  ни Ферми энергяси деб аталади.

$f(E)$  эса  $E$  — энергияли сатхнинг электронлар билан тұлғанлиги әхтимоллигини билдирувчи функциядыр (II бобга қарап):

$$f(E) = \frac{1}{\exp\left(\frac{E - E_F}{kT}\right) + 1}. \quad (10.50)$$

(10.49)ни (10.48) га құйымиз ва  $V(E_F) = \sqrt{\frac{2E_F}{m}}$  дан фойдаланиб,

$$\sigma = \frac{-2e^2 m}{3\pi^2 h^3} \int_0^\infty \bar{l}E \left( \frac{\partial f(E)}{\partial E} \right) dE = \frac{-ne^2}{mV^2(E_F)} \int_0^\infty \frac{\lambda E}{E_F} \left( \frac{\partial f(E)}{\partial E} \right) dE \quad (10.51)$$

муносабатни оламиз. Бундаги

$$\int_0^\infty \frac{\bar{l}E}{E_F} \left( \frac{\partial f(E)}{\partial E} \right) dE = \bar{l}(E_F) \quad (10.52)$$

кattалик энергияси  $E$  га teng бўлган электроннинг ўртача эркин югуриш масофасини билдиради. Унда электр ўtkazuvchanlik учун

$$\sigma = \frac{ne^2 \bar{l}(E_F)}{mV(E_F)} \quad (10.53)$$

ифодани ҳосил қиласиз. Зоммерфелд назариясига асосан электр ўtkazuvchanlikda ҳамма электронлар қатнашмайды, унда фақат Ферми сатхи яқинидаги электронларгина қатнаша оладилар. Электроннинг тезлиги ҳам энди иссиқлик ҳаракати тезлиги эмас, балки Ферми сатхидаги электрон тезлиги олинади. Ўртача эркин югириш вақтини киритамиз:

$$\tau_m = \bar{l}(E_F)/V(E_F). \quad (10.54)$$

Унда электр ўtkazuvchanlik

$$\sigma = \frac{ne^2 \tau_m}{m}. \quad (10.55)$$

Кўринишдан бу ифода олдингиларига ўхшасада, лекин бутунлай бошқа қиймагга teng бўлган қattаликдир.  $\tau_m$  Ферми

сатқидаги электронларнинг икки кетма-кет тұқнашишлар орасындағи үртаса әркін югуриш вақтидир. Зоммерфелд электроток, үтказиша қатнашувчи электронлар сони Друде моделидеги әркін электронлар сонидан анча кичик эканлигини курсатиб этди. Ушбу назарияда Лоренц сони учун

$$L = \frac{\pi^2}{3} \left( \frac{k}{e} \right)^2 = 2,44 \cdot 10^{-8} \text{ Bm } \Omega \text{m } K \text{A}^2 \quad (10.56)$$

қиймат олинди. Бу тажрибадаги натижалар билан мос келади.

Холл коэффициенти учун эса қуйидаги мұносабатта келамиз.

$$R_H = -\frac{1}{ne}, \quad (10.57)$$

п энергияси  $E_F$  га теңг бўлган электронларнинг зичлиги. Зоммерфелд назарияси металларнинг физик хоссаларини тушунтириб бершида яна бир янги қадам бўлди. Үнда электронларнинг тезликлари ва энергиялар бўйича тақсимоти учун биринчи марта Ферми-Дирак тақсимоти қўлланди. Классик(мұмтоз) моделлардаги әркін электронлар гази тушунчаси ўрнига ўтказувчанликда қатнашувчи электронлар тушунчаси қўллана бошланди.

Кейинроқ яратилган зоналар назарияси Зоммерфелднинг күргина холосалари тўғри эканлигини тасдиқлади.

## 10.2. Металларда иссиқлик ҳодисалари

### 10.2.1. Металларнинг иссиқлик сифими

Олдинг бўлимда металларни иссиқлик ўтказувчанлик коэффициенти  $\kappa$  ни бир неча классик моделларга асосланган ҳолда топдик. Энди эса уларнинг иссиқлик сифимини кўриб чиқамиз.

Әркін электронлар газига асосланган назариялар учун биз юқорида (10.26) ифодани ҳосил қылганмиз. Ушбу ифодага асосан металларнинг иссиқлик сифимининг асосий улушини әркін электронлар ҳосил қиласи. Тажрибалар эса буни тасдиқламади.

Зоммерфелднинг (1928) Ферми-Дирак тақсимотига асосланган моделига кўра, металлардаги электронларнинг кўп қисми Ферми энергиясидан бир ёки бир неча  $kT$  қадар кичик бўлган энергияларга эга булади. Бу электронлар энергия ал-

Шунинувчи түқнашишларда, шунингдек, иссиқлик ва электр үтказишида қатнаша олмайдилар, чунки уларга яқин барча энергетик сатұлар электронлар билан тұла ва у сатұларға үтиш Паули принципінде ассоан тақиқланған. Ҳарорат градиенти ва ташқы электрик майдонни фақат юқори энергиялы ( $E \approx 4kT$ ) электронларгина «сеза» оладилар ва улар электр токи ва иссиқлик үтказишида қатнашадилар. Бундан Зоммерфелд  $E_F$  яқинидаги электронлар ҳолатигина металларни иссиқлик ва электр хоссаларини аниқлады деган тұғры холосага келди.

Зоммерфелд моделига асосланыб иссиқлик сифимини то-памиз. Мутлоқ нол температурада металлнинг бирлик ҳажмидаги электронларнинг тұлық энергиясы

$$U_0 = \int_0^{E_F} Eg(E) dE = \frac{E_F^{5/2}}{5\pi^2} \left( \frac{2m}{\hbar^2} \right)^{3/2} \quad (10.58)$$

муносабат билан аниқланади. Электронлар зичлиги

$$n = \frac{1}{2\pi^2} \left( \frac{2m}{\hbar^2} \right)^{3/2} \int_0^{E_F} \sqrt{E} dE = \frac{1}{3\pi^2} \left( \frac{2mE_F}{\hbar^2} \right)^{3/2} \quad (10.59)$$

бўлишини ҳисобга олсак,

$$U_0 = \frac{3nE_F}{5} \quad (10.60)$$

келиб чиқыди. Демак,  $T=0K$  бўлганда ҳар бир электрон үртача  $\frac{3}{5}E_F$  энергияга эга бўлади. Нолдан фарқли температурауда иссиқлик ҳаракати натижасида  $E_F$  дан паст оқдаги сатұдан электронлар  $E_F$  дан юқоридаги сатұларға үтиб туради. Шунинг учун нолдан фарқли температурауда

$$U = \int_0^{\infty} Eg(E) f(E) dE$$

ёки

$$U = \frac{1}{2\pi^2} \left( \frac{2m}{\hbar^2} \right)^{3/2} \int_0^{\infty} \frac{E^{5/2} dE}{1 + \exp\left(\frac{E - E_F}{kT}\right)} \quad (10.61)$$

Баъзи соддалаштиришлардан сунг ушбу интегрални ҳисоблаб  $kT \ll E_F$  учун

$$U = U_0 + \frac{n\pi^2 k^2 T^2}{4E_F} \quad (10.62)$$

муносабатни оламиз. Бундан электронларнинг иссиқлик сиғими  $C_e$  учун

$$C_e = \frac{\partial U}{\partial T} = \frac{n\pi^2 k^3 T}{2E_F} \quad (10.63)$$

натижага келамиз. Классик(мумтоз) сиғимни  $C_{kl} = (3/2)nk$  билан белгиласак,

$$C_e = \frac{\pi^2 k T}{3E_F} C_{kl} \quad (10.64)$$

ифода ҳосил булади. Электронларнинг иссиқлик сиғими  $C_{kl}$  сиғимдан  $E_F/3kT$  марта кичик экан. Баъзан буни металларнинг иссиқлик сиғимини айниши деб ҳам аталади.  $kT \ll E_F$  шарт бажарилган электронлар газини айниган электронлар гази деб номланади. Металларнинг түлиқ иссиқлик сиғими Дебай күрсатгандек панжаравий ташкил этувидан ва электрон гази иссиқлик сиғими  $C_e$  дан иборат. Паст температураларда панжаравий ташкил этувчи  $T^3$  га,  $C_e$  эса  $T$  га пропорционал, шунинг учун  $C_e$  ни паст температураларда ўлчанади. Электронлар солиштирма иссиқлик сиғимини Ферми сатҳидаги ҳолатлар зичлиги  $g(E_F)$  орқали ифодалашимиз мумкин:

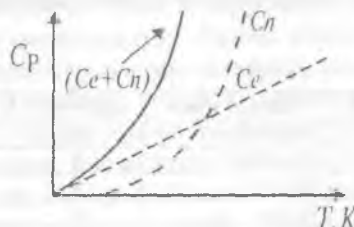
$$C_e = \left( \frac{\pi^3}{3} \right) k^2 T g(E_F). \quad (10.65)$$

Хулоса қилиб шуни айтиш мумкинки, металларнинг иссиқлик сиғими асосан иккита қисмдан ташкил топган:

$$C_P = AT + BT^3 \quad (10.66)$$

Биринчи қўшилувчилар металлардаги электронларнинг улуши бўлиб, бу сиғимига классик(мумтоз) назариялардан фарқли ўлароқ, фақат энергияси Ферми энергияси  $E_F$  дан каттароқ бўлган электронларгина ҳисса қўша олади. Паст температураларда ( $T \rightarrow 0K$ ) ушбу қўшилувчи муҳим үрин тутади.

Иккинчи құшилувчи металлар кристалл панжараси тебра-нишлари (фононлар) ҳиссаси бўлиб, улар юқори температура-ларда катталашиб боради. Паст температуруларда у нолга ин-тилади (10.2-чизма). Юқори температуруларда, жумладан хона температураида, иссиқлик сиғимининг панжаравий таш-кил этувчиси  $C_{\text{пан}}$   $C_e$  га нисба-тан анча катта, шунинг учун  $C_e$  ни ҳисобга олмаса ҳам бўлади. Ушбу икки сиғими тажрибада алоҳида ўлчаб уларнинг темпе-ратуруларга боғлиқлиги функ-циясини аниқлашимиз мум-кин. Масалан, бир мол мис-учун  $C_e = 0.9 \cdot 10^{-4} RT$  ва пал-ладий учун  $C_e = 1.6 \cdot 10^{-3} RT$  булиши аниқланган.



10.2- чизма. Металлар иссиқлик сиғими,  $C_{\text{пан}}=$ иссиқлик сиғимининг панжаравий ташкил этувчиси;  $C_e=$  электрон ташкил этувчиси.

### 10.2.2. Металларнинг солиширма электрик қаршилигининг температура коэффициенти

Металларнинг электр қаршилиги температурага боғлиқ ра-виша ўзгарилиши. Температура ортиши билан қаршилик ортиб бора-ди, пасайганда эса маълум бир температурагача пасайиб бора-ди. Жуда паст температуруларда металларнинг солиширма қаршилиги маълум бир қийматга  $\rho_A$  га эришади ва у температура ўзгаришига боғлиқ бўлмайди.  $\rho_A$  металлдаги ёт аралашмаларга ва нуқсонларга боғлиқ бўлиб, уни қолдик қаршилик деб ҳам юри-тилади. Ҳозирги тасаввурларга кўра, металлнинг солиширма электр қаршилиги электронларнинг фононлар ва нуқсонлар билан таъсирлашувидан келиб чиқади, яъни

$$\rho = \rho_\phi + \rho_H \quad (10.67)$$

ёки ўтказувчанлик орқали ёзсан,

$$\frac{1}{\sigma} = \frac{1}{\sigma_\phi} + \frac{1}{\sigma_H}. \quad (10.68)$$

Охирги икки ифода Маттисен қоидаси деб номланади. Юқори (хона) температуруларда солиширма қаршиликнинг температурага боғлиқлиги

$$\rho = \rho_0(1 + \alpha T) \quad (10.69)$$

куринишда бўлади, бунда  $\alpha$  - солиштирма электр қаршиликнинг температура коэффициенти деб аталади. Баъзи металлар учун  $\alpha$  нинг қийматлари 10.1- жадвалда келтирилган.

### 10.1-жадвал

$\text{№}$	Металл номи	$\alpha, 10^{-3} \text{°C}^{-1}$	$\text{№}$	Металл номи	$\alpha, 10^{-3} \text{°C}^{-1}$
1	Алюминий	1,2	12	Калай	4,4
2	Волфрам	5	13	Платина	3,9
3	Темир	6	14	Қўргошин	3,7
4	Олтин	4	15	Симоб	1,0
5	Константан	0,05	16	Кумуш	4,1
6	Жез	0,1-0,4	17	Рух	4,2
7	Магний	3,9	18	Пулат	1-4
8	Мис	4,3	19	Манган	0,01
9	Никелин	0,1	20	Чуян	1,0
10	Никел	6,5	21	Фекрал	0,1
11	Нихром	0,1	22		

Мутлоқ нолга яқин температураларда (10.69) ифода бажарилмайди, унда солиштирма қаршилигни

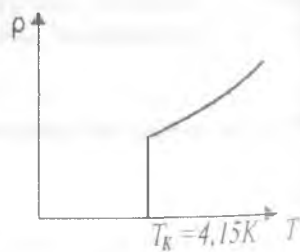
$$\rho = \rho_A + A T^2 + B T^5 \quad (10.70)$$

ифода билан аниқланади. Ушбу муносабатдаги  $B T^5$  қўшилувчи электронларнинг панижара тебранишлари билан таъсирини ҳисобга олади,  $A T^2$  эса электронларнинг ўзаро тўқнашуви ҳисобига ҳосил бўлган қаршилиkdir. А ва В лар температурага боғлиқ бўлмаган доимийлардир.

### 10.2.3. Ўта ўтказувчанлик

Ҳарорат пасайини билан металларнинг солиштирма қаршилиги  $\rho_A$  га интилади. Металл қанча тоза ва нуқсонсиз бўлса,  $\rho_A$  шунча кичик бўлади. Баъзи металларнинг электр қаршилиги маълум бир паст температурага етганда кескин камайиб нолга тенг бўлиб қолади.

Бу ходиса ўта ўтказувчанлик ходисаси деб номланади. уни биринчи



10.3- чизма. Ўта ўтказувчанликка оид чизма.

бүлиб 1911 йили голландиялик физик X. Камерлинг-ОНнес си-  
мобда кузатди (10.3- чизма). Ҳарорат пасайиб  $T_k = 4,15K$  га етган-  
да симобнинг электр қаршилиги бирдан йўқолар экан, яъни  
нолга тенг бўлади. Ўта ўтказувчанликка ўтиш температураси  $T_k$   
яқин йилларгача 23К дан ( $Nb_3Ge$ ) ортмаган эди. Бу эса уларни  
фан ва техникада кенг қўлланишига тусқинлик қиласди, чун-  
ки паст температураларни ҳосил қилиш техник жиҳатдан  
қийин ва қимматдир. 1986 йили немис физиги Мюллер La,  
Ba, Cu, O лардан тузилган керамик қотишмада 60K да ўта  
ўтказувчанликни кузатди. Кейинроқ La ни Y билан алмашти-  
рилганда Y-Ba-Cu-O керамикада  $T_k = 94K$  эканлиги  
аниқланди. Бу янгилик қаттиқ жисмлар физикасининг катта  
ютуғи эди. Ушбу ўта ўтказувчан материаллар учун  $T_k$  суюқ  
азотнинг қайнаш температураси  $T_k = 77, 4K$  дан ҳам ошиб  
кетди. Бу эса уларнинг техникадаги қўлланилишини ва уларни  
ўрганишни анча осонлаштириди, чунки суюқ азотни олиш нис-  
батан осон ва арzonдир. Ўта ўтказувчанлик ҳодисаси очилган-  
дан сўнг 46 йил давомида унга њеч қандай эътибор берилмади.

1957 йили Бардин, Купер ва Шриффер биринчи бўлиб ўта  
ўтказувчанлик назариясини ишлаб чиқдилар (БКШ –  
назарияси).

Унга асосан, металлардаги икки электрон орасидаги ўзаро  
таъсир энергияси икки қисмдан иборат:

$$V = V_k + V_a \quad (10.71)$$

$V_k$  улар орасидаги кулон таъсир кучларининг потенциал  
энергияси.  $V_k$  доим нолдан катта бўлади, яъни электронлар  
бир-бирига қарама қарши кучлар билан таъсир этадилар.

$V_a$  – эса электронларнинг кристалл панжара билан ўзаро  
таъсир энергиясини ифодалайди.

Бу энергия паст температураларда манфий бўлиши ҳам  
мумкин экан. Бу эса электронларнинг кристалл панжараси во-  
ситасида бир-бирига тортилишини билдиради (маълумки, ик-  
ки зарра орасидаги таъсир энергияси манфий бўлса, бу зарралар ўзаро тортишади).

БКШ назариясига асосан ана шу куч таъсирида электрон-  
лар бир хил бўлишига қарамай ўзаро жуфтлар ҳосил  
қиласдилар. Уларни Купер жуфтлари деб аталди.

Купер жуфтларидаги электронларнинг спинлари қарама-қарши йўналган бўлиб, умумий спин нолга тенг, шунинг учун улар Бозе-Эйнштейн статистикасига бўйсунади. Ўта ўтказувчанлик ҳосил қилишда металларда Купер жуфтлари асосий роль ўйнайди. Кўп ҳолларда Купер жуфтларининг ўта оқувчанлик билан қиёслаб, Бозе конденсати деб юритилади.

Ҳозирги кунда ўта ўтказувчанликнинг бошқа механизмлари (масалан, экситон механизми) тўғрисида янги фикрлар мавжуд. Ўта ўтказувчанлик механизмлари тўлиқ ишлаб чиқилмаган ва ҳозир изчил изланишлар давом этмоқда.

#### 10.2.4. Металлардаги термоэлектрик ҳодисалар

##### 10.2.4.1. Зеебек эффекти

Ингичка металл стерженни олиб унинг икки учини  $T_1$  ва  $T_2$  температураларда сақлаймиз. Стержен бўйлаб температура фарқи пайдо бўлади. Иссикроқ  $T_1$  температурали учидан соvuқроқ  $T_2$  учига қараб иссиқлик оқими вужудга келади. Xона температураларида иссиқлик асосан кристалл панжараси тебранишлари ҳисобига фононлар орқали узатилади.

Температура градиенти (фарқи) металлнинг икки учидан электр юритувчи куч (э.ю.к)  $E$  ҳосил қилади. Бу ҳодиса Зеебек эффекти деб номланади (уни 1821 йили немис физиги Зеебек очган).

Ҳосил бўлган э.ю.к температура  $T-1+100^{\circ}$  С бўлганда,

$$E=\alpha(T_1-T_2) \quad (10.72)$$

ифода билан аниқланади. Бунда  $\alpha$  - Зеебек коэффициенти (ёки термо э.ю.к коэффиценти) деб аталади. Стерженда термо э.ю.к нинг пайдо бўлиши қўйидагича изоҳланади.

Стерженнинг иссиқ учидан соvuқ учига йўналган фононлар сони соvuқ учидан иссиқ учига йўналган фононлар сонидан кўп бўлади. Фононлар ўзлари билан бирга эркин электронларни эргаштириб кета оладилар. Натижада стерженнинг соvuқ томонида электронлар сони қўпайиб кетади, иссиқ томонида эса ортиқча мусбат заряд пайдо бўлади. Бу эса стерженда э.ю.к ни вужудга келтиради. Зеебек эффекти икки хил ўтказгич бирбирига уланганда ҳам кузатилади. Бунда температуралар фарқи ўтказгичларнинг уланиш нуқтаси билан бошқа учлари орасида ҳосил қилинади. Ушбу ҳолда ҳам (10.72) ифода ўринли бўлади.

Үзаро уланган икки хил үтказгичларни термо жуфт деб атала-  
ди. 10.2-жадвалда бири қўрошиндан бўлган термо жуфтлар  
учун  $\alpha$  нинг қийматлари келтирилган. Жадвалдаги манфий  
ишора ток иккинчи үтказгичдан қўрошин үтказгич томон  
оқаётганини англалади.

### 10.2-жадвал

№	Металл+Рb	$\alpha, 10^{-6} \text{B/K}$	№	Металл+Рb	$\alpha, 10^{-6} \text{B/K}$
1	Темир	15	12	Симоб	-4,4
2	Молибден	7,6	13	Платина	-4,4
3	Кадмий	4,6	14	Натрий	-6,5
4	Волфрам	3,6	15	Палладий	-8,9
5	Мис	3,2	16	Калий	13,8
6	Рух	3,1	17	Никел	-20,8
7	Олтин	2,9	18	Висмут	-68,0
8	Кумуш	2,7	19	Хромел	24,0
9	Қалай	-0,2	20	Нихром	18
10	Магний	-0,0	21	Алюмел	-17,3
11	Алюминий	-0,4	22	Копел	-38
			23	Константан	-38

Терможуфтлар ёрдамида юқори температураларни ўлчаш қулай. Жадвалдаги келтирилган натижаларни жуда аниқ деб бўлмайди, чунки термо э.ю.к қиймати металлар уланган жойдаги ёт аралашмалар, кристалл доначалар йўналишига кучли боғлиқ бўлади.

#### 10.2.4.2. Томсон эффицити

Доимий температура фарқи ҳосил қилинг: н металл стерженин кўриб чиқамиз. Унинг иссиқ учи температураси  $T_1$ , соvuқ учи температураси  $T_2$  бўлсин. үтказгични доимий ток манбаига улаймиз.

Ундан электр токи ўта бошлайди ва Жоул-Ленц қонунига кура

$$Q_{\text{Ж}} = I^2 R t \quad (10.73)$$

миқдорда Жоул иссиқлиги ажralиб чиқади. Бунда  $I$  — стержендаги ток кучи,  $R$  — унинг электр қаршилиги ва  $t$  — ток утиш вақти. 1856 йили инглиз физиги У. Томсон (лорд Келвин) юқорида келтирилган доимий температура градиентига эга бўлган (бир учи  $T_1$  ва иккинчи учи  $T_2$  температурали) токли үтказгичда Жоуль иссиқлиги  $Q_{\text{Ж}}$  дан

ташқари яна құшимча иссиқлик миқдори —  $Q_S$  ажралиб чиқиши, ёки ютилиши мүмкін эканлығини олдиндан айтиб беради. Бу фикр кейинчалық француз физиги Леру тажрибалағыда тасдиқланды ва Томсон эффекти деб номланды. Үтказгичда ажралиб чиқаётган тұлиқ иссиқлик миқдори

$$Q = Q_{\infty} \pm Q_S \quad (10.74)$$

куриниша ёзилади.  $Q_S$  нинг ишораси токнинг ва температура градиентининг ўзаро йұналишига бөглиқ. Агар ток үтказиичнинг совуқ учиdan иссиқ учи томон йұналса,  $Q_S$  мусабат бўлиб үтказиичда құшимча иссиқлик миқдори ажралиб чиқади. Бунда металлдаги электронлар иссиқ учидан совуқ учи томон йұналади. Ток йұналишини тескарига ўзгартирсак,  $Q_S$  манфий ва иссиқлик ютилади.

Металларнинг эркін электронлар назарияси доирасида ушбу ҳодиса қуйидагича изохланади.

Үтказгичнинг иссиқ қисмидаги электронларнинг ўртача кинетик энергияси совуқ қисмидагидан катта бўлади. Ташқи электр юритувчи куч таъсирида электронлар металлнинг совуқ қисмiga қараб дрейф ҳаракат қилганда, совуқ қисмга етиб келгач, кристалл панжараси ионлари билан түқнашиб, бир қисм энергияларини уларга беради ва «совийди».

Натижада уларнинг ўртача кинетик энергияси үтказгичнинг совуқ қисмидаги электронларни билан тенгглашади. Бунда үтказгичда құшимча  $Q_S$  миқдорда иссиқлик ажралиб чиқади.

Агар ток йұналишини ўзгартирсак, совуқ электронлар үтказгичнинг иссиқ қисмига қараб ҳаракат қилади ва термо динамик мувозанатга келиш учун панжара ионларининг бир қисм энергиясини ютади. Томсон иссиқлиги  $Q_S$  үтказгичдан оқиб ўтган заряд миқдори ва уннинг учларидаги температуралар фарқига пропорционал::

$$Q_S = \tau_t (T_1 - T_2) It. \quad (10.75)$$

Бунда  $\tau_t$  Томсон коэффиценти деб аталади.

Ушбу ифода хона температурасында яқин ва унча катта бўлмаган температуралар оралигига бажарилади. Томсон назар

ришига асосон, икки ўтказгичдан ясалган терможуфтликларнинг -  
α Зеебек коэффициенти Томсон коэффициентига боғлиқ экан.

$$\tau_1 = T \frac{d\alpha}{dT} . \quad (10.76)$$

Охирги ифода Томсон ва Зеебек ҳодисаларини ўзаро боғловчи муносабатдир.

#### 10.2.4.3. Пелте эффицити

Икки турдаги бир хил температурали ўтказгич бир-бирига уланган жойдан  $I$  ток ўтганда, у жойда қўшимча  $Q_n$  иссиқлик миқдори ажralиб чиқиши ёки ютилиши ҳодисаси Пелте эффицити деб аталади. Бу ҳодисада ҳам иссиқликнинг ютилиши ёки ажralиб чиқиши ток йуналишига боғлиқ. Ҳодисани биринчи булиб 1834 йили француз физиги Ж. Пелте кузатган.

Ажralиб чиқсан иссиқлик миқдори

$$Q_n = I \Delta \Pi \quad (10.77)$$

ифода билан аниқланади. Бунда

$$\Delta \Pi = (\alpha_1 - \alpha_2) T \quad (10.78)$$

булиб,  $\Pi$  ни Пелте коэффициенти деб номланади.

$\alpha_1, \alpha_2$  лар эса ўтказгичларнинг термоэлектрик (Зеебек) коэффициентлари.

Пелте ҳодисаси кўп ҳолларда электр тармоқлар учун зарарлидир. Электр энергияни узатишда ва фойдаланишда турли хил ўтказгичлар қўлланилади (алюминий, мис, жез, никром ва бошқалар). Уларнинг бир-бирига уланиш нуқталарида эса фойдасиз қўшимча  $Q_n$  иссиқлик миқдори ажralиб чиқади. Бу иссиқлик ўтказгич контактларининг қизишига олиб келади. Натижада ўтказгичларнинг атмосферадаги кислород билан оксидланиш жараёни (занглаци) тезлашади. Ушбу ҳодиса билан курашиш учун, (10.78) ифодадан кўриниб турибдики,  $(\alpha_1 - \alpha_2)$  ни камайтириш керак. Бу ҳолларда эса уловчи қурилмалар (розетка, вилка ва ҳ.к.) материалининг  $\alpha$  си  $\alpha_1$  ва  $\alpha_2$  оралиғида танлаб олинади.

Масалан, алюминий ва мис ўтказгичларнинг уланиш нуқталарида жез ишлатилади.

Пелте эффекти турли металлардаги электронларнинг ўртача энергиялари бир хил температурада ҳам турлича бўлиши билан тушунтирилади. Дарҳақиқат, металлдаги электронларнинг ўртача энергияси уларнинг энергетик спектрига, концентрациясига ва энергиясини йўқотиш механизмларига боғлиқ. Электронлар э.ю.к таъсирида бир металдан иккинчи сига ўтганда ўзининг ортиқча энергиясини кристалл панжараси ионларига беради, ёки электроннинг энергияси кам бўлса, қўшимча энергия ютади.

Бу ҳодиса электронларнинг ўртача энергияси фарқи катта бўлган ўтказгичларда (масалан, металл – ярим ўтказгич контактида) яққол намоён бўлади. Пелте эффектидан техникада совуткичлар тайёрлашда фойдаланилади.

### 10.3. Металларнинг зоналар назарияси

Зоналар назариясига мувофиқ қаттиқ жисмлардаги электронлар энергияси кетма-кет жойлашган маълум бир энергия оралиқларидағи қийматларнигина қабул қила олади. Бу энергия оралиқлари рухсат этилган энергия зоналари деб аталади.

Электронлар қабул қила олмайдиган энергия оралиқларини тақиқланган зоналар дейилади.

Металл атоми ёлгиз турганда ундаги барча электронлар аниқ энергия қийматларига эга бўлади.

Унга иккинчи атомни яқинлаштирусак, улардаги электрон булулгар ӯзаро кириша бошлайди.

Энергетик сатҳлар ва ундаги электронлар иккала атом учун умумий бўлиб қолади. Лекин, Паули принципига асосан бир энергетик сатҳда иккита қарама-қарши спинли электронлардан ортиқча электронлар жойлаша олмайди, шунинг учун сатҳларнинг кенгайиши (айниши) кузатилади. Ҳар бир сатҳ иккита ёнма-ён жойлашган сатҳга айланади. Энди агар атомлар сони иккита эмас, жуда кўп ( $N$  та) бўлса, кенгайган икки сатҳлар орасида яна  $N-2$  та сатҳ жойлашади. Натижада ёлғиз атомнинг энергетик сатҳидан рухсат этилган зона ҳосил бўлади.

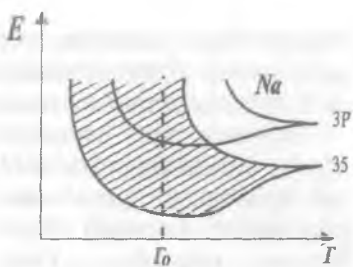
Зонадаги сатҳлар орасидаги фарқ жуда кичик бўлади (макроскопик кристаллар учун), шунинг учун ундаги электронлар энергияси деярли узлуксиз ўзгаради деб олишимиз мумкин.

10.4- чизмада натрий метали атомларининг  $3s$  ва  $3p$  сатҳларининг кенгайиши курсатилган. Чизмадан кўриниб турибдики, натрий атомлари орасидаги масофа кичрайиб борган сари сатҳлар парчаланиши каталашади.

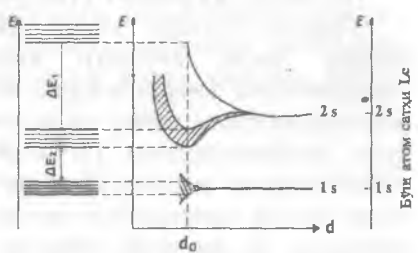
Бунда  $r_0$  нормал шароитда натрий кристалли атомлари орасидаги масофа. Демак, натрий атомлари кристалл ҳолатда  $3p$  ва  $3s$  сатҳлари кенгайиб бир-бирини қоплаб кетувчи рухсат этилган зона ҳосил қиласр экан. Зоналар назариясига асосланиб, металларнинг, қолаверса бошқа қаттиқ жисмларнинг физик хоссаларини тушунтириш анча қулай. Металларнинг электр ўтказувчанлиги зоналар назариясида уларда электронлар билан тўлиқ тўлдирилмаган энергетик зоналарнинг борлиги билан тушунтирилади.

Бундай зонада электрон ўз энергиясини узулуксиз кичик қийматларга ўзгартира олади, чунки зонада тўлдирилмаган сатҳлар кўп .

Бундай чала тўлдирилган зонани ўтказувчанлик зонаси деб ҳам аталади. 10.5- чизмада литий кристаллининг зоналари кўрсатилган. Энг пастки зона  $1s$  — сатҳнинг кенгайишидан ҳосил бўлган ва у электронлар билан тула. Уни валент зонаси деб аталади.  $2s$  — сатҳнинг айниши (парчаланиши) ҳисобига ҳосил бўлган иккинчи зона эса чала (ярми) тўлган. Ундаги электронлар озигина ташқи таъсир натижасида энергияларини оширишлари мумкин. Бунинг учун зонада бўш сатҳлар мавжуд. Кристаллга ташқи электр майдон ёки температура градиенти қуйилганда иккинчи зонадаги электронлар осонлик билан ўз тезликларини, ҳаракат йўналишини ва энергияларини ўзгартира оладилар. Литий кристаллининг электр токи ва иссиқликни яхши ўтказишини ана шу ўтказувчанлик зонаси мавжудлиги билан тушунтириш мумкин.



10.4- чизма. Натрий металлида электронлар энергиялари зонаси ҳосил бўлиши.



10.5-расм. Литий металлида энергия зоналари ҳосил бўлиши

Умуман барча металлар учун ана шундай чала тұлған энергетик зоналарнинг булиши хосдир. Металларнинг зоналари тузилишини 3 турға ажратып мүмкін.

Бириңчи турға юқорида күрган литий кристали мисол бұла олади. Бұндай металларнинг зоналари бир-бiriни қоплайды. Улар алохыда ажратылған ҳолда жойлашадылар ва қуи зоналардан бири қопланмаган бўлади (10.6- чизма,а). Расмда катак чизиқларда электронлар билан тұлған сатҳдар белгиланған, А — юқоридаги зонанинг пастки чегараси (туби), В — пастдаги зонанинг шиғи.

Иккинчи турдаги зонада натрий кристаллини мисол қилишимиз мүмкін. Бұндай металларда пастдаги зона тұлмаган булиб юқоридаги зона пастки зона устига қопланиб кетади (10.6- чизма, б).

Натижада жуда кенг үтказувчанлик зонаси ҳосил бўлади.

Учинчи турдаги зонада пастки зона электронлар билан тұлади, лекин юқориги зона билан қопланиш ҳисобига үтказувчанлик зонаси вужудга келади (10.6- чизма,в). Бунга магний кристаллини мисол қилишимиз мүмкін. Магнийнинг электрон конфигурацияси  $[1s^2 2s^2 2p^6 3s^2]$  күрнишігә эга. Магний атомини барча энергия сатҳлари электронлар билан тұлдирилган. Агар магний кристаллида сатҳлар бир-бiriни қопламасдан кенгайганида у изолятор бўлиши керак эди, чунки унда чала тұлдирилган сатҳ ійүқ. Аслида эса магний кристаллдаги 3s сатҳ кенгайиши натижасида 3s сатҳ зонасини бироз қоплаб туради. Натижада 3s сатҳ юқорисида бўш сатҳлар ҳосил бўлади. Шунинг учун магний ҳам металлар хоссасини намоён қилади.

#### 10.4. Металларда электрон эмиссияси

Электронларнинг бирор таъсир натижасида металлдан учеби чиқиши ҳодисаси электрон эмиссияси деб аталади. Электрон эмиссияси асосан уч хил бўлади: термоэлектрон, авто ва фото эмиссия (ташқи фото эффект).



10.6- чизма. Энергия зоналарининг уча хусусий ҳоли

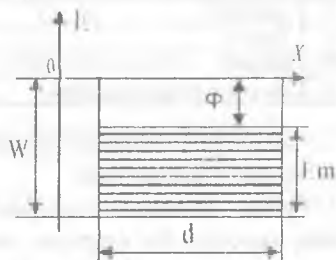
Металлни қыздырылғаннанда унинг сиртидан электронлардың үчиб чиқишини термоэлектрон эмиссияси деб аталаdi. Унбұй ҳолисаларни түшүнтиришида металл ичиндеги түрли жарағаштарниң ахамиятын аңча кайта бұлмаганилігін үчүн, потенциал үра мөделидан фойдаланылади. Моделде асосан металл құкурлыштың  $W$  га тең потенциал үрадан тақпидегі топған. Бұзушы энергия манфий бүлгансынан учун металл билан электронлар орасыда тортишиш күчи мавжуд.  $E_m$  электронларнинг максималь кинетик энергиясы,  $\Phi$  — чиқиши иши ва  $d$  — металлнинг узунлігі (10.7- чизма).

Металл қыздырылған сари исекицік флуктуациялары натижасында энергиясы  $E > W$  бўлган электронлар сони ортиб боради. Бу электронларнинг бир қисеми металл сиртига үчиб чиқади, бир қисеми эса сиртдан орқага қайтади. Температура ошган сари металл сиртидан чиқувчи электронлар сони тобора ортиб боради. Агар металлга ташқи электр майдони күйсак (бунда манфий құтбни металлга улаймиз), металдан үчиб чиққан электронлар электр токи ҳосил қиласы. Ҳосил бўлган ток зичлиги учун

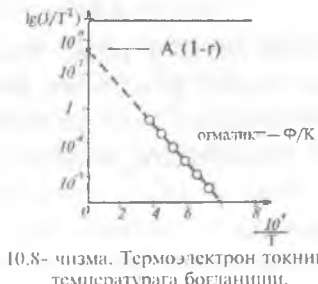
$$j = AT^2(1-r)\exp(-\frac{\Phi}{kT}) \quad (10.79)$$

муносабат ўринли бўлади ва уни Ричардсон-Дэшман қонуни деб аталади. Бунда  $r$  — электронларнинг металл сиртидан қантish коэффициенти,  $A = (\epsilon m k^2 / 2\pi^2 h^3) = 1.2 \cdot 10^6 \text{ A/(m}^2 \text{k}^2)$ . Чиқиши иши  $\Phi$  билан  $A(1-r)$  ларни  $\ln(j/T^2)$  нинг  $1/T$  га боялиқлиги графигидан тажрибала аниқлаш мумкин (10.8- чизма).

Графикни ордината үкі билан кесишгандыкка нүктаси  $A(1-r)$  га тең бўлади. Оғиши бурчаги тангенсий



10.7- чизма. Чиқиши ишини түшүнтирадиган чизма.



10.8- чизма. Термоэлектрон токининг температурага боялиқлиши.

эса  $(-\phi/k)$  га тенг. 10.3- жадвалда баъзи металлар учун чиқиш иши ва  $A(1-r)$  Ричардсон доимийларининг ўлчаш пастижалари көлтирилган.

### 10.3- жадвал

№	Металл	Чиқиш иши $\phi, \text{эВ}$	$A(1-r), \text{A}/(\text{м}^2 \text{к}^2) \cdot 10^8$
1	Платина	5,3	0,32
2	Вольфрам	4,5	0,72
3	Молибден	4,4	1,15
4	Тантал	4,1	0,37
5	Калий	3,2	0,60
6	Барий	2,5	0,25
7	Цезий	1,8	1,60
8	Цезийланган вольфрам	1,4	0,03

Аниқ ўлчашларининг кўрсатилишча,  $\phi$  температура ўзгариши билан бироз ўзгарар экан.

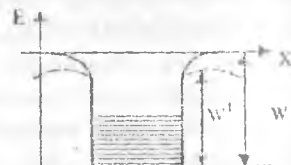
Турли кристаллографик текисликлар учун ҳам  $\phi$  озгина фарқ қиласди. Бу фарқни зоналар назарияси асосида тушунтириш мумкин. Ҳақиқий металларининг потенциал ўраси кўрининиши 10.7- чизмада кўрсатилгандек тик ва кескин ўзгарувчи бўлмайди.

Энергия ошиши билан дастлаб  $W(x)$  — чиқиқий ортиб боради ва металл сирти яқинида эгрilanади.

Агар металлнинг совук ҳолатида унга кучлироқ электр майдон қўйилса, унинг потенциал тўсиги пасаяди. (10.9- чизма, пункттир чиқиқ). Натижада чиқин иши кичраяди. Агар ташқи қўйилган майдон кучланганлиги  $E$  бўлса потенциал тўсик баландлиги

$$W = W - \sqrt{\frac{e^3 E}{4\pi\epsilon_0}} \quad (10.80)$$

га тенг бўлиб қолади. Чиқин ишининг озгина камайинши ҳам күп электронларининг эмиссияда қатнанишига одиб келади. Бу ходисани ташқи электр майдон гаъсиридаги эмиссия ёки Шотки эмиссияси деб аталади. Агар  $E - 10^8 \text{ В}$  гача кучайтирилса, потенциал тўсик шу даражада пасаядики, кўп электронлар бемалол ундан утиб кетаверадилар. Энди электронларни чиқариш учун метални



10.9- чизма. Электр майдонида металларни электрон учун энергетик тўсик пасайини.

**Күймегинде** ҳам ҳожат қолмайды. Бұзғалысынан союқ әмиссия әкінші автозелектрон әмиссия деб юрнитилади. Құчли электр майдон тәъсирінде потенциал түсіккіндең калинлегі ҳам қалыптастырылады.

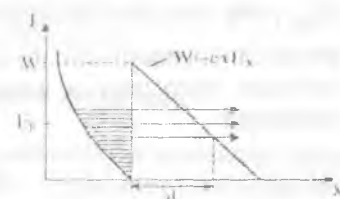
Бұзғалысынан союқ әмиссияның оширады. Электр майдон мәлдеме бир критик қийматта еттегаңда энергиясы  $E_F$  га тең болған Ферми сатқандықтан электронлар түннел үтиш үмкөнілігіндең әга булады (бунда түсік қалинлегі  $d \sim 10 \text{ Å}$  атрофидан бұлды).

Фаулдер ва Норгейм уч бурчак күрнешіндегі потенциал түсікден электронларнинг үтиши әхтимоллігін тақылғылғылардан жасалғанда күчли электрик майдондағы металдан үгаёттан ток зичлігі учун

$$J = \alpha E^2 \exp(-\beta \phi / E) \quad (10.81)$$

натижеке олдылар (10.10- чизма), (10.79) ва (10.81) ларни солишиниң жаңайтында союқ әмиссияда температура әмас, электр майдон мұхим үрин үтиши мәлдеме булады. Потенциал түсік қалинлегі  $\sim 10 \text{ Å}$  булағанда Ферми энергиялық электронларнинг түннел үтиши әхтимоллігі жуда кічиқ булады. Металларнинг чиқаш ишинде  $\varphi \equiv 3eV$  деб олған ҳолда союқ әмиссия бошланинан учун электр майдон күчланғанлығы  $E_0 \sim 3 \cdot 10^9 \text{ В/м}$  булиши керактігін анықтайды. Тажрибаларда майдон күчланғанлығынан бундан 30 мартта кічиқ қийматларда ҳам союқ әмиссия күзагилған.

Бұзғалысынан металл сиртидегі потекисликларда майдон күчланғанлығы  $E_0$  га тең нүкталар ҳосил булады ва шу нүкталар орқалы электронлар әмиссияланады деб түшнитірілады. Үмуман олғанда (10.81) іфода тажриба натижалари билан қонықарлы даражада мос келади.



10.10- чизма. Энергетик түсік пасайышиниң түшнитіріші.

## 10.5. Фотоэмиссия (ташқи фотоэффект)

Еруглик нури (фотонлар) таъсирида металл сиртидан электронларнин учиб чиқиши фотоэмиссия ёки ташқи фотоэффект деб аталади. Бу ҳодисани биринчи бўлиб 1905 йили А. Эйнштейн изоҳлаган. Фотоэмиссияда асосан энергияси  $E_F$  яқин бўлган электронлар иштирок этали. Электромагнит тўлқин – ҳар бири энергияси  $\hbar\omega$  бўлган фотонлар оқими металл сиртига тушгач, фотон ўз энергиясини металл сиртига яқин жойлашган  $E$  энергияси  $E_F$  га яқин бўлган электронга беради. Натижада электроннинг энергияси  $E + \hbar\omega$  га teng бўлади.

Агар  $E + \hbar\omega > E_F + \varphi$  бўлса, бу электрон металл сиртига учиб чиқиши мумкин. Бунда  $\varphi$  металдан электроннинг чиқиш иши, у Ферми сатхи  $E_F$  дан ҳисобланади. Металдан учиб чиқкан электронлар тезлиги нолдан  $V_{max}$  қийматгacha бўлади.

$V_{max}$  учиб чиқкан электронларнинг максимал тезлиги бўлиб, фотон энергиясининг чиқиш ишидан ортиқчаси электроннинг кинетик энергиясига айланади, у Эйнштейн ифодаси орқали топилади:

$$\hbar\omega = \varphi + \frac{mV^2}{2} \quad (10.82)$$

Агар фотонлар энергияси  $\hbar\omega$  чиқиш ишидан кичик бўлса фотоэффект содир бўлмайди. Кўпгина металлар учун  $\varphi > 3\text{эВ}$  бўлади. Бундай металлар сиртидан электронларни уриб чиқара оловучи  $\hbar\omega \geq \varphi$  фотонлар кўзга кўриналигига ва ултрабинафа шаेरуғлик диапазонига тўғри келади.

Фотоэмиссияни миқдорий тавсифловчи катталик электронларнинг квант чиқини  $\beta$  деб номланади ва у металлга тушган бир фотонга мос келувчи учиб чиқкан электронлар сочинини билдиради. Кўп тоза металлар учун  $\beta \sim 10^{-4}$  электрон/фотон.

Металларнинг квант чиқиши бунчалик кичик бўлишига сабаб, ёргулук металл сиртига  $\sim 10^{-5}\text{см}$  чуқурликкача кириб боради ва асосан ўна қатламда юзилади. Бундай қатламдан металл сиртига қараб ҳаракат қўнсангиз эксклюзивларни ишлаб чиқади. Сиртга учиб чиқкан фотонларни ўз энергиясини йўқотади. Сиртга учиб чиқкан фотонларни ўз энергиясини йўқотади. Сиртга учиб чиқкан фотонларни ўз энергиясини йўқотади.

электронларнинг тезликлари турлича булиши ҳам шу асосда туширилди. Фотоэлектроиларнинг күпчилиги металл сиртидан  $-10^{-7}$  см гача бўлган қатламда ҳосил бўлади. Тажрибада фотоэмиссия учун куйидаги қонуниятлар кузатилган:

а) Учиди чиқаётган электронлар сони металлга тушаётган ёруғлик оқими катталигига пропорционал.

б) Ҳар қандай модда учун фотоэффект ҳосил қилувчи ёруғлик нурининг чегаравий тўлқин узунлиги  $\lambda_0$  мавжуд бўлиб, ундан катта тўлқин узунлигига фотоэмиссия кузатилмайди.  $\lambda_0$  шу модда учун фотоэмиссиянинг қизил чегараси деб аталади.

в)  $V_{\max}$  нинг қиймати ёруғлик нури тақориийлигига пропорционал, лекин ёруғлик оқими катталигига боғлиқ эмас.

Металларнинг чиқиш ишини камайтириш учун тоза металл сиртида юпқа дипол электр қатлам ҳосил қилинади. Қатлам ҳосил қилишда чиқиш иши кичик атом ва молекулалар ( $Cs$ ,  $Rb$ ,  $Cs_2O$ )дан фойдаланилади. Бундай металлар электровакуум лампалар тайёрлашида ишлатилади.

## 10.6. Металларнинг магнит хоссалари

Магнит майдонга металлни жойлаштирганимизда унда магнит момент ҳосил бўлади. Бирлик ҳажмнинг магнит моменти (магнитланганик)  $\vec{J}$  вектор билан белгиланади. Агар ташки майдон кучланганилиги  $H$  бўлса, у ҳолда

$$\vec{J} = \chi \vec{H}. \quad (10.83)$$

Бундаги  $\chi$  — модданинг магнит қабулчанлиги. Модда ичиндаги магнит майдон ташки  $H$  ва ички  $H_M$  майдонлар йигинидисидан иборат бўлади, яъни

$$\vec{B} = \vec{H} + \vec{H}_M = \mu \vec{H}, \quad (10.84)$$

бунида  $\vec{B}$  — магнит индукция вектори деб аталади,  $\mu$  эса магнит сингнитувчаниклир.

Модда ичиндаги майдон  $\vec{H}_M$  магнит моменти билан куйидагига боғланган:

$$\vec{H}_M = 4\pi \vec{J}, \quad (10.85)$$

У ҳолда

$$\bar{B} = \bar{H} + 4\pi\bar{J} = \bar{H}(1 + 4\pi\chi). \quad (10.86)$$

бундан

$$\mu = 1 + 4\pi\chi \quad (10.87)$$

ифодани ҳосил қиласынан. Бирор модда үчүн  $\chi < 0$  ёки  $\mu < 1$  бўлса, уни диамагнит дейилади,  $\chi > 0$  ёки  $\mu > 1$  бўлса, парамагнит бўлади.

$\mu > 1$  бўлган моддаларни ферромагнитлар деб аталади. Тўлмаган  $d$  ва  $f$  электрон қобиққа эга бўлган металларнинг барчаси парамагнитлардир. (Cr, Mn). Мис, висмут ва боника баъзи металлар эса узларида диамагнитизмни намоён қиласы.

Кўп металларнинг магнит қабулчанлиги унча катта бўлмайди ( $\chi \sim 10^{-6}$ ) ва температурага кучсиз боғланган.

Диамагнит моддаларнинг ташқи майдон йўқлигига атом ва молекулаларининг магнит моментлари нолга teng. Шунинг учун электрон қобиқлари тўлиқ тўлган атом ва молекулаларда диамагнитизмни кузатиш мумкин.

Парамагнитлар майдон йўқлигига нолдан фарқли магнит моментга эга бўлади. Буларга электрон қобиқлари чала тўлдирилган моддалар киради.

Юқоридаги фикрларни жуда аниқ деб бўлмайди, чунки моддаларнинг магнит хоссалари анча мураккабдир. Масалан, мис металл бўлишига қарамасдан диамагнитлар. Бунга сабаб мисда тўла тўлдирилган  $3d$  электрон қобиқнинг диамагнитизми  $4s$  сатҳдаги бир электроннинг парамагнитизмидан кучлироқ бўлади.  $3d$  қобиқдаги ўнта электроннинг диамагнит эфекти асосий рол ўйнайди. Ag, Au, Zn, Pb ларнинг диамагнитизмини шундай тушунтирилади.

Металлардаги ўтказувчан эркин электронларга ташқи магнит майдон таъсири иккى хил бўлади. Биринчидан ташқи майдон электронларнинг майдон йўналиши атрофида айланнишига (прецессия) олиб келади. Бу айланниш йўналиши Лени қоидасига асосан аниқланиб, ҳосил бўлган магнит майдон ташқи майдонга тескари йўналади.

Бу ҳодиса эркин электронларнинг Ландау диамагнитизми деб аталади.

Ландау диамагнитизмийнинг магнит қабулчанлиги

$$\chi_d = \frac{4\pi\mu_B^2}{h^2} \sqrt{\frac{\pi^2 n}{9}} \quad (10.88)$$

ифода билан аниқданади. Бунда  $n$  — электронлар зичлігі,  $\mu_B$  — Бор магнетони. Лекин, металлдеги үтказувчан электронларнинг магнит қабулчанлығы факат  $\chi_d$  дан иборат бўлмайди. Маълумки, ҳар бир электрон ўзининг нол бўлмаган доимий магнит моментига эга. Таниқ магнит майдон қўйилганда улар магнит майдони нуналишига параллел ҳолда жойлашадилар. Бу эса үтказувчан электронларнинг парамагнитизмини келтириб чиқаради, унинг қабулчанлыги диамагнит қабулчанликдан 3 марта катта бўлади. Металларнинг ушбу икки қабулчанлигини электрон-парамагнит резонанс (ЭПР) усули билан алоҳида ўлчаб топиш мумкин. Металлдаги электронларнинг тўлиқ қабулчанлиги  $\chi_s$  учун

$$\chi_s = \chi_n - \chi_d = \frac{n\mu_B^2}{E_F} = \frac{n\mu_B^2}{kT_F} \quad (10.89)$$

ифода келтириб чиқарилган. Бунда  $E_F = kT_F$  Ферми энергияси. Куриниб турибдикি, металлардаги үтказувчан электронлар парамагнитизми температурага боғлиқ бўлмайди. Ҳақиқатдан ҳам бу ҳодиса ишқориӣ металлар (Na, K ва б.) учун ўринилдири. Бир қатор парамагнит металларнинг қабулчанлиги ушбу Кюри-Вейс қонуни билан аниқланади:

$$\chi = \frac{C}{T - T_c} \quad (10.90)$$

Бу ифодадаги  $T_c$  метал ионларининг панжара ичидаги майдон билан таъсирилашувини ифодалайди ва Кюри нуқтаси деб номланади. Бальзи парамагнит металлар  $T_c$  гача совутилганда ферромагнитларга айланади (масалан Fe, Ni).

Бундай металлар учун (10.90) ифодадаги  $T_c$  ишораси мусбат бўлади. Агар метал  $T_c$  дан паст температураларгача совутлигандаги антиферромагнит ҳолатга ўтса,  $T_c$  нинг ишораси мағнӣ олинади (масалан, NiCr, MnS, MnO, Cr<sub>2</sub>O<sub>3</sub> ва б.). Бальзи ҳолларда  $T_c$  шунг қиймати Кюри нуқтасига мос келмаслиги ҳам мумкин.

Ферромагнитлариниң асосий хоссалари қуйидагилардан иборат.

а) Ферромагнитларнинг магнит сингдирувчанлиги ташки  $\bar{H}$  магнит майдонга боғлиқ (10.11- чизма).

Майдон кучланганлиги ортиши билан  $\mu$  кескин ортади ва  $H=2.5\text{Э}$  да максимал қийматга эришади.  $H$  ни янада оширеаса  $\mu$  камая бошлайди ва  $\mu=1$  қийматга интилади.

б) Ферромагнитлар қолдиқ магнитизма эга, яъни магнитланган ҳолатини ташки майдон йўқлигига ҳам сақлаб қолади.

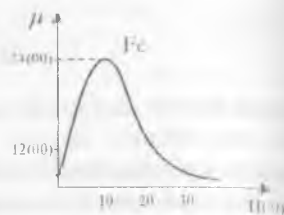
в) Кюри нуқтасидан юқори температураларда ферромагнитлар парамагнит ҳолатига ўтади.

Ферромагнитларда магнит гистерезис ҳодисаси ҳам кузатилади (10.12- чизма). Агар ферромагнитни магнит майдонга қўйиб, аста-секин  $\bar{H}$  майдонни ортириб борсан,  $\bar{J}$  магнитланганлик ҳам оргиб боради. Матъум бир  $H_s$  да  $\bar{J}$  ўзгармай қолади, Ферромагнит тўйиниш нуқтасигача магнитланади ( $A$ -нуқта).

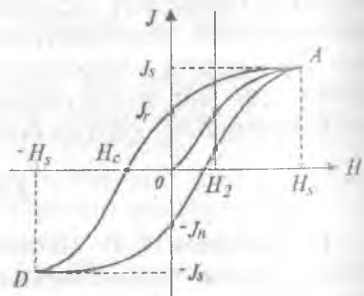
Майдон кучланганлиги  $\bar{H}$  ни камайтира бошлаймиз.  $\bar{H}=0$  бўлганда  $I=I_r$ , яъни нолга teng бўлмайди. Энди майдон йўналишини ўзgartириб, В нуқтага келамиз. Бу ҳам тўйиниш нуқтаси бўлиб, I-бошқа катталашмайди.

Майдонни камайтириб О нуқтага келамиз ва яна А нуқтагача майдон кучланганлигини оширамиз.

Натижада ёпиқ эгри чизиқ — магнит гистерезис ҳосил булади. Бу чизиқ ферромагнитларга хос бўлиб, уларнинг доимий магнитик моментига эга бўлган зарралардан тузилганлигини билдиради. Бу зарралар ўлчамлари  $10^{-2} + 10^{-5}\text{ см}$  бўлиб магнит доменлар деб номланади. Магнит доменларнинг ўз-ўзидан магнитланиб қолиш ҳодисасини Френкел-Гейзенберг назариясига асосланниб тушунтирилалди. Унга асосан кристалл панжарасидаги атомлар ўзаро алмашинув энергияси орқали таъсирилашадилар. Алмашинув энергияси-



10.11- чизма. Темирнинг магнит сингдирувчанлиги  $\mu(H)$ .



10.12- чизма. Ферромагнит магнитланишида гистерезис ҳодисаси.

ни тавсифловчи катталик булган алмашинув интеграли А мүхим ўрнан тутади. Агар  $A > 0$  бўлса, доменлардаги электрон спинлар паралел жойлашади. Бунда алмашинув энергияси энг кичик кийматга эга булади ва кристалл ферромагнит ҳолатида бўлади.

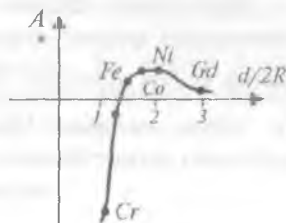
$A < 0$  да доменлардаги электрон спинлари қарама-қарши жойлашади. Бундай ҳолатни антиферромагнит ҳолати дейилади. 10.13- чизмада алмашинув интеграли А нинг кристалл панжараси доимийси  $d$  нинг чала тўлган электронлар қобиги диаметри  $2R$  га нисбатига bogлиqligi kursatilgan. Chizmada kurninib turibidiki,  $d/2R < 1,5$  bулган metallar ferromagnitlar,  $d/2R > 1,5$  lar esa antiferromag-nitlar xisoblanadi.

Антиферромагнитларда кўшни ионларнинг магнит моментлари антипаралел йўналган бўлади. Уларнинг магнитланганлиги ташки майдон йўқлигига нолга teng, антиферромагнитнинг парамагнит ҳолатига ўтиш температураси  $T_N$  Heel температураси дебномланади. Уларда магнит қабулчанлик  $T < T_N$  да кристалл панжараси йўналишига кучли boglik bўлади. Агар майдон йўналиши атомларнинг магнитик моментлари йўналишида бўлса, магнит қабулчанлик температура пасайиши билан нолга интилади. Агар майдон йўналиши магнит моментлари йўналишига тик бўлса, қабулчанлик температурага boglik bўlmaydi (10.14- чизма).

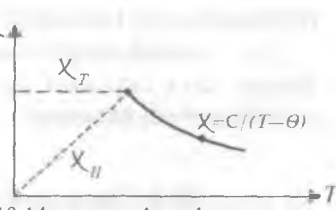
### 10.7. Де Гааз, Ван Алфен эффиқти

1930 йили голланд физиклари Де Гааз, Ван Алфенлар висмутнинг  $T=14,2\text{K}$  даги магнит моменти  $J$  ни ўлчадилар, тажрибаларнинг курсатишича,  $J$  ташки майдон ўзгариши билан тебrаниб ўзгарган (10.15- чизма).

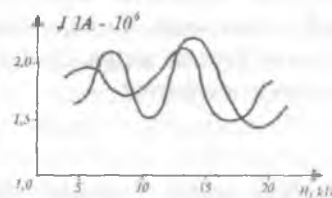
Бу ҳодисани Де Гааз, Ван Ал-



10.13- чизма. Ferromagnitlar xossalariini kvantmehanik tushuntiriish.



10.14- чизма. Antiferromagnitning paramagnetikkiga utishi.



10.15- чизма. Magnит momentining davriy uzgariishi.

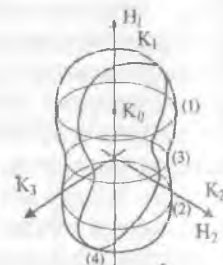
фен эффекти деб номланади. Кейинроқ Онсагер буни күйидаги тушинтирди. Металларнинг магнитланганигининг тебраниши Ферми сатҳидаги электронлар орбиталарнинг квантланишидан келиб чиқади.

Электронлар Ферми сатҳининг маълум бир орбиталарида (кесимларида) ҳаракат қиласидилар. Ферми сатҳининг энг катта ва энг кичик кесим юзалари 10.15-чизмадаги  $\bar{J}$  нинг экстремумларига тұғри келади. Онсагер  $\bar{J}$  нинг тебраниш даври учун күйидаги муносабатни олди:

$$\Delta\left(\frac{1}{H}\right) = \frac{2\pi e}{\hbar c} \frac{\Gamma}{S_e}, \quad (10.91)$$

бунда  $S_e$  Ферми сатҳининг ташқи магнит майдони  $\bar{H}$  га тик бұлған ихтиёрий экстремал кесими (10.16 – чизма). Магнит майдонда металларнинг электрик үтказувчанлиги тебранишини ҳам кузатишимиз мүмкін (Шубников-Де Гааз эффекти).

Бу ҳодисалар металларнинг Ферми сатҳының үрганувчи кучли амалий усууллардир.



10.16- чизма. Магнитик момент үзгаришини тушинтиручи чизма.

### 10.8. Электрон – парамагнит резонанс (ЭПР)

Магнит майдонга жойланган парамагнит зарраларга эга бұлған модданинг электромагнит тұлқын энергиясини резонанс равищада ютиш ҳодисаси электрон-парамагнит резонанс деб номланади. Ташқи майдон  $\bar{H}$  таъсирида йиғинди спини  $S$  га тенг бұлған зарра  $2S+1$  та сатҳа ажralади. Сатҳлар орасыдағи энергия фарқы

$$\Delta E = 2\mu_B H \quad (10.92)$$

Дархақиқат, әркін электрон учун  $S=1/2$ ,  $\mu=g_s\mu_B\mu_s$ . Бунда  $g=2,0023$  (әркін электрон учун) ва  $\mu_s=\pm 1/2$ . Демек, электрон  $E_1=-1/2 g_s\mu_B\mu_s$ ,  $E_2=\pm g_s\mu_B\mu_s$  энергияларни қабул қила олади. Үнда

$$\Delta E = E_2 - E_1 = g_s \mu_B H \equiv 2 \mu_B H$$

Электромагнит түлқин энергияси кванти учун

$$\hbar\omega = \Delta E = g\mu_B H \quad (10.91)$$

шарт бажарилганда кучли ютилиш кузатиласи. Бу ҳодиса ёрдамда металлардаги үтказувчан электронларнинг спинлари ориентациясини, нуксонларда бошқа ҳодисаларни үрганиш мумкин.

### 10.9. Ядромагнит резонанс

Магнит майдондаги модданинг параметрлерине ядролари томонидан электромагнит түлқинларни ютиш ҳодисасини ядромагнит резонанс дейилади. Бунда ташқи майдон таъсирида ядро спини  $I$  бир неча сатхлар ҳосил қиласи. Сатхлар орасидағы энергия фарқи (10.91) ифода билан аниқланади. Фақат  $g$  бошқачароқ бұлади. Металларда үтказувчи электронлар бұлғанлиги учун күл ҳолларда акустик ЯМР дан фойдаланилади. Бунда ташқаридан тушаётган электромагнит түлқин ўрнига  $\hbar\omega$  энергиялы фононлар уйғотиласи. Бу ҳодисалар ҳам металдардаги күп катталикларни аниқлаш имконини беради.

### 10.10. Металларнинг электромагнит түлқинлар билан үзаро таъсири

Маълумки, металлар электромагнит түлқиінің жуда жағынан қайтарувчи моддалардир. Юқори частотали электр ток фақат металл сиртидан үтади. Электромагнит түлқинлар ҳам жуда кичик қалинликтегі қатламгача қира оладилар. Бу ҳодисаны скин эффекти деб номланади Масалан,  $\omega=10^8$  Гц бұлған электромагнит түлқиннинг мис металлига кириш чуқурлиги  $\sigma=6 \cdot 10^{-4}$  см бұлади. Кучли магнитик майдонға жойланған металлда секин сұнувчи электромагнит түлқин тарқалиши мумкин, натижада скин эффект йўқолади. Масалан, натрий кристалли кучли магнит майдонға жойлаштирилганда ултрабинағда нурлари учун шаффофф булиб қолиши мумкин. Металларнинг оптик хоссалари уларнинг диэлектрик сингдирувчанлигидан келиб чиқади:

$$\epsilon(\omega) = \epsilon'(\omega) - i \frac{4\pi}{\omega} \sigma(\omega), \quad (10.92)$$

бунда  $\epsilon(\omega)$  ўтказувчан электронларни ҳисобга олмайдиган диэлектрик сингдирувчанлик,  $\sigma(\omega)$  — металлнинг ўтказувчанилиги. Металларнинг синдириши кўрсаткичи учун

$$n=n'-i\kappa=\sqrt{\epsilon}, \quad (10.93)$$

бунда  $n$  — ёругликнинг — электромагнит тўлқиннинг ютилиш коэффициенти.

Инфрақизил ва оптик диапазонлар учун биринчи яқинлашишда

$$\epsilon(\omega) = \epsilon'(\omega) - \left( \frac{\omega_n}{\omega} \right)^2 \quad (10.94)$$

ифода ўринли бўлади. Бунда  $\omega_n$  ўтказувчан электронларнинг (электронлар плазмасининг) тебраниш такрорийлиги.

$\omega > \omega_n$  да металлда плазма тебранишлари уйғотилади.  $\omega < \omega_n$  лар учун металлар шаффофт бўлади.  $\omega$  ошиши билан металларнинг қайтариш коэффициенти г камаяди ва рентген диапазонида металлар билан диэлектриклар орасида фарқ қолмайди.

Тушиш текислигига кутбланган ёруглик нури металдан қайта олади (диэлектрикларда қайтмайди).

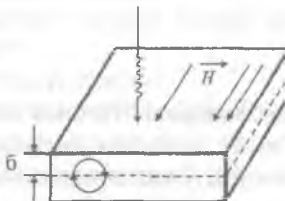
Яси кутбланган ёруглик тўлқини металдан қайтгач эллиптик кутбланади. Бунга сабаб: тушиш текислигига ва унга перпендикуляр текислиқда кутбланган нурлар металдан қайтгач уларда фазалар фарқи ҳосил бўлади.

## 10.11. Циклотрон резонанс

Магнит майдонга жойлаштирилган металлдаги ўтказувчан электронларга Лоренц кучи таъсир этади. Бу майдон таъсирида электронлар ҳаракатига майдон йуналишига тик текислиқда айланма ҳаракат қўшилади. Агар электроннинг эркин югуриш масофаси айланга узунлигидан катта бўлса, ҳаракат давомида электрон ўз энергиясини йўқотмайди. Электроннинг айланиш такрорийлиги,

$$\omega_c = \frac{eH}{mc} \quad (10.95)$$

муносабат билан аниқланади ва уни циклотрон тақрорийлик деб номланды. Металлга ташқаридан  $\omega = \omega_c$  тақрорийликдаги электромагнит түлқин туширсак резонанс ютилиш (ёки кайтиш) ҳодисаси кузатилади. Буни циклотрон резонанс деб атала迪, ҳодисани кузатиш учун эркин югурыш масофаси айланына узунлигидан катта булиши керак, тоза металларда эркин югурыш масофаси асосан электронларнинг фононлар билан түқнушуви натижасида чегараланади. Шунинг учун металларда циклотрон резонанс  $T=1 \div 10 K$  ларда кузатилади. Бунда электронларнинг фононлар билан түқнушуви жуда кам булади. Циклотрон резонансни кузатиш учун магнит майдон металл сиртига параллел йұналтирилади. Электромагнит түлқин айланыш орбиталари металл сиртига яқин булған электронлар билангина таъсираша оладилар, чунки скин эффекти туфайли уларнинг металлга кириб бориш масофаси чегараланган булади (10.17- чизма). Циклотрон резонанс ҳодисаси металлдаги электронларнинг энергия спектрини, эффектив масасини аниқлашда құлланилади. Бу ҳодиса металлардан ташқары ярим үтказгичларда ҳам кузатилади.



10.17- чизма. Циклотрон резонанс ҳодисасынға доир.

## 10.12. Металлардаги плазма тебранишлари

Маңлумки, плазма модданинг түртінчи агрегат ҳолати бўлиб, унда модда мусбат ва манфий зарядланган зарралар йигиндисидан иборат булади. Плазмадаги түрли ишорали зарядлар миқдори үзаро тенглиги учун электронейтралир. Металлардаги үтказувчан электронлар билан қолдиқ атомлар плазма ҳосил қиласи деб қарашимиз мүмкін. Бу плазма манфий зарядланған үтказувчан электронлар «гази» ва кристалл панжарасидаги мусбат зарядланған атомлардан иборат булади. Бундай плазма ҳам үзининг хусусий тебраниш тақрорийлиги  $\omega$  га эга булади.

Фараз қиласиз, металлдаги барча үтказгич электронлар кристалл панжарага нисбатан маълум бир масофа  $x$  га сильжиди. У ҳолда электрон «гази»ни орқага қайтарувчи  $n e E$  күч ҳосил булади. Бунда  $n$  — электронлар концентрацияси,  $E = 4\pi n e x$  — электр майдон кучланғанлиги.

Бу майдон электрон «гази»нинг силжиши ҳисобига найдо бўлади. Ушбу қайтарувчи куч таъсирида электрон «гази» гебранма ҳаракатга келади. Бирлик ҳажмдаги электронлар туруги учун ҳаракат тенгламаси

$$nm \frac{dx^2}{dt^2} = -neE = -4\pi n^2 e^2 x, \quad (10.96)$$

ёки

$$\frac{d^2x}{dt^2} + \omega_n^2 x = 0. \quad (10.97)$$

Бунда

$$\omega_n = \sqrt{\frac{4\pi ne^2}{m}} \quad (10.98)$$

плазманинг бўйлама тебраниши тақорийлиги деб номланади. Унинг қиймати металлар учун ултрабинафша тўлқинларга мос келади. Тажрибаларнинг кўрсатишича, металлар тақорийлиги  $\omega_n$  дан кичик ёруғлик нурларини ўтказмайди, аммо  $\omega > \omega_n$  ларни эса ўтказиши мумкин.

10.4-жадвалда баъзи металлар учун  $\lambda_n = \frac{2\pi c}{\omega_n}$  нинг қийматлари келтирилган.

#### 10.4- жадвал

Металлар	Li	Na	K	Rb	Cs
$\lambda_n^0$ (ҳисобланган) ( $\text{\AA}$ )	1550	2090	2870	3220	3620
$\lambda_n^0$ (тажрибада) ( $\text{\AA}$ )	1550	2100	3150	3400	--

Металлардаги электрон гази тебранишини металлнинг бирор чегараланган қисмида уйғотиш ҳам мумкин. Масалан, кинетик энергияси  $1+10\text{кэВ}$  бўлган тез электронларни юпқа металл қатламдан ўтказганимизда улар металлда маълум бир йуналишларда



10.18- чизма. Плазма тебранишларига доир чизма

тарқалувиштің электрон плазмаси тебранишларини ҳосия қилади (10.18-чизма).

Электрон плазмаси тебранишларининг бундай кванти плазмон деб аталади. Металлга келиб түшган электрон үз энергиясини узлуксиз әмас, балки бұлаклаб йүқтөді. Ҳосия бұлған плазмонларнинг энергияси ~10 эВ тартибда бұлади.

### **Саволлар ва масалалар**

1. Металлар электр үтказувчанлигининг классик(мұмтоз) ва квант назариялари үртасидаги асосий фарқи нимада?
2. Металларнинг энергетик зоналари түзилиши диэлектрик ва ярим үтказгичларницидан фарқини түшүнтириңг.
3. Нима учун металларга электромагнит түлқин чуқур кириб бора олмайды?
4. Циклотрон резонанс ҳодисасини түшүнтириңг.
5. Металларнинг диамагнит, парамагнит ва ферромагнит хоссаларини белгиловчи асосий омилларни айтинг.
6. Металлардаги термоэлектр ҳодисаларини изохылаб беринг.
7. Алюминий кристалли учун  $T=0$  К даги ферми энергиясими топинг. Ҳар бир алюминий атомига учта әрқин электрон түгри келади деб олинсан.
8. Температураси  $T$  бұлған металлдаги электронлар билан тулиш әхтимоллиги 0,2 ва 0,8 бұлған сатхлар энергиялари фарқини топинг ( $\kappa T$ -бирлигіда).
9. Температураси  $18^{\circ}\text{C}$  бұлған металлдаги ферми энергиясидан 0,01 эВ пастдаги сатхнинг түлиш әхтимоллигини топинг.

## ХІ БОБ

### ЯРИМ ҮТКАЗГИЧЛАР

Электр үтказувчалыги қиймдік металлар ( $\sigma = 10^{10} \div 10^8 \text{ ом}^{-1} \text{ м}^{-1}$ ) ва диэлектриклар ( $\sigma = 10^{-8} \div 10^{-12} \text{ ом}^{-1} \text{ м}^{-1}$ ) орасында жойлашған моддаларни яrim үтказгичлар деб аталади. Яrim үтказгичларнинг яна бир мұхим фәрқюзияти шундан иборатки, температурға күтарилиши билан уларнинг электр үтказувчалығы тез ортиб боради. Ушбу моддаларни дастлаб үрганиш болшланғанда кириллтган юқориқати таърифға хөзирғи күнде өнір қатор аниқтіктер қўшилған. Бу аниқтіктер уларнинг энергетик зоналари тузылиши, заряд ташувчиларнинг хоссаларидан келиб чиқади.

Температуранинг етарлича катта оралиғида яrim үтказгичларнинг электр үтказувчалығы экспоненциал ўзгаради:

$$\sigma = \sigma_0 \exp(-E_A/kT). \quad (11.1)$$

Бунда  $E_A$  үтказувчанликни фаоллаш энергияси деб номланади ва электронни атомлар билан боғланишининг ўртача энергиясини билдиради. Ҳар қандай температурада иссиқлик ҳаракати энергияси таъсирида яrim үтказгичдаги валент электронларнинг  $\exp(-E_A/kT)$  га пропорционал қисми эркін заряд ташувчилар бўлади. Яrim үтказгичларнинг үтказувчанлиги бошқа ташқи таъсиrlар (масалан, ёруғлик оқими, зарралар оқими, киришмалар. электр майдон) натижасида ҳам, кўп ҳолларда, экспоненциал ўзгаради. Шунинг учун улар температурага, киришма миқдорига ва бошқа ташқи таъсиrlарга жуда сезгирдир. Яrim үтказгичларнинг бу хоссасидан турли хил вазифаларни бажарувчи асбоблар, сезгир қурилмалар қилинша фойдаланилади.

## 11.1 Ярим ўтказгичларининг турлари

Ярим ўтказгичларни қандай кимёвий элементлардан таништириланига қараб түрт түрга ажратин мумкин.

**Биринчи түрга** элементлар даврий жадвалининг IV гурух элементлари Ge ва Si лар киради. Бу элементлар түрт валент электронга эга бўлиб, ковалент (атом) боғли кристалл панжараси ҳосил қилинглар. Улар бир элемент атомлардан тузилгани учун элементар (солса) ярим ўтказгичлар дейилади.

**Иккинчи тур** ярим ўтказгичларга даврий системанинг III гурух элементлари (Al, Ga, In) билан V гурух элементлари (P, As, Sb) нинг бирикмалари киради. Улар Al<sup>III</sup> BV<sup>V</sup> бирикмалар деб белгиланади (GaAs, InSb, GaP, InP ва бошқалар). III гурух элементлари учта валент электронга, V гурух элементлари эса беш валент электронга эга, шунинг учун Al<sup>III</sup> BV<sup>V</sup> кўринишдаги кимёвий элементда ўртacha ҳар бир атом тўрт валент электронга эга булади. Уларни олмоссимон ярим ўтказгичлар деб аталади. Кристалл панжарасида ҳар бир атом қушни атом билан тўрт валентли боғланишлар ҳосил қиласди. Натижада олмос панжарасига ухшаш кристалл панжараси ҳосил булади. Ушбу турдаги моддаларда ковалент боғланиш етакчи ўрин тутади, шунинг учун улар Ge ва Si ga ухшаш хоссаларни намоён қиласди. Даврий жадвалининг II ва VI гурух элементлари бирикмаларида ҳам ўртacha ҳар бир атомга тўртта электрон тўгри келади (ZnTe, ZnSe, CdTe, CdS ва бошқалар). Лекин уларда ион боғланиш ковалент боғланишга нисбатан етакчи ўрин тутади.

**Учинчи тур** ярим ўтказгичларга даврий жадвалнинг V ва VI гурухларининг баъзи элементлари киради. Гуруҳдаги Se ва Te ларнинг ярим ўтказгичлик хоссалари Ge ва Si дан ҳам олдин аниқланган. V гурух элементлари As, Sb ва Bi лар ярим металлар бўлиб, уларнинг кўп хоссалари ярим ўтказгичларга яқинидир. Al<sup>IV</sup> BV<sup>VI</sup> кўринишдаги моддалар (PbS, PbSe, SeTe, GeTe ва бошқалар) ҳам ўртacha беш валент электронга эга. Бу моддалар ярим ўтказгичли инфрақизил нурлар қабуллагичида ишлатилади.

**VI** гурух элементлари (Se, Te, S, O) нинг I-V-гурух элементлари билан ҳосил қилинган кимёвий бирикмалари ичida

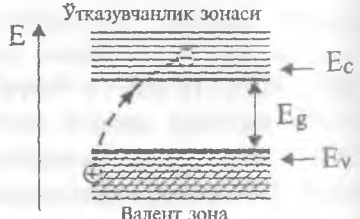
күп ярим ўтказгич моддалар мавжуд. Масалан,  $\text{CuO}$  бирикмаси тұғрилагичларда (купроксин тұғрилагич) ва термоэлемент сифатыда құлланилади. Бошқа күп бирикмаларнинг хоссалари ҳали үрганилмаган.

**Тұрттынчи тур** ярим ўтказгичларига VI гурұх элементларының үтиш металлары ( $\text{Ti}$ ,  $\text{V}$ ,  $\text{Mn}$ ,  $\text{Fe}$ ,  $\text{Ni}$ ,  $\text{Sm}$ ,  $\text{Eu}$  ва бошқалар) билан ҳосил қилинган бирикмалар киради. Уларнинг бирикмаларыда ион бөгләниш устивор бўлиб, күп бирикмалар магнит хоссаларга эгадир. Масалан,  $\text{EuO}$ ,  $\text{EuS}$ ,  $\text{CdCr}_2\text{Se}_4$  ярим ўтказгичлари ферромагнитлардир,  $\text{EuTe}$ ,  $\text{EuSe}$ ,  $\text{NiO}$  лар эса антиферромагнит хоссага эга. Бундай бирикмаларнинг баъзилари ( $\text{V}_2\text{O}_3$ ,  $\text{Fe}_3\text{O}_4$ ,  $\text{NiS}$ ,  $\text{Eu}_2\text{O}$  ва бошқалар) температура ва босим үзгариши билан металл ҳолатига үтиши мумкин.

## 11.2 Ярим ўтказгичларда хусусий ўтказувчанлик ва зоналар тузилиши

Бегона киришмалар йүқ тоза ҳолдаги ёки киришмалар хисаси кам бўлган, ярим ўтказгичларнинг электр ўтказувчанлиги хусусий ўтказувчанлик деб номланади. Тоза ярим ўтказгич моддалар паст температурада электр токини ёмон ўтказади. Бунга сабаб, уларда электроннинг энергетик зоналари тўлдирилиши диэлектриклардагига ухшашлигидир.  $T=0\text{ K}$  да ярим ўтказгичларда валент зонаси электронлар билан тұла тўлган бўлиб, унда юқориги зона ўтказувчанлик зонаси буш бўлади (11.1- чизма).

Етарлича паст температураларда ўтказувчан зона бўшлиги учун ярим ўтказгич электр токини ўтказмайди. Температура кўтарилиши билан иссиқлик энергияси таъсирида валент зонадаги баъзи электронлар ўтказувчан зонага ўтиб олади. Валент зонада эса мусбат зарядли коваклар ҳосил бўлади. Металлардан фарқи үлароқ, ярим ўтказгичларда заряд ташувчилар вазифасини электронлар ва коваклар ўтайди. Ҳақиқий кристалда бу ҳодиса қуйидагича содир бўлади. Ковалент бөгләнини ҳосил қилишда қатнашаётган электрический заряд.



11.1- чизма. Ярим ўтказгичнинг энергия зоналари .

тронлардан бири иссиқлик ҳаракати натижасыда атомдан узилиб әркін электронга айланады (11.2- чизма).

Электрон етишмәтган бөглөніш ҳаракатчан ковакдан иборат. Әркін электрон ҳам, әркін ковак ҳам кристал панжара бүйлаб күчиб юриши мүмкін. Құшни бөгдан электрон тортиб олиш натижасыда мазкур жойда ковак йүқолади, лекин құшни бөгда ковак ҳосил бўлади. Бу ҳодиса ковакнинг күчиб юришидир.

Узилган электронлар яна қайтиб ўзи ҳосил қилған ковакка тушса, әркін электрон ва ковак жуфти йўқолади, буни рекомбинация дейилади. Нолдан фарқли температураларда ярим ўтказгичларда албатта бундай коваклар ва ўтказувчанлик электронлари мавжуд бўлади ва улар электр токини ўтказа олади. Ярим ўтказгичларнинг бу хосаси уларни диэлектриклардан фарқлади. Диэлектрикларда нормал шароитда бундай заряд ташувчилар бўлмайди ёки жуда кам миқдорда ҳосил бўлади. Тоза ярим ўтказгичларда қанча ўтказувчанлик электронлари пайдо бўлса, шунча коваклар ҳосил бўлади. Мувозанатий ҳолатда ўтказувчанлик электронлари зичлигини  $n_0$ , ковакларни кини  $p_0$  деб белгиласак, хусусий ўтказувчанлик учун

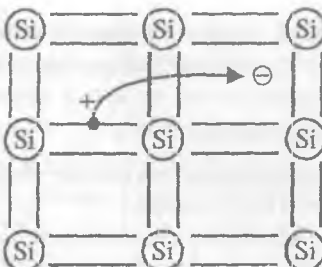
$$n_0 = p_0 = n_i \quad (11.2)$$

Бундан  $n_i$  — хусусий ярим ўтказгичдаги заряд ташувчилар зичлиги (intrinsic — хусусий).

Маълум бир температурадаги заряд ташувчилар миқдори тақиқланған зона кенглигига бөглиқ бўлади.  $E_g$  — қанча кичик бўлса, ўтказувчанлик электронлари сони шунча кўп бўлади.

Ге учун  $E_g=0.67$  эВ, Si учун  $E_g=1.14$  эВ ни ташкил қилади. Шунинг учун, масалан, хона температурасыда ( $T=300^{\circ}\text{K}$ ) Ge кристаллдаги ўтказувчанлик электронлари зичлиги Si никидан тахминан  $10^3$  марта катта.

Ярим ўтказгичларнинг тақиқланған зона кенглигини оптик усулда аниқлаш мүмкін. Бүнинг учун ярим ўтказгичларда ёруғлик нури ютилиш коэффицентини тұлқын узунлигига бөглиқлиги үрганилади. Фотон энергияси  $\hbar\omega < E_g$  бўлганда у деярли ютил-



11.2- чизма. Әркін электрон ва ковакнинг пайдо булиши.

майди, чунки уиннин энергияси валент зонадаги электронларни утказувчаник зонасига күтариши учун етмайды.  $\hbar\omega \geq E_g$  булганда фотонларнинг ютилини бөшләнди (11.3- чизма).

Кристаллда электрон ковак жуфтى ҳосил бўлади. Электронларнинг утказувчаник зонасига бундай ўтиш бевосита (яъни туғри) ўтиши деб номланади. Баъзи ярим утказгичларнинг (масалан Ge, Si) зоналар тузилиши мураккаб бўлади. Уларнинг утказувчаник зонасидаги электронлар учун энг кичик энергия ( $E_{min}$ )га туғри келувчи тўлқин вектор  $k_c$ , валент зонадаги ковакларнинг энг катта энергиясига мос келувчи тўлқин вектори ( $k=0$ ) билан мос келмайди (11.4-чизма).

Энди бевосига ўтиш учун ҳаракат микдори сақланиши қонуни бажаримайди. Лекин, бундай ўтишлар фонон ҳосил бўлиши билан амалга ошиши мумкин. Унда энергия сақланиши қонуни  $\hbar\omega_\phi = E_g + \hbar\omega_q$ . Импульснинг сақланиши қонуни эса

$$\vec{k}_\phi = \vec{k}_c + \vec{k}_q \quad (11.3)$$

куринишда ёзилади.

Бунда  $\omega_\phi$  ва  $k_\phi$  лар уйготилган фотоннинг такорийлиги ва тўлқин вектори. Ёрглик таъсирида электронларнинг бундай ўтиши билво-сита угиш леб номланади. Билвосита угишда ярим утказгичларнинг тақиқланган зона кенглигини туғридан туғри аниқлаб булмайди. Тақиқлансан зона чегараси силжиган бўлади. Ярим утказгичда ютилган фотон эркин электрон ва ковак ҳосил киласди. Энергиянинг бир қисми эса  $\hbar\omega_\phi$  энергияни фонон ҳосил қилишига сарфланади. Баъзи ярим утказгичлар учун тақиқланган зона кенглиги 11.1-жадвалда



Фотонлар энергияси

11.3- чизма. Ярим утказгичда ёрглик ютилишига доир.



11.4- чизма. Туғри ва иотуғри ўтишлар.



Фотонлар энергияси  $\hbar\omega$

11.5- чизма. Бевосита ўтишлар чегараси.

депирилган  $d$  – ҳарфи билан бевосита ўтиш,  $i$  – ҳарфи билан билвосита ўтии кузатилган ярим ўтказичлар белгиланган.

### II. I-жадвал

№	Яромуккачич кристалл	үтни түри	Е <sub>0</sub> , эВ		№	Яромуккачич кристалл	үтни түри	Е <sub>0</sub> , эВ	
			0 К	300 К				0 К	300 К
1	Si	t	1.17	1.14	9	Tl	d	0.33	
2	Ge	t	0.74	0.67	10	PbS	d	0.29	0.35
3	InSb	d	0.23	0.18	11	PbSe	d	0.17	0.27
4	InAs	d	0.36	0.35	12	PbTe	d	0.19	0.3
5	InP	d	1.29	1.35	13	CdS	d	2.58	2.42
6	GaP	t	2.35	2.26	14	CdSe	d	1.84	1.74
7	CdAs	d	1.52	1.43	15	CdTe	d	1.61	1.45
8	AlSb	t	1.65	1.52	16	SnTe	d	0.3	0.18

### 11. 3. Эффективли масса

Эркин электроннинг энергияси  $E$  унинг импульси билан қўйидагича боғланган,

$$E(p) = \frac{p^2}{2m}, \quad (11.4)$$

$m$  – электроннинг тинчликдаги массаси. Лекин электронлар ва бошқа элементар зарралар, квант механикасида кўрсатилганидек, иккى ёқлама табиатга эгадир. Мазкур зарралар ўзини ( $\lambda$  – тўлқин узунилигига эга бўлган) тўлқин сингари тутади (корпускуляр-тўлқин дуализми). Ҳар бир заррага  $\bar{k} = \frac{2\pi}{\lambda} \vec{n}$  тўлқин векторини мос қўйинимиз мумкин. Унда электронларнинг импульси

$$\vec{p} = \hbar \bar{k} \quad (11.5)$$

булади. Электрон кристалл панжараси ичидаги ҳаракатланганда унинг ҳаракат тезлиги  $\tilde{v}$  тўлқин пакетининг гурухий тезлигига тенг деб олинади:

$$\tilde{v} = \frac{\partial E}{\partial \tilde{p}} = \frac{1}{\hbar} \frac{\partial E}{\partial \bar{k}} \quad (11.6)$$

Электрон ташки электр майдон таъсирида тезланиши олсин. Унда унинг тезланиши

$$\ddot{a} = \frac{d\tilde{v}}{dt} = \frac{d}{dt} \left( \frac{1}{\hbar} \frac{\partial E}{\partial \bar{k}} \right) = \frac{1}{\hbar} \left( \frac{\partial^2 E}{\partial \bar{k} \partial t} \right) = \frac{1}{\hbar} \frac{\partial^2 E}{\partial \bar{k}^2} \cdot \frac{d\bar{k}}{dt}. \quad (11.7)$$

Бу ифодадаги  $(\frac{d\bar{k}}{dt})$  ни  $(\frac{\partial \bar{p}}{\hbar \cdot dt})$  га алмаштиришимиз мүмкін, у ҳолда

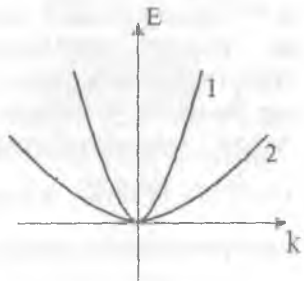
$$\ddot{a} = \frac{1}{\hbar^2} \cdot \frac{\partial^2 E}{\partial k^2} \cdot \frac{d\bar{p}}{dt} = \frac{1}{\hbar^2} \cdot \frac{\partial^2 E}{\partial k^2} \cdot \bar{F}. \quad (11.8)$$

Бунда  $\bar{F} = \frac{d\bar{p}}{dt}$  электронга таъсир қилувчи умумий күч.

Охирги мұносабатдаги  $\bar{F}$  күчнинг олдидағи күпайтувчи теска-ри масса маңысинаи англаади.

$$\frac{1}{m^*} = \frac{1}{\hbar^2} \cdot \frac{\partial^2 E}{\partial k^2}. \quad (11.9)$$

Ушбу масса электроннинг ҳақиқий гравитацион массасы ( $m_e$ ) га тенг бўлиши ҳам, тенг бўлмаслиги ҳам мүмкін.  $m^*$  – электроннинг кристалл панжарадаги ҳаракатининг эфективли массаси деб номланади. Кристалл панжараси бўлмагандага ҳамма электронлар бирор  $\vec{E}$  ташқи электр майдон таъсирида бир хил тезланиш олган бўлар эди. Ўша  $\vec{E}$  майдон турли кристалл жисмларда ҳосил қилинганда ундаги электронлар ўзларини массалари турлича бўлган зарралардек тутади. Демак, эфективли масса бу электронларнинг кристалл панжараси билан таъсирилашувчи хоссаларидан келиб чиқувчи катталик экан. Коваклар ҳам ҳеч қандай гравитацион массаса эга эмес. Аслида улар кристалл панжарасидаги атомлар атрофидаги мусбат заряди кўпроқ бўлган соҳалардир. Шунга қарамасдан, ташқи электр майдон таъсирида коваклар ўзларини маълум бир  $m^*$  эфектив массаса эга бўлган заррадек тутади. Эфективли массасининг ажойиб хоссаларидан бири шундан иборатки, у мусбат ва манфий қийматга эга бўлиши мүмкін. Манфий эфективли массали электрон ташқи электр майдон таъсирида секинлашади. Бунда электроннинг панжара билан эластик тўқнашиш на-тижасида олган тескари импульси электр майдон таъсирида олган импульсдан катта бўлади. Натижада электроннинг уму-

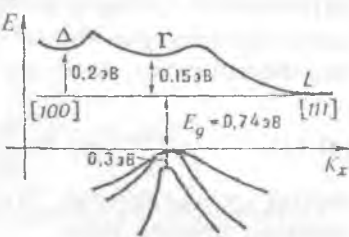


11.6- чизма. Рухсат этилган зона тармоқлари.

мий дрейф тезлиги камайиб боради. Эффективли масса  $E(\vec{k})$  функцияниң күринишига боғлиқ. Агар  $E(\vec{k})$  тез ўзгарувчи функция бўлса, унга мос келувчи эффективли масса кичик бўлади.  $E(\vec{k})$  секин ўзгарса (11.6- чизма, 2), у ҳолда заряд ташувчиларнинг эффектив массаси катта бўлади. Монокристалларнинг зоналари тузилиши кристалл панжарасидаги йўналишига боғлиқ бўлади. Бу ўз навбатида эфектли массанинг анизотропиясини келтириб чиқарди, яъни заряд ташувчиларнинг эффективли массаси турли кристаллографик йўналишларда турлича бўлади. У ҳолда (11.9) ифода қўйидагича кўринишда ёзилади:

$$\frac{1}{m_q} = \frac{1}{\hbar^2} \cdot \frac{\partial^2 E}{\partial k_x \partial k_y}. \quad (11.10)$$

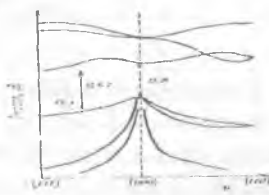
Бунда  $i, j$ лар 1, 2, 3 қўйматларни қабул қиласди. 11.7- чизмада тоза германийнинг (Ge) зона тузилиши келтирилган.  $E(k)$  графигидан кўриниб турибдики, Ge да учта энергетик минимум бўлиб, улар  $\Delta, \Gamma$  ва  $L$  ҳарфлари билан белгиланган. Тақиқланган зона ғенглиги  $E_g$  энг кичик бўлган энергетик минимум бўлиб, унда  $E_g=0,74$  эВ ни ташкил этади. Бу минимум кристаллда [111] йўналишдаги Бриллюэн зонаси яқинда жойлашган. [100] йўналишдаги  $\Delta$  минимум учун  $E_g=0,94$  эВ ни ташкил этади. Бу икки йўналишларда заряд ташу чиларнинг эфективли массаси ҳам турлича бўлади.



11.7- чизма. Германийда энергия зоналари тузилиши.

#### 11.4. Хусусий ярим ўтказгичларда электронлар ва коваклар зиёлиги

Ярим ўтказгичлардаги заряд ташувчилар зичлиги  $E_g$  ва  $T$  га боғлиқлигини кўриб чиқамиз. Бунинг учун  $T$  температурада валент зонадан ўтказувчанлик зонасига ўтиб олган электронлар сонининг кимёвий потенциал  $\mu$



11.8- чизма. Изотроп ярим ўтказгичнинг зоналар диаграммаси.

(ёки Ферми энергияси сатҳи  $E_F$ ) га боғлиқлигини топамиз. Изотроп ярим утказгич валент зонаси шинини  $E_v = 0$  деб оламиз (Г1.8- чизма).

Ўтказувчаник зонасида  $E$  қийматли энергияга эга бўлган электрон учун

$$E = Eg + \frac{\hbar^2 k^2}{2m_n} \quad (11.11)$$

муносабат ўринли бўлсин.

Ўтказувчаник зонасидаги электронлар учун  $E - \mu \gg kT$ , у ҳолда электронларниң Ферми Дирак тақсимотини

$$f_n = \exp\left(\frac{E_F - E}{kT}\right). \quad (11.12)$$

Куринишида ёзиб олиннимиз мумкин. Бунда  $f_n - E$  энергияли сатҳнинг электрон билан банд эканлигининг эҳтимоллиги,  $E_F$  эса Ферми сатҳи, ҳолатлар зичлиги учун

$$g(E)dE = \frac{1}{2\pi^2} \cdot \left(\frac{2m_n}{\hbar^2}\right) \cdot \frac{1}{(E - Eg)^2} dE. \quad (11.13)$$

Ифода ўринли бўлади. Ўтказувчаник зонада жойлашган электронлар зичлиги учун

$$n = \int_{Eg}^{\infty} g(E) \cdot f_n(E) dE = \frac{1}{2\pi^2} \cdot \left(\frac{2m_n}{\hbar^2}\right)^{\frac{3}{2}} \cdot \exp\left(\frac{E_F - Eg}{kT}\right) \quad (11.14)$$

$$\int_{Eg}^{\infty} (E - Eg)^{-\frac{1}{2}} \exp\left(-\frac{E}{kT}\right) dE$$

Интеграл олингандан сўнг:

$$n = 2 \left(\frac{m_n k T}{2\pi\hbar^2}\right)^{\frac{3}{2}} \exp\left(\frac{E_F - Eg}{kT}\right). \quad (11.15)$$

Юқоридаги ифода утказувчаник зонадаги электронлар зичлигининг  $T$  ва  $E_g$  га боғланишини кўрсатади. Агар  $E_F$  маълум бўlsa, уни ихтиёрии  $T$  ва  $E_g$  лар учун ҳисоблаб топиш мумкин. Энди худди шу тартибда ярим ўтказгичлардаги коваклар зичлиги р инг  $T$  ва  $E_g$  га боғланишини аниқлаймиз. Ко-

вакларнинг тақсимот функцияси электронларнинг тақсимот функцияси  $f_p$  билан қўйидагича боғланган:

$$f_p = 1 - f_n. \quad (11.16)$$

У ҳолда

$$f_p = 1 - \frac{1}{\exp(\frac{E - E_F}{kT}) + 1} = \frac{1}{\exp(\frac{E_F - E}{kT}) + 1} = \exp(\frac{E - E_F}{kT}). \quad (11.17)$$

$m_p^*$  — ковакнинг валент зонаси шишидаги эффективли массаси. Коваклар учун ҳолат зичлиги,

$$g_p(E)dE = \frac{1}{2\pi^2} \left( \frac{2m_p^*}{\hbar^2} \right)^{\frac{3}{2}} (-E)^2 dE \quad (11.18)$$

коваклар зичлиги эса,

$$p = \int_{-\infty}^0 g_p(E) f_p(E) dE = 2 \left( \frac{m_p^* kT}{2\pi\hbar^2} \right)^{\frac{3}{2}} \exp\left(-\frac{E_F}{kT}\right) \quad (11.19)$$

(11.15) ва (11.19) ифодаларни бир бирига кўпайтирамиз,

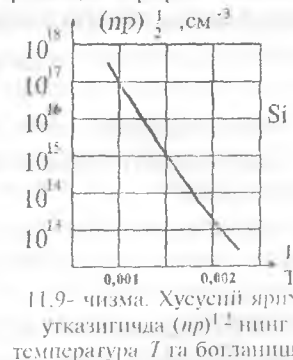
$$np = 4 \left( \frac{kT}{2\pi\hbar^2} \right)^{\frac{3}{2}} (m_n^* m_p^*)^{\frac{3}{2}} \exp\left(-\frac{E_F}{kT}\right) = n_i^{\frac{3}{2}} \quad (11.20)$$

бу ифода мувозанагий ҳолат учун ўринли бўлиб, ҳаракатдаги массалар қонуни деб номланади.

Ушбу муносабат хусусий бўлмаган ярим ўтказгичлар учун ҳам ўринли, чунки биз ҳали хусусийлик тўғрисида бирор тахмин кирифтмадик. Ифоданинг яна бир қулалиги шундан иборатки, унда  $E_F$  нинг қиймати қатиашмайди. Хусусий ўтказувчанилик учун ифода қўйидаги кўринишга келади.

$$n_i = p_i = 2 \left( \frac{kT}{2\pi\hbar^2} \right)^{\frac{3}{2}} (m_n^* m_p^*)^{\frac{3}{2}} \exp\left(-\frac{E_F}{2kT}\right). \quad (11.21)$$

Кремний учун (11.21) ифода ёрдамида ҳисобланган  $(np)^{\frac{1}{2}}$  нинг  $T$  га боғланиши 11.9- чизмада келтирилган (узлуксиз чизик).



11.9- чизма. Хусусий ярим ўтказгичда  $(np)^{\frac{1}{2}}$  нинг температура  $T$  га боғланиши.

Графикдаги нүқталар тажрибада үлчанган қийматлар.  $T=300\text{K}$  да кремний учун  $p_p=4,6 \cdot 10^{19} \text{ см}^{-3}$ , германий учун эса  $p_p=3,6 \cdot 10^{27} \text{ см}^{-3}$ . Ҳисоб-китобларда  $m_p^*=m_p=m_e$  деб олинган.

Хусусий үтказувчанлик учун  $p=n$ , шунинг учун (11.15) ва (11.19) ифодаларни тенглаб

$$\exp\left(\frac{2E_F}{kT}\right) = \left(\frac{m_p^*}{m_n^*}\right)^{\frac{3}{2}} \exp\left(\frac{E_F}{kT}\right) \quad (11.22)$$

ни ҳосил киласиз. Охирги натижани логарифмлаб  $E_F$  га нисбатан ечамиз:

$$E_F = (1/2)E_g + (3/4)kT \ln(m_p^*/m_n^*) \quad (11.23)$$

Агар  $m_p^*=m_p$  ва  $T=0^\circ\text{K}$  бўлса,  $E_F=(1/2)E_g$ , температура ортиши билан, агар  $m_p/m_n^*>1$  бўлса, Ферми сатҳи кутарилади,  $m_p^*/m_n^*<1$  бўлса, у пасайди (11.10- чизма).

Агар  $E_c=0$  деб олинса,  $E_F$  олдидағи ишора ўзгаради.

## 11.5. Заряд ташувчилар ҳаракатчанлиги

Заряд ташувчилар ҳаракатчанлиги деб уларнинг дрейф тезлигини электр майдон кучланганлигига нисбатига айтилади.

$$\mu_n = \frac{|v_n|}{E} \quad (11.24)$$

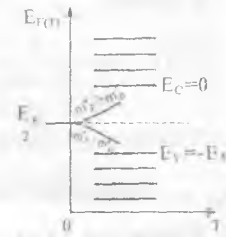
Унинг ишораси электронлар ва коваклар учун бир хил бўлади. Тоза ярим үтказгичларда ҳаракатчанликнинг қийматини электронларнинг фононлар билан тўқнашуви аниқлайди. Электр үтказувчанлик иккита ташкил этувчидан иборат бўлади:

$$\sigma = (n\mu_n + p\mu_p). \quad (11.25)$$

Уибу ифодани  $\sigma = ne^2\tau/m$  билан таққосласак, электрон ва ковакларнинг ҳаракатчанлиги учун қўйидаги муносабатларни топамиз:

$$\mu_n = \frac{e\tau_n}{m_n}; \quad \mu_p = \frac{e\tau_p}{m_p}. \quad (11.26)$$

11.2.-жадвада баъзи бир ярим үтказгичлар учун хона температурасидаги ҳаракатчанлиги келтирилган.



Н.10- чизма. Хусусий ярим үтказгичда Ферми сатҳи  $E_F(T)$

## 11.2- жадвал

Кристалл номи	Ҳаракатчалык, см <sup>2</sup> /В сек	
	$\mu_n$	$\mu_p$
1. Олмос	1800	1200
2. Si	1300	500
3. Ge	4500	3500
4. InSb	77000	750
5. InAs	33000	460
6. InP	4600	150
7. GaSb	4000	1400
8. PbS	550	600
9. PbSb	1020	930
11. PbTe	1620	750
11. AgCl	50	-
12. KBr (100°K)	100	-

### 11.6. Ярим ўтказгичда киришмалар

Ярим ўтказгич кристалл панжарасига ёт атомларнинг мудайян миқдорда кириб қолиши натижасида киришмали ярим ўтказгич ҳосил бўлади. Жуда кам миқдордаги киришмалар ҳам ярим ўтказгичларнинг физик хоссасига катта таъсир кўрсатади. Масалан, тоза кремний кристаллига 0,00001% Бор атомлари киритилганда унинг электр ўтказувчанлиги хона температурасида 100000 марта ошиб кетади.

Кристалл панжарасидаги киришмалар одатда нуқсон ҳисобланади. Агар киришма кристалл панжарасидаги асосий элемент ўрнини эгаллаб олган бўлса уни ўринбосар қаттиқ эритма дейилади. Кiriшма кристалл панжарасидаги атомлар орасига кириб қолган бўлса сүқилма қаттиқ эритма деб аталади. Кiriшма ва асосий молда эффектли атом радиуслари орасидаги фарқ 15% дан ошмаган ҳолларда ўринбосар киришмалар ҳосил бўлади. Ундан ташқари киришма валентлигининг асосий атом валентлигидан фарқи  $\pm 1$  дан ошмаслиги лозим. Сүқилма киришма ҳосил бўлиши учун эса киришма атомнинг эффектив радиуси  $r_{\text{eff}} \leq 0,59 r_a$  бўлиши керак ( $r_a$  – асосий атомларнинг эффектив радиуси). Кiriшмалар наижара даврийлигини бузади, тақиқланган зонала маҳаллий сатҳлар ҳосил қилиади. Кўп ҳолларда маълум бир параметрни ярим ўтказгич ҳосил қилиши учун атаялаб киришмалар киритилади, буни ярим ўтказгичларни легирлаш деб аталади. Кiriшма ҳосил қилиган маҳаллий сатҳ

ұтқазувчанлык ёки валент зонасига яқин жойлашын бұлса саёз сатқы деб номланади (11.11-чизма). Агар маҳаллий сатқалар тақиқланған зона уртасига яқин жойлашган бұлса чүкүр сатқы дейилади.

Ионланиш жараёнида ұтқазувчан зонаға құшимчы электрон беруви киришма донор киришма деб аталади. Мисол тариқасида кремний кристаллиға кириб қолған маргумуш ( $As$ ) атомни күриб чиқайтып (11.12- чизма). Ушбу атом бешта валент электронга эга бўлиб, улардан тўрттаси кремний атоми билан ковалент бօғ ҳосил қилишла қатнашади.

Бешинчи валент электрон эса унга заиф боғланған ҳолда бўлади. Бу электронларнинг атомга боғланниш энергиясини топиш учун уни водородсимон атом деб қаранимиз мумкин. Эркин  $As$  атомида

$$E_d = -\frac{m_0 e^4 \varepsilon^2}{2\hbar^2} \quad (11.27)$$

Д.электрик сингдирувчанлыги  $\epsilon$  бўлган кремний кристаллида бу энергия  $\epsilon^2$  марта кичрайди.

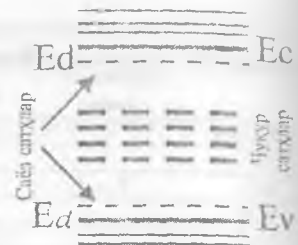
$$E_d = -\frac{m^* e^4 \varepsilon^2}{2\hbar^2} \quad (11.28)$$

Бундан  $m^*$  — кристалдаги электроннинг эффектив массаси,  $m_0$  эркин электрон массаси. У ҳолда

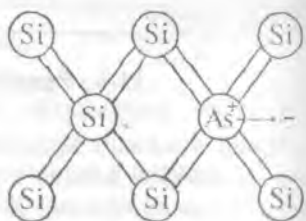
$$E_d = E_i \frac{m^*}{\varepsilon^2 m_0} \quad (11.29)$$

Кремний учун  $\varepsilon \approx 11 \text{ } \mu\text{B}$ ,  $\frac{m^*}{m_0} \approx 1$

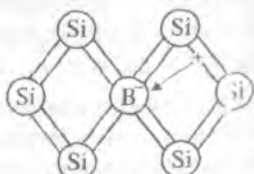
ва  $As$  учун  $E_i = 10 \div 15 \text{ } \text{eV}$  эканлигиги ни ҳисобга олсак,  $E_d$  нинг эВ улушларига тенг бўлган кичик қийматга эгалигини аниқлашмиз. Демак, кри-



11.11- чизма. Саёз ва чүкүр сатқалар.



11.12- чизма. Донор киришма үзидан электронни бўшатади.



11.13- чизма. Акцептор киришма үзидан электронни ташади.

сталл панжарадаги маргумуш атомининг бешинчи валент электронини узиб олиш учун жуда кичик энергия кифоя экан. Дарҳақиқат, маргумиш тақиқланган зонада утказувчанлик зонасига яқин бўлган донор сатҳ  $E_d$  ҳосил қиласди (11.13- чизма). Нормал шароитдаги температурада бу сатҳдаги электрон утказувчанлик зонасига утиб кетган бўлади. Натижада киришмали кремний кристаллида утказувчан электронлар сони кўпайиб кетади. Бундай ярим утказгичлар  $n$  — тур ярим утказгич деб аталади.  $n$  — турдаги ярим утказгичларда утказувчан электронлар сони соф ярим утказгичнидан кўп бўлади.

Энди Бор (В) атомлари киритилган кремний кристаллини кўриб чиқамиз. Бор атоми уч валентли бўлиб кремний атомлари билан ковалент бօғ ҳосил қилиш учун бир электрон етишмайди. Бу электронни Бор атоми қўшни кремний атомидан тортиб олиши мумкин. Бунинг учун  $E_a$  энергия керак бўлади. Юқоридаги мулоҳазаларни қайтариб  $E_a$  учун ҳам (11.28) га ухашаш ифода ҳосил қилишимиз мумкин.  $E_a$  нинг қиймати хона температуralарида 0,1 эВ га яқинидir. Бу энергия сатҳи валент зона яқинида жойлашган бўлиб *акцептор сатҳ* деб номланади. Акцептор киришмали ярим утказгичларда тоза ярим утказгичга нисбатан коваклар сони кўп бўлади. Бундай ярим утказгичларни ковак утказувчанли ёки  $p$  — тур ярим утказгичлар дейилади.

Киришма атомларининг микдорини ошириб борсак улар кристалл панжарасида бир-бирига яқин келиб қолади, натижада уларнинг электрон тўлқин функциялари устма-уст тушиб кристалл панжарасида *киришмавий зона* ҳосил қиласди. Киришма атомларининг зичлиги

$$N_k = 2,2 \cdot 10^{24} \left( \frac{m}{m_0 \varepsilon} \right)^3. \quad (11.30)$$

бўлгандан бошлиб киришмавий зона ҳосил була бошлайди. н-тур утказувчанликка эга бўлган кремний учун  $N_k=10^{19} \text{cm}^{-3}$  ни ташкил этади. Киришмавий зона ҳосил қилувчи ярим утказгичлар *кучли легирланган ярим утказгичлар* деб аталади.

Баъзи киришмалар бир неча сатҳлар ҳосил қиласди, уларнинг баъзилари донор, бошқалари акцептор булиши мумкин. Бундай киришмалар *амфотер киришмалар* деб аталади.

Ярим утказгичдаги киришма сатҳлари ундаги жуда кўп ва турли туман жараёнларда муҳим урин тутади. Ҳозирги замон

электроникаси учун ярим ўтказгичларга киришмалар киритиш билан улар параметрини керакли томонга ўзгаришиш мухим масалалардан бирилir.

### 11.7. Компенсирулган ярим ўтказгичлар

Ярим ўтказгич маълум бир киришмалар киритиш натижасида улардаги заряд тащувчиларнинг тұла зичлиги  $n+p$  ни камайтиришимиз мүмкін. Бундай камайтириш усули компенсирулаш деб номланади, ярим ўтказгични эса компенсирулган ярим ўтказгич дейилади. Компенсираш ёрдамида ярим ўтказгич параметрларини керакли томонга ўзгаришиш ҳозирги пайтда долзарб муаммолардан бирига айланиб қолади. Керакли хоссага эга бұлған янги тур ярим ўтказгич модда ҳосил қилишга нисбатан легирланаш ёрдамида унинг хоссаларини ўзгаришиш анча арzon ва тездир. Компенсирулган ярим ўтказгич хоссалари компенсираш даражаси ( $K$ ) дан ташқари, компенсировчи марказлар табиатига ҳам кучли боғланган. Шунинг учун ҳозир компенсирулган ярим ўтказгичларни уч турға ажратиш мүмкін.

1. Кучли легирланган компенсирулган ярим ўтказгичлар (КЛК). Бундай ярим ўтказгичларда компенсировчи марказ сифатида бир зарядлы саёз сатқ ҳосил қилувчи киришмалар олинади.

2. Юқори энергияли зарралар оқими билан нурланган ярим ўтказгичлар. Компенсировчи марказ сифатида түрли чукур сатқли радиацион марказлар ва катта ҳажмли нүқсонлар (масалан, тартибсизланган қысмлар (ТК)) мухим үрин әгаллади.

3. Чуқур энергетик сатқ ҳосил қилувчи киришмалар билан компенсирулган ярим ўтказгичлар. Бундай ярим ўтказгичларда катта амплитудали флюктуацион потенциаллар ва тартибсизланган қысмлар бўлмайди.

### 11.8. Айниган ярим ўтказгич

Квант механикасида айниш деб системани турли (бир неча) ҳолатларига бирор физик катталикнинг (масалан, энергиянинг) битта қиймати мөс келишига айтилади. Ярим ўтказгичларда ўтказувчан электронлар ва коваклар зичлиги етарлича катта бўлганда айниш қуватилади. Бунда ярим ўтказгичлар айниган ярим ўтказгичлар деб номланади. Айни-

тән ярим ўтказгичларда заряд ташувчилар Ферми-Дирак тақсимотига бүйсунади.  $n$  — турдаги айниган ярим ўтказгичларда Ферми сатхи ( $E_F$ ) ўтказувчанлик зонасида жойлашади,  $p$  — турдаги айниган ярим ўтказгичда эса  $E_F$  валент онада жойлашган бўлади.

$n$  — турдаги ярим ўтказгич учун бу шартни

$$\exp\left(-\frac{E_F}{kT}\right) < 1 \text{ ёки } E_F > 0 \quad (11.31)$$

куринишида ёзишимиз мумкин,  $p$ - тур учун эса,

$$\exp\left[\frac{(E_g + E_F)}{kT}\right] < 1 \text{ ва } E_F < -E_g \quad (11.32)$$

бўлади. Сферик энергия зонасига эга бўлган изотроп  $n$  — тур ярим ўтказгич учун

$$n \approx \frac{4}{3\sqrt{\pi}} \cdot \left(\frac{E_F}{kT}\right)^{\frac{3}{2}}, \quad (11.33)$$

ифода уринли бўлади.

### 11.9. Айнимаган ярим ўтказгич

Ўтказувчан электронлар ва коваклар зичлиги етарлича кичик бўлган ярим ўтказгичларни айнимаган ярим ўтказгичлар деб номланади. Айнимаган ярим ўтказгичдаги заряд ташувчилар Максвелл-Болцман тақсимотига бўйсунади. Айнимаганлик шарти ( $E_c=0$ )

$$\exp\left(-\frac{E_F}{kT}\right) \gg 1 \quad (11.34)$$

куринишида ёзилади. Бунда Ферми энергияси  $E_F$  тақиқланган зона ичида бўлади. Мувозанитий ҳолатдаги электронлар ва коваклар зичлиги учун қўйидаги ифодалар ҳосил қилишимиз мумкин:

$$n_0 = N_c \exp\left(\frac{E_F}{kT}\right), \quad (11.35)$$

$$p_0 = N_v \exp\left(-\frac{E_g + E_F}{kT}\right), \quad (11.36)$$

$$n_0 p_0 = n_i^3 \quad (11.37)$$

Бунда  $N_c = 2 \left( \frac{2\pi m_e^* kT}{h^2} \right)^{\frac{3}{2}}$  ва  $N_v = 2 \left( \frac{2\pi m_e^* kT}{h^2} \right)^{\frac{3}{2}}$  лар электрон

ва коваклар учун ҳолатларнинг эффектив зичлиги деб номланади.

### 11.10 Ярим ўтказгичларнинг электр ўтказувчанлиги

Изотроп ярим ўтказгичларнинг электр ўтказувчанлиги учун (11.24) ифодани ҳосил қилган эдик. Хусусий ўтказувчанликда ушбу ифода қўйидаги кўринишга келади,

$$\sigma_t = (\mu_n + \mu_p) e n_t \quad (11.38)$$

(11.21) дан фойдаланиб

$$\sigma_t = 2e(\mu_n + \mu_p) \left( \frac{kT}{2\pi h^2} \right)^{\frac{3}{2}} (m_e^* m_h^*)^{\frac{3}{4}} \exp\left(-\frac{Eg}{2kT}\right) \quad (11.39)$$

муносабатини оламиз. Кўриниб турибдики, олинган натижа мегалларнинг ўтказувчанлигидан катта фарқ қиласди. Ярим ўтказгичларнинг ўтказувчанлиги температура ортиши билан экспоненциал ортиб боради. Бундан ташқари ўтказувчанлик электронлар ва ковакларнинг ҳаракатчанлигига ва эффектив массаларига боғлиқ. Тақиқланган зона кенглиги  $E_g$  ярим ўтказгичларнинг ўтказувчанлигини белгиловчи муҳим омиллардан ҳисобланади. Киришмали ярим ўтказгичларнинг электр ўтказувчанлиги кўп омилларга боғлиқ ва мураккаб булганлиги учун бу ерда кўриб ўтмаймиз. Хусусий ўтказувчанликнинг температурага боғланиши заряд ташувчилар ҳаракатчанлигининг температурага боғланишидан келиб чиқади. Ҳаракатчанлик ўз навбатида (11.25) га мувофиқ, заряд ташувчиларнинг релаксация вақтлари  $\tau_p$  ва  $\tau_n$  ларга боғлиқ бўлади.

Релаксация вақти заряд ташувчиларнинг кристалл панжасидаги сочилиш турига қараб температурага турлича боғланган. Ҳаракатчанлик ҳам мос ҳолда температурага турлича боғланади. 11.3-жадвалда  $\mu(T)$  ни сочилиш турига қараб температурага боғланиши келтирилган.

### 11.3-жадвал

Сочилини түри	$\mu(T)$
1. Акустик тебранишлар	$T^{-3/2}$
2. Оптик тебранишлар (юқориң Т лар соҳасы)	$T^{-1/2}$
3. Оптик тебранишлар (паст Т лар соҳасы)	$\exp(h\nu_0/kT)$
4. Киршина ионлари	$T^{3/2}$
5. Дислокациялар	$T^{-1/2}$

(11.39) дан күриниб турибиди,

$$\sigma \propto T^{\frac{3}{2}} \exp\left(-\frac{E_g}{2kT}\right)$$

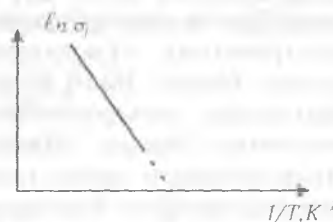
күринища температурага боелик.

$T^{\frac{3}{2}}$  функция экспонентага нисбатан секин ўзгаргани учун бу боеликликтен күрсаткичли деб олишимиз мүмкин. (11.14-чизма).

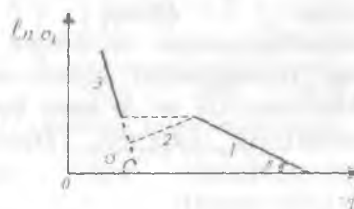
Киршимали ярим үтказгичлар учун бундай график уч қисмдан иборат бўлади (11.15- чизма). Паст температуралардан бошлаб киршима атомлари тўлиқ ионлашиб бўлгунча электр үтказувчанлик  $\exp\left(-\frac{E_i}{2kT}\right)$  қонун бўйича ўзгаради.

Бунда  $n$  — тур ярим үтказгичдаги донорлар ўз электронларини валент зонага узатади. Агар ярим үтказгич  $p$  — тур бўлса акцептор киршималар валент зонадан ўзига электронларни тортиб олади. (11.15- чизма).

$\sigma(T)$  графигининг иккинчи қисмида (11.15- чизма, б), киршималар тула ионлашган бўлади. (Яъни  $n_0=N_d$  ёки  $p_0=N_a$ ). Бунда зонадаги заряд ташувчилар зичлиги ўзгармайди.  $\sigma(T)$  нинг ўзариши тўлиқ  $\mu(T)$  га боғлиқ бўлади. Температуранинг бу интервалида  $\mu(T)$  камайса  $\sigma(T)$  ҳам камаяди,  $\mu(T)$  ошса  $\sigma(T)$  ҳам ортади. Температура яна ортиб бориши билан ярим үтказгич атомларининг үтказувчанлик зонасига ўтётган электронлар зичлиги (ёки валент зонасилаги коваклар зичлиги) киршималар



11.14- чизма. Хусусий электр үтказувчанлик.



11.15- чизма. Киршимавий электр үтказувчанлик.

хосил қылған заряд ташувчилар зичлигига тенгләшали ва улардан ортиб кетади, натижада хусусий үтказувчанлық етакчи рол үйнайды (11.15- чизма, с). Бұнда  $\sigma = \sigma_0 \approx \exp\left(-\frac{E_F}{2kT}\right)$  қонунияп үринли бўлади. Бу ифодалар киришмалар зичлиги учун катта бўлмаган ҳоллар учун үриннилдири.

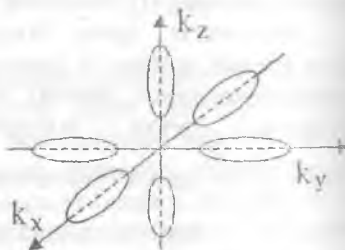
### 11.11. Ярим үтказгичларда циклотрон резонанс

Металларда циклотрон резонанс ҳодисаси металл сиртига яқин бўлган электронларда кузатилади. Чунки скин-эффект электромагнит тўлқинларни металл ичкарисига киришга ҳалақит беради. Ярим үтказгичларда эса барча заряд ташувчилар ташки электромагнит тўлқинининг ўзгарувчай майдони таъсисида бўлади. Циклотрон резонанс ёрдамида ярим үтказгичлардаги заряд ташувчиларнинг эффектив массасини аниқлаш мумкин. Монокристалл ярим үтказгичларда эффективли масса қиймати йўналишига боғлиқ бўлади.

Ярим үтказгичларда турли йўналишлардаги эффективли массалар фарқи 10 мартадан ҳам кўп бўлиши мумкин. Эффективли массалар фарқи ярим үтказгичларнинг энергетик зоналар тузилишидан келиб чиқади. Масалан, Ge ва Si учун бир хил энергияли сиртлар ( $E(p)=\text{const}$ ) эллипсоидлар ҳосил қиласиди. (11.16- чизма).

Улар учун энергияни

$$E(p) = \frac{p_x^2 + p_y^2}{2m_{\perp}} + \frac{p_z^2}{2m_{\parallel}} \quad (11.40)$$



11.16- чизма. Кремний учун тенг энергияли сиртлар – эллипсоидлар бўлади.

кўрининида ёзишимиз мумкин. Кремний монокристаллидаги [100] йўналиши эллипсоиднинг симметрия ўқига мос тушади. Бу йўналишдаги эффективли масса  $m_{\parallel}$  билан белгиланган, унга кўндаланг икки йўналишида эффективли массалар тенг бўлиб, улар  $m_{\perp}$  кўрининида ёзилган. Агар ташқаридан қўйилган доимий магнитик майдон В йўналиши эллипсоида ўқига нараандел бўлса, заряд ташувчилар бу магнит майдонда

$$\omega_{\perp} = \frac{eB}{m_{\perp}} \quad (11.41)$$

такрорийлик билан айланы бөнләйдилар Майдон йұналиши эллипсоид үқига тик бұлса,

$$\omega_{\parallel} = \frac{eB}{m_{\parallel}}. \quad (11.42)$$

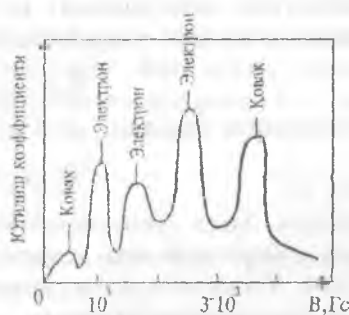
Агар магнит майдон эллипсоид үқи билан  $\theta$  бурчак ҳосил қиласа, циклотрон резонанс ютилиши аниқланған эффектли масса учун

$$\left(\frac{1}{m}\right)^2 = \frac{\cos^2 \theta}{m_{\perp}^2} + \frac{\sin^2 \theta}{m_{\perp} m_{\parallel}} \quad (11.43)$$

муносабат үринли бўлади. Ге монокристалли учун циклотрон резонанс ютилиши (11.17) чизмада келтирилган. Бунда магнит майдон йұналиши [100] билан  $60^\circ$  ҳосил қиласа. Тащқаридан тушаётган электромагнит түлқин такрорийлиги  $\sim 24$  ГГц атрофида, температура  $T=4\text{K}$ . Ютилиши юқори бўлган чўққилар икки хил эффектив массалы ковак ва уч хил эффектив массалы элекtronлар бор эканлигини кўрсатади.

Хар бир эффектив массалы тащқи майдонга маълум бир бурчак остида йұналган эллипсоид энергетик зонаға мос келади. Уибу тажрибалардан Ge учун  $m_{\perp}=0.082 m_0$  ва  $m_{\parallel}=1.59 m_0$  эканлиги аниқланған. Бунда  $m_0$  – электроннинг гравитацион массаси, Si учун эса  $m_{\perp}=1.19 m_0$  ва  $m_{\parallel}=0.98 m_0$  ии ташкил этади. Ge ва Si ларнинг валент зоналари чети мураккаб кўринишинга эга. Тажрибалар у ерда икки хил массалы коваклар борлигини кўрсатади.

Улар енгил ва оғир эффектив массалы коваклар деб номланған. 11.4-жадвалда баязи ярим ўтказгич монокристаллари учун электрон ва ковакларнинг иисбий эффектив массалари келтирилган.



11.17- чизма. Ярим ўтказгичларда циклотрон резонанс.

## 11.4-жадвал

Кристалл иоми	Тақиқланган зона кенгилги Eg,эВ	Электроннинг эф-фектли массаси ( $m^*_{\text{el}}/m_0$ )	Оғир ковакининг эф-фектли массаси ( $m^*_{\text{el}}/m_0$ )	Енгил ковакининг эф-фектли массаси ( $m_{\text{el}}/m_0$ )
InSb	0,23	0,0155	0,4	0,016
InAs	0,36	0,024	0,41	0,026
GaSb	0,81	0,042	-	0,052
GaAs	1,52	0,07	0,68	0,07

Электронларнинг ва енгил ковакларнинг эф-фектли массалари тақиқланган зона кенгайишига пропорционал ҳолда ортиб боради. Ушбу эф-фектли массалар Бриллюэн зонасининг марказидаги ( $k=0$ ) қийматта мос келади.

### 11.12. Ярим ўтказгичларда Холл ҳодисаси

Холл ҳодисасининг таърифини X бобда келтириб ўтган эдик. Ярим ўтказгичларда Холл ҳодисаси ёрдамида заряд ташувчилар зичлигини аниқлашимиз мумкин. Металлардан фарқи ўлароқ ярим ўтказгич  $n$  – тур булса Холл коэффициенти

$$R_n = -A_n/e\eta; (A_n=1 \div 2) \quad (11.44)$$

куринишида ёзилади, агар р – тур ярим ўтказгич бўлса

$$R_p = A_p/e\rho; (A_p=1 \div 2) \quad (11.45)$$

булади. Холл доимийсининг ишораси асосий заряд ташувчилар ишорасига мос келади. Демак, Холл ҳодисаси ёрдамида ярим ўтказгичлардаги асосий заряд ташувчилар ишорасини ҳам аниқлашимиз мумкин.

$$\mu_H \equiv R_n / \sigma_n = A \mu_n \quad (11.46)$$

катталик Холл ҳаракатчанлиги деб аталади. У дрејф ҳаракатчанлик –  $\mu_n$  дан фарқ қиласди.  $A_n$ ,  $A_p$  ва  $A$  ўлчовсиз катталиклар бўлиб, Холл фактори деб номланади. Уларнинг қиймати ҳар бир хусусий ҳол учун заряд ташувчиларнинг сочилиш механизмларидан келиб чиқади. Масалан, агар ҳамма электронлар бир хил тезликда ҳаракатланса  $A=1$  булади.

Сочилиш асосан фононларда содир бўлган ва айнимаган ярим ўтказгич учун  $A=3n/8=1,18$  деб олинади. Агар ярим ўтказгичдаги бир хил энергияли ( $E(p)=\text{const}$ ) сиртлар куриниши сферадан катта фарқ қиласа  $A=0,7$  қийматгача камайиши мумкин. Зарядли марказларда сочилиш механизми устувор бўлганда  $A \geq 1,9$  бўлиши мумкин.

### 11.13. Магнитик қаршилик ҳодисаси

Токли ярим ўтказгичниң ток йұналишига тик йұналған  $\bar{B}$  магнит майдонға киритсақ, ярим ўтказгичниң электр қаршилиги оргади. Солиширма электр қаршилик  $\rho$ , магнит майдон йүқдигида  $\rho(0)$  га тенг бўлса, у ҳолда солиширма қаршиликтининг нисбий ўзгариши

$$\frac{\Delta\rho}{\rho(0)} = \frac{\rho(B) - \rho(0)}{\rho(0)} = \frac{B^2}{\tau^2} \left\{ \left( \frac{ne^3}{m_n^2} \right)^2 / \bar{\tau}_n \bar{\tau}_n^3 - \left( \bar{\tau}_n^2 \right)^2 / + \left( \frac{pe^3}{m_p^2} \right)^2 / \bar{\tau}_p \bar{\tau}_p^3 - \left( \bar{\tau}_p^2 \right)^2 / + \left( \frac{npe^4}{m_n m_p} \right) / \left( \frac{e}{m_p} \right)^2 \bar{\tau}_n \bar{\tau}_p^3 + \left( \frac{e}{m_n} \right)^2 \bar{\tau}_p \bar{\tau}_n^3 \right\}. \quad (11.47)$$

Бу муносабатдаги  $\bar{\tau}_p$  ва  $\bar{\tau}_n$  лар мос ҳолда коваклар ва электронларнинг релаксация вақти,  $m_n$  ва  $m_p$  лар эфектли массалар. Бу ифодани бәзі хусусий ҳолларда бир мунча содда күринишга келтириш мумкин. Масалан, донор киришмали  $n$  – тур ярим ўтказгич учун

$$\frac{\Delta\rho}{\rho(0)} = \left( \frac{eB}{m_n} \right) \frac{\bar{\tau}^3 \bar{\tau} - (\bar{\tau}^2)^2}{(\bar{\tau})^2} \quad (11.48)$$

бўлади. (11.47) дан күриниб турибдики магнитик қаршилик майдонға  $T \sim B^2$  күринишида боғланған экан.

### 11.14. Ярим ўтказгичларда диффузион ток

Агар ярим ўтказгичларда электронлар ёки коваклар зичлигининг градиенти (фарқи) ҳосил қилинса, яъни  $n$  ёки  $p$  ярим ўтказгичниң бир қисмida каттароқ бошқа қисмida эса кичикроқ бўлса, ярим ўтказгич бўйлаб диффузион ток оқади. Бунда заряд ташувчилар зичлиги каттароқ бўлган жойдан, зичлиги кичикроқ бўлган жойга қараб ҳаракатланади. Диффузион ток ярим ўтказгичлар учун хос бўлган ҳодиса бўлиб, металларда кузатилмайди. Диффузион ток ҳосил қилиши учун ташқи электрик майдон бўлиши шарт эмас. Ярим ўтказгичда  $x$  – уқи бўйлаб заряд ташувчилар градиенти ҳосил қилинган бўлса, у ҳолда ярим ўтказгичдан ўтётган ток зичлиги заряд ташувчилар градиентига пропорционал бўлади:

$$\bar{J}_{nx} = eD_n \frac{dn}{dx}, \quad (11.49)$$

$$\bar{J}_{px} = -eD_p \frac{dp}{dx}. \quad (11.50)$$

Бу ифодаларни уч ўлчовли ҳол учун умумлаштириб,

$$\begin{aligned}\bar{j}_n &= eD_n \nabla n. \\ \bar{j}_p &= -eD_p \nabla p,\end{aligned}\quad (11.51)$$

муносабатларни ҳосил қиласиз. Бунда  $D_n$  ва  $D_p$  лар мос ҳолда электрон ва ковакларнинг диффузия коэффициентлари дейилади. Ушбу катталикларни Эйнштейн биринчи марта температура билан боғланишини кўрсатиб берди:

$$\begin{cases} D_n = \mu_n \frac{kT}{e}, \\ D_p = \mu_p \frac{kT}{e}. \end{cases} \quad (11.52)$$

Булар Эйнштейн муносабати деб юритилади. Агар ярим ўтказгичга электр майдон ҳам қўйилган бўлса, тўлиқ ток зичлиги дрейф ва диффузион токлар зичлигидан ташкил топади.

$$\bar{j}_n = e\mu_n \vec{E} + eD_n \nabla n. \quad (11.53)$$

$$\bar{j}_p = e\mu_p \vec{E} + eD_p \nabla p. \quad (11.54)$$

Ушбу муносабатлар унча катта бўлмаган электр майдонлар учун ўринлидир. Агар ярим ўтказгичда электроннинг эркин югириш масофаси  $\bar{\ell}$  бўлса, шу масофада электроннинг олган энергияси  $eE\bar{\ell}$  бўлади.

$$eE\bar{\ell} \ll kT \quad (11.55)$$

бўлган ҳоллар учун (11.53) ва (11.54) муносабатлар ўринли бўлади. Акс ҳолда Ом қонуни бузилиб электронларнинг ҳаркатчанлиги  $\mu_n$  ҳам  $E$  га боғлиқ бўлиб қолади.

### 11.15. Ярим ўтказгичларнинг магнит хоссалари

Кўп ярим ўтказгичлар диамагнитлар ҳисобланади. Нормал шароитда улар кучсиз диамагнит хоссасига эга бўлади. Лекин, баъзи парамагнит ўзгаришлар натижасида уларда парамагнит

хоссалари устивор булиши мүмкін. Бундай ярим үтказгичларни номагнит яримұтказгичлар деб аталади. Бундай ярим үтказгичларда  $d$  ёки  $f$  атом қобиқлары тұлмаган, киришмалары йүк, ёки жуда кам миқдорда бұлған Si, Ge, CdS, CdSe, CdTe ва бошқа ярим үтказгичлар мисол бұла олади.  $d$  ва  $f$  – атом қобиқлары тұлмаган, киришмалары бор ярим үтказгичлар  $Pb_{1-x}Mn_xTe$ ,  $Pb_{1-x}FeTe$  ҳам мисол бұла олади. Бунда  $x$ -индекс  $d$  ва  $f$  қобиқлары чала тұлған Mn ва Fe киришмаларининг нисбий улуши. Ушбу ярим үтказгичларда Mn ва Fe киришмаларининг атомлари бир-бirlари билан күчли таъсирлашадилар ва етарлича күп атомларнинг магнит моментлері бирлашиб магнит доменлари (зарралари) ҳосил қиладилар. Бундай ярим үтказгичлар ферромагнит ва антиферромагнит хоссаларини намоён қиладилар. Ярим үтказгичнинг асосий кристалл панжарасини ташкил этган атомлар магнит моментига эга бұлса, уларни магнит ярим үтказгичлар дейилади. (Масалан,  $NiO$ ,  $Fe_3O_4$ ,  $EuO$ ,  $EuS$ ,  $EuSe$ ,  $EuTe$  ва  $EuK$ ).

Номагнит ярим үтказгичларнинг магнит қабулчанлиги 3 та қисмдан иборат бұлади.

$$\chi = \chi_1 + \chi_2 + \chi_3. \quad (11.56)$$

Бунда  $\chi_1$  – кристалл панжарасининг,  $\chi_2$  – заряд ташувчиларнинг,  $\chi_3$  – нүқсонларнинг магнит қабулчанлиги. Тоза ярим үтказгич монокристаллининг тәжрибада ұлчанған қабулчанлиги  $\chi_1$  ни ташкил этади. Заряд ташувчиларнинг қабулчанлиги  $\chi_2$  параметрлік  $\chi_{2n}$  ва диамагнит  $\chi_{2d}$  ташкил этувчилардан иборат. Одатда  $\chi_{2n} > > \chi_{2d}$  бўлгани учун  $\chi_2 \sim \chi_{2n}$  деб олинади. Парамагнит қабулчанлик учун

$$\chi_{2n} = AT^{\frac{1}{2}} \exp\left(\frac{-Eg}{2kT}\right) \quad (11.57)$$

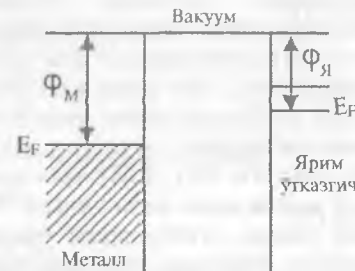
ифода үринли булиб, у температурага күчли бөгланған.  $\chi_3$  ни асосан сиірек жойлашған үзаро таъсир анымайдыған магнит киришмалар аниқлады. Бундай киришмаларнинг магнит хоссаның қуйидаги ортиқча электроннинг спини белгилайды. Ушбу ҳолда қабулчанлик учун

$$\chi_{3n} = \frac{n_k \mu_B}{H} L(\alpha) \quad (11.58)$$

Лаижевен ифодасы үринли бұлади. Бунда

$\alpha = \frac{\mu_B H}{kT}$ ;  $L(\alpha) = \operatorname{cth} \alpha - 1/\alpha$  ва  
 $n_k$  киришмадаги ортиқча электронлар зичлиги.

Агар киришмалар миқдори күп булиб, улар киришмавий зона ҳосил қылса, бундай донорларнинг парамагнит қабулчанлиги



11.18- чизма. Металл-ярим үтказгич контакти.

$$x_{3n} = c/T^{1-a} \quad (11.59)$$

бұлади. Бунда

$c = n_k \mu_B (A/m^2)^a (1+a)^{-1}, a = n_k (B_m)^{3/2}$ ;  $A$  ва  $B$  лар доимий катталиктар.  $\chi_{3n}$  га үтиш металлари киришмалари катта ҳисса құшади (Fe ва бошқалар).

### 11.16. Ярим үтказгичларда контакт ҳодисалар. Металл-ярим үтказгич контакти

Ярим үтказгичда электр токи үтказиш учун уни электр манбадан келған металл үтказгич билан туташтириш (яғни, контактлаш) керак. Натижада метал — ярим үтказгич контакти ҳосил бұлади. Ярим үтказгичли асбобларнинг деярли барчаси ярим үтказгичларнинг металл, ярим үтказгич, диэлектрик билан контакт ҳосил қилиниши натижасыда яратылади. Шүннинг учун контакт ҳодисаларини ўрганиш мұхим ақамиятга эга. Қуйида металл билан ярим үтказгич контактини күриб чиқамиз. Металл сиртидан иссиқлик ҳаракати таъсирида чиқаётган электронлар оқими учун (10.79) ифода ҳосил қилинганды.

Үндаги  $\phi$  — термодинамик чиқыш иши деб номланади ва у Ферми сатқыдан вакуум сатқынан булған энергетик масофани билдиради. (11.18- чизма).

Металл ва ярим үтказгичлар алоқида вакуумда жойлашғанда уларнинг ҳар биридан қуйидеги ифодалар билан аниқланып көрсетілгенде.

$$J_A = \frac{4\pi m (kT)^2}{h^3} \exp\left(-\frac{\varphi_A}{kT}\right),$$

$$J_M = \frac{4\pi m (kT)^2}{h^3} \exp\left(-\frac{\varphi_M}{kT}\right). \quad (11.60)$$

Энди ярим үтказгич билан метални туташтирамиз. 11.18 - чизмада құрсатылған ҳол учун  $\varphi_m > \varphi_A$ , бинобарин  $J_A > J_M$  бұлади. Демак, бир ҳыл температурада ярим үтказгичдан металлга үтәётган электронлар сони металдан ярим үтказгичга үтәётган электронлар сонидан катта бұлади. Натижада металл сирти манфий, ярим үтказгич сирти эса мусбат зарядланиб қолади. Контактда электр майдон ҳосил бұлади ва бу майдон  $J_A$  ва  $J_M$  оқымлар фарқыга тенг тескари оқым ҳосил қылмагунча ортиб бораси. Электронлар оқымы мувозанатлашганда контактдагы электр майдон энергиясы  $\Phi_k$  чиқып ишләре айирмасыга тенг бұлади.

$$\Phi_k = \Phi_M - \Phi_A \quad (11.61)$$

Майдон металл ичкарисига кирмайды, у ярим үтказгич сиртига яқын қатламда ҳосил бўлади (11.19-чизма).

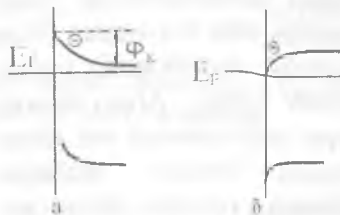
а) Ярим үтказгичдан металлга үтган электронлар ҳисобига ярим үтказгичда электронлар зичлиги камаяди ва Энергия зонаси юқорига эгриланади. Ярим үтказгичнинг ҳажмида  $n_0$  ва сиртидаги  $n$  электронлар зичлиги

$$n = n_0 \exp(-\varphi_k/kT) \quad (11.62)$$

кўриннишда боғланган бўлади.

Бундай қатламнинг солиштирма қаршилиги катта булғанлиги учун уни беркитувчи қатлам дейилади. Агар  $\varphi_M < \varphi_A$  бўлса, у ҳолда  $J_M > J_A$  ва металл сирти мусбат, ярим үтказгич сирти манфий зарядланади. Энергия зонаси пастга эгриланади (11.19-чизма, б).

Беркитувчи қатламнинг мувозанат шароитдаги қенглиги:



11.19- чизма. Металл-ярим үтказгич контактида беркитувчи ва беркитмайдиган қатламларнинг пайдо бўлиши.

$$L = \left( \frac{e\varphi_k}{2\pi e^2 n_0} \right)^{\frac{1}{2}}. \quad (11.63)$$

Беркитувчи қатламли металл-ярим ўтказгич контактлари ўзгарувчан ток түргилагичлари бўлиб хизмат қила олади. Шундай контактнинг металл қисмига мусбат қутб, ярим ўтказгич қисмига манфий қутб уланган  $V$  кучланиши электр токи манбанин кўриб чиқамиз. Бундай уланишда контакт потенциаллар айирмаси камаяди:

$$\varphi = \varphi_k - eV. \quad (11.64)$$

Ярим ўтказгичдан металлга томон ҳаракатланаётган электронлар учун потенциал тусиқ пасаяди, электронлар оқими ортиб кетади. Агар занжир берк бўлса доимий ток ҳосил бўлади. Токнинг қиймати кучланиш ортиши билан жуда тез, кўрсаткичли функция сингари ортиб боради (11.20-чи зама). Бундай кучланишни тўғри кучланиш деб номланади. Контакт қатлам кенглиги ҳам (11.63) га мувофиқ камаяди:

$$I(V) = \left[ \frac{E(\varphi_k - eV)}{2\pi e^2 n_0} \right]^{\frac{1}{2}}. \quad (11.65)$$



11.20-чи зама. Металл-ярим ўтказгич контактининг волт-ампер тавсифномаси.

Энди контактдаги металлга манфий, ярим ўтказгичга мусбат қутбни улаймиз. Бундай кучланиш *тескари кучланиш* деб аталади. У ҳолда контактдаги потенциал тусиқ баландлиги ортади:

$$\varphi = \varphi_k + eV. \quad (11.66)$$

Электронларнинг ярим ўтказгичдан металлга томон оқими камаяди. Металдан ярим ўтказгичга томон электронлар

оқими ўзининг кичик қийматика қолаверади. Бу оқимлар фарқидан ҳосил булган ток жуда кичик бўлиб, тескари ток дейилади. Тескари кучланиш ортиб борган сари контакт қатлами ҳам кенгайиб боради, электронлар оқими эса 0 га интилади. *Тўғри ток* тескари токдан бир неча тартиб катта бўлади.

Шунинг учун, айтиш мумкинки, беркитувчи металл — ярим ўтказгич контакти токни бир томонга яхши ўтказади, тескари томонга эса деярли ўтказмайди. Бундай контакт Шоттки контакти деб номлануб, тўғрилагич, яъни диод вазифасини бажариши мумкин. Уларни Шоттки диодлари деб аталади. Шоттки контакти икки сиртнинг тулашишидан иборат, шунинг учун у муайян электр сигумга эгадир:

$$C = \frac{\epsilon}{4\pi L} = \left( \frac{e^2 n_0}{8\pi \varphi_k} \right)^{\frac{1}{2}}. \quad (11.67)$$

Ташки элекстр манбага уланганда ушбу ифодадаги φ манба кучланишига боғлиқ бўлади, у ҳолда (11.64) га мувофиқ:

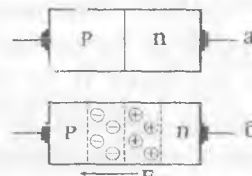
$$C = \left[ \frac{e^2 n_0}{8\pi(\varphi_k - eV)} \right]^{\frac{1}{2}}. \quad (11.68)$$

Демак контактнинг сигими ташки кучланишига боғлиқ экан. Варикаглар деб номланувчи асбобларнинг ишлаш тамойили ана шундай кучланиш билан бошқариладиган электр сигумларга ўсосланади.

### Электрон – ковак (p-n) ўтиш

Ярим ўтказгич моддасидан маълум бир усуллар билан p ва n тўрли соҳалар ҳосил қиласиз. Бу соҳаларни бир-бiri билан тулаштирасак *p-n* ўтини ҳосил бўлади (11.21- чизма). Электронлари кўп n — соҳанинг чегарага яқин қатламидан электронлар диффузияланиб p — соҳага ўтиб кетади,

p — соҳадан n — соҳага эса коваклар диффузияланади. Диффузияланган электронлар ва коваклар ярим ўтказгич ичига кириб рекомбинацияланади (яъни, йуқолади). Чегара қатламида эса ҳаракатсиз манфий акцептор ва мусбат донор ионлари қолади.



11.21- чизма. Электрон-ковак (p-n) ўтиш.

Хосил бұлған ҳажмий заряд соҳасида электр майдон  $n$  – соҳадан  $p$  – соҳага томон йуналади (11.21- чизма, б).

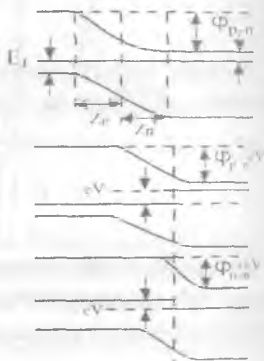
Бу майдон таъсирида вужудга келған зарядлар оқими диффузион оқимларға тенг булғанда  $p-n$  үтишнинг электр майдони ўзининг мувозанатий қийматига эришади.  $p$  ва  $n$  соҳаларниң қатлам көнгликлари мос ҳолда,

$$Z_n = \left( \frac{\epsilon \varphi_{p-n}}{2\pi e^2 N_d} \right)^{\frac{1}{2}}, \quad Z_p = \left( \frac{\epsilon \varphi_{p-n}}{2\pi e^2 N_a} \right)^{\frac{1}{2}} \quad (11.69)$$

ифодалар билан аниқланади.  $p-n$  үтишнинг умумий қенглиги:

$$Z = \left( \frac{\epsilon \varphi_{p-n}}{2\pi e^2} \cdot \frac{N_d + N_a}{N_d N_a} \right)^{\frac{1}{2}} \quad (11.70)$$

бұлади. Күриниб турибдикі,  $p-n$  үтиш иккала соҳага ҳам кириб болар экан.  $p-n$  үтишда ҳаракатчан электронлар ва коваклар диффузия натижасида қатламдан кетиб қолғанлиги туфайли күзғалмас акцептор (манфий) ва донор (мусбат) ионлар ҳажмий заряд хосил қиласы. Ҳажмий заряд ҳисобига электр майдон вужудга келади. Бу электр майдон ковакларниң диффузион оқимига қарши уларнинг дрейф оқимини хосил қиласы. Мувозанат ҳолатида диффузион ва дрейф оқимлари тенг булып ток кучи 0 га тенг бұлади. Токда қатнаша оладиган ҳаракатчан зарядлар зичлиги  $p-n$  үтишда жуда кичик бұлади, шунинг учун  $p-n$  үтишнинг солиши тиң қаршилиги жуда каттадир.  $p-n$  үтишда электр майдон билан бөглиқ бұлған потенциал  $\varphi$  координата функцияси бұлади. Унинг  $p-n$  үтиш четла-ри орасидаги қийматлари айрмаси контакт потенциаллар фарқи ёки потенциал түсік баландлігі  $\varphi_{p-n}$  ни билдиради. Электр майдон  $n$  – тур соҳадан  $p$  – тур соҳага йуналғаны учун,  $n$  – тур соҳадан электронларниң  $p$  – тур соҳага



11.22- чизма. Электрон-ковак үтиш түрги ва тескари күчләниш берилған ҳоллар.

ўтишига ва  $p$  – тур соҳа ковакларининг  $n$  – тур соҳага ўтишига тўсиқ бўлади (11.22- чизма, а).

Энди  $p-n$  ўтишга ташқи  $v$  – кучланиш қўямиз.  $p-n$  ўтиш соҳасининг қаршилиги катта бўлганлиги учун, деярли барча кучланиш тушиши  $p-n$  ўтишга тўгри келади. Агар ташқи манбанинг мусбат қутби  $p$  – тур соҳага, манфий қутби  $n$  – тур соҳага уланган бўлса, тўгри кучланиш қўйилган бўлади (11.22- чизма, б). Унда потенциал тўсиқ  $\phi$  – пасаяди ва тўгри ток пайдо бўлади.

Мусбат қутб  $n$  – тур соҳага, манфий қутб  $p$  – тур соҳага уланса (11.22- чизма, в),  $p = n$  ўтишнинг майдони билан ташқи майдони бир хил йўналган бўлади. Потенциал тўсиқ ортади,  $p-n$  ўтишдан жуда кичик тескари ток оқади. Катта бўлмаган кучланишлар ва токлар соҳасида  $p-n$  ўтишнинг вольт–ампер характеристикини учун

$$j = e \left( \frac{D_p p_n}{L_p} + \frac{D_n n_p}{L_n} \right) \left( e^{\frac{eV}{kT}} - 1 \right) = j_s \left( e^{\frac{eV}{kT}} - 1 \right) \quad (11.71)$$

ифода ўринли бўлади. Бунда  $D_p$ ,  $D_n$  коваклар ва электронларнинг диффузия коэффицентлари;  $L_p$ ,  $L_n$  – мос ҳолда диффузия узунликлари;  $p_n$  – ковакларнинг  $n$  – тур соҳадаги,  $n_p$  – электронларнинг  $p$  – тур соҳадаги мувозанатий зичликлари.

Тўгри кучланиш ( $V > 0$ ) қўйилганда ток зичлиги экспоненциал ортиб боради. Тескари кучланишда ( $V < 0$ ) ток жуда секин ўсади ва  $\exp(eV/kT) < 1$  бўлганда ўзининг кичик тўйинган қийматига эришади. Демак  $p-n$  ўтиш ҳам тўғрилаш хоссасига эга экан, яъни бир йўналишда токни яхши ўтказади, иккинчи йўналишда эса деярли ўтказмайди.  $p-n$  ўтишнинг кенглиги ташқи кучланишга қўйидагича боғланган.

$$Z(V) = \left[ \frac{\epsilon(\phi_{p-n} - eV)}{2\pi e^2} \cdot \frac{N_d + N_a}{N_d N_a} \right]^{\frac{1}{2}}. \quad (11.72)$$

$p-n$  ўтишнинг ҳам сигими бўлиб, унинг қиймати ташқи кучланишга боғлиқ:

$$C = \left[ \frac{\varepsilon e^2}{8\pi(\varphi_{p-n} - eV)} \cdot \frac{N_d N_a}{N_d + N_a} \right]^{\frac{1}{2}}.$$

Ушбу ифодалар кучланиш тушиши  $p-n$  үтишда содир бұлаёттан қоллар учун үринлидір. Кичик кучланишларда бу шарт бажарылади.

Шундай қилиб  $p-n$  үтиш үзгарувчан кучланишни тұғрилаш ва электр сифимни кучланиш билан бошқариш хоссаларига әга экан. Ушбу ва яна бошқа бир қатор хоссалардан фойдаланған қолда ҳозир ярим үтказгичлардан жуда күп асбоблар тайёрланмоқда. Мураккаб интеграл микросхемалариде  $p-n$  үтишлар асосий элементлар бўлиб хизмат қиласди.

### Саволлар ва масалалар

1. Ярим үтказгичларнинг қандай турлари мавжуд?
2. Ярим үтказгичларнинг энергетик зоналари тузилишини тушунтириңг.
3. Ярим үтказгич хоссаларига киришмалар қандай таъсир курсатади?
4.  $p-n$  үтишнинг тұғрилаш хоссасини тушунтириб беринг.
5. Температураси  $400\text{ K}$  бұлған хусусий ярим үтказгичда электронлар зичлиги  $n=1,38 \cdot 10^{15}\text{ см}^{-3}$ . Электрон ва ковакларнинг эффектив массалари күпайтмасини топинг. Тақиқланған зона кенглиги  $E_g=0,785 \cdot 10^{-4}\text{, T(эВ)}$  қонуният бўйича үзгарамади.
6. Энергияси  $E(k)=E_c+(\hbar k)^2/2m^*$  ифода билан аниқланған бир үлчовли, айнимаган электрон гази учун қолатлар зичлиги  $g(E)$  топилсин.
7. Бор (B) атоми киритилған ( $\text{Na}=10^{17}\text{ см}^{-3}$ ) кремнийдаги коваклар зичлиги топилсин.  $T=300^\circ\text{K}$ ,  $m_p^*=0,59 m_0$ ,  $\mu_p=100 \text{ см}^2\text{Вс}^{-1}$  ва  $g_0=1$ . Бор атомлари учун  $E_v=+0,045\text{ эВ}$ .

8. Ярим үтказгичдаги электронлар зичлиги  $T=400^{\circ}\text{K}$  да  $n=1,30 \cdot 10^{16} \text{ см}^{-3}$ ,  $T=350^{\circ}\text{K}$  да  $n=6,2 \cdot 10^{15} \text{ см}^{-3}$  бўлса, тақиқланган зона кенглиги  $E_g$  ни аниқланг.  $E_g$  температура га чизиқий боғланган деб ҳисобланг.

9. Тоза германийдаги электронлар ҳаракатчанлиги  $T=300^{\circ}\text{K}$  да  $\mu_n=3800 \text{ см}^2\text{В}^{-1}\text{с}^{-1}$ .  $m_n^*=0,55m_0$  ва  $\mu=aT^{3/2}$  бўлса, германийнинг  $T=30^{\circ}\text{K}$  даги солиштирма қаршилигини топинг.  $E_g=0,785 \cdot 4 \cdot 10^{-4} T$  қонуният бўйича ўзгаради,  $\mu_n/\mu_p=2,1$  ва  $a$  - доимий катталик деб олинсин.

## XII БОБ

### ДИЭЛЕКТРИКЛАР

Диэлектрик сүзи юончa dia — орқали ва инглизча elektrik — электр сүзларидан тузилган.

«Диэлектрик» атамасини Фарадей электр майдон кирадиган моддаларни аташ учун киритган. Диэлектриклар электр токини ёмон ўтказади. Ионланмаган барча газлар, баъзи бир суюқликлар ва қаттиқ жисмлар диэлектриклар бўлади. Металларнинг солиштирма электр ўтказувчанилиги  $\sigma \sim 10^8 - 10^6$  Ом $^{-1}$ м $^{-1}$  тартибида, диэлектрикларники эса  $10^{-10} - 10^{-15}$  Ом $^{-1}$ м $^{-1}$  тартибида бўлади. Бу тафовутни классик физика металларда эркин электронлар бўлади, диэлектрикларда эса барча электронлар боғланган бўлиб, уларни электр майдон ўз атомларидан ажратиб ололмайди, балки бироз силжитади деб тушунирап эди. Қаттиқ жисмларнинг квант физикаси (V бобга қаранг) электронлар энергия зоналарининг турлича тўлдирилганлигидан қаттиқ жисмларнинг электр, оптик ва бошқа кўп хоссалари келиб чиқишигини тушинтириб бера олди. Хусусан диэлектрикларда валент зоналар тұла тўлдирилган бўлиб, уларнинг юқорисидаги бўш зона тўлдирилган зонадан анча юқорида жойлашган, тұла тўлдирилган зона электронлари электр ўтказувчанликда қатнаша олмайди, уларнинг бўш зонага ўтиб олиб, ўтказувчанликда қатнаша олиши учун енгіб ўтилиши зарур бўлган энергетик тўсиқ (тақиқланган зона кенглиги) анча катта, бундай ўтиш имконияти, одатда жуда кичик, шунинг учун диэлектриклар электр токини деярли ўтказмайди. Уларда электр майдон электронлар зичлигини қайта тақсимлайди(атом ва молекулалар ичida электронларни силжитади) — кутбланиш ҳодисасини юзага келтиради.

Зоналар назариясига асосан, диэлектриклар билан яrim ўтказгичлар орасидаги фарқ юқориги тўлдирилган зона билан бўш зона орасидаги тақиқланган зона кенглигининг ҳар

хил булишлигидан иборат. Яримутказгичларда  $E_g < 3\text{эВ}$ , диэлектрикларда  $E_g > 3\text{ эВ}$  деб шартли ҳисобланади.

Диэлектрикларда зарядларнинг эркин кучиши мумкин бўлмаганилиги туфайли унинг ичкарисига етарлича кучли ташқи электр майдонлар кира олади. Бунда кристалл панжарасининг даврий электр майдонига қушимча (ташқи) майдон кўшилганда учта муҳим ҳолат диэлектрикнинг ички тузилишининг (электронлар ва ионлар вазиятларининг) ўзгаришини аниқлаш имконини бериши мумкин.

Агар диэлектрик намунасини статик электр майдонга (масалан, конденсатор пластиналари орасидаги майдонга) жойлаштирилса, кристаллнинг статик диэлектрик сингдирувчанилиги  $\epsilon_0$  ни аниқлаб, кристаллнинг ички тузилиши ўзгариши ҳақида муҳим маълумот олиш мумкин.  $\epsilon_0$  ни микроскопик назария ҳисоблади.

Диэлектрикнинг оптик хоссаларини, яъни унинг юқори тақориийликли электромагнит майдон билан узаро таъсирини аниқлаш учун диэлектрик сингдирувчаникнинг тақориийликка боғланишини, яъни  $\epsilon = \epsilon(\omega)$ ни ҳисоблаш зарур. Бундан синдириш кўрсаткичи  $n = \sqrt{\epsilon}$  ни аниқлаш мумкин.

Ионлар кристалларida ҳатто ташқи майдонлар бўлмаганида ҳам ионлар орасида узоқ таъсир электростатик кучлар мавжуд бўлиши мумкин. Бу кучлар панжара ўзининг мувазанатий шаклига нисбатан деформацияланиши (масалан, атомлар тебранишлари) оқибатида пайдо бўлиши мумкин.

Мазкур масалаларни тадқиқлашда муҳит учун ёзилган Максвелл тенгламаларидан фойдаланиш қулайдир. Кейин қаттиқ жисмдаги маҳаллий майдонларни мухокамага киритиб, ташқи майдон таъсирида қутбланиш ҳодисаларини атомлар савиясида баён қилинади.

## 12.1. Диэлектрикларга оид асосий тушунчалар ва катталиклар

Маълумки, классик электродинамика муҳитлардаги электромагнит ҳодисаларни, ташқи майдондан ташқари, яна муҳит хоссаларини ифодаловчи тушунча ва катталиклар ёрдамида тадқиқ қилган.

$E$  — электр майдон кучланганлиги — майдоннинг мазкур нуқтасига жойлаштирилган бирлик мусбат зарядга таъсир этувчи куч;

$\bar{P}$  — қутбланиш вектори — диэлектрик бирлик ҳажмининг электр моменти;

$\bar{D}$  — электр индукция (электр силжиш) вектори муҳит ичидаги ташқи майдон ва унинг таъсирида пайдо бўлган қутбланиш электр майдонининг биргаликда бирлик мусбат зарядга таъсир этувчи куч;

$\epsilon$  — муҳитнинг нисбий диэлектрик сингдирувчанлиги (диэлектр доимий) — Гаусс бирликлар системасида изотроп муҳитда  $\bar{D}$  ва  $\bar{E}$  орасида пропорционаллик коэффициенти  $\bar{D} = \epsilon \bar{E}$ ;

$\epsilon_0$  — вакуумнинг электр доимийси,  $\epsilon_0 = (10^7 / 4\pi c^2) = 8,8542 \cdot 10^{-12} \text{ Ф/м}$   
Изотроп муҳитда Гаусс системасида

$$\bar{D} = \bar{E} + 4\pi \bar{P} = \epsilon \bar{E} \quad (12.1)$$

еки

$$\bar{P} = \frac{\epsilon - 1}{4\pi} \bar{E}. \quad (12.2)$$

$\chi$  — нисбий диэлектрик қабулчанлик  $\bar{P}$  қутбланиш вектори билан электр майдон кучланганлиги орасидаги пропорционаллик коэффициенти

$$\bar{P} = \chi \bar{E} \quad (12.3)$$

(12.2) ва (12.3) ифодалардан

$$\chi = \frac{\epsilon - 1}{4\pi} \dots \text{еки...} \epsilon = 1 + 4\pi \chi \quad (12.4)$$

келиб чиқади.

СИ бирликлар системасида (12.1) урнига

$$\bar{D} = \epsilon_0 \bar{E} + \bar{P} = \epsilon_0 (1 + \chi) \bar{E} = \epsilon_0 \epsilon \bar{E} \quad (12.5)$$

(бунда  $\epsilon = 1 + \chi$ ) ифода ёзилади.

Анизотроп муҳит бўлганида  $P$  ва  $E$  векторлар параллел бўлмаслиги мумкин, диэлектрик қабулчанлик ва сингдирувчанлик тензор катталиклар бўлади.

Максвеллнинг қуйидаги тенгламасини эслатамиз:

$$\operatorname{div} \bar{D} = 4\pi \rho \quad (\text{СИ да } \operatorname{div} \bar{D} = \rho) \quad (12.6)$$

Изотроп муҳитда

$$\operatorname{div} \vec{E} = \frac{4\pi}{\epsilon} \rho \quad (\text{СИ да } \operatorname{div} \vec{E} = \rho / \epsilon_0). \quad (12.6')$$

Маълумки, мазкур тенглама Кулон қонунини  $\rho$  зичликда узлуксиз тақсимланган зарядлар ҳоли учун умумлаштиришдан келиб чиқсан.

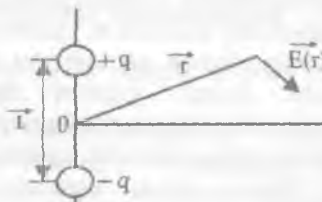
Миқдор жиҳатдан бир-бирига тенг, аммо қарама-қарши ишорали бир-бирига боғланган икки заряд дипол дейилади. Диэлектрик қабулчанликни бинобарин, диэлектрик сингди-рувчанликни яккаланган зарядлар эмас, балки диэлектрик диполлар аниқлайди. Диполнинг электр моменти

$$\vec{p} = q\vec{l} \quad (12.7)$$

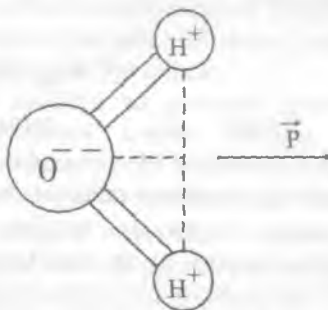
куринишда аниқланади, бунда  $q$  — диполни ташкил этган зарядлар миқдори,  $\vec{l}$  — уларнинг оралиғи (12.1-расм). Дипол ел-каси  $\vec{l}$  нинг  $\vec{E}(\vec{r})$  майдони аниқланаётган нүктагача бўлган  $\vec{r}$  масофадан анча кичик ( $|\vec{l}| \ll |\vec{r}|$ ) бўлганда мазкур нүқтада

$$\vec{E}(\vec{r}) = \frac{3(\vec{p}\vec{r})\vec{r} - \vec{r}^2\vec{p}}{\epsilon r^5}. \quad (12.8)$$

Электр манғишлиги сезиларли фарқланадиган атомлардан тар-кибланган ҳар қандай симметрик бўлмас молекула доимий электр дипол моментига эга бўлади. Масалан, сувнинг  $H_2O$  молеку-ласи  $p=6,33 \cdot 10^{-30}$  Кл.м дипол моментига эга, у кислород иони-дан иккита водород атомини бирлаштирувчи тўғри чизиқ ўртасига томон йўналган.  $HCl$  молекуласида бундаги икки атомни туташтирувчи чизиқ буйича унинг дипол моменти йўналган. Диэлектрик муҳитда ташқи таъсир (электр майдон, босим ва ҳоказо) остида электр диполлар вужудга келиши (индукцияланилиши) мумкин. У



12.1- чизма. Дипол майдонини хисоблашга доир.



12.2- чизма.  $H_2O$  молекуласининг дипол моменти.

холда қутбланиш вектори  $\bar{P}$  бирлик ҳажмда ҳосил булған диполлар моментлари йигиндисига тенг булади:

$$\bar{P} = \sum_i \bar{p}_i \quad (12.9)$$

Агар ясси конденсатор қопламалари орасынан диэлектрик жойланса ва конденсаторға күчланиш берилса, диэлектрик молекулалардың қутбланади (12.3- чизма).

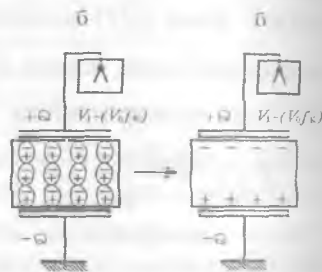
Бунда потенциал ва майдон күчләнгәнлиги камарады, қопламалар сирттә индукцияланган қолдик зарядлар пайдо булади. Заряднинг сиртий зичлиги:

$$q_s = -\bar{P}\bar{n}, \quad (12.10)$$

$\bar{n}$ -сиртта нормал бирлик вектор.

Күпинча атом ёки ионда қутбланишни аниқлайдыган маҳаллий эфекттив майдонни ҳисоблаш зарур булади. Бунда қаралётган атом берк сирт билан үралган деб фараз қилинади. Шу сирт ичидағы диполлар айрим-айрим ҳисобга олинади.

Демак, ташқи зарядлар таъсирида атомда вужудга келген эфектли маҳаллий майдон  $E_{\text{эф}}$  ни түрт құшилувчидан иборат шактада ёзиш мүмкін:



12.3- чизма. Қопламалари орасынан диэлектрик жойлашкан конденсатор.

$$\bar{E}_{\text{эф}} = \bar{E}_0 + \bar{E}_{\text{пок}} + \bar{E}_c + \bar{E}_{\text{дин}} \quad (12.11)$$

Бунда  $\bar{E}_0$  — ташқи зарядлар майдони,  $\bar{E}_{\text{пок}}$  — қутбланишни бузувчи эфектлар майдони,  $\bar{E}_c$  — фаразий берк сиртта индукцияланган зарядлар мазкур соҳанинг марказида вужудга келтирған майдон,  $\bar{E}_{\text{дин}}$  — соҳанинг ичидағы барча диполлар ҳосил қылған майдон.

$\bar{E}_0 + \bar{E}_{\text{пок}} = \bar{E}_1 V_1 / d$  булиб,  $V_1$  — конденсатор қопламалари орасынан күчланиш,  $d$  — қопламалар оралиғи.

Демак,

$$\bar{E}_{\text{эф}} = \bar{E}_1 + \bar{E}_c + \bar{E}_{\text{дин}}. \quad (12.12)$$

Агар атом атрофида танланған ҳажмни сфера десак,

$$\bar{E}_c = \left( 4\pi \bar{P} / 3 \right). \quad (12.13)$$

Бу ҳолда, агар панжара куб шаклида бўлса,  $\bar{E}_{\text{дип}}=0$  бўлиб қолади. Бинобарин ( $\bar{E}_1=\bar{E}$ ),

$$\bar{E}_{\text{зф}} = \bar{E} + 4\pi \bar{P} / 3. \quad (12.14)$$

(12.2) ифодадан (12.14) га  $\bar{P}$  ни қўйсак, кубик (изотроп) панжаранинг атом жойлашган тугунида эффектив маҳаллий майдон

$$\bar{E}_{\text{зф}} = \frac{\varepsilon + 2}{3} \bar{E} \quad (12.15)$$

бўлади.

## 12.2. Диэлектрикларда қутбланиш механизмлари

Диэлектриклар қутбланишининг учта муҳим ҳолини кўриб чиқамиз.

1. Кутбли молекулалар дипол моментларининг маҳаллий электр майдони бўйлаб қисман ёки тўла тизилиши ҳоли. Юқорида айтганимиздек, муайян симметрик булмаган молекулалар доимий электр дипол момента эга. Электр майдон ўз йўналиши томон бу молекулаларни буради. Бу жараённи диполлар ориентрланиши ёки параэлектр қабулчанлик дейилади. Бироқ, молекулаларнинг иссиқлик ҳаракати (тебраниши) уларнинг майдон бўйлаб тизилишига тўскىнлик қиласи. Бу икки жараён рақобати оқибатида муайян ориентрланиш ўрнашади.

2. Қаттиқ жисмларда электр майдон ва манфий ионларнинг бир-бирига нисбатан силжиши содир бўлади. Бу ҳодисани ионлар қутбланиши дейилади.

3. Ҳамма диэлектрикларда юз берадиган қутбланиш – электронлар қутбланишидир: электр майдон таъсирида атомнинг электронлари ядрога нисбатан силжиди, яъни электр майдон ҳар бир атомнинг электронлари қобиқларини деформациялади. Бунда ядролар оралиги үзгариши ҳам мумкин.

Диэлектрик сингдирувчанлик умумий ҳолда:  $\varepsilon = \varepsilon_m + \varepsilon_u + \varepsilon_s$ .

Энди бу ҳолларни айрим-айрим равишда батафсилроқ қараймиз.

### 12.2.1. Ориентациоң қутбланиш

Үмуман, доимий диполларнинг бурилиши оқибатида қутбланиш асосан газлар ва суюқликларга хосдир. Қатиқ жисмларда қутбли молекулалар бўлсада, улар электр майдон таъсирида эркин бурила олмайди. Бундай жараённи молекуларнинг бир тургун ҳолатдан иккинчисига сакраб ўтиши оқибатида дипол момент билан электр майдон орасидаги бурчакнинг кичрайиш тарзida қараш мумкин.

Бирлик ҳажмида ҳар бири  $p$  моментли  $N$  та доимий электр диполлари бор бирор муҳитни қарайлик. Электр майдон йўқлигига диполлар тартибсиз йўналган. Энди  $E$  статик майдон диполларни тартиблашга уринади. У ҳолда бирлик ҳажмнинг қутбланиши (майдон йўналишига электр моментнинг проекцияси) бундай ёзилади:

$$P_0 = \sum_N p \cos \theta_N = Np < \cos \theta >.$$

Бунда  $\theta$  - ҳар бир дипол ва электр майдон йўналишлари орасидаги бурчак.

Диполлар тартибланиши жараёнига зарралар иссиқлик ҳаракати халақит беради. Иссиқлик ҳаракатини Болцманнинг энергиялар бўйича тақсимот функцияси тавсифлайди деб ҳисобласак,  $\cos \theta$  нинг уртacha қиймати

$$< \cos \theta > = \frac{\int_0^{\pi} 2\pi \sin \theta \cos \theta \exp(-U/kT) d\theta}{\int_0^{\pi} 2\pi \sin \theta \exp(-U/kT) d\theta} \quad (12.16)$$

ифода билан аниқланади, бунда  $U$  диполнинг  $E$  майдонидаги энергияси:

$$U = \bar{p}\bar{E} = -pE \cos \theta \quad (12.17)$$

(12.17) ифодани (12.16) даги интегралларга кўйиб, ҳисоблашни бажарсак,

$$< \cos \theta > = \left[ \frac{1 + \exp(-2pE/kT)}{1 - \exp(-2pE/kT)} \right] = \operatorname{ctg}(\frac{pE}{kT}) - \frac{kT}{pE} = L(\frac{pE}{kT}). \quad (12.18)$$

Агар ташқи майдон  $E$  етарлича катта бўлса,  $L \rightarrow 1$ . Аммо, кучсиз майдонлар ( $E < kT/p$ ) ҳолида

$$\langle \cos \theta \rangle \approx \frac{pE}{3kT} \quad (12.19)$$

Демак, бирлик ҳажмнинг қутбланиши

$$P = \left( \frac{Np^2}{3kT} \right) E. \quad (12.20)$$

Бунга мос диэлектрик қабулчанлик

$$\chi = P/E = \frac{Np^2}{3kT}, \quad \frac{P}{E} = \frac{Np^2}{3kT}. \quad (12.21)$$

Қутбли суюқликлар ва қаттиқ жисмлар учун бу қабулчанлик ҳиссаси 1 билан таққосланарли бўлиши мумкин.

**Диэлектрик доимийнинг ўзгарувчан ташқи майдон частотасига (такрорийликка) боғлиқлиги.** Доимий диполларга эга бўлган қаттиқ жисмда уччала механизм ҳам қутбланишга (диэлектрик доимийга) ҳисса қўшади. Паст такрорийликларда уларнинг ҳиссалари турлича. Юқори такрорийликларда уларнинг диэлектрик доимийси комплекс  $\epsilon = \epsilon' - i\epsilon''$  катталик бўлиб, унинг ҳақиқий қисми ташқи майдон билан бир фазада ўзгарувчи диэлектрик қутбланишини ифодалайди, мавхум қисми эса ташқи майдондан фаза бўйича орқада қолаётган механизм пайдо қиласидиган диэлектрк йўқотишларни акс эттиради. Маскүр қисмлар Крамерс-Крониг дисперсион муносабатлари билан боғланган:

$$\epsilon' - I = \frac{1}{\pi} P \int_{-\infty}^{+\infty} \frac{\epsilon''(x)}{x - \omega} dx, \quad (12.22)$$

$$\epsilon'' = - \frac{1}{\pi} P \int_{-\infty}^{+\infty} \frac{\epsilon'(x) - I}{x - \omega} dx. \quad (12.23)$$

Бу ифодалардаги  $P$  — интегралнинг беш қиймати белгиси,  $\omega$ -электромагнит майдон такрорийлиги.

Умуман айтганда,  $\epsilon'$  ва  $\epsilon''$  ўзгарувчан электр майдон такрорийлигига боғлиқ. Диэлектрик доимийнинг модули  $|\epsilon| = \sqrt{\epsilon'^2 + \epsilon''^2}$  индукция вектори  $D$  нинг тебранишлари амплитудасини аниqlайди. Доимий электр майдонда  $\epsilon''=0$ ,  $\epsilon'=\epsilon$  бўлади.

Доимий диполлар ориентрланиши билан боғлиқ қутбланиш 10 Гц дан юқори такрорийликдаги электр майдон ўзгаришлари кетидан улгура олмайды. Бу ҳолда  $\epsilon'$  камайиб кетади, аммо  $\epsilon''$  нолдан фарқли бўлади, яъни анча диэлектрик йўқотишлар пайдо бўлади. Каттароқ  $\omega$  ларда бу механизм ҳиссаси йўқ даражада бўлади.

Оптик диапазондаги юқори частотали электр майдонларда диэлектрик хоссаларини синдириш қўрсаткичи  $n$  ва ютиш қўрсаткичи  $k$  орқали тавсифланади.  $n$ ,  $k$ ,  $\epsilon$  орасида қўйидаги боғланиш бор:

$$n(1+ik) = \sqrt{\epsilon' - i\epsilon''} \quad (12.24)$$

Ионлар кристалларида  $\omega \sim 10^{13}$  Гц яқинида  $\epsilon'$  яна ҳам маяди. Бу такрорийликдан юқорида ионлар ҳам майдон ўзгариши кетидан улгура олмайди. Янада юқорироқ  $\omega > 10^{15}$  Гц такрорийликларда электронлар қутбланиши ҳисобига  $\epsilon'$  бирдан катта бўлиб олади. Аммо,  $\omega > 10^{15}$  Гц ларда бу механизм ҳам майдондан орқада қолади. Бу ҳолда қаттиқ жисм 1 га яқин диэлектрик  $\epsilon$  сингдирувчанликка эга бўлади.

### 12.2.2. Электрон қутбланувчанлик

Синусоидал ташки майдон таъсирида силжийдиган электрон ҳаракатини қарайлик. Силжиган электронни ўз вазиятига қайтарувчи квази эластик кучни  $\beta x$ , унинг хусусий такрорийлигини  $\omega_0 = (\beta/m)^{1/2}$  деб белгиласак,  $E_{\text{эфф}} = eE_0 \exp(i\omega t)$

маҳаллий электр майдон таъсирида электроннинг ҳаракат тенгламаси

$$m \frac{d^2x}{dt^2} + \beta x = eE_0 \exp(i\omega t) \quad (12.25)$$

қуриниша бўлади.

Бу тенгламанинг мажбурий тебраниш амплитудаси  $x_{\max}$  учун ечими

$$x_{\max} = \frac{eE_0}{m(\omega_0^2 - \omega^2)}, \quad (12.26)$$

бу эса  $|p|=ex_{\max}$  дипол момента мос келади. Индукцияланган электрон дипол момента маҳаллий майдонга пропорционал, яъни  $\vec{p}=\alpha \vec{E}_{\text{зфф.еки.}}$ ,  $|p|=\alpha_e E_0$ .

Пропорционаллик коэффициенти  $\alpha_e$  — электрон қутбланувчанлик:

$$\alpha_e = ex_{\max} / E_0 = \frac{e^2}{m(\omega_0^2 - \omega^2)} \quad (12.27)$$

Бу қутбланувчанлик механизмининг диэлектрик сингдирувчанликка ҳиссаси  $\omega < \omega_0$  тақрорийликларда бир хил:

$$\alpha_e = \frac{e^2}{m\omega_0^2}. \quad (12.27')$$

У кўринадиган ёргулук соҳасида (оптик соҳада) диэлектрик доимий ва синдириш кўрсаткичи  $n = \sqrt{\epsilon}$  ни 1 дан катта булишининг ягона сабабидир. Бу ҳолда Клаузиус-Мосотти муносабатини қўйидагича ёзиш мумкин:

$$\alpha_e = \frac{3}{N_e} \left( \frac{\epsilon - 1}{\epsilon + 2} \right) = \frac{3}{N_e} \left( \frac{n^2 - 1}{n^2 + 2} \right), \quad (12.28)$$

бундаги  $N_e$  — электронлар зичлиги. (12.27') ва (12.28) ифодалар асосида ҳисоблашдан  $\omega_0 \sim 1,7 \cdot 10^{16}$  Гц, бу тақрорийлик элек-тромагнит спектрнинг ултрабинафша соҳасига мос тушади.

Яна бир мулоҳаза юқоридаги ҳисобга тузатма киритади: маълумки, тебранаётган электрон энергия нурлантириши ке-рак; бундан ташқари бу электрон ноэластик тўқианишларга (ишқаланишга) дучор бўлиб туради. Бу омилларни ҳисобга ол-сак, (12.25) тенглама қўйидаги кўринишни олади:

$$m \frac{d^2x}{dt^2} + m\gamma \frac{dx}{dt} + \beta x = eE_0 \exp(i\omega t). \quad (12.29)$$

Бу тенгламанинг ечими:

$$x = \frac{eE_0 \exp(i\omega t)}{m(\omega_0^2 - \omega^2 + i\gamma\omega)} \quad (12.30)$$

Бундан электрон қутбланувчанлик

$$\alpha_e = \frac{e^2}{m(\omega_0^2 - \omega^2 + i\gamma\omega)}. \quad (12.31)$$

(12.28) ва (12.31) ифодалардан:

$$\varepsilon = \varepsilon' - i\varepsilon'' = \left[ 1 + \frac{e^2 N_e}{m(\omega_0^2 - \omega^2 + i\gamma\omega) - e^2 N_e / 3} \right] \quad (12.32)$$

Энди  $\omega_1 = [\omega_0^2 - (e^2 N_e / 3m)]^{1/2}$  белгилаш қилиб,  $\varepsilon'$  ва  $i\varepsilon''$  ни топамиз:

$$\varepsilon' = \left[ 1 + \frac{(e^2 N_e / m)(\omega_0^2 - \omega^2)}{(\omega_1^2 - \omega^2)^2 + \gamma^2 \omega^2} \right], \quad (12.33)$$

$$-i\varepsilon'' = i \left[ \frac{(e^2 N_e / m)\gamma\omega}{(\omega_1^2 - \omega^2) + \gamma^2 \omega^2} \right]. \quad (12.34)$$

### 12.2.3. Ионлар қутбланувчанлиги

$N_e$  та қутбланувчи электронга ва  $N_i$  та қутбланувчи ионлар жүйтіга эта бүлған ион бөгланишлы қаттық жисемни қарайлай. Бұ ҳолда (12.28) Клаузиус-Мосотти тенгламаси асосида статик диэлектрик сингдирувчанлик  $\varepsilon_o$  ва қутбланувчанликтер  $\alpha_i$  ва  $\alpha_e$  орасида бөгланишини қыйдагыча ёзіб оламиз:

$$3\left(\frac{\varepsilon_0 - 1}{\varepsilon_0 + 2}\right) = N_i \alpha_i + N_e \alpha_e \quad (12.35)$$

Индукцияланған ионлар диполлари ҳиссаси жуда кичик бүладиган, аммо электронлар қутбланувчанлиги сезиларлы камаядиган юқори такрорийлікта юқоридаги муносабат

$$3\left(\frac{\varepsilon_\infty - 1}{\varepsilon_\infty + 2}\right) = N_e \alpha_e \quad (12.36)$$

күринишни олади. Ионлар қутбланувчанлиги шу икки ифода айирмасидан аниқданади:

$$\alpha_i = (3/N_i) \left[ \frac{\varepsilon_0 - 1}{\varepsilon_0 + \infty} - \frac{\varepsilon_\infty - 1}{\varepsilon_\infty + 1} \right] \quad (12.37)$$

Ион бөгланишлы қаттық жисмларда  $\alpha_i$  катталиқ  $10^{-40} \Phi \text{ m}^2$  тартибида. Масалан, NaCl кристалли учун  $\alpha_i = 3,8 \cdot 10^{-40} \Phi \text{ m}^2$ .

M+ ва M- массалы ионлар жүфти учун электр майдон таъсирида вужудға келған мажбурлый тәбранишлар тенгламаси

$$\left( \frac{M_+ M_-}{M_{++} M_-} \right) \left[ \frac{d^2 x}{dt^2} + \gamma_i \frac{dx}{dt} + \omega_0^2 x \right] = e E_{\text{эфф}} \quad (12.38)$$

куриниши бўлади, бунда  $\gamma$  — энергия сочилишини тасвирлайди,  $\omega_0$  — хусусий тақрорийлик. Бу тенгламанинг ечими комплекс катталик бўлади. Кутбланишнинг иккала тури ҳисобга олинганда Клаузиус — Мосотти муносабати қуйидаги ифодани беради:

$$\epsilon(\omega) = \epsilon_\infty + \frac{(\epsilon_0 - \epsilon_\infty)\omega_0^2}{(\omega_0^2 - \omega^2 + i\gamma \omega)} \quad (12.39)$$

Бу ифоданинг ҳақиқий ва мавхум қисмларини ажратиш мумкин. Диэлектрик сингдирувчанлик ҳақиқий қисмининг ўзгариши, олдинги ҳолдагидек, сўниш жараёнини акс эттиради. Қаралаётган ҳолда  $i\epsilon$  мавхум қисм  $\omega$  тақрорийликда етарлича юксак максимум қийматга эга бўлади, бу максимум мазкур спектрал соҳада мазкур қаттиқ жисмларнинг яхши маълум бўлган оптик хоссаларини аниқлайди. Масалан, бўйлама ва қўндаланг оптик тебранишлар тақрорийликлари  $\omega_L$  ва  $\omega_T$  статик диэлектрик доимий ( $\epsilon_0, \epsilon_\infty$ ) билан боғлиқ:

$$\omega_L^2 = \frac{\epsilon_0}{\epsilon_\infty} \omega_T^2 + \quad (12.40)$$

бундаги  $\omega_T^2$  нинг ўзи ҳам  $\epsilon_0, \epsilon_\infty$  ларга боғлиқ бўлади.

$$\omega_T^2 = \omega_0^2 \left( 1 - \frac{\epsilon_0 - \epsilon_\infty}{\epsilon_0 + 2} \right) \quad (12.41)$$

(12.40) иғода анча кенг қўлланиш соҳасига эгади.

## 12.1-жадвал

### Баъзи ишқорий — галоид ионлар кристалларига та ишли маълумот

Кристалл	$\epsilon_0$	$\epsilon_\infty$	$\hbar\omega_T/k, \text{K}$
LiF	9.01	1.96	442
NaF	5.05	1.74	354
NaCl	5.90	2.34	245
NaBr	6.28	2.59	195
LiI	16.85	3.80	-

Диэлектрик сингдирувчанлик  $\epsilon$  яримутказгичларда киришма сатҳиар низариясида жуда муҳим ўрин тутганлиги учун баъзи ковален (ярим ўтказгич хоссоли) кристаллар учун  $\epsilon$  нинг қийматларини келтирамиз.

12.2-жадвал

### Ковалент, ковалент – ион кристалларнинг статик диэлектрик доимийлари

Кристалл	Тузилиши	$\epsilon_0$
Кремний Si	олмос	12,0
Германий Ge		16,0
Қалай Sn		23,8
Кремний карбиdi	ZnS га ухшаш	6,7
Галлий фосфиdi		8,4
Галлий арсениди		10,9
Индий арсениди		12,2
ZnS	вюрцит	5,1
Сурмали индий Insb	ZnS	15,7
ZnSe		5,8
ZnTe		8,3
CdS	вюрцит	5,2
CdSe		7,0
CdTe	ZnS	7,1

Ковалент кристалларда электронлар зарядининг анча қисми атомлар (ионлар) оралиғида жойлашган. Бу ташкил этувчи қутбланишга муҳим ҳисса қушади. Шунинг учун ковалент кристалларнинг диэлектрик хоссалари ҳисобланганида зоналар назариясига (V бобни қаранг) ёки “богланишлар қутбланувчанлиги” деб номланган усулга мурожат қилинади.

### 12.3. Пироэлектриклар

Қиздирилганда ёки совутилганда сиртида электр зарядлар пайдо бўладиган баъзи кристалларни пироэлектриклар дейилади. Пироэлектрнинг бир томони қиздирилганда манфий зарядланади, иккинчи тамонида аксинча бўлади. Бу ҳодиса шундай тушунтирилади. Пироэлектрлар электр майдон ёки бошқа ташқи таъсир бўлмаганида ҳам ўз-ўзининг (спонтан)  $P_c$  қутбланишига эга бўлади, бунинг сабаби мусбат ва манфий зарядлар марказларининг мос тушмаслигидир. Одатда  $P_c$  спонтан қутбланиш эмас, балки ўзгариши  $\Delta P_c$  кузатилади, бу эса температуранинг тез  $\Delta T$  ўзгаришида юз беради (пироэлектр эфект). Пайдо бўладиган сиртий заряд зичлиги  $\sigma = p \Delta T$  ифодасидаги  $p$  ни пироэлектр доимий дейилади. Энг ёрқин

пироэлектр-турмалин, унда температура 1° қадар ўзгарганда  $E=40000$  В/м чамасидаги электр майдон вужудга келади. Агар температура ўзгариши тезлиги заряднинг релаксация вақтидан юқори бўлса, бу ҳолда электрланиш интенсивлиги ЭНГ катта бўлади. Барча пироэлектриклар пъезоэлектриклар бўлади, аммо, ҳамма пъезоэлектриклар ҳам пироэлектриклар бўлавермайди. Баъзи пироэлектриклар сегнетоэлектрик хоссаларга молик бўлади. Пироэлектриклардан техникада ёруғлик индикаторлари ва қабуллагичлари сифатида фойдаланилади.

#### 12.4. Пъезоэлектрик ҳодиса

Баъзи диэлектрик кристалларнинг қутбланишини, механик деформация таъсирида ўзгаришини ва аксинча электр майдон таъсирида деформация пайдо бўлишини пъезоэлектрик ҳодиса дейилади, мазкур кристалл моддаларни пъезоэлектриклар деб аталади. Фақат механик деформация таъсирида электр қутбланиш вужудга келишини тўғри пъзоэффект, аксинча бўлишини эса тескари пъзоэффект дейилади. Пъезоэлектрик хоссалар жуда кўп моддаларда кузатилади. Пъезоэлектрик ҳодисани ошкор қилиш учун кристалл пластинкаси ёқларига металл қопламалар ўрнатилиади. Агар қопламалар бир-бирига тулашмаган бўлса, пластина деформацияланганда улар орасида потенциаллар айирмаси пайдо бўлади. Агар қопламалар тулашган бўлса, қопламаларда пластина сиртларидағи зарядларга тенг ва қарама-қарши ишорали зарядлар пайдо булади ва занжирда ток оқа бошлайди. Қопламаларга ташқи Э.Ю.К. уланса кристалл деформацияланади.

Пъезоэлектрик ҳодисалар фақат симметрия марказлари бўлмаган кристалларда кузатилади. Аммо, баъзи симметрия элементлари (масалан, симметрия текислиги) бўлишили баъзи йўналишларда ёки деформациялашда қутбланиш пайдо бўлишини ман қиласи — пъезоэлектриклар сонини чеклайди. Фақат 20 та симметрия нуқтавий гурӯҳларига тегишли моддалар пъезоэлектриклар бўла олади. Пъзоэффектни тавсифловчи катталик электр катталиклар билан механик катталиклар орасидаги пропорционаллик коэффициентидир. Масалан,  $\sigma$  механик кучланиш таъсирида пъезоэлектрикда вужудга келадиган  $P$  қутбланиш  $\sigma$  га пропорционал:  $P=\alpha\sigma$ . Тўла қутбланишга яна

электр майдон ҳиссаси ҳам киради:  $P=\alpha\sigma+\chi E$  Умумий ҳолда 18 та турли пъезодоимийлар бўлиши мумкин.

Турли кристаллар учун пъезодоимийлар қийматлари кучли даражада фарқ килади. Масалан, сегнет тузининг пъезоэлектрик коэффициентлари нисбий қиймати жуда катта, бироқ турмалин ва  $\alpha$ -кварцники анча кичик. Аммо, кварцнинг юқори механик ва термик маҳкамлиги туфайли уни юқори даражада барқарор пъезоэлектрик генераторлар тайёrlашада энг маъқул материал сифатида ишлатилади. Бу асбоблар радиоузатгичлар, кварц соатлар тақориийлигини барқарорлаштиради. Бошқа амалий мақсадлар учун юқори даражада пъезоэлектрик эффективлик зарур. Шунинг учун сегнет тузи кўп йиллар давомида сезигир ўзгартиргичлар учун материал бўлиб хизмат килади. Энг янги нусхаларда барий титанати – стронцийдан ишланган махсус шакли керамик пластиналар қўлланилади, чунки бу материаллар катта пъезоэлектрик эффективликка эга ва яна қиздириш ва намиқишига нисбатан бардошлигидир. Бу материаллардан тозалаш ванналарида ультратовуш манбалари ва сув ости товуш қурилмаларида узатгич ҳамда қабуллагич сифатида фойдаланилади. Биринчи тақрибда электр майдонда диэлектрикнинг деформацияланиши чизиқий боғланиши, механик кучланиш пайдо қилган кутбланиш деформациясига пропорционал. Ионлардан таркиблangan ҳар қандай қаттиқ жисмда, унинг пъезоэлектрик бўлиш-бўлмаслигидан қатый назар, электр майдон кучланганлиги квадратига пропорционал бўлган қисилиш (электрострикция) кузатилади. Бу энг умумий электрострикция ҳодисаси ташқи майдон қўйилганда ионлараро масофанинг ўзгаришини тавсифлаганде Гук қонунининг бузилиши билан боғлиқ. Демак, электрострикция кузатиладиган қаттиқ жисмда ангармоник эффектлар кристалл панжарасининг тебранишлари хоссаларига сезиларли таъсир кўрсатади.

## 12.5. Сегнетоэлектриклар

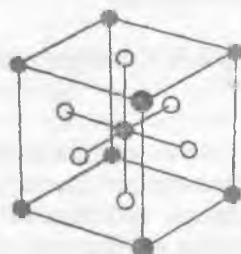
Сегнетоэлектриклар муайян температуралар оралиғида ташқи таъсирлар остида муҳим даражада ўзгарадиган спонтан (ўз-ўзидан) кутбланиши кристаллсизмон диэлектриклардир. Сегнетоэлектрик хоссалар биринчи марта (1920) сегнет тузи  $\text{NaC}_4\text{H}_4\text{O}$  кристалларида кузатилган ҳозир бир неча юз сегнетоэлектрик моддалар маълум. Сегнетоэлектрик хоссалар

пайдо булиши учун кристалл тузилишида инерция маркази бўлмаслиги ва ҳеч бўлмагандан битта ноэквивалент йўналиш бўлишлиги зарур. Пъезоэлектрик хоссалари мавжуд бўлган кристалларнинг 20 та нуқтавий гурухларидан 10 таси иккинчи шартни қаноатлантиради. Демак, сегнетоэлектрик модда пъезоэлектрик бўлиши керак, аммо ҳар қандай пъезоэлектрик ҳам сегнетоэлектрик бўла олмайди. Сегнетоэлектрикларни бъзан ферроэлектрлар дейилади. Бунинг сабаби шуки, ферромагнитлардаги доменлар каби сегнетоэлектрикларда ҳам доменларнинг – катта спонтан (ўз-ўзидан) кутбланган соҳаларнинг (ташқи электр майдон бўлмаганида ҳам электр диполлар тартибланган катта электр моментлари бўлган соҳаларнинг) бўлишлигидир. Сегнетоэлектриклар учун маҳсус Кюри нуқталари деб аталадиган  $T_c$  температуралар мавжуд. Бу нуқтадан юқори температурада сегнетоэлектрик ҳолат (доменлар) бузилади, чунки бу ҳолда иссиқлик тебранишлари амплитудаси электр диполлар тартибли жойлашишига йўл бермаслик даражасида каттариб қолади. Паст температурада сегнетоэлектрик бўлган қаттиқ жисм Кюри нуқтаси  $T_c$  дан юқори температурада  $\chi = C/(T - T_c)$  қабулчанликка эга бўлган параэлектрик бўлиб қолади.

### 12.3-жадвал

Модда	Кимёвий ифодаси	$T_c, K$	$P_s, KJ/m^2$
Барий титанати	$BaTiO_3$	393	$2,6 \cdot 10^{-1}$ (300K)
Стропший титанати	$SrTiO_3$	32	$3,0 \cdot 10^{-2}$ (4,2K)
Калий ниобати	$KNbO_3$	710	$3,0 \cdot 10^{-1}$ (600K)
Аммоний сульфати	$(NH_4)_2 SO_4$	223	$4,5 \cdot 10^{-3}$ (220K)
Сегнет тузи	$NaKC_4H_4O_6 \cdot 4H_2O$	296(юқориси) 255(пасткиси)	$2,5 \cdot 10^{-3}$ (275K)

12.3-жадвалнинг охирги устунидаги  $P_s$  катталик  $KJ/m^2$  бирликларда спонтан (ўз-ўзидан) ҳажмий кутбланишни ифодалайди.  $BaTiO_3$  нинг спонтан (ўз-ўзидан) кутбланиши келиб чиқшини қарайлик. Бу бирикма первовскит тузилишига эга (12.4-чизма).  $BaTiO_3$  нинг панжараси  $T_c = 393K$  дан юқорида кубсимон шаклда бўлади, сегнетоэлектрик ҳолатга ўтища кубдан тетрагонал четланишлар пайдо бўлади.  $T_c$  дан паст



12.4- чизма. Барий титанати  $BaTiO_3$  нинг тузиши.

температурада элементар ячейкада ўзгаришлар юз беради: у бир ўқ (с ўқ) йұналиши бўйлаб 1% қадар чўзилади, бу йұналишга тик ўқлар бўйлаб тахминан 0.5% қадар қисилади. Барий ва титаннинг барча катионлари панжараачаси кислород анионлари панжараачасига нисбатан с ўқ бўйлаб юқорига ёки пастга силжийди, бу эса кристалл энергиясини пасайтиради. Шу икки панжараачаларнинг ўзаро силжиши тахминан 0.1

$A^0$  га тенг бўлиб, катта ҳажмий қутбланиш вужудга келишилиги учун етарлидир.

Тетрагонал сегнетоэлектрик  $\text{BaTiO}_3$  кристаллда  $P_s$  панжараачалар нисбий силжиши йұналишига боғлиқ равищда, ё «юқорига» ёки «пастга» силжийди. Титан (ёки барий) ҳар бир иони кристалл панжараасида энергияси энг кичик бўладиган икки вазиятга эга, уларни энергетик тўсиқ бир-биридан ажратиб туради.  $T_c$  дан юқори температуralарда бу тўсиқ йўқ бўлади. Турли сегнетоэлектрик моддалар гуруҳлари учун уларнинг табиати турлича тушунтирилади, аммо барча тушунтиришлар кристалл энергиясининг ионлар вазиятига боғланиши икки минимумли эгри чизиқ кўринишида бўлади, дейди.

Юқорида айтилганидек,  $T_c$  дан юқори температуralарда сегнетоэлектрикнинг спонтан қутбланганлиги йўқ бўлади, аммо қаттиқ жисм жуда катта диэлектрик доимийга эга бўлади. Масалан,  $\text{BaTiO}_3$  дан тайёрланган керамикада  $\epsilon$  то 6000 гача етади.  $T_c$  температурадан пастда сегнетоэлектриклар статик қутбланиши бошқа илмий мақсадларда ишлатилади. Қутбланган сегнетоэлектрикли конденсатор микрофони талабгорлари кўп.  $\text{BaTiO}_3$  ва бошқалар лазер нурини оптик (кувур) ичак ичида ҳам, ташқарисида ҳам модуллаш ва оғдириш учун кўлланилади.

## 12.6. Сегнетоэлектрик доменлар ва антисегнетоэлектрик ҳодисалар

Катта сегнетоэлектрик монокристалл турли йұналишда қутбланишли доменлар (дипол моментлар бир хил йұналган соҳалар) тўпламидан иборат бўлганлиги сабабли бутун ўзи спонтан қутбланган бўлишлiği мажбурий эмас. Мазкур домен қарама-қарши қутбланишли доменлар билан ўралган ҳол кўп учрайди. Бу ҳолда 180-градусли домен деворлари ҳақида гапи-

рилади. Ташқи  $E$  электр майдон қўйилганда домен деворлари кучиш имконига эга бўлади. Бунда  $P_s$  кутбланиш йўналиши  $E$  майдон билан мос тушган ёки деярли мос тушган доменлар усади,  $P_s$  кутбланиши қарама-қарши йўналган доменлар қисқара боради. Сегнетоэлектрикларнинг доменлардан тузилиши муайян даражада ферромагнетикларнига ухшашиб кетади, аммо улар орасида муҳим фарқ бор: магнит доменлар орасидаги деворлар қалинлиги  $750 \text{ \AA}$  (ва энергия нисбатан кичик), сегнетоэлектрик доменлар орасидаги деворлар қалинлиги бир ёки икки атомлараро масофага teng ва энергияси катта зичликка эга.

Кўпчилик сегнетоэлектрик материалларда микроскопик доменлар тузилиши анча мураккаб бўлади.

Шундай қилиб, сегнетоэлектрик материалларда  $T_c$  Кюри нуқтасидан паст температураларда индукцияланган диполларнинг зартибли жойлашиши вужудга келади, бу эса кристалл энергиясини камайтиради. Антисегнетоэлектрик қаттиқ жисмларда ҳам  $T_c$  дан пастда индукцияланган диполлар тартибланиди, бу моддалар синфи ҳажмий спонтан кутбланишга эга эмас, чунки ҳар бир дипол қушни диполларга антипараллел йўналган. Умуман айтганда, қушни занжирчалар (қатламлар) диполлари антипараллел тизилиб, бирор температурадан пастда занжирчалар диполларининг параллел йўналганини ҳолидагига нисбатан пастроқ тула энергия булишлигини таъминлайди. Натрий ниобати  $\text{NaNbO}_3$  ва кўргошин цирконати  $\text{PbZrO}_3$  бирикмалар муайян температурадан пастда антисегнетоэлектриклардир.

## 12.7. Диэлектрик йўқотишлар

$E$  ўзгарувчан электр майдон энергиясининг бир қисми диэлектрикни қайта кутблашда иссиқликка айланади, чунки зарраларнинг моддада барча ҳаракатлари уларга электр майдон берган энергиянинг қисман истрофи билан боғлиқ бўлади. Шу истрофи диэлектрик йўқотишлар дейилади. Зарралар ҳаракати қанча катта бўлса, диэлектрик йўқотишлар шунча катта бўлади. Демак, улар  $E$  майдоннинг  $\omega$  такрорийлигига боғлиқ. Агар диэлектрик кутбланишда асосий ўринда электронлар ва ионларнинг кичик силжишлари бўлса, бу ҳолда диэлектрикни гармоник тебрангичлар (осцилляторлар) тупламидан иборат

деб қаралиши ва бу тебрангичлар үзгарувчи  $E$  майдонда мажбурий тебранишлар қиласи деңисе, агар  $\omega$  тебрангичнинг  $\omega_0$  хусусий тақрорийлигига яқин бўлганда энергия йўқотиш энг катта бўлади (резонаанс). Асосий қутбланиш электронлар силижиши билан боғлиқ бўлса, бу ҳолда йўқотишлар оптик тақрорийликда ( $\approx 10^{15}$  Гц) максимумга эришади, аммо электротехник ва радиотехник тақрорийликда назарга олмаслик даражасида кичик бўлади. Ионлар силжиши билан аниқланадиган қутбланишда диэлектрик йўқотишлар ИК нурлар соҳасида ( $10^{12}$ - $10^{13}$  Гц) энг катта бўлади. Ориентацион қутбланишда диэлектрик йўқотишлар яна ҳам кичик тақрорийликларда сезиларли бўлади. Юқори тақрорийликларда дипол моментлар ўз йўналишини майдонга мослаб ултурмайди, йўқотишлар кичик. Пасть тақрорийликларда қутбланиш майдон кетидан улгуриб боради, силжишлар катта, аммо уларнинг вақти ҳам катта бўлганлигидан диэлектрик йўқотишлар кичик. Ташки үзгарувчи  $E(\omega)$  майдоннинг тақрорийлиги молекулалар ориентациини ўрнашиши вақтига (релаксация вақтига) тенг бўлса, диэлектрик йўқотишлар энг катта бўлади. Масалан, сувда қутбланиш асосан ориентацион механизмга эга,  $\omega_{max} 10^{11}$  Гц чамасида.

Диэлектрик йўқотишлар миқдоран диэлектрик йўқотишлар бурчаги  $tg$  билан аниқланади. Бурчак қутбланиш вектори  $P$  ва электр майдон кучланғанлиги  $E$  орасидаги фаза фарқини ифодалайди.

Ҳақиқий диэлектриклар қандайдир  $\sigma$  электр ўтказувчанликка эга, диэлектрик йўқотишларнинг бир қисми ана шу  $\sigma$  га боғлиқ. Пасть тақрорийликларда ўтказувчанлик билан боғлиқ жоул иссиқлиги ажралиши муҳим бўлиши мумкин, чунки  $\omega \rightarrow 0$  да ҳам у нолга тенг эмас, агар диэлектрик йўқотишлар фақат ўтказувчанликка боғлиқ бўлса, у ҳолда  $tg\delta = 4\sigma/\omega$  бўлади.

## 12.8. Диэлектриклар тешилиши (бузилиши)

Диэлектриклардан ўтётган ток зичлиги (унча кучли бўлмаган электр майдонлар ҳолида) Ом қонуни  $j=\sigma E$  асосида майдон кучланғанлигига пропорционал бўлади. Аммо, етарлича кучли электр майдонларда Ом қонунидан четланиш, яъни токнинг  $E$  га боғлиқ равишида жуда тез ўсиши юз беради. Му-

айян  $E=E_0$  майдонда диэлектрикнинг электр тешилиши содир булади, яъни бунда диэлектрик ўтказувчанилиги кўп даражада ортиб кетади, чунки унда юқори ўтказувчаникли канал (каналлар) пайдо булади.  $E_0$  ни диэлектрикнинг электр маҳкамлиги дейилади. Кварц шиша мисолида  $\rho=10^{16}-10^{18}$  Ом см,  $E_0 = (2-3) \cdot 10^5$  В/см.

Қаттиқ диэлектрикларда электр тешилишдан ташқари яна иссиқликдан тешилиш ҳам мавжуд. Бу ҳолда ток оргиши билан температура (жоул иссиқлиги ортади, бу эса ҳаракатчан заряд ташувчилар сони ортишига ва солиштирма қаршилик камайишига олиб келади. Электр тешилишдан майдон кучайиши билан унинг тасирида заряд ташувчилар ҳосил бўлиши тез қўпайди. Диэлектрикда тешилиши муқаррар нобиржинсликлар ёрдамлашади, чунки у жойларда  $E$  бошқа жойлардан катта булади.

Диэлектрик тешилганда ҳосил бўлган ўтказувчан ингичка каналларни шнурлар (найчалар) дейилади, ток шу каналлардан катта зичликда оқади, канал ҳайто эриб кетиши мумкин.

Диэлектрикнинг тешилиши қайтар ва қайтмас бўлиши мумкин: тешилиш жараёнида диэлектрик тузилиши ўзгармаса, бу тешилиш қайтар булади ва аксинча.

**Диэлектриклар қўлланиши.** Кўпчилик диэлектриклар кейинги давргача асосан электроизоляцион материаллар сифатида ишлатиб келинарди. Аммо, диэлектриклар қўлланадиган соҳалар кенгайиб борди, улар хилма-хил вазифаларни ўтайдиган бўлди. Диэлектрикларнинг конденсаторларда ицилатилиши маълум, электр токи ўтказгичларини электр энергиянинг беҳуда истроф бўлишига йўл қўймайдиган диэлектрик (изоляцион) қатламлар билан ўралшини ҳам биламиз. Пъезоэлектриклар товуш тебранишларини электр тебранишларга ва аксинча айлантириш вазифасини бажаради, пироэлектриклар ИК нурланишини ошкорлаш ва интенсивлигини (энергияси зичлигини) ўлчанида қўлланилади, сегнетоэлектриклар радиотехникада ночилизигий элементлар сифатида ишлатилади. Диэлектрикларга киришмалар киритиб, уларни рангли қилиш, яъни оптик фильтрлар тайёрлаш мумкин. Кўпгина диэлектрик кристаллар ( $\text{AlGaAs}$ ,  $\text{CdS}$ , рубин ва б.) квант электроникасида лазерлар ва кучайтиргичлар асоси булиб хизмат қилади.

Диэлектриклар яримутказгичлар электроникасида муҳим ўрин эгаллайди. Улар интеграл микросхемалар элементлари

сифаныла, ярим утказиғч асбобларнин сақдагич сиртий қолпамлары куринишида иншатылады, металл-диэлектрик – ярим утказиғч транзисторлар таркибиға кирады.

### Масалалар

1.  $+q$  ва  $-q$  зарядтардан ташкил топкан электр диполининг дипол марказидан  $\vec{r} >> \vec{l}$  ( $\vec{l}$  – дипол елкаси) нүктадаги майдоннинг

кучланғанлыгы  $E(\vec{r}) = \frac{3(pr)\vec{r} - r^2\vec{p}}{4\pi\epsilon_0 r^3}$  ифодага мос келишини анықланғ.

2. Биринк ұжмийнин дипол моменті  $P$  булган бир жисе-ли диэлектрик ичіда сферик көвак бор.  $P$  вектор з уқ буйича йуналған деб ҳисоблаб,  $z$  уқ билан көвак сиртидаги бирор нүктега көвак марказидан утказилған радиус-вектор  $r$  орасидаги бүрчакни  $\theta$  деб белгілаб, көвак марказидаги майдон  $\tilde{E} = 4\pi P/3$  булишилигини ишботланғ.

3. Қутбلى қаттық жисем учун Дебай температурасы 153 К.  $T=270$  К да 110 кГц тақрорийликла диэлектрик йүқотишилар эгри чизигила максимум күзатылған. Бунинн уртасида 0.4 эВ ісиги билан диполларнинг иккى имконий ориентирланиши мавжудлиига мос тушишилигини ишботланғ. Бұу қолда қуїнлаги Дебай ифодасы үриниди:  $\epsilon = \epsilon' + i\epsilon'' = A + \frac{B}{1 - i\omega\tau}$ , бундаги  $\tau = (2\pi\nu_D)^{-1} \exp(U/kT)$  иккى имконий ориентирланиши орасида үтиш (релаксация) вақти,  $\nu_D = k\theta_D/h$ .  $\theta_D$  – Дебай температурасы.  $A=5$  ва  $B=15$  деб  $^\circ$ юқоридаги ифода асосида  $\epsilon'(\omega)$  ва  $\epsilon''(\omega)$  болтанишлар графинини чизинг. 250 дан 290 K гача оралықда  $\epsilon''=0,5\epsilon''_{max}$  булиб чиқыши керак.

## XIII БОБ

### КЕРАМИК ҚАТТИҚ ЖИСМЛАР. КОМПОЗИТЛАР

#### 13.1. Керамик материаллар ҳақида умумий маълумот

Хозирги замонда керамик материаллар соҳаси жуда күп модаларни — қурилишида ишлатиладиган гиштдан то энг янги юқори температурада ута ўтказувчан керамик қотишмаларгача бўлган қаттиқ жисмларни уз ичига олади. Улар хилма-хил хоссаларга эга ва фан, техникида кенг қўлланилмоқда. Шунинг учун ушбу қўлланмало керамика тўғрисида тўлароқ маълумот келтиришининг иложи йўқ ва биз бу ҳақда асосий хоссаларнинг кисқа баёнини келтирамиз.

Керамик материалларининг атомлари орасида ионларга хос ва ковалент боғланишилар учрайди. Бу боғланишилар ҳақида I бобнинг 1.5.1- ва 1.5.2-бандларида маълумот берилган. Бу ерда шуни таъкидлаш керакки, ионлар боғланиши ҳолида электронлар зарядлари ионлар атрофида йигналган, ионлар орасида, табини, электростатик кучлар таъсири қиласи. Ковалент боғланиши ҳолида электронлар заряди (зичиги) қўшини атомлар орасида уича мунича текис тақсимланган, буида электростатик ўзаро таъсири кучсиз, аммо квант ўзаро таъсири асосий бўлади.

Технологик жараённинг қандай боришига қараб бир модда турии тузишма ҳосил қиласи. Масалан,  $\text{SiO}_2$  моддасини суюлтириб сунг секин совута борилса, кристобалит кристалли ҳосил бўлади, агар  $\text{SiO}_2$  иниг суюлмаси тез совутлиса — силикат шинши (аморф жисм) олинади. Бу иккovi қаттиқ жисм керамикага мансубdir.

Хозир керамика лейилганида металл табиатли бўлмаган ҳамда полимер (занжирсизмон) тузишини эга бўлмаган қаттиқ модда тушиунилади. Шиншалар, монокристаллар, конгломератлар, майдза кристаллар ва уларининг бирлашмалари керамик материалларди.

Алюминий оксиди  $\text{Al}_2\text{O}_3$  асосида керамик материалларга турли хоссалар беринш мумкинлигини қурайдик.

$\text{Al}_2\text{O}_3$  нинг айрим доналари (корунд) материалларни силлиқлаш ва сайқаллашда ишлатилади. Доналор тузилиши  $\text{Al}_2\text{O}_3$  поликристаллари кўриналигидан ёргулар соҳасида яхши шаффоф (тиник) бўлганлиги туфайли улардан юқори температура ва юқори босимда ишлай оладиган оптик деразалар тайёрланади.  $\text{Al}_2\text{O}_3$  намунасида титан кришмаси бўлса, уларни сапфир дейилади ва у спектрнинг И<sup>К</sup> соҳасида шаффоф, оптоэлектроникада қўлланилади.

$\text{Al}_2\text{O}_3$  кристалига хром қўшилса, уларни рубин дейилади. Рубин оптик квант генераторларда ишчи жисм сифатида ишлатилади.

### 13.2. Қурилмалар ва асбобларда қўлланиладиган керамика

Керамиканинг кимёвий ва термик чидамлиги улардан қурилмаларда фойдаланиш имконини беради. Бу хоссалар атомлараро бөгланишларнинг кучли бўлишлиги ва кўпчилик металлар оксидларидан таркибланган керамик моддаларнинг (КМ) яна оксидланиши амалда мумкин эмаслигидан келиб чиқади.

Кимёвий бөгланишларнинг мустаҳкамлиги КМларнинг юқори суюлиш температурасига ва қаттиқликка эга бўлишлигини тақозо этади, атомлар қатламларнинг ўзаро сирпанишига йўл бермайди, КМ ташқи кучланиш берилганда ўз шаклини сақлайди, лекин агар юклама бирор бўсағавий қийматга эришганда бирданига барбод бўлади, уларда металлардагидек пластик деформация бўлмайди.

КМларнинг мазкур хоссаларини тушуниш учун уларда мавжуд бўладиган нуқсонларни — киришмалар, якка вакансиялар ва уларнинг ўломлари (ваканцион коваклар), микродарзларни кўриб чиқиши зарур.

Кристалл керамика ва шишшанинг мўртлигини миқдоран қайнишқоқлик аниқлайди, у тахминан  $\text{MPa}/\text{m}^{1/2}$ . Металлар учун у 40  $\text{MPa}/\text{m}^{1/2}$  чамасида.

КМ даги киришмалар ва микроковаклар ҳам қўйилган ташқи юкламани ўзига жалб қиласди. Улар атомлараро бөгланишларни сусайтиради, осон узиладиган қиласди, шунинг учун нуқтавий нуқсонлар атрофида бөгланишларнинг пластик деформацияси бўлиши қийин. Оқибатда нуқсонлар жонида коваклар катталаша боради.

Демак, нүқсонларнинг таъсирини ўрганиш КМларнинг фойдали хоссаларини яхшилашга қаратилган. Коваклар, агломератлар, кимёвий киришмалар каби нүқсонларни бартараф қилиш зарур, чунки улар дарзларнинг пайдо булиши манбала-ридир. Бунинг учун дастлабки кукунни (порошокни) синчик-лаб тозаланади ва жуда майдалаб, зичлаб тахланади.

Технологик жараён қўйидаги босқичлардан иборат: металл оксиднинг, масалан,  $TiO_2$  нинг кичкина диаметрли ( $<1\text{мкм}$ ) заррачалари эритмадан ўтказилади. Бу зарралардан (масалан, метанолда) маҳсус суспензия тайёрланади, унга қўшилган полимер заррачалар сиртига ёпишиб, уларнинг агломератлар шаклида уюшиб кетишига йўл қўймайди. Олинган порошок (кукун) «назорат қилинадиган таҳлашга» дучор қилиниб, ивиштирилади. Натижада амалла коваксиз материал олинади. «Назоратли таҳлаш» энг муҳим жараён қисмидир. Бунда катта босим остида қолипларда қисиш билан бир қаторда қиздириладиган прес-қолипда зичлаш, замбаракнинг ёпиқ стволида портлаш ёрдамидаги зичлаш, динамик зичлаш, электр майдонда полимер қобиқли порошок (кукун) зарралари ҳаракати – электрофорез ёрдамида зичлаш усуллари қўлланилади. Майда кукун (порошок) олишда лазерлар технологияси муваффақиятли қўллана бошлади. Бу  $Al(CH_3)_3$   $B(CH_3)_3$  туридаги органометалл молекулалар ёки  $SiCl_4$  турдаги молекулаларни лазер нурлари таъсирида парчалашга асосланган. Бу ҳолда металл зарралари мазкур бирикмалар гази тўлдирилган камера деворларида майдононали кукун (порошок) кўринишида ўтиради. Баъзан камерага маҳсус таглик жойланади.

Кукун (порошок)ни уйдириш соҳасида асосий вазифа зичланган зарралар тутиниши мустаҳкамлигини оширишdir. Олатда зарралар чегарасида вакансиялар ва вакансион коваклар кўп бўлади. Масалан,  $SiC$  ёки  $Si_3N_4$  кукупларига сийрак ер металлари оксидлари қўшилди, улар бор булган  $SiO_2$  билан реакция қиласилар. Қиздиришда  $K_2CO_3 + SiO_2 \rightarrow K_2SiO_3 + CO_2 \uparrow$  ёки  $CaCO_3 + SiO_2 \rightarrow CaSiO_3 + CO_2 \uparrow$  реакциялар оқибатида вакансион ковакларни тўлдирувчи  $K_2SiO_3$ ,  $CaSiO_3$  суюқ силикатлар ҳосил бўлади. КМ мустаҳкамлигини оширишнинг яна бир йўли юклама (босим) остида дарзлар ўсишини тұхтатишидир.

Босим остида кристалл тузилишини үзгәртириш усули ҳам КМ мустаҳкамлигини оширишга хизмат қилади. Масалан, босим остида тетрагонал тузилишли диоксид  $ZrO_2$  моноклин тузилишли бўлиб қолади. Моноклин тузилишли  $ZrO_2$  нинг ҳажми тетрагонал тузилишидан 3...5% қадар катта. Кенгайиб бориб, доналари дарзни қисади, дарз энди кенгая олмайди.

Яна бир усул шундан иборатки, мазкур керамикага ундан мустаҳкамроқ керамика толалари киритилади. Бундай КМда дарз ўсишда толага дуч келади ва нарига ёйилмайди. Амалда  $SiC$  кремний карбиди толаларидан фойдаланилади.

Дарзларни тўхтатишининг учинчи усули дарзнинг учини тумтоқлашдир.

Мазкур КМга бошқа моддаларнинг оз қўшимчасини киритганда ҳосил бўладиган бир жинс (гомоген) соҳалар пайдо бўлади, албатта. Шу соҳаларни имкони борича торайтириш КМ ларни мустаҳкамроқ қилади. Ҳозир шу асосда  $0 \leq X \leq 5$  оралиқда  $Si_{6-x}Al_xN_{8-x}O_x$  каби юқори мустаҳкамликка эга бўлган КМ лар – сиалонлар яратилган.

КМ лар иккита муҳим соҳада – металлга ишлов берадиган кесувчи асбобни ва ҳаракатлантиргичлар қисмларини тайёрлашда қўлланимояд.

Керамик асбоб, мустаҳкамланган керамикадан ясалган кескичлар узоқ муддат ишлаши шароитида, кесиш тезлигини кўп марта ошириш имконини беради, анча энергия тежашга олиб келади.

Ҳаракатлантиргичларнинг қисмлари – турбиналарнинг ҳаракатланувчи ва қўзғалмас кураклари юқори даражада мустаҳкам бўлган ва унча мўрт бўлмаган керамикадан тайёрланса, улар металл ва қотишмаларга нисбатан, анча юқори температураларда ҳам ишлай олади, Ф.И.Кси анча юқори булади, зичлиги кам, чидамлиги юқори.

КМлар автомобил ҳаракатлантиргичлари қисмларини тайёрлашда ҳам қўлланилади, механик зичлантиргичлардан сув қувурларни берkitувчи жўмракларда фойдаланилади.

### **13.3. Радиоактив материаллар ва чиқиндишнинг сақлайдиган контейнерлар учун керамика**

Ушбу мақсадга эришишнинг учта босқичи бор:

- 1) Чиқиндиш нисбатан эриб кетмайдиган кимёвий жиҳатдан чидамли моддага киритилади,
- 2) Бу модда герметик контейнерга жойланади,
- 3) Контейнерларни қуруқ ва барқарор геологик заминда күмилади.

Биринчи босқичда борсиликат шиша ва бор (В) ли керамика қўлланади, чунки бу моддалар нейтронлар ва ӯзвантларни кучли даражада юта олади. Бу модда ичида қўрошин ҳам бўлади.  $PbO$  ва  $2PbO$ ,  $PbSO_4$  оксидлар ӯзурларни энг яхши ютади. Уларни зичлаш олдидан  $B_2O_3$ ,  $B_4C$ ,  $MBO_4$ ,  $MB$ ,  $MB_2$  моддалар кукунига аралаштирилади.

Иккинчи босқичда бетонлар ва бор (В) — қўрошинли ерамика қўлланилади. А. Рингвуд (1978й. Австралия) «синрок» деган махсус керамикани яратди, у жуда барқарор бўлиб, перовскит ва цирконлит табиий минераллари асосида яратилган. Шундай қилиб, керамик материаллар радиоактив материаллар ва чиқиндишларни сақлашда қўлланилади.

### **13.4. Керамик ферритлар**

Маълумки, модданинг магнит хоссалари кристалл панжарасини ҳосил қилган атомлар магнит моментларининг ўзаро таъсири қандай булишлигига боғлиқ.

Ферритлар темир ва бошқа элементлардан таркибланган мураккаб оксидлардир. Уларнинг кўпчилиги ферримагнитлар бўлади ва ўзида ферромагнит ва ярим ўтказгич ёки диэлектрик хоссаларни мужассамлаштирган, радиотехникада радиоэлектроникада, ҳисоблаш техникасида магнит материаллар сифатида қўлланилади.

Ферритларнинг кристалл панжараси иккита таркибий панжарарадан иборат бўлиб, улардаги атомларнинг магнит моментлари қарама-қарши йўналган, аммо улар бир-бирига тенг эмас. Бошқача айтганда, бундай моддаларнинг кристалли панжарасида табиати турли атомлар қўшни бўлади. Табиий ферримагнитнинг энг ёрқин мисоли магнетит  $FeO \cdot Fe_2O_3$  бўлади. Унинг кристаллида кислороднинг манфий ионлари

кубик панжара ташкил қиласы, унда ҳар бир  $\text{FeO}$   $\text{Fe}_2\text{O}_3$  молекулалага бир  $\text{Fe}^{++}$  ион ва иккита  $\text{Fe}^{+++}$  ион түгри келади. Бу ионлар үрнини иккى валентли бошқа металлар ( $\text{Mg}$ ,  $\text{Ni}$ ,  $\text{Co}$ ,  $\text{Mn}$ ,  $\text{Cu}...$ ) ионлари  $M^{+}$  эгаллаши мүмкін. Бундай ферритларда бир таркибий панжара  $\text{Fe}^{+++}$  ионларнинг ярмидан тузилган, иккинчи эса  $\text{Fe}^{+++}$  ионларнинг иккинчи ярми ва  $M^{+}$  ионлардан ташкил топган.

Металлнинг  $M^{+}\text{O}$   $\text{Fe}_2\text{O}_3$  мураккаб оксиддаги қотишмаси (қаттық эритмаси), масалан,  $\text{Li}_{x}\text{Mn}_{1-x}\text{O}$   $\text{Fe}_2\text{O}_3$ ,  $\text{Zn}_{1-x}\text{Mn}_x\text{Fe}_2\text{O}_3$  ва бошқалар катта ахамиятлайдыр. Ферритларнинг ферромагнит материаллардан иккита мұхим фарқи бор: 1) уларда юқори магнит хоссалар (кичик коэрцитив күч, магнит қабулчанликнинг катта бўлишлиги ва ҳ.к.) билан биргаликда юқори даражада изоляцион хоссалар ҳам мавжуд;

2) ферритларнинг солиштирма электр қаршилиги  $10^3 \text{Ом} \cdot \text{см}$  га ётади, бу эса темирницидан миллион марта тартибида катта, гистерезис сиртмоғи түгри тўртбурчак шаклида.

Ана шу фазилатлар ферритларнинг кенг амалий қўлланишига сабаб бўлган. Улар индуктивлик ғалтаклари трансформаторлар, дросселлар, магнит антенналар ва бошқа магнит ўтказгичлар ўзаклари сифатида юқори такрорийликларда ишлашни таъминлайди. Ферритлар тўлқин қувирларида ўта юқори такрорийликли электромагнит тўлқинларни бошқарадиган асбобларда қўлланади.

Ҳисоблаш техникасида қўлланадиган ферритлар тўғри тўртбурчакли гистерезис сиртмоғига ва нисбатан кичик коэрцитив кучга эга бўлади.

$\text{BaO} \cdot (\text{Fe}_2\text{O}_3)_6$  туридаги ферритлар катта коэрцитив кучга эга ( $80 \text{kA/m}$  дан ортиқ) ва улардан доимий магнит тайёрланади.

Ферритнинг таркибий панжараларида  $\text{Fe}^{++}$  ионлар, катионлар тақсимоти ва уларда нуқсонлар микдори газнинг таркибига, куйдириш температурасидан совутиш тезлигига боғлиқ. Бу боғланишлардан ферритларнинг магнит ва электр хоссаларини шакллантиришда фойдаланилади.

### 13.5. Сегнетоэлектрик ва пироэлектрик керамик материаллар

XII бобда сегнетоэлектрик ва пироэлектриклар тўғрисида маълумот берилган эди. Бу ерда сегнетоэлектрикларнинг диэлектрик қабулчанлиги  $\chi$  электр майдоннинг ноизизий

функцияси булишигини эслатиб үтамиз, бунинг сабаби уларда спонтан (ұз-ұзидан) күтбланишнинг мавжуд булишигидир, у, муайян температура оралығыда, электр майдон бартараф қилингандықтан кейин ҳам сақланади. Бу бириңчи марта сегнет тузи  $KNaC_4H_4O_6 \cdot 4H_2O$  да  $-18$  ва  $+24^{\circ} C$  оралығыда спонтан күтбланиш күзатылған.

Пастки температурадан қойида сегнетоэлектрикдаги зарядлар ҳаракатсиз, юқори температурадан баландда эса кучли иссиқлик ҳаракати оқибатида зарядлар қутбланиши йүқолади. Сегнетоэлектрик қолат мавжуд соҳада бу моддалар пироэлектрик хоссага ҳам эга: иситилганда қутбланиш үзгәради ва ә.ю.к. вужудға келади.

Барий титанати  $BaTiO_3$  (Б.М. Вул, 1945й) кашф қилингандан кейин сегнетоэлектрикларнинг техникада (аввало, конденсаторларнинг диэлектрик қатлами сифатыда) кең құлланиши бошланди. Сегнетоэлектрик яхши изолятор, у күтбланиш әвазига электр заряд жамғаради.

Агар сегнетоэлектрик керамика кристалларыда кристалл марказига нисбатан зарядлар симметрикас тақсимланған бўлса, у ҳолда механик деформация оқибатида қутбланиш силжийди, бу ҳодисадан пъезоэлектрик керамикада фойдаланилади. Баъзи пъезоэлектрик материаллар намуналари учлари орасида  $10^4$  В дан катта кучланиш ҳосил бўлиши мумкин. Қисқа тугашишда чиқадиган учқундан үт олдирувчи курилмаларда (масалан, ҳаракатлантиргичларда) фойдаланилади. Пъезокерамикада механик энергияни электр энергияга айлантиришда истроф кам бўлғанлиги учун, ултратовушдан фойдаланиладиган медицина асбобларида ва бошқаларда самарали қўлланади.

Сегнетоэлектрик керамика фавқулодда нозик, субмикрометрли диапазонда куча оладиган ҳаракатлантиргичлар яратиш имконини берди, бу асосда туннел микроскоп кашф қилинди.

Сегнетоэлектриклар асосида ёруғлик модуляторлари тайёрланған.

Хозир кўп миқдорда сегнетоэлектрик моддалар маълум. Уларнинг табиати тўла аниқланмаган бўлсада, аммо бир қатор муҳим қонуниятлари топилған. Масалан, сегнетоэлектрик қолат бўлиши учун қандайдир ички деформация ёки тартибсизлик даражаси бўлмоғи зарур. Масалан,  $BaTiO_3$  да титан ва барийнинг панжаралари кислород панжарасига

нисбатан силжиган бўлади. Керамикани тайерлашда электр күчтаниши берилганда кристалл доналари тартибсизлик тартиблиликка ўтадиган бўлиб қайта йўналади. Барий титанатида панжаралар силжиши билан боғлиқ ички деформация намоён бўлади. Бошқа ички деформациялар ҳам бўлади.

Пироэлектрик керамика И<sup>+</sup> нурланиш детектори (ошкорлагичи) сифатида қўлланилади, бундай детекторларнинг сезгирилиги жуда юқори, уларнинг ёрдамида температуранинг  $10^{-6}$  К қадар ўзгаришини ўлчаш мумкин.

### 13.6. Ўта ўтказувчан керамика

Голландия физиги Х. Камерлинг-ОНнес биринчи марта газларни суюлтириб паст температуралар ҳосил қила бошлаган олим — 1911 йилда симобнинг электр қаршилигининг температура пасайганида сакрашсимон йўқолишини биринчи марта кузатиб, симоб  $T=4.15\text{K}$  да ўта ўтказувчанлик деб аталган янги ҳолатга ўтади деган хуносага келди. Бундан бир неча йиллар олдин кўпгина металл элементлар, қотишмалар, интерметалл бирикмалари, баъзи ярим ўтказгичлар, полимерлар паст температураларда ўта ўтказгич бўлиб қолишилиги аниқланган эди. Nb<sub>3</sub>Ge германий ниобат энг юқори ўтиш температурасига (23 K атрофиди) эга деб ҳисобланар, 1986 йилда Г. Беднорц ва А. Мюллер (Швейцария) лантан, барий ва мис оксиди асосида 35 K да ўта ўтказувчан бўлиб қоладиган керамика олдилар. Бундан кейин жаҳоннинг кўп илмий лабораторияларида “ўта ўтказувчанлик жазаваси” кўтарилди. Г. Беднорц ва А. Мюллер рекорди бир неча ой давомида бир неча марта орқада қолдирилди, ниҳоят 1987 йилда П. Чу раҳбарлигидаги бир гуруҳ америка олимлари ўта ўтказувчанлик ҳолатига ўтиш критик темпераси  $T_c=93\text{K}$  бўлган иттрий-барий-мис оксиди таркибли керамика ҳақида хабар қилдилар. Бу ажойиб воқеа эди, чунки осон ва арzon суюқ азотнинг қайнаш температураси 77 K бўлиб, юқоридаги керамик бирикмани ўта ўтказувчан ҳолатга ўтказиш учун шу суюқ азотнинг ўзи кифоя бўлади. Келажакда ўта ўтказувчан материалларнинг техникада кенг қўлланилиши имконияти очилди.

П. Чу ва ундан кейин бошқалар синтез қилған керамикада иттрий Y, барий Ba ва мис Cu учун мос равищда 1:2:3 нисбатдаги таркиб аниқланған. Шунинг учун бу керамикани “1:2:3” керамика деб ҳам аталади.  $Y^{++}$  ва  $B^{++}$  топилған зарядлар ва миссинг имконий  $Cu^+$ ,  $Cu^{++}$ ,  $Cu^{+++}$  зарядлари булишлыги курсатады, мазкур бирикма атомлари гурухыда тұла мусбат заряд 10 дан 16 гача булиши мүмкін. Кислороднинг заряды -2 га тенг, мусбат ва манфий зарядлар сони тенг булиши керак. Шунинг учун бирикмада 6 та металл ионига 8 тача кислород атоми тұгри келиши лозим. Шу мұлоқазалардан 1:2:3 бирикманның кимёвий ифодаси  $YBa_2Cu_3O_{6.5}$  булишлыги аниқланған.

1:2:3 бирикмалар первосkit тузилишга әга булишлыги ишончли тасдиқланған.

Y-Ba-Cu-O ўта үтказгичнинг хусусияти – қатламдорликтер: иккى йұналишда панжара даври 0.28 нм, учинчи йұналишда әса 1.2 нм. Асосий үтказувчанлик мис-кислород қатламига тұгри келади, бунинг сабаби мис атомлари электронлари d-қобиғининг кислород атомлари электронлари р қобиғи билан устма-уст тушишидир. Аммо, аниқланған мазкур қатламдор тузилиш тасвирланаётган ҳодисаны физик нұқтаи назардан тұла тушиниб олиш учун етарлы әмас.

Сийрак ер элементлари атомларининг, кислороднинг бу бирикмалари ўта үтказувчанлигига құшадынан ҳиссасини аниқлаш масаласини ечиш зарур. Керамик ўта үтказгичларда (Купер) электронлар жуфтлари бу хоссаны көлтириб чиқариши исботланған, аммо электронлараро тортишиш күчлери табиати ҳали аниқ әмас.

Юқори температуралы ўта үтказувчанлик құлланиши мүмкін соқалардан бири электрон техникадир. Бу асосда интеграл схемаларда элементлари зичлигини  $10^8/\text{см}^3$  га етказиш мүмкін.

Транспорт соқасыда ҳам ўта үтказувчанлик катта самара беради. Келажакда ўта үтказувчан материалдан электр қарқатлантиргич ясаш мүмкін. Унинг ҳажми үшандай күвватли одатдагисидан 10 марта кичик булади.

Материалдардан магнит осмали транспорт, электроэнергия жамғаргычлар, МГД-генераторлар ва электр энергияны узатыш йүллари ишлаб чиқында фойдаланса булади.

Янги материаллар қидириш ишлари ҳам давом этмоқда. Висмут ва таллий асосида ( $\text{Bi}-\text{Sr}-\text{Ca}-\text{Cu}-\text{O}$ ) ва ( $\text{Ti}-\text{Ba}-\text{Ca}-\text{Cu}-\text{O}$ ) бирикмалар кашф қилинди.

Бу соҳада назарий ва экспериментал тадқиқотлар жадал олиб борилмоқда, бинобарин, янги ажойиб кашфиёт ва қўлланишларни қутиш мумкин.

### Композицион материаллар

Композицион материаллар (композитлар) бирор асосий модда ичидаги бошқа модданинг толалари ёки зарралари муайян тарзда тақсимланган материаллар. Тақсимланган моддани арматура дейилади. Арматура тартибли ёки тартибсиз жойлашган бўлиши мумкин.

Композитларни ишлаб чиқиш мақсадлари қўйидагилардан иборатлар. Техника ва технологияда мустаҳкамлиги, қаттиқлиги, иссиқликка бардошлиги, кимёвий таъсирга барқарорлиги юқори даражада бўлган материаллар керак. Бунга эришиш учун даврий системанинг ўртасида жойлашган элементлар - C, Al, Si, O, N лардан фойдаланилади, улар ўзаро мустаҳкам барқарор bogланган бирикмалар ҳосил қиласди. Бу бирикмалар мисоллари: кремний карбиди  $\text{SiC}$ , нитриди  $\text{Si}_3\text{N}_4$ , оксиди  $\text{SiO}_2$ , алюминий оксиди  $\text{Al}_2\text{O}_3$ . Агар уларни майдада зарралар ёки ингичка толалардан тайёрланса, мустаҳкамлиги анча ортади.

Масалан, ойна шиши мурт модда, аммо шиша тола чўзилишга нисбатан жуда мустаҳкам бўлади.

Толаларнинг энг катта имконий мустаҳкамлигидан фойдаланиш мақсадида уларни асосий модда ичига жойланади, бунда асосий модда толаларни бир-бирига бирлаштириб, материалга қаттиқ шакл беради. Шунинг учун тола иплар иншоотлар, қурилмаларда ишлатиладиган композитларнинг мұхим таркибий қисми бўлади. Толаларнинг  $l$  узунлиги уларнинг  $d$  диаметридан анча катта бўлиши керак ( $l/d > 100$ ). Узун толалардан фойдаланишда синергизм ҳодисаси юз беради. Синергетика ички тесқари bogланишили системаларда ўз-ўзини бошқаришни ўрганадиган фан. Композит ҳолида синергизм толанинг асосий моддага (матрицага) ва асосий модданинг толага таъсиридир. Агар чўзиш деформацияси вақтида тола узилса, асосий модда бу

узилиш жойларини қисади ва тола қисқа толалардек ишлай беради. Шундай қилиб композитларни тайёрлашнинг асосий мақсади ундаги толаларнинг мустаҳкамлигини сақлашдир. Умуман, композитлар уларни таркиблаган қисмларига нисбатан юқори сифатли булмоғи керак.

Композитлар таркиби қандай танланади?

Композитнинг муайян температуралар оралиғида ишлай олиш қобилиятыні таъминлайдыгын асосий модда ва арматураларни танлаш әңг муҳим вазифадыр.

200°C дан паст температураларда ишлайдыгын композитларни тайёрлашда полимер моддалар қулланади. Масалан, шишипластик композит полиэфир смола ичидә тақсимланған қисқа шиша толалардан иборат. Бу композит автомобил, кема ва түрли асбоблар танасини тайёрлашда ишлатылади.

Термореактив пластиклар деб аталадыгын композитлар полимерлар асосида тайёрланған булиб, уларда молекуляр занжирлар орасидаги құндаланғ бөгленишлар қаттық уч үлчовлы түр шаклидеги молекуляр түзилишни ҳосил қилади. Уларнинг мисоллари – эпоксид смолалар, 350°C гача қыздырышга чидайдыгын полимер смолалар.

Юқори температураларда ишлайдыгын композитлар учун асосий модда (матрица) сифатида металлар олинади. Металл моддаси, иссиқликка чидамлилікден ташқари, толалар мустаҳкамлигига мустаҳкамлық қушади, металлнинг пластиклигі композиттегі қайышқоқлик хосасини беради.

Жуда юқори температураларда керамик матрицалар құлланади. Уларга киритилған толалар керамикада дарзларнинг катталашыб кетишига түсіклик қилади.

SiC, Si<sub>3</sub>N<sub>4</sub>, Al<sub>2</sub>O<sub>3</sub> моддалар асосий қилиб олинса, улар композитнинг ишлаш температурасини 1700°C гача күтаради. Карбон асосидеги композитлар юқори қаттықликка эга, кам говаклик бұлади. Бунда матрица сифатида аморф карбон олинса, арматура толалари кристалл карбон – графитдан бұлса, бу композит 2500°C гача чидаш беради.

Учувчи аппаратлар учун материалнинг σ мустаҳкамлигини ошириш, ρ зичлигини камайтириш зарур, янын б/р нисбатнинг катта бўлишига эришиш керак.

Карбон матрицали композитнинг баъзи камчилікларини бартараф қилиш учун уни чидамлироқ SiC юнқа қатлами

билин қолланади. Бу композит «Шаттл» космик кемасида құлланылған.

Демек, матрица моддаси бириңчи навбатда композиттің ишлаш температурасыға қараб танланади.

Хар қандай моддадан тайёрланған толалар мустақам бұлади, аммо бошқа хоссалари күчли даражада фарқ қилиши мүмкін. Масалан, шиша толаларнинг чүзишга нисбетан мустақамлиги карбон толалариникідек, аммо уларнинг қаттиқлиги ҳар хил: шиша тола күчли чүзилади, карбон тола деңрли чүзилмайди. Шунинг учун катта юкламалар берилғанда қаттиқлиги талаб қилинганды шиша толани құллаб бұлмайди.

Зарбаларға дучор бұлып туралған буюмлар, қурилмаларда масалан, ҳарбий техникада ишлатиш учун юқори зарбавий мустақамлікка эга бўлган композитлар құлланади. Толани танлашда унинг матрица моддаси билан кимёвий ҳаммавжуд бўлишлiği муҳим. Аммо, композит тайёрлашда толани бузадиган кимёвий реакциялар юз бермаслиги керак. Тола моддаси ҳали қотмаган матрица моддасини яхши ҳўллайдиган бўлса, юқори сифатли композит ҳосил бўлади. Ҳўлланишини яхшилаш мақсадида ҳам тола, ҳам матрица билан ўзаро таъсирлашадиган маҳсус қатламлар ўтқазилади.

Демек, тола моддасини танлашда қуйидаги түртта қоидага риоя қилинади: композиттің мустақамлиги; композиттің қаттиқлиги; толанинг ҳўлланиши ва унинг матрица суюлмасида кимёвий барқарорлиги.

Композиттің тузилиши масаласи ҳам жуда муҳим, унинг геометрик ички тузилишига қараб хоссалари ҳам ҳар турли бўлади.

Композит арматураси шакли композит мустақамлигининг толалар йўналғанлигига, толалар эгилувчанлигига боғлиқлиги, арматурани тайёрлаш ҳаражатига қараб танланади.

Шу талаблар асосида композитлар ишлаб чиқариш технологияси усууллари яратилған.

Масалан, металлнинг юпқа қатлами ёки қукуни тола устига ўтқазилади ва металлнинг суюлиши температурасидан пастроқ температураларда қиздирилали, диффузия жараёни оқибатида металл матрицаси тола билан бөгланади. Бошқа бир неча усууллари ҳам мавжуд.

## **Саволлар**

1. Қандай моддалар керамик моддалар бұлади?
2. Керамик ва металл қаттық жисмларнинг барбод булиши механизмлари фарқи нимадан иборат?
3. Керамиканы мустаҳкамлашнинг қандай усуллари бор?
4. Керамика қайси соҳаларда қўлланилади?
5. Ферритлар қандай моддалар?
6. Сегнетоэлектрик ҳодисаси нимадан иборат?
7. Юқори температурали ўта ўтказувчанлик ҳодисаси қандай моддаларда мавжуд бўлади?
8. Ўта ўтказувчанлик қўлланадиган соҳалар ҳақида сўзлаб беринг.
9. Композитни таърифланг.
10. Композит таркиби қандай қоидалар асосида танланади?

## XIV БОБ

### ҚАТТИҚ ЖИСМЛАРДА ҲАЖМИЙ ҮЗГАРИШЛАР

Қаттиқ жисмларда ҳажмий үзгаришлар фазавий үтишларга мансубдир. Фазавий үтиш нуқтасида фазалар мувозанати шарти кимёвий потенциаллар тенглигидан иборат, яъни  $\mu_1=\mu_2$ . Маълумки, I жинс фазавий үтишларда модданинг зичлиги ва термодинамик функциялар үтиш нуқтасида сакраб ўзгаради, уларда үтиш иссиқлиги ажралади (ютилади). Бундай үтишлар мисоллари: суюлиш, буғланиш, кристалланиш, кристалларнинг шакл үзгаришлари.

II жинс үтишларда иссиқлик ажралмайди (ютилмайди), термодинамик функцияларнинг ўзи үтиш нуқтасида сакраб ўзгармайди, балки уларнинг ҳосилалари бўлмиш иссиқлик сифими ( $c_p=d^2\Phi/dT^2$ ), қисилувчанлик ( $dV/dP$ ), иссиқликдан кенгайиш ( $dV/dT$ ) ва бошқалар сакраб ўзгаради. Бундай үтишларга мисоллар: температура үзгариши билан ферромагнетикнинг парамагнетикка аврилиши, суюқ гелийнинг ўта оқувчан ҳолатга үтиши.

Қаттиқ жисмларда ҳажмий үзгаришлар кимёвий таркиб ўзгармаган ҳолда ва кимёвий таркиб ўзгарган ҳолда юз бериши мумкин.

#### Аллотропик аврилишлар

«Аллотропия» сўзи юонон тилидан олинган ва «бошқа шакл» деган маънони англатади. Аллотропия (полиморфизм) атамаси кимёвий элемент ёки қаттиқ бирикмаларнинг бир неча шаклда (модификациясида) бўлишлигини тавсифлаш учун киритилган.

Моддаларнинг аллотроплари (шакллари) бир-биридан кристаллда атомларнинг турлича жойлашиши билан фарқланади, бунда

- 1) молекулаларда атомлар сони ҳар хил булади;  
(мисол: олти ва сakkиз атомли олтингугурт молекуласи);

2) молекуладаги атомлар сони бир хил бұлғани ҳолда молекулаларнинг үзаро йұналиши турли (мисол: олтингугуртнинг ромбик ва моноклин шакллари);

3) металлар кристаллариде атомлар қатламларининг тахтаниш кетма-кетлиги бошқача бұлади.

Муайян температурада (утиш температурасыда) бир хил аллотропик шаклдан иккінчисига үтиш содир бұлади.

Масалан, олтингугурт  $T_c=368.5K$  да ромбик кристалл шаклдан моноклин кристалл шаклига үтади, бунда үтиш иссиқтігі 90 кал/(г-атом)га тенг бұлади, кимёвий таркиб үзгармайды. Ички энергия кристалл панжарасыда атомлар жойлашиши функцияси, яғни кимёвий боғланиш функциясы дір. Шунинг учун аллотропик аврилишларда (үтишларда) уннинг үзгариши әвазига иссиқлик ажralади (ютилади), демек, бу жараёнлар I жисе фазавий үтишларға мансуб.

Мана шунақа аллотропик аврилишлар Ti, Zr, Hf, Cr, Fe, Mn, Co, Tl элементлар кристалл панжаралариде ҳам бұлади.

Кристалл тузилиши үзгариши билан бир қаторда кимёвий боғланишлар табиати ҳам үзгариши мүмкін. Бунда бир аллотропик шаклда қаттық жисм металл үтказувчанликка, бошқа шаклда эса ярим үтказгич ёки диэлектрик хоссаларига эга булиши мүмкін. Масалан, қалайи Sn ни олсак, у юқори температурадарда тетрагонал панжарали (ва координацион сони K=6 бұлған) асл металл (оқ қалайи) бұлади,  $t=13.2\ ^\circ C$  да оқ қалайи күлранг қалайига аврилади, кейинги эса кубик шаклдаги олмос (K=4) панжарасыга эга бұлған ярим үтказгичдір.

Se селеннинг учта аллотропик шакли бор: күлранг селен – ярим үтказгичдір, қызил ва қора селенда ярим үтказгичлик хоссаси йүқ, қызил селен моноклин тузилишга эга, қора селен эса аморф моддадан иборат бұлади.

Кимёвий боғланишлар үзгарарадиган аллотропик аврилишлар олтингугурт S, маргимуш As, фосфор P, карбон C (графит ва олмос) элементларға ҳам хосдір.

### **Мартенсит аврилишлар**

Баъзи металлар ва қотишмаларда җажмий үзгариш алоқида хусусияттаға эга. Бундай үзгаришлар металлар ва қотишмалар технологиясыда мұхим үрін тутади. Мартенсит номи машхұр металлург Мартенс номидан келиб чиққан.

Мартенсит аврилишлар (узгаришлар, ўтишлар) бирор температурада тугалланмайды, албатта қатый термодинамик маънода қайтмас, аммо тузилиш маъносида қайтар жараёнлардир.

Айтайлик, қаттиқ жисм (металл) икки аллотропик шаклда бўлиши мумкин. Агар юқори температурада мавжуд бўладиган аллотропа шаклдаги жисмни  $T$  гача совутсан, бунда иккала шаклнинг эркин энергиялари бирдай бўлса, у ҳолда паст температурали шаклга ўтиш юз беради. Қаттиқ жисмни пастроқ мартенсит аврилиш (ўтиш) бошланадиган  $T_m$  – температурага-ча совутиш зарур. Агар  $T_m$  га етганда совутиш тўхтатилса, бу ҳолда ўтиш тўхтайди. Агар  $T_m$  дан кейин совутиш яна давом эттирилса, паст температурали фаза (шакл) ҳосил бўла беради. Ниҳоят қандайдир  $T''$  паст температурада ўтиш (аврилиш) та-момила тугалланади. Юқори температурали фазага (шаклга) тескарича ўтиш ҳам мумкин, лекин, температуралар оралиқлари олдинги йўналишда ўтишдан фарқ қиласди, яъни бунда гистеризис пайдо бўлади – бу ҳодиса мартенсит ўтишлар (аврилишлар)нинг муҳим хусусиятидир.

Мартенсит аврилишларни диффузиясиз ўтишлар ҳам дейилади, чунки улар бир ёки бир неча текисликларнинг жуда кичик (атомларро масофасининг улушлари чамасидаги) масофага бир вақтда силжишларидан иборат, бунда текисликлар орасидаги боғланиш бузилмайди. Бу мазкур ўтишларнинг яна бир хусусиятидир. Атомлар текисликларнинг тузилишининг унча катта бўлмаган пластинасимон бузилишига олиб келади. Намуна сиртидаги бу пластинасимон шакллар микроскопда яхши кўринади. Масалан пўлатлар тобланганда, яъни юқори температурадан бошлаб уларни тез совутилганда ёки марказлашган куб панжарали  $\gamma$ -Fe даги карбон С нинг қаттиқ эритмаси тетрагонал панжарали мартенсит шаклга ўтади. С нинг миқдори қанча кўп бўлса, тетрагоналлик даражаси ортиқ бўлади. Бир вақтнинг ўзида мартенсит пўлатнинг мустаҳкамлиги ортади.

Бир қатор тоза металлар (Fe, Co, Ti, Li, Na ва б.) ва кўп қотишмалар (Fe-Ni, Fe-Mn, Ti-Mn, Au-Cd, Mn-Cu ва б.) да мартенсит аврилишлар бўлишлиги маълум.

## Үта түйинган эритманинг парчаланиши

А эритувчида В модда эриган бўлсин. Юқори  $T_1$  температурада В модданинг эритмада мувозанатий зичлиги  $C_1$  етарли-ча катта. Температура  $T_2$  гача пасайганда система  $C_2$  гача камайган зичликли ҳолатга ўтади.

В эрувчининг зичлиги камайиши ҳисобига “чўкма” ҳосил бўлади, бу эса үта түйинган эритма парчаланди демакдир.

Термодинамик таҳдилнинг кўрсатишича, икки фаза аралаш-масининг барқарор бўлишилиги учун бу аралашманинг эркин энергияси энг кичик бўлиши керак.

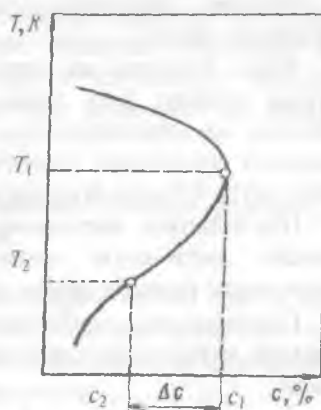
$A$  ва  $B$  таркибовчидан иборат  $A_{1-x}B_x$  ( $x < 1$ ) – мазкур таркибловчининг улуши) бўлган эритмада барқарорлик температурага боғлиқ, чунки эркин энергия температура функцияси бўлади.

Температура  $T$  ўзгарганда (пасайганда)  $x$  улуш ўзгарида, бу эритманинг қисман парчаланиши, оқибатида эса томомила парчаланишга олиб келади. Бундай парчаланишнинг икки тури мавжуд: *активацион, активационмас парчаланиши*.

Биринчи ҳолда эритма парчаланиши учун қандайдир миқдорда қўшимча энергия сарфлаш (энергетик тўсиқдан утиш) зарур бўлади. Шунинг учун дастлабки эритма иккита эритмага бўлиниши мумкин.

Иккинчи ҳолда парчаланиш энергиянинг пасайиши билан борали. Муайян шароитда активацион парчаланиш ноактивацион парчаланишга ўтади. Қаттиқ эритма парчаланиши жараёнининг бир неча соддалаштирилган тасаввурлари бор.

Қаттиқ эритманинг парчаланиши унинг ичida янги фаза марказлари (хомиртурушлари)нинг пайдо бўлишидан бошланади. Хомиртурушнинг (марказнинг) ўлчами бирор критик  $r_s$  қийиматга етгунча эркин энергия ошади, бундай марказлар қайта эриб кетишга мойил. Аммо, ўлчами  $r_s$ дан катта бўлиб



14.1- чизма. Қаттиқ эритманинг температура пасайганида парчаланишини тушунтирадиган чизма.

олган марказлар ўса боради, чунки бу ҳолда кристаллнинг эркин энергияси камая боради. Энг биринчи марказ сифатида ҳар қандай нуқсонни қабул қиласа бўлади, уларнинг ўлчами панжара доимийси (ангстрем) тарғибida бўлиб, улар қаттиқ эритмада ҳамма вақт мавжуд бўлади. Атом ўлчамидаги бундай марказларни «сегрегатлар ёки кластерлар» дейилади.

Умуман айтганда, эритманинг парчаланиши – кўп босқичли жараён.

Ярим ўтказгич ва металл қаттиқ эритмалар орасида жуда муҳим тафовут бор. Ярим ўтказгичларда ажralиб чиқадиган атомлар ва нуқсонлар зичлиги таққосланурли metallardan эса ажralиб чиқаётган атомлар миқдори нуқсонлар миқдоридан анча катта бўлади. Бундан муҳим фарқлар келиб чиқади.

Парчаланиш марказларининг ўсиш жараёни (кинетикаси) асосан янги–янги атомларнинг марказ сиртига келиб қўшилиши тезлиги билан боғланган.

Парчаланиш ҳқибатида пайдо бўлаётган янги  $\beta$  фазанинг ҳажмий улуши қўйидаги кинетика тенгламаси (Авраам тенгламаси)

$$\xi = \frac{V\beta}{V} = 1 - \exp(-K(t)^n)$$

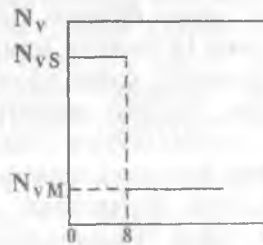
орқали ифодаланади, бунда  $K$  – доимий кўпайтувчи,  $n$  – ўтиш механизмига боғлиқ кўрсаткич.

Қатъий назарий таҳлил мақсадида

$$dc(r,t)/dt = D\nabla^2 c$$

диффузион тенгламанинг турли ҳоллари учун ечимларини Авраам тенгламасига келтириш мумкин эканлиги аниқланди.

Яна бир ҳодиса устида тўхталамиз. Кристаллни механик ишловга дучор қилинганда – уни шилганда ва сайқаллаганда сиртий қатлам бузилади ва ортиқча (ҳажмдагига нисбатан) вакансиялар билан тўйинади. Оқибатда кристаллда дастлабки погонасимон вакансиялар тақсимоти ҳосил бўлади: ҳажмда мувозанатий вакансиялар қаттиқ эритмаси, д-қатламда эса номувозанатий вакансиялар қаттиқ эритмаси мавжуд бўлади.



14.2-чизма. Сиртий  $\delta$ -қатламини туйинтиргандан сунг вакансиялар тақсимоти.

Албатта, ортиқча вакансиялар ҳосил булиши ҳамон уларнинг бутун кристалда тенглашишига томон йұналған жараён бошланади. Бу жараённи икки босқичға ажратиши мүмкін. Биринчи босқичда вакансияларнинг ўта түйинған эритмаси парчаланади ва бир вақтда уларнинг диффузияси боради. Күп вакансиялар коваклар ҳосил қилишга кетади, иккінчи босқичда қолған номувозанатий вакансиялар диффузияланади ва майда коваклар камайиши ҳисобига йирик коваклар күпаяди. Бу босқич охирда ортиқча вакансиялар дұқтамдан чықади, кристаллда коваклар ва вакансияларнинг мувозанатий ҳолати үрнашади.

### **Қаттиқ жисмларда температурага бөглиқ бұлмаган фазавий аврилишлар**

Қаттиқ жисмдеги ҳажмий үзгаришларға босим ҳам кәftа таъсир күрсатади. Катта босимлар ҳосил қилиш техникаси на- мунаға ҳам ҳар тарафлама (гидростатик), ҳам бир тарафлама (бир үқли) босим бериш имконини яраттади.

Катта энергиялы зарралар ( $\gamma$  - квантлар, нейтронлар ва б.) билан нурлаганда, механик таъсирлар оқибатида ҳам ҳажмий үзгаришлар іоз беради.

Нурлаш натижасыда нүкстелер ҳосил булиши бизга маълум: катта энергиялы зарра үз йўлида вакансиялар ва тутунлараро атомлар пайдо қиласади. Бу зарра йўлининг охирда у үз энергиясини тұла сарфлаб бұлганда кристаллда диаметри 5–10 кристалл панжараси доимийси чамасида бұлған сийракланған зона пайдо бұлади, бу соҳада панжара тартибсизланади, энг чегаравий ҳолда тұла аморфланиш вужудға келади. «Яхланған» ҳолатда бу соҳа узоқ мавжуд булиши мүмкін, лекин кристалл қыздырылғанда бу соҳалар үз ҳолига қайтади, кристалл мувозанатий ҳолатини олади.

Механик таъсирлар (ишқаланиш, майдаланиш, зарб ва б.) кристаллда панжаранинг кучли даражада тартибсизланишига ҳатто аморфланишига олиб келади. Механик таъсирлар оқибатида кристалл панжараси бир куришидан бошқа куринишга үтиши мүмкін. Масалан, ишқаланиш оқибатида олмоссимон панжарали Кремний Si кристалли аморф ҳолатта үтиши, гексагонал панжарали кобалт Со ёки марказлашған куб панжара бўлиб қолиши мүмкін.

Энди қаттиқ жисмларда юз берадиган ҳажмий үзгаришлардан амалда қандай фойдаланилади деган саволга қисқача жавоб берамиз.

Күп технологик жараёнларни амалға оширишда температура, босим, механик ишлов ва бошқа таъсирларни ҳисобга олишга тұғри келади.

Олдин айтганимиздек, мартенсит аврилишлар карбонлы пұлатларнинг термоишловида кенг құлланилади. Қотишмада карбоннинг миқдори 2% (масса бүйича)дан ошмайды. Эңг муҳими пұлатда карбон графит ҳамда темир карбиди  $Fe_2C$  күринишиларда бұлади. Агар пұлатни ҳосил қилиш ёки термоишлов беришда кескин тоблаш қилинса, оралық фаза мартенсит деформацияланған ҳажмий марказлашган куб панжарали бұлиб, пұлатнинг мустаҳкамлигини анча оширади. Бу ҳолат хона температурасыда узоқ вақт мавжуд бўлиши мумкин.

Металл қотишмаларнинг дисперсион қаттиқланиши ҳодисаси қаттиқ эритманинг парчаланиши вақтида юз берадиган ажратмалар үлчамлари ошган сары қотишманинг қаттиқлиги ошишидан иборатдир. Мустаҳкамлик орта боради, максимумдан үтади, кейин ажralаётган иккинчи фаза қириндилари үлчамлари ортиши билан мустаҳкамлик камая боради. Бу ҳодиса дюралюминда ( $Al+4\%Cu+0,5\%Mg$ ) юз беради. Бу қотишманинг мустаҳкамлик хоссалари хона температураси ёки ундан юқорида вақт үтиши билан яхшиланиб боради. Бу жараённи қотишманинг қариси деб аталади. Мустаҳкамланишнинг сабаби: қаттиқ эритма парчаланғанда қотишманинг тузилишида панжарани мустаҳкамловчи оралық фазанинг вужудга келишидир.

Күп қотишмаларда дисперсион қаттиқланиш хона температурасыдан анча юқоригоқ температураларда күзатылды. Шунинг учун бу температурадан бошлаб (паст томонға) тобланса паст температураларда қотишмани мустаҳкамланған ҳолатда узоқ сақлаш ва ундан амалий мақсадларда фойдаланиш мумкин.

## Саволлар ва масалалар

1. Қаттиқ жисмларда ұажмий үзгаришларнинг қандай асосий күринишилари бор?
2. 1 ва 2 жинс фазавий үтишлар бир-биридан қандай фарқ қилади?
3. Аллотроп үзгаришларнинг мөхияти нимадан иборат?
4. Мартенсит үзгаришларнинг мөхияти нимадан иборат?
5. Температурага боғлиқ бұлмаган фазавий үзгаришлар ҳақида нималарни биласиз?
6. Ұажмий аврилишлардан амалда қандай фойдаланилади?

## Баъзи физик катталиклар

Катталиклар	Белгиси	СИ тизим берилкендегі	СГС берилкендегі
Электроннинг тиңчлик массаси	$m_e$	$9,11 \cdot 10^{-31} \text{ кг}$	$9,11 \cdot 10^{-28} \text{ г}$
Электроннинг заряды	$e$	$1,6 \cdot 10^{-19} \text{ Кл}$	$4,8 \cdot 10^{-10} \text{ сгсэ}$
Планк доимийсі	$h$	$6,63 \cdot 10^{-34} \text{ Жс}$	$6,63 \cdot 10^{-27} \text{ эргс}$
Авогадро сони	$N_A$	$6,02 \cdot 10^{23} \text{ мол}^{-1}$	$6,02 \cdot 10^{23} \text{ мол}^{-1}$
Бояцман доимийсі	$K$	$1,38 \cdot 10^{-23} \text{ Ж} \cdot \text{К}^{-1}$	$1,38 \cdot 10^{-16} \text{ эрг} \cdot \text{К}^{-1}$
Газ доимийсі	$R = k N_A$	$8,3142 \text{ Ж} \cdot \text{моль}^{-1} \text{К}^{-1}$	$8,31 \cdot 10^7 \text{ эрг} \cdot \text{мол}^{-1} \text{К}^{-1}$
Электрон-волт	$eV$	$1,6 \cdot 10^{-19} \text{ Ж}$	$1,6 \cdot 10^{-12} \text{ эрг}$
Бор магнетони	$\mu_B = \frac{e\hbar}{2m_e}$	$9,27 \cdot 10^{-24} \text{ Ж Тл}^{-1}$	
Вакуумда әртүрлік тезлігі	$c$	$3 \cdot 10^8 \text{ м/с}^{-1}$	$3 \cdot 10^{10} \text{ см/с}^{-1}$
Вакуумнинг диэлектрик синг-дирүщанлығы	$E_0$	$8,85 \cdot 10^{-12} \Phi \cdot \text{м}^{-1}$	
Вакуумнинг магнит сингидируданлығы	$\mu_0$	$1,26 \cdot 10^{-6} \text{ Гн} \cdot \text{м}^{-1}$	
1эВ энергиялы фотон тұлқын узунлығы	$\lambda_0$	$1,24 \cdot 10^{-6} \text{ м}$	$1,24 \cdot 10^{-8} \text{ см}$
1эВ энергия фотон такрорийлігі	$v_0$	$2,42 \cdot 10^{14} \text{ Гц}$	$2,42 \cdot 10^{14} \text{ Гц}$

Бу жадвалда келтирілген қыйматлар вергулдан кейинги икки рақамгача аниқлиқда олинган.

## АДАБИЁТЛАР

1. В. И. Фистуль, «Физика и химия твердого тела» (икки жилдли), Москва «Металлургия» 1995 г.
2. Дж. Займан. Принципы теории твердого тела. Москва, «Мир», 1974 г.
3. Ч. Киттел. Введение в физику твердого тела. Москва, Физматгиз, 1993 г.
4. Б. Н. Бушманов, Ю. А. Хромов «Физика твердого тела», Москва, «Высшая школа», 1971 г.
5. Н. Ашкрофт, Н. Мермин, «Физика твердого тела», (икки жилдли) Москва, «Мир», 1979 г.
6. Г. С. Жданов, А. Г. Хунджау. Лекции по физике твердого тела. Москва, МГУ, 1988 г.
7. С. Зайнабиддинов, Х. С. Далиев. Дефектообразование в кремнии. Тошкент, «Университет» 1993 й.
8. С. З. Зайнобиддинов, А. Тешабоев. Ярим утказгичлар физикаси. Тошкент, «Ўқитувчи», 1999 й.
9. Дж. Блейкмор. Физика твердого тела. Москва, «Мир», 1988
10. Задачи по физике твердого тела (Г. Дж. Голдемид таҳрири остида). Москва, «Наука», 1976 г.
11. Ленч Николайдес. Задачи по физической электронике.
12. Ф. Ф. Волkenштейн. Физико-химия поверхности полупроводников. Москва, «Наука», 1973 г.
13. А. И. Ансельм. Введение в теорию полупроводников, Москва, «Наука», 1978 г.
14. Ф. Зейтц. Физика металлов. Москва-Ленинград, ГИТТЛ, 1947 г.
15. Г. Фрелих. Теория диэлектриков. Москва, ИЛ, 1960 г.
16. Дж. Барфут. Введение в физику сегнетоэлектрических явлений. Москва, «Мир», 1970 г.
17. Я. С. Уманский, Ю. А. Сканов. Физика металлов. Москва, Атомиздат, 1978 г.
18. С. С. Горелик, М. Я. Дашевский. Материаловедение полупроводников и диэлектриков. Москва, «Металлургия», 1988 г.
19. И. С. Желудев. Физика кристаллических диэлектриков. Москва, «Наука», 1968 г.
20. С. В. Вонсовский. Современное учение о магнетизме. Москва, ГИТТЛ, 1953 г.
21. Г. Сликтер. Основы теории магнитного резонанса. М., «Мир», 1967 г.
22. Ю. И. Аксентьев ва бошқалар. Физика твердого тела (спецпрактикум). Из-во МГУ, 1982 г.

## МУНДАРИЖА

<b>Сүз боши.....</b>	<b>3</b>
<b>I БОБ. ҚАТТИҚ ЖИСМЛАРНИНГ ТУЗИЛИШИ ВА ТУРЛАРИ</b>	<b>5</b>
1.1. Кристалл қаттиқ жисмлар.....	6
1.2. Кристалл панжараси.....	7
1.3. Кристалларда симметрия.....	7
1.4. Миллер индекслари.....	12
1.5. Кристалл атомларининг ва молекулаларининг бояганиш турлари.....	14
1.6. Кристалларни ўстириш.....	22
1.7. Полиморфизм.....	23
1.8. Кристалларда рентген нурлари дифракцияси.....	24
1.9. Тескари панжара.....	26
1.10. Бриллюэн зонаси.....	27
<b>II БОБ. КРИСТАЛЛ ПАНЖАРАСИ ТЕБРАНИШЛАРИ</b>	<b>29</b>
2.1. Чизигий содда панжара атомлари тебранишлари.....	29
2.2. Чизигий мураккаб панжарада тебранишлар ва тулқинлар.....	33
2.3. Уч улчовли мураккаб кристалл панжараси атомлари тебранишлари.....	38
2.4. Изотроп континиум тақрибидаги кристалларда тебранишлар ва тулқинлар.....	42
2.5. Кристалл панжараси тебранишларининг квантланиши. Фононлар.....	48
Масалалар ва саволлар.....	51
<b>III БОБ. ФИЗИК СТАТИСТИКА ҚОНУНЛАРИ</b>	<b>52</b>
3.1. Тасодифий катталикларнинг уртача қийматлари.....	54
3.2. Тақсимот функциялари мисоллари.....	56
3.3. Бир неча тасодифий катталик учун тақсимот функцияси..	57
3.4. Максвелл тақсимоти.....	58
3.5. Классик статистик физиканинг асосий тасаввурлари.....	62

3.6.	Гиббснинг каноник тақсимоти.....	64
3.7.	Гиббснинг катта каноник тақсимоти.....	69
3.8.	Квант статистика асослари.....	70
3.9.	Қора нурланиш.....	75
	Саволлар ва масалалар.....	77

#### **IV БОБ. ҚАТТИҚ ЖИСМЛАРДА ИССИҚЛИК ХОДИСАЛАРИ**

78

4.1.	Иссиқлик сифимининг классик назарияси.....	78
4.2.	Кристалл панжараси иссиқлик сифимининг квант назарияси.	81
4.3.	Кристалл қаттиқ жисмнинг панжаравий иссиқлик үтказувчанлиги.....	86
4.4.	Қаттиқ жисмларнинг иссиқликдан көнгайиши ва узайиши.....	89
	Саволлар ва масалалар.....	93

#### **V БОБ. ИДЕАЛ КРИСТАЛЛДА ЭЛЕКТРОНЛАРНИНГ ЭНЕРГИЯЛАРИ СПЕКТРИ**

94

5.1.	Кристалл учун Шредингер тенгламаси. Адиабатик тақриб.....	94
5.2.	Хартри-Фок усули. Бир электронли яқинлашиш.....	96
5.3.	Даврий электр майдонда ҳаракатланаётган электрон масаласи.....	99
5.4.	Кучсиз ва кучли боғланган электронлар тақриблари.....	101
5.5.	Крониг-Пенни модели.....	105
5.5.	Идеал кристаллда электронлар энергиялари спектри туғрисидаги умумий хулосалар.....	110
5.6.	Электронларнинг кристаллдаги эффектли массаси. Конвак. Электрон энергияси ва импульси.....	112
5.7.	Энергия зоналари. Металлар. Ярим үтказгичлар. Диэлектриклар.....	115
	Саволлар ва масалалар.....	120

#### **VI БОБ. ҲАҚИҚИЙ КРИСТАЛЛ ҚАТТИҚ ЖИСМЛАРДАГИ НУҚСОНЛАР**

121

6.1.	Кристаллардаги нұқсонлар ҳақида умумий мұлоҳазалар.....	121
6.2.	Нұқтавий нұқсонлар.....	124
6.3.	Қаттиқ жисмларда чизигий нұқсонлар.....	140
6.4.	Қаттиқ жисмларда ясси нұқсонлар.....	144
6.5.	Қаттиқ жисмларда ҳажмий (макроскопик) нұқсонлар.....	146
6.6.	Нұқсонлар диффузияси.....	151
	Савол ва масалалар.....	156

<b>VII БОБ. АМОРФ ҚАТТИҚ ЖИСМЛАР.</b>	<b>158</b>
7.1. Аморф қаттиқ жисмлар.....	159
7.2. Гидрилланган аморф кремний. ( $\alpha$ - Si : H). .....	161
7.3. Суюқ кристаллар.....	163
Саволлар.....	168
<b>VIII БОБ. ҚАТТИҚ ЖИСМЛАР СИРТИДАГИ ҲОДИСАЛАР</b>	<b>169</b>
8.1. Үмумий маълумот.....	169
8.2. Сиртнинг тузилиши. Энергетик ҳолатлар.....	170
8.3. Ҳулланиш ва ёйилиб окиш ҳодисалари.....	173
8.4. Электронлар эмиссияси ва сиртй ионлаш.....	174
8.5. Қаттиқ жисмлар сиртида адсорбция ҳодисаси.....	176
8.6. Сиртй диффузия.....	179
Назорат учун саволлар.....	182
Масалалар.....	182
<b>IX БОБ. ҚАТТИҚ ЖИСМЛАР ДЕФОРМАЦИЯСИ</b>	<b>184</b>
9.1. Бир ўлчовли деформация.....	185
9.2. Икки ўлчовли деформация.....	185
9.3. Уч ўлчовли деформация.....	188
9.4. Кучланиш тензори.....	189
9.5. Деформация билан механик кучланиш орасидаги бояланиш. Үмумлашган Гук қонуни. Эластилик модуллари.....	191
9.6. Изотроп қаттиқ жисмнинг эластилик модуллари.....	194
9.7. Содда деформация ва уларда турли эластилик модуллари орасидаги бояланиш.....	195
9.8. Кичик деформациялар энергияси.....	199
9.9. Тензоқаршилик ҳодисаси.....	201
Саволлар ва масалалар.....	202
<b>X БОБ. МЕТАЛЛАР</b>	<b>203</b>
10.1. Металларнинг электр хоссалари.....	203
10.2. Металларда иссиқлик ҳодисалари.....	216
10.3. Металларнинг зоналар назарияси.....	226
10.4. Металларда электрон эмиссияси.....	228
10.5. Фотоэмиссия (ташқи фотоэффект).....	232
10.6. Металларнинг магнит хоссалари.....	233
10.7. Де Гааз – Ван Алфен эффиқти.....	237

10.8. Электрон – парамагнит резонанс (ЭПР).....	238
10.9. Ядромагнит резонанс.....	239
10.10. Металларнинг электромагнит тулқинлар билан үзаро таъсири.....	239
10.11. Циклотрон резонанс.....	240
10.12. Металларда плазма тебранишлари..... Саволлар ва масалалар.....	241 243
<b>XI БОБ. ЯРИМ ЎТҚАЗГИЧЛАР</b>	<b>244</b>
11.1. Яrim ўтқазгичларнинг турлари.....	245
11.2. Яrim утқазгичларда хусусий ўтказувчанлик ва зоналар тузилиши.....	246
11.3. Эффективли масса.....	249
11.4. Хусусий яrim утқазгичларда электронлар ва қоваклар зичлиги.....	251
11.5. Заряд ташувчилар ҳаракатчанлиги.....	254
11.6. Яrim ўтқазгичда киришмалар.....	255
11.7. Компенсиранган яrim утқазгичлар.....	258
11.8. Айниган яrim ўтқазгич.....	258
11.9. Айнимаган яrim утқазгич.....	259
11.10. Яrim ўтқазгичларнинг электр ўтказувчанлиги.....	260
11.11. Яrim утқазгичларда циклотрон резонанс.....	262
11.12. Яrim утқазгичларда Холл ҳодисаси.....	264
11.13. Магнитик қаршилик ҳодисаси.....	265
11.14. Яrim утқазгичларда диффузион ток.....	265
11.15. Яrim ўтқазгичларнинг магнит хоссалари.....	266
11.16. Яrim утқазгичларда контакт ҳодисалар. Металл-яrim ўтқазгич контакти..... Саволлар ва масалалар.....	268 274
<b>XII БОБ. ДИЭЛЕКТРИКЛАР</b>	<b>276</b>
12.1. Диэлектрикларга оид асосий тушунчалар ва катталиклар..	277
12.2. Диэлектрикларда кутбланиш механизмылари.....	281
12.3. Пироэлектриклар.....	288
12.4. Пьезоэлектрик ҳодиса.....	289
12.5. Сегнетоэлектриклар.....	290
12.6. Сегнетоэлектрик доменлар ва антисегнетоэлектрик ҳодисалар.....	292
12.7. Диэлектрик йүқотишлар.....	293
12.8. Диэлектриклар тешилиши (бузилиши). Масалалар.....	294 296

## XIII БОБ. КЕРАМИК ҚАТТИҚ ЖИСМЛАР. КОМПОЗИТЛАР 297

13.1. Керамик материаллар ҳақида умумий маълумот.....	297
13.2. Курилмалар ва асбобларда күлланиладиган керамика.....	298
13.3. Радиоактив материаллар ва чиққиндилярни сақлайдиган контейнерлар учун керамика.....	301
13.4. Керамик ферритлар.....	301
13.5. Сегнетоэлектрик ва пироэлектрик керамик материаллар...	302
13.6. Ўта утказувчан керамика.....	304
Саволлар.....	309

## XIV БОБ. ҚАТТИҚ ЖИСМЛАРДА ҲАЖМИЙ ЎЗГАРИШЛАР 310

Аллотропик аврилишлар.....	310
Мартенсит аврилишлар.....	311
Ўта тўйинган эритманинг парчалиниши.....	313
Қаттиқ жисмларда температурага боғлиқ бўлмаган фа- завий аврилишлар.....	315
Саволлар ва масалалар.....	317
Баъзи физик катталиклар.....	317
Адабиётлар.....	318